



OFICINA ESPAÑOLA DE PATENTES Y MARCAS

ESPAÑA



11 Número de publicación: 2 582 320

(51) Int. CI.:

C12N 9/42 (2006.01) C12N 15/56 (2006.01) C12P 19/02 (2006.01) C12P 7/06 (2006.01) C12N 1/14 (2006.01)

(12) TRADUCCIÓN DE PATENTE EUROPEA

T3

- (96) Fecha de presentación y número de la solicitud europea: 15.12.2006 E 12151850 (0)
- (97) Fecha y número de publicación de la concesión europea: 08.06.2016 EP 2453013
- (54) Título: Tratamiento de material celulósico y enzimas útiles en el mismo
- (30) Prioridad:

22.12.2005 FI 20051318 22.12.2005 US 753258 P

(45) Fecha de publicación y mención en BOPI de la traducción de la patente: 12.09.2016

(73) Titular/es:

ROAL OY (100.0%) Tykkimäentie 15b 05200 Rajamäki, FI

(72) Inventor/es:

VEHMAANPERÄ, JARI; ALAPURANEN, MARIKA; **PURANEN, TERHI;** SIIKA-AHO, MATTI; KALLIO, JARNO; JÄMSÄ, SATU; **VOUTILAINEN, SANNI;** HALONEN, TEEMU y VIIKARI, LIISA

(74) Agente/Representante:

DE ELZABURU MÁRQUEZ, Alberto

DESCRIPCIÓN

Tratamiento de material celulósico y enzimas útiles en el mismo

Campo de la invención

5

10

15

35

40

45

50

55

La presente invención se refiere a la producción de productos hidrolizados de azúcares a partir de material celulósico. Más precisamente, la invención se refiere a la producción de azúcares fermentables a partir de material lignocelulósico mediante conversión enzimática. Los azúcares fermentables son útiles p. ej. en la producción de bioetanol, o para otros fines. En particular, la invención se refiere a un método para el tratamiento de material celulósico con celobiohidrolasa, endoglucanasa, beta-glucosidasa, y opcionalmente xilanasa, y a preparaciones de enzimas y usos de las mismas. La invención se dirige además a nuevos polipéptidos celulolíticos, a los polinucleótidos que los codifican, y a vectores y células anfitrionas que contienen los polinucleótidos. Adicionalmente, la invención se dirige a usos de los polipéptidos y a un método para prepararlos.

Antecedentes de la invención

Los productos hidrolizados de azúcares se pueden utilizar para la producción microbiana de una variedad de productos químicos finos o biopolímeros, tales como ácidos orgánicos, p. ej. ácido láctico, o etanol u otros alcoholes, p. ej. n-butanol, 1,3-propanodiol, o polihidroxialcanoatos (PHA). Los productos hidrolizados de azúcar también pueden servir como materia prima para otros procesos no microbianos, p. ej., para el enriquecimiento, aislamiento y purificación de azúcares de alto valor o varios procesos de polimerización. Uno de los principales usos de los productos hidrolizados de azúcares es en la producción de biocarburantes. La producción de bioetanol y/u otros productos químicos puede tener lugar en un proceso integrado en una biorrefinería (Wyman 2001).

Los recursos limitados de carburantes fósiles, y cantidades crecientes de CO2 liberado a partir de los mismos y causantes el fenómeno del efecto invernadero han planteado la necesidad de la utilización de la biomasa como fuente de energía renovable y limpia. Una tecnología prometedora alternativa es la producción de biocarburantes, es decir, etanol a partir de materiales celulósicos. En el sector del transporte los biocarburantes son, por el momento la única opción, que podría reducir las emisiones de CO2 en un orden de magnitud. Se puede utilizar el etanol en vehículos y sistemas de distribución existentes y por lo tanto no se requiere inversiones costosas en infraestructuras. Los azúcares derivados de materias primas renovables lignocelulósicas también se pueden utilizar como materias primas para una variedad de productos químicos que pueden reemplazar los productos químicos con una base oleosa.

La mayoría de los carbohidratos en las plantas están en la forma de lignocelulosa, que consiste esencialmente en celulosa, hemicelulosa, pectina y lignina. En un procedimiento de lignocelulosa a etanol el material lignocelulósico se pretrata en primer lugar químicamente o físicamente para hacer más accesible a la hidrólisis la fracción de celulosa. La fracción de celulosa se hidroliza a continuación para obtener azúcares que pueden ser fermentados por levadura a etanol. La lignina se obtiene como un co-producto principal que se puede utilizar como carburante sólido.

Los costes de producción de bioetanol son altos y la producción de energía es baja, y existe una continua búsqueda para hacer el proceso más económico. La hidrólisis enzimática se considera la tecnología más prometedora para la conversión de biomasa celulósica en azúcares fermentables. Sin embargo, la hidrólisis enzimática se utiliza solamente a una cantidad limitada a escala industrial, y especialmente cuando se utiliza material fuertemente lignificado tal como madera o residuos agrícolas, la tecnología no es satisfactoria. El coste de la etapa enzimática es uno de los principales factores económicos del procedimiento. Se han realizado esfuerzos para mejorar la eficacia de la hidrólisis enzimática del material celulósico (Badger 2002).

El documento US 2002/0192774 A1 describe un procedimiento continuo para la conversión de biomasa lignocelulósica sólida en productos carburantes combustibles. Después del pretratamiento mediante oxidación húmeda o explosión de vapor la biomasa se separa parcialmente en celulosa, hemicelulosa y lignina, y a continuación se somete a hidrólisis parcial utilizando una o más enzimas carbohidrasas (CE 3.2). Se proporciona como ejemplo Celluclast™, un producto comercial de Novo Nordisk A/S que contiene actividades celulasa y xilanasa.

El documento US 2004/0005674 A1 describe nuevas mezclas de enzimas que se pueden utilizar directamente sobre un sustrato de lignocelulosa, por medio de las cuales se pueden evitar los productos de desecho tóxicos formados durante los procedimientos de pretratamiento, y se puede ahorrar energía. La mezcla de enzimas sinérgicas contiene una celulasa y una enzima auxiliar tal como celulasa, xilanasa, ligninasa, amilasa, proteasa, lipidasa o glucuronidasa, o cualquier combinación de las mismas. Se considera que la celulasa incluye endoglucanasa (EG), beta-glucosidasa (BG) y celobiohidrolasa (CBH). Los ejemplos ilustran el uso de una mezcla de preparaciones de xilanasa y celulasa de *Trichoderma*.

Kurabi *et al.* (2005) han investigado la hidrólisis enzimática de abeto de Douglas por explosión de vapor y pretratado mediante organosoly con etanol por medio de celulasas fúngicas novedosas y comerciales. Éstos sometieron a

ensayo dos preparaciones de celulasa comerciales de *Trichoderna reesei*, y dos preparaciones novedosas producidas por cepas mutantes de *Trichoderma* sp. y *Penicillium* sp. La preparación de *Trichoderma* sp. mostró un rendimiento significativamente mejor que las otras preparaciones. Se creyó que el mejor rendimiento se debía al menos en parte a una actividad beta-glucosidasa significativamente mayor, que alivia la inhibición por producto de celobiohidrolasa y endoglucanasa.

El documento US 2004/0053373 A1 se refiere un método de conversión de celulosa en glucosa mediante tratamiento de un sustrato lignocelulósico pretratado con una mezcla de enzimas que comprende celulasa y una celobiohidrolasa I (CBHI) modificada. La CBHI ha sido modificada inactivando su dominio de unión a celulosa (CBD). Las ventajas de la modificación de CBHI son, p. ej. una mejor recuperación y una mayor tasa de hidrólisis con alta concentración de sustrato. La celulasa se selecciona del grupo que consiste en EG, CBH y BG. La CBHI se obtiene preferiblemente a partir de *Trichoderma*.

El documento US 2005/0164355 A1 describe un método para degradar material lignocelulósico con una o más enzimas celulolíticas en presencia de al menos un tensioactivo. También se pueden usar enzimas adicionales tales como hemicelulasas, esterasa, peroxidasa, proteasa, lacasa o una mezcla de las mismas. La presencia de agente tensioactivo aumenta la degradación de material lignocelulósico en comparación con la ausencia de tensioactivo. Las enzimas celulolíticas pueden ser cualquier enzima implicada en la degradación de lignocelulosa incluyendo CBH, EG y BG.

Existe un gran número de publicaciones que describen diversas celulasas y hemicelulasas.

10

15

45

50

55

Se describen celobiohidrolasas (CBHS) p. ej., en el documento WO 03/000941, que se refiere a enzimas CBHI obtenidas a partir de diversos hongos. No se proporcionan las propiedades fisiológicas de las enzimas, ni ningún ejemplo de sus usos. Hong et al. (2003b) caracteriza CBHI de *Thermoascus aurantiacus* producida en levadura. No se describen las aplicaciones de la enzima. Tuohy et al. (2002) describen tres formas de celobiohidrolasas de *Talaromyces emersonii*.

Se describen las endoglucanasas de la familia cel5 (EG fam 5) p. ej., en el documento WO 03/062409, que se refiere a composiciones que comprenden al menos dos enzimas termoestables para su uso en aplicaciones para forraje. Hong et al. (2003a) describen la producción de endo-β-1,4-glucanasa termoestable a partir de *T. aurantiacus* en levadura. No se explican las aplicaciones. El documento WO 01/70998 se refiere a β-glucanasas de *Talaromyces*. También describe β-glucanasas de *Talaromyces emersonii*. Se comentan las aplicaciones para alimentos, forrajes, bebidas, elaboración de la cerveza, y detergentes. No se menciona la hidrólisis de lignocelulosa.

De Palma-Fernandez et al (2002) describe la purificación y caracterización de dos beta-glucosidasas provenientes de *Thermoascus aurantiacus*. No se muestran aplicaciones industriales. Murray et al. (2004) describe la caracterización de una familia de 3 beta-glucosidasa termoestable proveniente de *Talaromyces emersonii* y su expresión en *Trichoderma reesei*. El documento WO 98/06 858 describe beta-1,4-endoglucanasa proveniente de *Aspergillus niger* y discute las aplicaciones de la enzima en alimentación humana y animal. El documento WO 98/06858 describe beta-1,4-endoglucanasa de *Aspergillus niger* y comenta las aplicaciones para forraje y alimento de la enzima. El documento WO 97/13853 describe métodos para el escrutinio de fragmentos de ADN que codifican enzimas en genotecas de ADNc. La genoteca de ADNc es de origen de levadura o fúngico, preferiblemente de *Aspergillus*. La enzima es preferiblemente una celulasa. Van Petegem *et al.* (2002) describen la estructura 3D de una endoglucanasa de la familia cel5 de *Thermoascus aurantiacus*. Parry *et al.* (2002) describen el modo de acción de una endoglucanasa de la familia cel5 de *Thermoascus aurantiacus*.

Se describen endoglucanasas de la familia cel7 (EG fam 7) p. ej., en el documento US 5. 912. 157, que pertenece a la endoglucanasa de *Myceliphthora* y sus homólogos y las aplicaciones de la misma en detergentes, productos textiles, y pasta de celulosa. El documento US 6. 071. 735 describe celulasas que muestran una alta actividad endoglucanasa en condiciones alcalinas. Se comentan los usos como detergente, en aplicaciones de pasta de celulosa y papel, y textiles. No se menciona el bioetanol. El documento US 5. 763. 254 describe enzimas que degradan celulosa/hemicelulosa y que tienen residuos de aminoácidos conservados en CBD.

Se describen endoglucanasas de la familia cel45 (EG fam 45) p. ej., en el documento US 6. 001. 639, que se refiere a las enzimas que tienen actividad endoglucanasa y que tienen dos secuencias de aminoácidos conservadas. Se comentan en general los usos en aplicaciones textiles, detergentes, y de pasta de celulosa y papel y se menciona el tratamiento de material lignocelulósico pero no se proporcionan ejemplos. El documento WO 2004/053039 se refiere a las aplicaciones detergentes de las endoglucanasas. El documento US 5. 958. 082 describe el uso de endoglucanasa, especialmente de *Thielavia terrestris* en aplicaciones textiles. El documento EP 0495258 se refiere a composiciones detergentes que contienen celulasa de *Humicola*. El documento US 5. 948. 672 describe una preparación de celulasa que contiene endoglucanasa, especialmente de *Humicola* y su uso en aplicaciones textiles y de pasta de celulosa. No se menciona la hidrólisis de lignocelulosa.

Una pequeña cantidad de beta-glucosidasa (BG) mejora la hidrólisis de la biomasa a glucosa hidrolizando la celobiosa producida por celobiohidrolasas. La conversión de celobiosa en glucosa es normalmente la principal etapa limitante de la velocidad. Se describen beta-glucosidasas, p. ej. en el documento US 2005/0214920, que se refiere a

BG de Aspergillus fumigatus. La enzima ha sido producida en Aspergillus oryzae y Trichoderma reesei. Se comenta en general el uso de la enzima en la degradación de biomasa o en aplicaciones detergentes, pero no se ilustra. El documento WO 02/095014 describe una enzima de Aspergillus oryzae que tiene actividad celobiasa. Se comenta en general el uso en la producción de etanol a partir de biomasa, pero no se ilustra. El documento WO 2005/074656 describe polipéptidos que tienen actividad potenciadora celulolítica derivada, p. ej., de T. aurantiacus; A. fumigatus; T. terrestris y T. aurantiacus. El documento WO 02/26979 describe el procesamiento enzimático de material vegetal. El documento US 6022725 describe la clonación y la amplificación del gen de la beta-glucosidasa de Trichoderma reesei, y el documento US 6103464 describe un método para detectar el ADN que codifica una beta-glucosidasa de un hongo filamentoso. No se proporcionan ejemplos de aplicación.

Se describen xilanasas p. ej., en el documento FR 2786784, que se refiere a una xilanasa termoestable útil, p. ej., en el tratamiento de forraje animal y en la fabricación de pan. La enzima deriva de un hongo termófilo, concretamente del género *Thermoascus*.

El documento US 6197564 describe enzimas que tienen actividad de xilanasa, y obtenidas a partir de *Aspergillus aculeatus*. Se ilustra su aplicación en panadería. El documento WO 02/24926 se refiere a xilanasas de *Talaromyces*. Se proporcionan ejemplos para forraje y panadería. El documento WO 01/42433 describe xilanasa termoestable de *Talaromyces emersonii* para uso en aplicaciones de alimentación y forraje.

Las enzimas celulolíticas mejor investigadas y más ampliamente aplicadas de origen fúngico derivan de *Trichoderma reesei* (el anamorfo de *Hypocrea jecorina*). Por consiguiente casi la mayor parte de las celulasas fúngicas disponibles en el mercado derivan de *Trichoderma reesei*. Sin embargo, la mayor parte de las celulasas de hongos menos conocidos no han sido aplicadas en los procedimientos de importancia práctica tales como la degradación de material celulósico, incluyendo lignocelulosa.

Existe una necesidad continua de nuevos métodos de degradación de sustratos celulósicos, en particular sustratos lignocelulósicos, y de nuevas enzimas y mezclas de enzimas, que mejoren la eficiencia de la degradación. También hay una necesidad de procesos y enzimas, que funcionen a altas temperaturas, permitiendo de ese modo el uso de una elevada consistencia de biomasa y conduciendo a elevadas concentraciones de azúcar y etanol. Este enfoque puede conducir a ahorros significativos en los costes de energía e inversiones. La elevada temperatura también disminuye el riesgo de contaminación durante la hidrólisis. La presente invención tiene como objetivo satisfacer al menos parte de estas necesidades.

Breve descripción de la invención

30 Sorprendentemente, se ha descubierto ahora que las enzimas celulolíticas, y especialmente las celobiohidrolasas obtenibles a partir de *Thermoascus aurantiacus*, *Acremonium thermophilum*, o *Chaetomium thermophilum* son particularmente útiles en la hidrólisis de material celulósico. Además de las celobiohidrolasas estos hongos también tienen endoglucanasas, beta-glucosidasas y xilanasas que son muy adecuadas para degradar material celulósico. Las enzimas son cinéticamente muy eficaces en un amplio intervalo de temperaturas, y aunque tienen una alta actividad a altas temperaturas, también son muy eficaces a las temperaturas de hidrólisis convencionales. Esto las convierte en extremadamente bien adaptadas para variar procesos de hidrólisis de sustratos celulósicos llevados a cabo tanto a temperaturas convencionales y a temperaturas elevadas.

La invención se dirige a un polipéptido que comprende un fragmento que tiene actividad celulolítica y que se selecciona del grupo que consiste en:

40 a) un polipéptido que comprende una secuencia de aminoácidos que tiene una identidad de al menos 80% con la SEQ ID NO: 24;

J

15

20

25

b) un fragmento de a) que tiene actividad celulolítica.

Otro objeto adicional de la invención es un polinucleótido aislado seleccionado del grupo que consiste en:

- 45 a) una secuencia de nucleótidos de la SEQ ID NO: 23, o una secuencia que codifica un polipéptido de la reivindicación 1;
 - b) una hebra complementaria de a)

У

50

c) una secuencia que es degenerada como resultado del código genético con respecto a una cualquiera de las secuencias definidas en a) o b).

La invención también proporciona un vector, que comprende dicho polinucleótido como secuencia heteróloga, y una célula anfitriona que comprende dicho vector. Asimismo la invención incluye también cepas de *Escherichia coli* que tienen el número de acceso DSM 17325.

ES 2 582 320 T3

La invención también proporciona una preparación enzimática que comprende un polipéptido según la reivindicación 1

También se proporciona el uso de dicha preparación enzimática para degradar material celulósico, así como el uso de dicho método en un proceso para preparar etanol a partir de material celulósico.

Otros objetos de la invención son preparaciones de enzimas que comprenden al menos uno de los nuevos polipéptidos, y el uso de dicho polipéptido o preparación de enzima en la industria del combustible, textil, detergente, pasta de celulosa y papel, alimentos, forraje o bebidas.

Adicionalmente se proporciona un método para preparar un polipéptido que comprende un fragmento que tiene actividad celulolítica y que se selecciona del grupo que consiste en:

a) un polipéptido que comprende una secuencia de aminoácidos que tiene una identidad de al menos 80% con la SEQ ID NO: 24;

١

20

35

40

b) un fragmento de a) que tiene actividad celulolítica,

comprendiendo dicho método transformar una célula anfitriona con un vector que codifica dicho polipéptido, y cultivar dicha célula anfitriona en condiciones que permiten la expresión de dicho polipéptido, y opcionalmente recuperar y purificar el polipéptido producido.

También se proporciona adicionalmente un método de tratamiento de material celulósico con un medio de cultivo gastado de al menos un microorganismo capaz de producir un polipéptido como se ha definido anteriormente, en donde el método comprende hacer reaccionar el material celulósico con el medio de cultivo gastado para obtener material celulósico hidrolizado.

Las realizaciones específicas de la invención se exponen en las reivindicaciones dependientes.

Otros objetos, detalles y ventajas de la presente invención serán evidentes a partir de las siguientes figuras, descripción detallada y ejemplos.

Breve descripción de los dibujos

- Figura 1. Dependencias de la temperatura de las actividades celulasa y beta-glucosidasa en los sobrenadantes de las seis cepas fúngicas sometidas a ensayo. El tiempo de incubación en el análisis fue de 60 min a la temperatura dada, el pH del análisis fue de 5,0 (actividad MUL) o 4,8 (CMCasa o BGU). La actividad obtenida a 60°C se establece como la actividad relativa del 100%. A) *Thermoascus aurantiacus* ALKO4239, B) *Thermoascus aurantiacus* ALKO4242, C) *Acremonium thermophilum* ALKO4245, D) *Talaromyces thermophilus* ALKO4246, E) *Chaetomium thermophilum* ALKO4261, F) *Chaetomium thermophilum* ALKO4265.
 - Figura 2. Imagen esquemática de los casetes de expresión utilizados en la transformación de protoplastos de *Trichoderma reesei* para producir las proteínas fúngicas recombinantes. Los genes recombinantes estuvieron bajo el control del promotor de *cbh*1 (prom *cbh*1) de *T. reesei* (*cel*7A) y la terminación de la transcripción se garantizó utilizando la secuencia terminadora de *CBH*1 (term *CBH*1) de *T. reesei*. Se incluyó el gen *amd*S como marcador de la transformación.
 - Figura 3. A) pH óptimos de las preparaciones de proteínas recombinantes CBH/Cel7 de *Thermoascus aurantiacus* ALKO4242, *Chaetomium thermophilum* ALKO4265 y *Acremonium thermophilum* ALKO4245 determinados sobre 4-metilumbeliferil-β-D-lactósido (MUL) a 50°C, 10 min. Los resultados se proporcionan como la media (± DT) de tres mediciones separadas. B) estabilidad térmica de las preparaciones de proteínas recombinantes CBH/Cel7 de *Thermoascus aurantiacus* ALKO4242, *Chaetomium thermophilum* ALKO4265 y *Acremonium thermophilum* ALKO4245 determinada sobre 4-metilumbeliferil-β-D-lactósido (MUL) al pH óptimo durante 60 min. Los resultados se proporcionan como la media (± DT) de tres mediciones separadas. Ambas reacciones contenían BSA (100 μg/ml) como estabilizador.
- Figura 4. Hidrólisis de celulosa cristalina (Avicel) por las celobiohidrolasas recombinantes purificadas a 45°C.

 45 Concentración de sustrato 1% (p/v), pH 5,0, concentración de enzima 1,4 μM. A) celobiohidrolasas que albergan un CBD. B) celobiohidrolasas (núcleo) sin un CBD.
 - Figura 5. Hidrólisis de celulosa cristalina (Avicel) por las celobiohidrolasas recombinantes purificadas a 70°C. Concentración de sustrato 1% (p/v), pH 5,0, concentración de enzima 1,4 M. A) celobiohidrolasas que albergan un CBD, B) celobiohidrolasas (núcleo) sin un CBD.
- Figura 6. A) Se determinó la dependencia del pH de la actividad EG_40/Cel45A, de tipo EG_40/Cel45B de *Acremonium*, y EG_28/Cel5A de *Thermoascus* producida de manera heteróloga con sustrato de CMC en un reacción de 10 min a 50°C. B) Se determinó el óptimo de temperatura de EG_40/Cel45A, de tipo EG_40/Cel45B de

Acremonium y EG_28/Cel5A de *Thermoascus* a pH 5,5, 4,8, y 6,0, respectivamente. La reacción que contenía CMC como sustrato se llevó a cabo durante 60 minutos, excepto para EG_28/Cel5A durante 10 min. Se añadió BSA (100 μg/ml) como estabilizador.

- Figura 7. A) Se determinó la dependencia del pH de la actividad de BG_101/Cel3A de *Acremonium*, BG_76/Cel3A de *Chaetomium*, y BG_81/Cel3A de *Thermoascus* producida de manera heteróloga con un sustrato de 4-nitrofenil-β-D-glucopiranósido en una reacción de 10 min a 50°C. B) Se determinó el óptimo de temperatura de β3G_101/Cel3A de *Acremonium*, βG_76/Cel3A de *Chaetomium*, y βG_81/Cel3A de *Thermoascus* a pH 4,5, 5,5, y 4,5, respectivamente. La reacción que contenía 4-nitrofenil-β-D-glucopiranósido como sustrato se llevó a cabo durante 60 minutos, se añadió BSA (100 μg/ml) como estabilizador.
- Figura 8. A) Se determinó la dependencia del pH de la actividad xilanasa XYN_30/Xyn10A *Thermoascus* producida de manera heteróloga con sustrato de xilano de abedul en una reacción de 10 min a 50°C. B) Se determinó el óptimo de temperatura de XYN_30/Xyn10A a pH 5,3 en una reacción de 60 min, se añadió BSA (100 μg/ml) como estabilizador.
- Figura 9. Hidrólisis de fibra de pícea sometida a explosión de vapor de agua lavada (10 mg/ml) con una mezcla de enzimas termófilas (MEZCLA 1) y enzimas de *T. reesei* a 55 y 60°C. La dosificación de enzima se administrar mediante FPU/g de materia seca de sustrato, FPU analizado a 50°C, pH 5. La hidrólisis se llevó a cabo durante 72 horas a pH 5, mezclando. Los resultados se proporcionan como la media (± DT) de tres mediciones separadas.
- Figura 10. Hidrólisis rastrojo de maíz sometido a explosión de vapor de agua (10 mg/ml) con una mezcla de enzimas termófilas (MEZCLA 2) y enzimas de *T. reesei* a 45, 55 y 57,5°C. La dosificación de enzima para la "MEZCLA 2" fue de 5 FPU/g de materia seca de sustrato y para las enzimas de *T. reesei* de 5 FPU/g de materia seca de Celluclast con un suplemento de 100 nkat/g de materia seca de Novozym 188 (la actividad en papel de filtro se analizó a 50°C, pH 5). La hidrólisis se llevó a cabo durante 72 horas a pH 5, mezclando. Los resultados se dan como la media (± DT) de tres mediciones separadas. El sustrato contenía azúcares reductores solubles (aprox. 0,7 mg/ml). Este contenido de azúcar de fondo se restó de los azúcares reductores formados durante la hidrólisis.
- Figura 11. Hidrólisis rastrojo de maíz sometido a explosión de vapor de agua (10 mg/ml) con una mezcla de enzimas termófilas que contiene una nueva xilanasa termófila de *Thermoascus aurantiacus* (MEZCLA 3) y enzimas de *T. reesei* a 45, 55 y 60°C. La dosificación para la enzima fue para la "MEZCLA 3" de 5 FPU/g de materia seca de sustrato y para las enzimas de *T. reesei* de 5 FPU/g de materia seca de Celluclast con un suplemento de 100 nkat/g de materia seca de Novozym 188 (la actividad en papel de filtro se analizó a 50°C, pH 5). La hidrólisis se llevó a cabo durante 72 horas a pH 5, mezclando. Los resultados se proporcionan como la media (± DT) de tres mediciones separadas. El sustrato contenía azúcares reductores solubles (aprox. 0,7 mg/ml). Este contenido de azúcar de fondo se restó de los azúcares reductores formados durante la hidrólisis.
 - Figura 12. Hidrólisis fibra de pícea sometida a explosión de vapor de agua (10 mg/ml) con una mezcla de enzimas termófilas que contiene una nueva xilanasa termófila XYN_30/Xyn10A de *Thermoascus aurantiacus* (MEZCLA 3) y enzimas de *T. reesei* a 45, 55 y 60°C. La dosificación de enzima para la "MEZCLA 3" fue de 5 FPU/g de materia seca de sustrato y para las enzimas de *T. reesei* de 5 FPU/g de materia seca de Celluclast con un suplemento de 100 nkat/g de materia seca de Novozym 188 (la actividad en papel de filtro se analizó a 50°C, pH 5). La hidrólisis se llevó a cabo durante 72 horas a pH 5, mezclando. Los resultados se proporcionan como la media (± DT) de tres mediciones separadas.
- Figura 13. Efecto de la glucosa sobre la actividad de diferentes preparaciones de β-glucosidasa. El análisis convencional utilizando *p* -nitrofenil-β-D-glucopiranósido como sustrato se llevó a cabo en presencia de glucosa en la mezcla de análisis. La actividad se presenta como el porcentaje de la actividad obtenida sin glucosa.
 - Figura 14. Actividades FPU de las mezclas de enzimas a temperaturas de 50°C a 70°C, presentadas como un porcentaje de la actividad en condiciones convencionales (50°C, 1 h).
- Figura 15. Actividad celulasa relativa de dos cepas de *T. reesei* diferentes cultivadas en medios que contienen Nutriosa sin tratar (N0) o Nutriosa pretratada con BG_81/Cel3A (NBG81) como fuente de carbono.

Descripción detallada de la invención

35

50

55

La celulosa es el principal componente estructural de las plantas superiores. Proporciona a las células vegetales una alta resistencia a la tracción ayudándolas a resistir la tensión mecánica y la presión osmótica. La celulosa es un β-1,4-glucano compuesto por cadenas lineales de residuos de glucosa unidos por enlaces glicosídicos β-1,4. La celobiosa es la unidad repetitiva más pequeña de la celulosa. En las paredes celulares la celulosa está empaquetada en láminas orientadas de manera diversa, que están incluidas en una matriz de hemicelulosa y lignina. La hemicelulosa es un grupo heterogéneo de polímeros carbohidratados que contiene principalmente diferentes glucanos, xilanos y mananos. La hemicelulosa consiste en una cadena principal lineal con residuos unidos por β-1,4 sustituidos con cadenas laterales cortas que contienen normalmente acetilo, glucuronilo, arabinosilo y galactosilo. La hemicelulosa puede estar entrecruzada químicamente con lignina. La lignina es un polímero entrecruzado complejo

de unidades de p-hidroxifenilpropano diversamente sustituido que proporciona resistencia a la pared celular para soportar la tensión mecánica, y también protege la celulosa de la hidrólisis enzimática.

La lignocelulosa es una combinación de celulosa y hemicelulosa y polímeros de unidades de fenol propanol y lignina. Es físicamente dura, densa y e inaccesible y el material bioquímico más abundante en la biosfera. Los materiales que contienen lignocelulosa son, por ejemplo: virutas de madera dura y de madera blanda, pasta de madera, serrín y residuos industriales de forestales y de madera; biomasa agrícola tal como paja de cereales, pasta de remolacha azucarera, rastrojo y mazorcas de maíz, bagazo de caña de azúcar, tallos, hojas, cáscaras, cascarillas, y similares; productos de desecho tales como residuos sólidos urbanos, papel de periódico y de oficina de desecho, residuos de la molienda de, p. ej. cereales; cultivos destinados a la producción de energía (p. ej., sauce, chopo, pasto varilla o alpiste arundináceo, y similares). Los ejemplos preferidos son el rastrojo de maíz, el pasto varilla, la paja de cereales, el bagazo de caña de azúcar y los materiales derivados de la madera.

5

10

15

35

40

45

"Material celulósico" según se utiliza en la presente memoria, se refiere a cualquier material que comprende celulosa, hemicelulosa y/o lignocelulosa como componente significativo. "Material lignocelulósico" significa cualquier material que comprende lignocelulosa. Tales materiales son, p. ej. materiales vegetales tales como madera incluyendo madera blanda y dura, cultivos herbáceos, residuos agrícolas, residuos de pasta de celulosa y de papel, papel usado, residuos de la industria alimenticia y de forraje, etc. Las fibras textiles, como el algodón, las fibras derivadas de algodón, lino, cáñamo, yute y fibras celulósicas elaboradas por el hombre como modal, viscosa, liocel son ejemplos específicos de materiales celulósicos.

El material celulósico es degradado en la naturaleza por diversos organismos diferentes, incluyendo bacterias y hongos. La celulosa es degradada típicamente por diferentes celulasas que actúan sucesivamente o simultáneamente. La conversión biológica de celulosa en glucosa requiere generalmente tres tipos de enzimas hidrolíticas: (1) Endoglucanasas que cortan los enlaces glicosídicos beta-1,4 internos; (2) Exocelobiohidrolasas que cortan el disacárido celobiosa del extremo de la cadena polimérica de celulosa; (3) Beta-1,4-glucosidasas que hidrolizan la celobiosa y otros celo-oligosacáridos cortos a glucosa. En otras palabras, los tres principales grupos de celulasas son celobiohidrolasas (CBH), endoglucanasas (EG) y beta-glucosidasas (BG).

La degradación de los sustratos que contienen celulosa más complejos requiere una amplia gama de enzimas diferentes. Por ejemplo la lignocelulosa es degradada por las hemicelulasas, como xilanasas y mananasas. La hemicelulasa es un enzima que hidroliza la hemicelulosa.

Las "enzimas celulolíticas" son enzimas que tienen "actividad celulolítica", lo que significa que son capaces de hidrolizar sustratos celulósicos o derivados de los mismos a sacáridos más pequeños. Por lo tanto, las enzimas celulolíticas incluyen tanto celulasas como hemicelulasas. Celulasas según se utiliza en la presente memoria incluyen celobiohidrolasas, endoglucanasas y beta-glucosidasas.

T. reesei tiene un sistema de celulasa bien conocido y eficaz, que contiene dos CBH, dos EG y BG principales y varias minoritarias. La CBHI de *T. reesei* (Cel7A) corta el azúcar desde el extremo reductor de la cadena de celulosa, tiene un dominio de unión a celulosa C-terminal (CBD) y puede constituir hasta 60% de la proteína secretada total. La CBHII de *T. reesei* (Cel6A) corta el azúcar desde el extremo no reductor de la cadena de celulosa, tiene un dominio de unión a celulosa N-terminal y pueden constituir hasta 20% de la proteína secretada total. Las endoglucanasas EGI (Cel7B), y EGV (Cel45A) tienen un CBD en su extremo C-terminal, EGII (Cel5A) tiene un CBD N-terminal y EGIII (Cel12A) no tiene ningún dominio de unión a celulosa. La CBHI, CBHII, EGI y EGII también se denominan "celulasas principales de *Trichoderma*" que comprenden juntas 80-90% de las proteínas secretadas totales. Los expertos en la técnica saben que una enzima puede ser activa sobre diversos sustratos y las actividades enzimáticas se pueden medir utilizando diferentes sustratos, métodos y condiciones. La identificación de las diferentes actividades celulolíticas son comentadas, p. ej., por Van Tilbeurgh *et al.* 1988.

Además de un dominio/núcleo catalítico que expresa la actividad celulolítica, las enzimas celulolíticas pueden comprender uno o más dominios de unión a celulosa (CBD), también denominados dominios/módulos de unión a carbohidratos (CBD/CBM), que pueden estar localizados en el extremo N o C del dominio catalítico. Los CBD tienen actividad de unión a carbohidratos y median la unión de la celulasa a la celulosa cristalina, pero tienen poco o ningún efecto sobre la actividad hidrolítica de celulasa de la enzima sobre sustratos solubles. Estos dos dominios están conectados típicamente a través de una región conectora flexible y altamente glicosilada.

"Celobiohidrolasa" o "CBH" según se utiliza en la presente memoria, se refiere a enzimas que escinden la celulosa desde el extremo de la cadena de glucosa y producen principalmente celobiosa. También se denominan 1,4-beta-D-glucanocelobiohidrolasas o celulosa 1,4-beta-celobiosidasas. Hidrolizan los enlaces 1,4-beta-D-glicosídicos desde los extremos reductores o no reductores de un polímero que contiene dichos enlaces, tales como celulosa, por medio de lo cual se libera celobiosa. Se han aislado dos CBH diferentes de *Trichoderma reesei*, CBHI y CBHII. Estas tienen una estructura modular que consiste en un dominio catalítico conectado a un dominio de unión a celulosa (CBD). También existen celobiohidrolasas en la naturaleza que carecen de CBD.

"Endoglucanasa" o "EG" se refiere a enzimas que cortan los enlaces glicosídicos internos de la cadena de celulosa. Se clasifican como EC 3.2.1.4. Son 1,4-beta-D-glucano-4-glucanohidrolasas y catalizan la endohidrólisis de los

enlaces 1,4-beta-D-glicosídicos en polímeros de glucosa tales como la celulosa y sus derivados. Algunas endoglucanasas de origen natural tienen un dominio de unión a celulosa, mientras otras no. Algunas endoglucanasas también tienen actividad xilanasa (Bailey *et al.*, 1993).

"Beta-glucosidasa" o "BG" o "βG" se refiere a enzimas que degradan oligosacáridos solubles pequeños incluyendo celobiosa a glucosa. Se clasifican como EC 3.2.1.21. Son beta-D-glucósido glucohidrolasas, que típicamente catalizan la hidrólisis de residuos de beta-D-glucosa no reductores terminales. Estas enzimas reconocen oligosacáridos de glucosa. Los sustratos típicos son celobiosa y celotriosa. La celobiosa es un inhibidor de las celobiohidrolasas, por tanto la degradación de la celobiosa es importante para superar la inhibición por producto final de celobiohidrolasas.

5

30

35

45

- Las xilanasas son enzimas que son capaces de reconocer e hidrolizar la hemicelulosa. Incluyen enzimas tanto exohidrolíticas como endohidrolíticas. Típicamente tienen actividad endo-1,4-beta-xilanasa (EC 3.2.1.8) o beta-D-xilosidasa (EC 3.2.1.37) que rompe la hemicelulosa a xilosa. "Xilanasa" o "Xyn" en relación con la presente invención se refiere especialmente a una enzima clasificada como EC 3.2.1.8 que hidroliza polímeros de xilosa de sustratos lignocelulósicos o xilano purificado.
- Además de esto, las celulasas se pueden clasificar en varias familias de glicosil hidrolasas de acuerdo con su secuencia primaria, apoyada por el análisis de la estructura tridimensional de algunos miembros de la familia (Henrissat 1991, Henrissat y Bairoch 1993, 1996). Algunas glicosilhidrolasas son enzimas multifuncionales que contienen dominios catalíticos que pertenecen a diferentes familias de glicosilhidrolasas. La familia 3 consiste en beta-glucosidasas (EC 3.2.1.21) tales como BG_81 de Ta, BG_101 de At y BG_76 de Ct descritas en la presente memoria. La familia 5 (antes conocida como celA) consiste principalmente en endoglucanasas (EC 3.2.1.4) como EG_28 de Ta descrita en la presente memoria. La familia 7 (antes familia de celulasa CELC) contiene endoglucanasas (EC 3.2.1.4) y celobiohidrolasas (EC 3.2.1.91) tales como EG_54 de Ct, CBH de Ta, CBH_A de At, CBH_C de At y CBH de Ct descritas en la presente memoria. La familia 10 (antes CELF) consiste principalmente en xilanasas (EC 3.2.1.8) tales como XYN_30 de Ta y XYN_60 de At descritas en la presente memoria. La familia 45 (antes CELK) contiene endoglucanasas (EC 3.2.1.4), tales como la EG_40 de At y de tipo EG_40 de At descritas en la presente memoria.
 - Las enzimas celulolíticas útiles para hidrolizar material celulósico son obtenibles de *Thermoascus aurantiacus*, *Acremonium thermophilum*, o *Chaetomium thermophilum*. "Obtenible de" significa que se pueden obtener de dichas especies, pero no excluye la posibilidad de obtenerlas de otras fuentes. En otras palabras, se pueden originar a partir de cualquier organismo, incluidas plantas. Preferiblemente se originan a partir de microorganismos, por ejemplo bacterias u hongos. Las bacterias pueden ser, p. ej., de un género seleccionado entre *Bacillus, Azospirillum* y *Streptomyces*. Más preferiblemente, la enzima se origina a partir de hongos (incluyendo hongos filamentosos y levaduras), por ejemplo de un género seleccionado del grupo que consiste en *Thermoascus, Acremonium*, *Chaetomium, Achaetomium, Thielavia, Aspergillus, Botrytis, Chrysosporium, Collybia, Fomes, Fusarium, Humicola, Hypocrea, Lentinus, Melanocarpus, Myceliophthora, Myriococcum, Neurospora, Penicillium, Phanerochaete, Phlebia, <i>Pleurotus, Podospora, Polyporus, Rhizoctonia, Scytalidium, Pycnoporus, Trametes* y *Trichoderma*.

La presente solicitud describe enzimas que se pueden obtener de *Thermoascus aurantiacus* cepa ALKO4242 depositada como CBS 116239, cepa ALKO4245 depositada como CBS 116240 actualmente clasificada como *Acremonium thermophilium*, o *Chaetomium thermophilium* cepa ALKO4265 depositada como CBS 730.95.

40 La celobiohidrolasa preferiblemente comprende una secuencia de aminoácidos que tiene una identidad de al menos el 80% con la SEQ ID NO: 2, 4, 6 u 8, o un fragmento enzimáticamente activo del mismo.

Celobiohidrolasa	Gen	Obtenible de	CBD	ácido nucleico	amino ácido
				SEQ ID NO:	SEQ ID NO:
CBH de Ta	cel7A de Ta	T. aurantiacus	-	1	2
CBH_A de At	cel7B de At	A. thermophilum	-	3	4
CBH_C de At	cel7A de At	A. thermophilum	+	5	6
CBH de Ct	cel7A de Ct	C. thermophilum	+	7	8

Estas CBH tienen una inhibición de celulosa constante ventajosa en comparación con la de la CBH de *Trichoderma reesei*, y muestran mejores resultados de hidrólisis cuando se someten a ensayo diversos sustratos celulósicos. Los SEQ ID NO: 2 y 4 no lo comprenden un CBD. Se pueden obtener resultados de hidrólisis particularmente mejorados

cuando un dominio de unión a celulosa (CBD) se ancla una CBH que no tiene un CBD propio. El CBD se puede obtener p. ej. a partir de una especie de *Trichoderma* o *Chaetomium*, y se ancla a la CBH preferiblemente a través de un conector. La proteína de fusión resultante que contiene una región núcleo de CBH anclada a un CBD a través de un conector puede comprender una secuencia de aminoácidos que tiene una identidad de al menos 80% con la SEQ ID NO: 28 o 30. Los polinucleótidos que comprenden una secuencia de la SEQ ID NO: 27 o 29 codifican tales proteínas de fusión.

La endoglucanasa puede comprender una secuencia de aminoácidos que tiene una identidad de al menos 80% con la SEQ ID NO: 10, 12, 14 o 16, o un fragmento enzimáticamente activo del mismo. Estas endoglucanasas tienen buena termoestabilidad.

Endoglucanasa	Gen	Obtenible de	CBD	ácido nucleico SEQ ID NO:	aminoácido SEQ ID NO:
EG_28 de Ta	cel5A de Ta	T. aurantiacus	-	9	10
EG_40 de At	cel45A de At	A. thermophilum	+	11	12
De tipo EG40 de At	cel45B de At	A. thermophilum	-	13	14
EG_54 de Ct	ce/7B de Ct	C. thermophilum	+	15	16

10

15

5

La beta-glucosidasa puede comprender una secuencia de aminoácidos que tiene una identidad de al menos 80% con la SEQ ID NO: 22, 24 o 26, o un fragmento enzimáticamente activo del mismo. Estas beta-glucosidasas tienen buena resistencia a la inhibición por glucosa, que es ventajosa para evitar la inhibición por el producto final durante la hidrólisis enzimática del material celulósico. Las beta-glucosidasas también se pueden utilizar en la preparación de soforosa, un inductor de celulasa utilizado en el cultivo de *T. reesei*.

Beta-glucosidasa	Gen	Obtenible de	ácido nucleico SEQ ID NO:	aminoácido SEQ ID NO:
BG_81 de Ta	cel3A de Ta	T. aurantiacus	21	22
BG_101 de At	cel3A de At	A. thermophilum	23	24
BG_76 de Ct	cel3A de Ct	C. thermophilum	25	26

La xilanasa puede comprender una secuencia de aminoácidos que tiene una identidad de al menos 80% con la SEQ ID NO: 18 o 20, o un fragmento enzimáticamente activo del mismo.

Xilanasa	Gen	Obtenible de	CBD	ácido nucleico SEQ ID NO:	aminoácido SEQ ID NO:
Xyn_30	xyn10A de Ta	T. aurantiacus	+	17	18
Xyn_60	xyn10A de At	A. thermophilum	-	19	20

20

25

Mediante el término "identidad" se quiere significar aquí la identidad global entre dos secuencias de aminoácidos comparadas entre sí desde el primer aminoácido codificado por el gen correspondiente hasta el último aminoácido. La identidad de las secuencias completas se mide utilizando el programa de alineamiento global de Needleman-Wunsch en el paquete de programas EMBOSS (European Molecular Biology Open Software Suite; Rice et al., 2000), versión 3.0.0, con los siguientes parámetros: EMBLOSUM62, Penalización por hueco 10,0, Penalización por extensión 0,5. El algoritmo es descrito por Needleman y Wunsch (1970). El experto en la técnica es consciente del hecho de que los resultados en los que se utiliza el algoritmo de Needleman-Wunsch son comparables solamente cuando se alinean los dominios correspondientes de la secuencia. Por consiguiente, la comparación p. ej. de secuencias de celulasa que incluyen CBD o secuencias señal con secuencias que carecen de esos elementos no se puede realizar.

Según una realización de la invención se utiliza un polipéptido celulolítico que tiene una identidad al menos 80, 85, 90, 95 o 99% con la SEQ ID NO: 24 o al menos con su fragmento enzimáticamente activo.

Mediante el término "fragmento enzimáticamente activo" se quiere significar cualquier fragmento de una secuencia definida que tiene actividad celulolítica. En otras palabras un fragmento enzimáticamente activo puede ser la parte de la proteína madura de la secuencia definida, o puede ser solamente un fragmento de la parte de la proteína madura, siempre que tenga todavía actividad celobiohidrolasa, endoglucanasa, beta-glucosidasa o xilanasa.

5

10

15

20

35

40

Las enzimas celulolíticas son preferiblemente enzimas recombinantes, que pueden ser producidas de una manera generalmente conocida. Se aísla un fragmento de polinucleótido que comprende el gen de la enzima, el gen se inserta bajo un promotor fuerte en un vector de expresión, el vector se transfiere en células anfitrionas adecuadas y las células anfitrionas se cultivan en condiciones que provocan la producción de la enzima. Los métodos para la producción de proteínas mediante tecnología recombinante en diferentes sistemas anfitriones son bien conocidos en la técnica (Sambrook *et al.*, 1989; Coen, 2001; Gellissen, 2005). Preferiblemente, las enzimas se producen como enzimas extracelulares que son secretadas al medio de cultivo, a partir del cual se puede recuperar y aislarse fácilmente. Se puede utilizar el medio de cultivo gastado del anfitrión de producción tal cual, o se pueden retirar de allí las células anfitrionas, y/o se puede concentrar, filtrar o fraccionar. También se puede secar.

El polipéptido aislado en el presente contexto puede significar simplemente que las células y los residuos celulares se han retirado del medio de cultivo que contiene el polipéptido. Convenientemente, los polipéptidos se aíslan, p. ej., añadiendo polímeros aniónicos y/o catiónicos al medio de cultivo gastado para mejorar la precipitación de las células, los restos celulares y algunas enzimas que tienen actividades secundarias no deseadas. A continuación el medio se filtra, utilizando un agente de filtración inorgánico y un filtro para retirar los precipitantes formados. Después de esto el producto filtrado se procesa adicionalmente utilizando una membrana semi-permeable para retirar el exceso de sales, azúcares y productos metabólicos.

Según una realización de la invención el polinucleótido heterólogo comprende un gen similar al incluido en un microorganismo que tiene el número de acceso DSM 17325.

El anfitrión de producción puede ser cualquier organismo capaz de expresar la enzima celulolítica. Preferiblemente, el anfitrión es una célula microbiana, más preferiblemente un hongo. Lo más preferiblemente, el anfitrión es un hongo filamentoso. Preferiblemente, el anfitrión recombinante se modifica para expresar y secretar enzimas celulolíticas como su actividad principal o una de sus actividades principales. Esto se puede realizar mediante la supresión de los principales genes homólogos secretados, p. ej., las cuatro principales celulasas de *Trichoderma* y dirigiendo genes heterólogos a un locus que se ha modificado para asegurar altos niveles de expresión y producción. Los anfitriones preferidos para la producción de las enzimas celulolíticas son en particular cepas del género *Trichoderma* o *Aspergillus*.

Las enzimas necesarias para la hidrólisis del material celulósico según la invención se pueden añadir en una cantidad enzimáticamente eficaz o bien simultáneamente, p. ej., en forma de una mezcla de enzimas, o bien sucesivamente, o bien como una parte de la sacarificación y fermentación simultáneas (SSF). Se puede utilizar cualquier combinación de las celobiohidrolasas que comprenden una secuencia de aminoácidos que tiene una identidad de al menos 80% con la SEQ ID NO: 2, 4, 6 u 8 o con un fragmento enzimáticamente activo del mismo junto con cualquier combinación de endoglucanasas y beta-glucosidasas. Si el material celulósico comprende hemicelulosa, se utilizan adicionalmente para la degradación hemicelulasas, preferiblemente xilanasas. Las endoglucanasas, beta-glucosidasas y xilanasas se pueden seleccionar entre las descritas en la presente memoria, pero no se limitan a las mismas. Estas pueden ser también por ejemplo preparaciones de enzimas asequibles comercialmente. Además de celulasas y hemicelulasas opcionales se pueden utilizar una o más enzimas, por ejemplo, proteasas, amilasas, lacasas, lipasas, pectinasas, esterasas y/o peroxidasas. Se puede llevar a cabo otro tratamiento enzimático antes, durante o después del tratamiento con celulasa.

El término "preparación de enzima" se refiere a una composición que comprende al menos una de las enzimas deseadas. La preparación puede contener las enzimas en forma al menos parcialmente purificada y aislada. Ésta puede consistir incluso esencialmente en la enzima o enzimas deseadas. Alternativamente, la preparación puede ser un medio de cultivo gastado o producto filtrado que contiene una o más enzimas celulolíticas. Además de la actividad celulolítica, la preparación puede contener aditivos, tales como mediadores, estabilizantes, tampones, conservantes, tensioactivos y/o componentes del medios de cultivo. Los aditivos preferidos son tales que se utilizan comúnmente en preparaciones de enzimas destinadas a una aplicación concreta. La preparación de enzima puede estar en forma de líquido, polvo o granulado. Preferiblemente, la preparación de enzima es medio de cultivo gastado. El "medio de cultivo gastado" se refiere al medio de cultivo del anfitrión que comprende las enzimas producidas. Preferiblemente, las células anfitrionas se separan de dicho medio después de la producción.

Según una realización de la invención la preparación de enzima comprende una mezcla de CBH, EG y BG, opcionalmente junto con xilanasa y/u otras enzimas. La CBH comprende una secuencia de aminoácidos que tiene una identidad de al menos 80% con la SEQ ID NO: 2, 4, 6 u 8 o con un fragmento enzimáticamente activo del mismo, y se puede obtener a partir de *Thermoascus aurantiacus, Acremonium thermophilum*, o *Chaetomium thermophilum*, mientras que EG, BG y xilanasa pueden ser de cualquier origen, incluyendo a partir de dichos

ES 2 582 320 T3

organismos. Otras enzimas que podrían estar presentes en la preparación son, p. ej. proteasas, amilasas, lacasas, lipasas, pectinasas, esterasas y/o peroxidasas.

Se pueden utilizar mezclas y combinaciones de enzimas para adaptarse a diferentes condiciones del proceso. Por ejemplo, si el proceso de degradación se lleva a cabo a una temperatura alta, se eligen enzimas termoestables. Una combinación de una CBH de la familia 7 con una endoglucanasa de la familia 45, opcionalmente combinadas con una BG de la familia 3 y/o una xilanasa de la familia 10 tuvo un excelente rendimiento de hidrólisis tanto a 45°C, como a temperaturas elevadas.

5

10

35

40

45

50

55

Las enzimas celulolíticas de *Trichoderma reesei* se utilizan convencionalmente a temperaturas en el intervalo de aproximadamente 40-50°C en la hidrólisis, y a 30-40°C en SSF. La CBH, EG, BG y Xyn obtenibles de *Thermoascus aurantiacus, Acremonium thermophilum*, o *Chaetomium thermophilum* también son eficientes a estas temperaturas, pero además la mayoría de ellas también funciona extremadamente bien a temperaturas entre 50°C y 75°C, o incluso hasta 80°C y 85°C, tal como entre 55°C y 70°C, p. ej., entre 60°C y 65°C. Para tiempos de incubación cortos las mezclas de enzimas son funcionales incluso hasta 85°C, para la hidrólisis completa se utilizan normalmente temperaturas más bajas.

El método para el tratamiento de material celulósico con CBH, EG y BG y Xyn es especialmente adecuado para la producción de azúcares fermentables a partir de material lignocelulósico. Los azúcares fermentables se pueden fermentar a continuación por medio de levadura en etanol, y utilizar como combustible. También se pueden utilizar como intermedios o materias primas para la producción de diversos productos químicos o elementos esenciales para los procesos de la industria química, p. ej. en la denominada biorrefinería. El material lignocelulósico se puede pretratar antes de la hidrólisis enzimática para desorganizar la estructura de fibra de los sustratos celulósicos y hacer la fracción de celulosa más accesible a las enzimas celulolíticas. Los pretratamientos actuales incluyen procesos mecánicos, químicos o térmicos y sus combinaciones. El material puede ser pretratado por ejemplo mediante explosión de vapor o hidrólisis ácida.

Se encontraron diversos nuevos polipéptidos celulolíticos en *Thermoascus aurantiacus*, *Acremonium thermophilum*, y *Chaetomium thermophilum*. Los nuevos polipéptidos pueden comprender un fragmento que tiene actividad celulolítica y se pueden seleccionar del grupo que consiste en un polipéptido que comprende una secuencia de aminoácidos que tiene una identidad de al menos 66%, preferiblemente 70% o 75%, con la SEQ ID NO: 4, una identidad de 79% con la SEQ ID NO: 6, una identidad de 78% con la SEQ ID NO: 12, una identidad de 68%, preferiblemente 70% o 75%, identidad con la SEQ ID NO: 14, una identidad de 72%, preferiblemente 75%, con la SEQ ID NO: 16, una identidad de 68%, preferiblemente 70% o 75%, con la SEQ ID NO: 20, una identidad de 74% con la SEQ ID NO: 22 o 24, o una identidad de 78% con la SEQ ID NO: 26.

Los nuevos polipéptidos también pueden ser variantes de dichos polipéptidos. Una "variante" puede ser un polipéptido que se produce naturalmente, p. ej., en forma de una variante alélica dentro de la misma cepa, especie o género, o puede haber sido generado mediante mutagénesis. Puede comprender sustituciones, deleciones o inserciones de aminoácidos, pero todavía funciona de una manera sustancialmente similar a las enzimas definidas anteriormente, es decir, comprende un fragmento que tiene actividad celulolítica.

Los polipéptidos celulolíticos se producen normalmente en las células en forma de polipéptidos inmaduros que comprenden una secuencia señal que es escindida durante la secreción de la proteína. También pueden ser procesados adicionalmente durante la secreción, en el extremo N-terminal y/o extremo C-terminal para dar una proteína enzimáticamente activa, madura. Un polipéptido "que comprende un fragmento que tiene actividad celulolítica" significa por lo tanto que el polipéptido puede estar en forma inmadura o madura, preferiblemente está en forma madura, es decir, ha tenido lugar el procesamiento.

Los nuevos polipéptidos pueden ser, adicionalmente, un "fragmento de los polipéptidos o variantes" mencionados anteriormente. El fragmento puede ser la forma madura de las proteínas mencionadas anteriormente, o puede ser solamente una parte enzimáticamente activa de la proteína madura. De acuerdo con una realización de la invención, el polipéptido tiene una secuencia de aminoácidos que tiene una identidad de al menos 80, 85, 90, 95, o 99% con la SEQ ID NO: 24, o con un fragmento celulolíticamente activo del mismo. También puede ser un fragmento del mismo que tiene actividad celobiohidrolasa, endoglucanasa, xilanasa, o beta-glucosidasa. De acuerdo con otra realización de la invención, el polipéptido consiste esencialmente en un fragmento celulolíticamente activo de una secuencia de la SEQ ID NO: 24.

Los nuevos polinucleótidos pueden comprender una secuencia de nucleótidos de la SEQ ID NO: 23 o una secuencia que codifica un nuevo polipéptido como se ha definido anteriormente, incluyendo hebras complementarias del mismos. Polinucleótido según se utiliza en la presente memoria se refiere tanto a ARN y ADN, y puede ser de hebra sencilla o de doble hebra. El polinucleótido también puede ser un fragmento de dichos polinucleótidos que comprende al menos 20 nucleótidos, p. ej. al menos 25, 30 o 40 nucleótidos. El polinucleótido puede tener al menos 100, 200 o 300 nucleótidos de longitud. Adicionalmente, el polinucleótido puede ser degenerado como resultado del código genético con respecto a una cualquiera de las secuencias definidas anteriormente. Esto significa que diferentes codones pueden codificar para el mismo aminoácido.

Según una realización de la invención el polinucleótido está "comprendido en" la SEQ ID NO: 23, lo que significa que la secuencia tiene al menos parte de la secuencia mencionada. Según otra realización de la invención, el polinucleótido comprende un gen similar al incluido en un microorganismo que tiene el número de acceso DSM 17325.

Las nuevas proteínas/polipéptidos se pueden preparar como se ha descrito anteriormente. Los nuevos polinucleótidos se pueden insertar en un vector, que es capaz de expresar el polipéptido codificado por la secuencia heteróloga, y el vector se puede insertar en una célula anfitriona capaz de expresar dicho polipéptido. La célula anfitriona es preferiblemente del género *Trichoderma* o *Aspergillus*.

Se ha introducido un gen heterólogo que codifica los nuevos polipéptidos en un plásmido en una cepa de 10 Escherichia coli que tiene el número de acceso DSM 17325.

Las nuevas enzimas pueden ser componentes de una preparación de enzima. La preparación de enzima puede comprender uno o más de los nuevos polipéptidos, y puede estar, p. ej. en forma de medio de cultivo gastado, polvo, gránulos o líquido. Según una realización de la invención comprende actividad celobiohidrolasa, endoglucanasa, beta-glucosidasa, y opcionalmente xilanasa y/o otras actividades enzimáticas. Puede comprender adicionalmente cualquier aditivo convencional.

Las nuevas enzimas se pueden aplicar en cualquier proceso que implique enzimas celulolíticas, tal como en la industria de combustibles, textil, detergentes, pasta de celulosa y papel, alimentos, forrajes o bebidas, y especialmente en la hidrólisis de material celulósico para la producción de biocombustible que comprende etanol. En la industria de la pasta de celulosa y el papel se pueden utilizar para modificar la fibra celulósica, por ejemplo, en el tratamiento de pasta kraft, pasta mecánica, o papel reciclado.

La invención se ilustra mediante los siguientes ejemplos no limitantes.

Ejemplos

15

20

45

Ejemplo 1. Escrutinio para determinar las cepas que expresan la actividad celulolítica y su cultivo para la purificación

Se sometieron a ensayo aproximadamente 25 cepas de hongos de la colección de cultivos Roal Oy para determinar la actividad celulolítica incluyendo beta-glucosidasas. Después del escrutinio preliminar se eligieron seis cepas para estudios posteriores. Estas fueron ALKO4239 y ALKO4242 de *Thermoascus aurantiacus*, ALKO4245 de *Acremonium thermophilum*, ALKO4246 de *Talaromyces thermophilus* y ALKO4261 y ALKO4265 de *Chaetomium thermophilum*.

Las cepas ALKO4239, ALKO4242 y ALKO4246 se cultivaron en matraces oscilantes a 42°C durante 7 días en el medio 3 x B, que contiene g/litro: celulosa Solka Floc 18, bagazo de destilería 18, xilano de espelta de avena 9, CaCO₃ 2, harina de soja 4,5, (NH₄)HPO₄ 4,5, salvado de trigo 3,0, KH₂PO₄ 1,5, MgSO₄·H₂O 1,5, NaCl 0,5, KNO₃ 0,9, goma garrofín 9,0, disolución de elementos traza Núm. 1 0,5, disolución de elementos traza Núm. 2 0,5 y Struktol (Stow, OH, USA) antiespumante 0,5 ml; el pH se ajustó a 6,5. La disolución de elementos traza Núm. 1 tiene g/litro: MnSO₄ 1,6, ZnSO₄·7H₂O 3,45 y CoCl₂·6H₂O 2,0; la disolución de elementos traza Núm. 2 tiene g/litro: FeSO₄·7H₂O 3,0 con dos gotas de H₂SO₄ concentrado.

La cepa ALKO4261 se cultivó en matraces oscilantes en el medio 1XB, que tiene un tercio de cada uno de los componentes del medio 3 x B (anterior), excepto que tiene mismas concentraciones de CaCO₃, NaCl y elementos traza. La cepa se cultivó a 45°C durante 7 d.

La cepa ALKO 4265 se cultivó en matraces oscilantes en el siguiente medio, g/l: celulosa Solka Floc 40, Pharmamedia™ (Traders Protein, Memphis, TN, USA) 10, polvo de aguas de infusión de maíz 5, (NH₄)₂SO₄ 5 y KH₂PO₄ 15; el pH se ajustó a 6,5. La cepa se cultivó a 45°C durante 7 d.

Después del cultivo las células y otros sólidos se recogieron por centrifugación y se recuperó el sobrenadante. Para los cultivos en matraz oscilante, se añadieron los inhibidores de proteasa PMSF (fluoruro de fenilmetil-sulfonilo) y pepstatina A a 1 mM y 10 µg/ml, respectivamente. Si no se utilizan inmediatamente, las preparaciones se almacenan en alícuotas a -20°C.

Para la estimación de la termoactividad de las enzimas, se realizaron análisis de las preparaciones de cultivo en matraz oscilante a 50°C, 60°C, 60°C, 70°C y 75°C durante 1 h, en presencia de 100 µg de albúmina de suero bovino (BSA)/ml como estabilizador. Se realizaron análisis preliminares a 50°C y 65°C a dos valores de pH diferentes (4.8/5.0 o 6.0) con el fin de aclarar qué pH era el más apropiado para el análisis de termoactividad.

50 Se analizaron todos los sobrenadantes de los matraces oscilantes para determinar las siguientes actividades:

Actividad de tipo celobiohidrolasa I ('CBHI') y actividad de tipo endoglucanasa I ('EGI'):

Éstas se midieron en tampón de acetato de Na 50 mM con MUL (4-metilumbeliferil-beta-D-lactósido) 0,5 mM como sustrato. Se añadió glucosa (100 mM) para inhibir cualquier actividad de beta-glucosidasa interferente. El 4-

metilumbeliferilo liberado se midió a 370 nm. Las actividades de 'CBHI' y 'EGI' se distinguieron midiendo actividad en presencia y ausencia de celobiosa (5 mM). La actividad que no es inhibida por celobiosa representa la actividad 'EGI' y la actividad MUL restante representa la actividad 'CBHI' (van Tilbeurgh *et al*, 1988). El análisis se realizó a pH 5,0 o 6,0 (véase más abajo).

5 Actividad endoglucanasa (CMCasa):

Ésta se analizó carboximetilcelulosa (CMC) al 2% (p/v) como sustrato en tampón de citrato 50 mM esencialmente como describen Bailey y Nevalainen 1981; Haakana *et al.* 2004. Los azúcares reductores se midieron con el reactivo DNS. El análisis se realizó a pH 4,8 o 6,0 (véase más abajo).

Actividad beta-glucosidasa (BGU):

25

30

35

40

45

Ésta se analizó con 4-nitrofenil-β-D-glucopiranósido (1 mM) en tampón de citrato 50 mM como describen Bailey y Nevalainen 1981. El 4-nitrofenol liberado se midió a 400 nm. El análisis se realizó a pH 4,8 o 6,0 (véase más abajo).

Las actividades relativas de las enzimas se presentan en la Figura 1. Las actividades relativas se presentaron ajustando la actividad a 60°C como 100% (Figura 1). Todas las cepas produjeron enzimas, que tenían una actividad elevada a altas temperaturas (65°C-75°C).

Para las purificaciones de las proteínas, también se cultivó ALKO4242 en un biorreactor de 2 litros (Braun Biostat[®] B, Braun, Melsungen, Alemania) en el siguiente medio, g/litro: celulosa Solka Floc 40, harina de soja 10, NH₄NO₃ 5, KH₂PO₄ 5, MgSO₄·7H₂O 0,5, CaCl₂·2H₂O 0,05, disolución de elementos traza Núm. 1 0,5, disolución de elementos traza Núm. 2 0,5. La aireación a fue de 1 vvm, control antiespumante con Struktol, agitación a 200-800 rpm y temperatura a 47°C. Se hicieron circular dos lotes, uno a pH 4,7 ± 0,2 (NH₃/H₂SO₄) y el otro con un pH inicial de pH 4,5. El tiempo de cultivo fue de 7 d. Después del cultivo las células y otros sólidos se eliminaron mediante centrifugación.

La cepa ALKO4245 se cultivó en un bioreactor de 2 litros (Braun Biostat[®] B, Braun, Melsungen, Alemania) en el siguiente medio, g/litro: celulosa Solka Floc 40, polvo de aguas de infusión de maíz 15, bagazo de destilería 5, xilano de espelta de avena 3, goma garrofín 3, (NH₄)₂SO₄ 5 y KH₂PO₄ 5. El intervalo de pH fue de 5,2 ± 0,2 (NH₃/H₂SO₄), aireación a 1 vvm, agitación a 300-600 rpm, control antiespumante con Struktol y temperatura de 42°C. El tiempo de cultivo fue de 4 d. Después del cultivo las células y otros sólidos se eliminaron mediante centrifugación.

Para la purificación de la enzima, se cultivó ALKO4261 en un biorreactor de 10 litros (Braun Biostat[®] ED, Braun, Melsungen, Alemania) en el siguiente medio, g/litro: celulosa Solka Floc 30, bagazo de destilería 10, xilano de espelta de avena 5, CaCO₃ 2, harina de soja 10, salvado de trigo 3,0, (NH₄)₂SO₄ 5, KH₂PO₄ 5, MgSO₄·7H₂O 0,5, NaCl 0,5, KNO₃ 0,3, solución de elementos traza Núm. 1 0,5 y disolución de elementos traza Núm. 2 0,5. El intervalo de pH fue de 5,2 ± 0,2 (NH₃/H₂SO₄), aireación a 1 vvm, agitación a 200-600 rpm, control antiespumante con Struktol y temperatura de 42°C. El tiempo de cultivo fue de 5 d. Se cultivó un segundo lote en condiciones similares excepto que se añadió Solka Floc a 40 g/l y bagazo a 15 g/l. Los sobrenadantes se recuperaron mediante centrifugación y se filtraron a través de filtros Seitz K-150 y EK (Pall SeitzSchenk Filtersystems GmbH, Bad Kreuznach, Alemania). El último sobrenadante se concentró aproximadamente diez veces utilizando el sistema ultrafiltración Pellicon Mini (filtro NMWL de 10 kDa; Millipore, Billerica, MA, USA).

Para la purificación de la enzima, ALKO4265 también se cultivó en un biorreactor de 10 litros (Braun Biostat® ED, Braun, Melsungen, Alemania) en el mismo medio que antes, excepto que se añadió KH_2PO_4 a 2,5 g/l. El intervalo de pH fue de 5,3 \pm 0,3 (NH_3/H_3PO_4), aireación a 0,6 vvm, agitación a 500 rpm, control antiespumante con Struktol y temperatura de 43°C. El tiempo de cultivo fue de 7 d. Los sobrenadantes se recuperaron mediante centrifugación y se filtraron a través de filtros Seitz K-150 y EK (Pall SeitzSchenk Filtersystems GmbH, Bad Kreuznach, Alemania). El último sobrenadante se concentró aproximadamente 20 veces utilizando el sistema de ultrafiltración Pellicon Mini (filtro NMWL de 10 kDa; Millipore, Billerica, MA, USA).

Ejemplo 2. Purificación y caracterización de celobiohidrolasas de *Acremonium thermophilum* ALKO4245 y Chaetomium thermophilum ALKO4265

Se cultivaron *Acremonium thermophilum* ALKO4245 y *Chaetomium thermophilum* ALKO4265 como se ha descrito en el Ejemplo 1. Las principales celobiohidrolasas se purificaron utilizando una columna de afinidad basada en *p*-aminobencil-1-tio-β-celobiósido, preparada como describen Tomme *et al.*,1988.

Los sobrenadantes del cultivo se tamponaron en primer lugar en tampón de acetato de sodio 50 mM de pH 5,0, que contenía δ-gluconolactona 1 mM y glucosa 0,1 M con el fin de retardar la hidrólisis del ligando en presencia de β-glucosidasas. Las celobiohidrolasas se hicieron eluir con lactosa 0,1 M y finalmente se purificaron mediante cromatografía de filtración en gel utilizando columnas Superdex 200 HR 10/30 en el sistema ÄKTA (Amersham Pharmacia Biotech). El tampón utilizado en la filtración de gel fue fosfato de sodio 50 mM de pH 7,0, que contenía cloruro de sodio 0,15 M.

Las celobiohidrolasas purificadas se analizaron mediante electroforesis en gel de poliacrilamida-SDS y se determinó que la masa molecular de ambas proteínas era de aproximadamente 70 kDa evaluada sobre la base de los patrones de masa molecular (Kit de calibración de bajo peso molecular, Amersham Biosciences). Las celobiohidrolasas de *Acremonium* y *Chaetomium* purificadas se denominaron Cel7A de At y Cel7A de Ct, respectivamente, siguiendo el esquema en Henrissat *et al.* (Henrissat, 1991; Henrissat y Bairoch, 1993).

5

10

15

20

25

30

35

40

La actividad específica de las preparaciones se determinó utilizando 4-metilumbeliferil-β-D-lactósido (MUL), 4-metilumbeliferil-β-D-celobiósido (MUG2) o 4-metilumbeliferil-β-D-celotriósido (MUG3) como sustrato (van Tilbeurgh et al., 1988) en tampón de citrato sódico 0,05 M de pH 5 a 50°C durante 10 min. Las actividades endoglucanasa y xilanasa se determinaron mediante procedimientos normalizados (de acuerdo con la IUPAC, 1987) utilizando carboximetilcelulosa (CMC) y glucuronoxilano de abedul (Bailey et al., 1992) como sustratos. La actividad específica frente a Avicel se calculó sobre la base de los azúcares reductores formados en una reacción de 24 horas a 50°C, pH 5,0, con sustrato al 1% y dosificación de enzima 0,25 μΜ. El contenido de proteína de las preparaciones de enzima purificada se midió de acuerdo con Lowry et al., 1951. Para caracterizar los productos finales de la hidrólisis, los azúcares solubles liberados en 24 h en el experimento de hidrólisis, como se ha descrito anteriormente, se analizaron mediante HPLC (Dionex). La celobiohidrolasa purificada I (CBHI/Cel7A) de *Trichoderma reesei* se utilizó como referencia.

Las actividades específicas de las enzimas purificadas y la de CBHI/Cel7A de *T. reesei* se presentan en la Tabla 1. Las celobiohidrolasas Cel7A de At y Cel7A de Ct purificadas poseen actividades específicas superiores frente a sustratos sintéticos pequeños en comparación con CBHI/Cel7A de *T. reesei*. La actividad específica frente a Avicel fue claramente superior con las enzimas descritas en la presente memoria. Las actividades bajas de las preparaciones de enzima purificada frente a xilano y CMC pueden ser o debidas a las propiedades de las proteínas por sí mismas, o al menos parcialmente a las pequeñas cantidades restantes de enzimas contaminantes. El principal producto final de hidrólisis de la celulosa por todas las enzimas purificadas fue la celobiosa lo que es típico de las celobiohidrolasas.

Tabla 1. Actividades específicas (nkat/mg) de las celobiohidrolasas purificadas y la enzima de referencia de *T. reesei* (50°C, pH 5,0, 24 h).

Sustrato	ALKO4245 Cel7A de A. thermophilum	ALKO4265 Cel7A de C. thermophilum	Cel7A de <i>T. reesei</i>
Xilano	11,3	6,7	1,3
CMC	26,2	5,5	1,0
Mug2	9,2	18,9	4,3
Mug3	1,3	1,5	0,9
MUL	21,5	54,0	21,9
Avicel	1,8	1,4	0,6

La estabilidad térmica de las celobiohidrolasas purificadas se determinó a diferentes temperaturas. La reacción se realizó en presencia de BSA al 0,1% a pH 5,0 durante 60 min utilizando 4-metilumbeliferil-β-D-lactósido como sustrato. ALKO4265 CBH/Cel7A de *C. thermophilum* y ALKO4245 CBH/Cel7A de *A. thermophilum* fueron estables hasta 65° y 60°C, respectivamente. La enzima de referencia de *T. reesei* (CBHI/Cel7A) conservó 100% de la actividad hasta 55°C.

Ejemplo 3. Purificación y caracterización de una endoglucanasa de Acremonium thermophilum ALKO4245

Se cultivó Acremonium thermophilum ALKO4245 como se ha descrito en el Ejemplo 1. El sobrenadante de cultivo se incubó a 70°C durante 24 horas después de lo cual se concentró mediante ultrafiltración. La endoglucanasa pura se obtuvo mediante purificación secuencial con cromatografía de interacción hidrófoba y de intercambio catiónico seguida de filtración en gel. La actividad endoglucanasa de las fracciones recogidas durante la purificación se determinó utilizando carboximetilcelulosa (CMC) como sustrato (Procedimiento de la IUPAC 1987). El contenido de proteína se midió mediante BioRad Assay Kit (Bio-Rad Laboratories) utilizando albúmina de suero bovino como patrón.

El sobrenadante de cultivo concentrado se aplicó a una columna de interacción hidrófoba HiPrep 16/10 Butyl FF equilibrada con tampón de fosfato de potasio 20 mM de pH 6,0, que contenía (NH₄)₂SO₄ 1 M. Las proteínas unidas

se hicieron eluir con el gradiente lineal desde el tampón anterior a fosfato de potasio 5 mM, pH 6,0. Las fracciones se recogieron y la actividad de endoglucanasa se determinó como se ha descrito anteriormente. La actividad endoglucanasa eluyó en una amplia zona de conductividad de 120 a 15 mS/cm.

Las fracciones combinadas se aplicaron a una columna de intercambio catiónico HiTrap SP XL equilibrada con acetato de sodio 8 mM, pH 4,5. Las proteínas unidas se hicieron eluir con un gradiente lineal de NaCl de 0 a 0,25 M en el tampón de equilibrado. La actividad endoglucanasa que contenía proteína se hizo eluir en la zona de conductividad de 3-7 mS/cm. Se repitió la cromatografía de intercambio catiónico y el eluato de la proteína se concentró mediante liofilización.

La muestra disuelta se cargó en una columna de filtración en gel Superdex 75 HR10/30 equilibrada con tampón de fosfato de sodio 20 mM de pH 7,0, que contenía NaCl 0,15 M. La fracción principal de la proteína se hizo eluir de la columna con el volumen de retención de 13,3 ml. Se estimó que el eluato de proteína era puro mediante electroforesis en gel de poliacrilamida-SDS y se evaluó que el peso molecular era de 40 kDa. Se determinó que la actividad específica de la proteína purificada, designada como EG_40 de At, a 50°C era 450 de nkat/mg (Procedimiento de la IUPAC 1987, utilizando como sustrato CMC).

La estabilidad térmica de la endoglucanasa purificada se determinó a diferentes temperaturas. La reacción se realizó en presencia de 0,1 mg/ml de BSA a pH 5,0 durante 60 min utilizando carboximetilcelulosa como sustrato. A. thermophilum EG_40/Cel45A fue estable hasta 80°C. Las enzimas de referencia de *T. reesei* EGI (Cel7B) y EGII (Cel5A) conservaron 100% de la actividad hasta 60°C y 65°C, respectivamente.

Ejemplo 4. Purificación de una endoglucanasa de Chaetomium thermophilum ALKO4261

5

35

50

55

20 Se cultivó *Chaetomium thermophilum* ALKO4261 como se ha descrito en el Ejemplo 1. La endoglucanasa pura se obtuvo mediante purificación secuencial con cromatografía de interacción hidrófoba y de intercambio catiónico seguida de filtración en gel. La actividad endoglucanasa de las fracciones recogidas durante la purificación se determinó utilizando carboximetilcelulosa (CMC) como sustrato (procedimiento de la IUPAC 1987).

Se añadió sulfato amónico al sobrenadante de cultivo para alcanzar la misma conductividad que fosfato de potasio 20 mM de pH 6,0, que contenía (NH₄)₂SO₄ 1 M. La muestra se aplicó a una columna de interacción hidrófoba HiPrep 16/10 Phenyl FF equilibrada con fosfato de potasio 20 mM de pH 6,0, que contenía (NH₄)₂SO₄ 1 M. La elución se llevó a cabo con un gradiente lineal de fosfato de potasio de 20 a 0 mM, pH 6,0, seguido de fosfato de potasio 5 mM, pH 6,0 y agua. Las proteínas unidas se hicieron eluir con un gradiente lineal de urea de 0 a 6 M. Las fracciones se recogieron y la actividad endoglucanasa se analizó como se ha descrito anteriormente. La proteína que contiene actividad endoglucanasa se hizo eluir al principio del gradiente de urea.

Las fracciones se combinaron, se equilibraron a Tris-HCl 16 mM, pH 7,5 (I = 1,4 mS/cm) mediante una columna 10DG (Bio-Rad) y se aplicó a una columna de intercambio aniónico HiTrap DEAE FF equilibrada con Tris-HCl 20 mM, pH 7,5. Las proteínas unidas se hicieron eluir con un gradiente lineal de NaCl de 0 a 1 M en el tampón de equilibrado. Las fracciones se recogieron y analizaron para determinar la actividad endoglucanasa como se ha descrito anteriormente. La proteína se hizo eluir en el intervalo de 10-20 mS/cm.

La muestra se equilibró a acetato de sodio 15 mM, pH 4,5 mediante una columna 10DG (Bio-Rad) y se aplicó a una columna de intercambio catiónico HiTrap SP XL equilibrada con acetato de sodio 20 mM de pH 4,5. Las proteínas se hicieron eluir con un gradiente lineal de acetato de sodio de 0 a 0,4 M, pH 4,5. La actividad endoglucanasa eluyó en el intervalo de 1-10 mS/cm. La muestra recogida se liofilizó.

La muestra se disolvió en agua y se aplicó a una columna de filtración en gel Superdex 75 HR 10/30 equilibrada con fosfato de sodio 20 mM de pH 6,0, que contenía NaCl 0,15 M. Las fracciones se recogieron y las que contenían actividad endoglucanasa se combinaron. Se estimó que el eluato de proteína era puro mediante electroforesis en gel de poliacrilamida-SDS y se evaluó que la masa molecular sobre la base de patrones de masa molecular (patrones de SDS-PAGE preteñidos, Broad Range, Bio-Rad) era de 54 kDa. Se determinó que el pl de la proteína purificada, denominada EG_54 de Ct con PhastSystem (Pharmacia) era aprox. 5,5.

Ejemplo 5. Purificación de una endoglucanasa de Thermoascus aurantiacus ALKO4242

Se cultivó *Thermoascus aurantiacus* ALKO4242 como se ha descrito en el Ejemplo 1. La endoglucanasa pura se obtuvo mediante purificación secuencial con cromatografía de interacción hidrófoba y de intercambio aniónico seguida de filtración en gel. La actividad endoglucanasa de las fracciones recogidas durante la purificación se determinó utilizando carboximetilcelulosa (CMC) como sustrato (Procedimiento de la IUPAC 1987). El contenido de proteína se midió mediante BioRad Assay Kit (Bio-Rad Laboratories) utilizando albúmina de suero bovino como patrón

El sobrenadante de cultivo se aplicó a una columna de interacción hidrófoba HiPrep 16/10 Butyl equilibrada con tampón fosfato de potasio 20 mM de pH 6,0, que contenía $(NH_4)_2SO_4$ 0,7 M. Las proteínas unidas se hicieron eluir con $(NH_4)_2SO_4$ 0,2 M (I = 39 mS/cm). Las fracciones que contenían actividad endoglucanasa se combinaron y se concentraron mediante ultrafiltración.

La muestra se desaló en columnas 10DG (Bio-Rad) y se aplicó a una columna de intercambio aniónico HiTrap DEAE FF equilibrada con Tris-HCl 15 mM, pH 7,0. Las proteínas unidas se hicieron eluir con un gradiente lineal de NaCl 0 a 0,4 M en el tampón de equilibrado. La proteína que contiene actividad endoglucanasa se hizo eluir en la zona de conductividad de 15-21 mS/cm. Las fracciones recogidas se combinaron y se concentraron como antes.

La muestra se aplicó a una columna de filtración en gel Sephacryl S-100 HR 26/60 equilibrada con tampón acetato de sodio 50 mM de pH 5,0, que contenía NaCl 0,05 M. La fracción de proteína que contenía actividad endoglucanasa se hizo eluir de la columna con un volumen de retención correspondiente a un peso molecular de 16 kDa. Las fracciones recogidas se combinaron, se concentraron y se repitió la filtración en gel. Se estimó que el eluato de proteína era puro mediante electroforesis en gel de poliacrilamida-SDS y se consideró que el peso molecular era de 28 kDa. Se determinó que el pl de la proteína purificada, denominada EG_28 de Ta, en un gel IEF (PhastSystem, Pharmacia) era de aproximadamente 3,5. Se determinó que la actividad específica de EG_28 de Ta a 50°C era de 4290 nkat/mg (Procedimiento de la IUPAC 1987, utilizando como sustrato CMC).

Ejemplo 6. Purificación y caracterización de una β-glucosidasa de Acremonium thermophilum ALKO4245

Se cultivó *Acremonium thermophilum* ALKO4245 como se ha descrito en el Ejemplo 1. La β-glucosidasa pura se obtuvo mediante purificación secuencial con cromatografía de interacción hidrófoba y de intercambio aniónico seguida de filtración en gel. La actividad β-glucosidasa de las fracciones recogidas durante la purificación se determinó utilizando 4-nitrofenil-β-D-glucopiranósido como sustrato (Bailey y Linko, 1990). El contenido de proteína se midió mediante BioRad Assay Kit (Bio-Rad Laboratories) utilizando albúmina de suero bovino como patrón.

El sobrenadante de cultivo se aplicó a una columna de Phenyl Sepharose FF de interacción hidrófoba HiPrep 16/10 equilibrada con fosfato de potasio 20 mM de pH 6,0, que contenía (NH₄)₂SO₄ 1 M. Las proteínas unidas se hicieron eluir con un gradiente lineal desde el tampón de equilibrado a fosfato de potasio 5 mM en la zona de conductividad de 137-16 mS/cm. Las fracciones recogidas se combinaron y se concentraron mediante ultrafiltración.

La muestra se desaló en columnas 10DG (Bio-Rad) y se aplicó a una columna de intercambio aniónico HiTrap DEAE FF equilibrada con fosfato de potasio 10 mM de pH 7,0. Las proteínas unidas se hicieron eluir con un gradiente lineal desde el tampón de equilibrado al mismo tampón que contenía NaCl 0,25 M en la zona de conductividad de 1,5-12 mS/cm. La cromatografía de intercambio aniónico se repitió como antes, excepto que se utilizó tampón de fosfato de potasio 4 mM de pH 7,2 mM. Las proteínas se hicieron eluir a la zona conductividad de 6-9 mS/cm. Las fracciones que contenían actividad de β-glucosidasa se recogieron, se combinaron y se concentraron.

El material activo de la cromatografía de intercambio aniónico se aplicó a una columna HR 26/60 Sephacryl S-300 equilibrada con fosfato de sodio 20 mM de pH 6,5, que contenía NaCl 0,15 M. La proteína con actividad β-glucosidasa se hizo eluir con un volumen de retención correspondiente a un peso molecular de 243 kDa. Se estimó que la proteína era pura mediante electroforesis en gel de poliacrilamida-SDS y se evaluó que el peso molecular era de 101 kDa. Se determinó que el pl de la proteína purificada, denominada A βG_101, en un gel IEF (PhastSystem, Pharmacia) estaba en la zona de 5,6-4,9. Se determinó que la actividad específica de βG_101 de At a 50°C era de 1100 nkat/mg (utilizando 4-nitrofenil-β-D-glucopiranósido como sustrato, Bailey y Linko, 1990).

La estabilidad térmica de la β -glucosidasa purificada se determinó a diferentes temperaturas. La reacción se realizó en presencia de 0,1 mg/ml de BSA a pH 5,0 durante 60 min utilizando 4-nitrofenil- β -D-glucopiranósido como sustrato. La βG _101 de *A. thermophilum* fue estable hasta 70°C. La enzima de referencia de *Aspergillus* (Novozym 188) conservó 100% de la actividad hasta 60°C.

40 Ejemplo 7. Purificación de una β-glucosidasa de Chaetomium thermophilum ALKO4261

25

30

35

Se cultivó *Chaetomium thermophilum* ALKO4261 como se ha descrito en el Ejemplo 1. La β-glucosidasa pura se obtuvo mediante purificación secuencial con cromatografía de interacción hidrófoba, de intercambio aniónico y catiónico seguida de filtración en gel. La actividad β-glucosidasa de las fracciones recogidas durante la purificación se determinó utilizando 4-nitrofenil-β-D-glucopiranósido como sustrato (Bailey y Linko, 1990).

45 El sobrenadante de cultivo se aplicó a una columna de interacción hidrófoba HiPrep 16/10 Phenyl Sepharose FF equilibrada con fosfato de potasio 20 mM de pH 6,0, que contenía (NH₄)₂SO₄ 0,8 M. La elución se llevó a cabo con un gradiente lineal desde tampón de equilibrado a fosfato de potasio 3 mM, pH 6,0, seguido de elución con agua y urea 6 M. Las primeras fracciones con actividad β-glucosidasa se hicieron eluir en la zona de conductividad de 80-30 mS/cm. La segunda actividad β-glucosidasa se hizo eluir con urea 6 M. Las fracciones activas eluidas mediante urea se reunieron y se desalaron en columnas 10DG (Bio-Rad) equilibradas con Tris-HCl 10 pH 7,0.

Después de la eliminación de las sales, la muestra se aplicó a una columna de intercambio aniónico HiTrap DEAE FF equilibrada con Tris-HCl 15 mM de pH 7,0. La proteína no se unió a la columna, sino que eluyó durante la introducción de la muestra. Esta fracción de flujo directo se desaló en columnas 10DG (Bio-Rad) equilibradas con acetato de Na 7 mM, pH 4,5.

La muestra de la cromatografía de intercambio aniónico se aplicó a una columna de intercambio catiónico HiTrap SP FF equilibrada con acetato de sodio 10 mM de pH 4,5. Las proteínas unidas se hicieron eluir con un gradiente lineal

ES 2 582 320 T3

de acetato de sodio de 10 mM a 400 mM, pH 4,5. Se recogieron las fracciones con actividad β -glucosidasa que eluyeron en la zona de conductividad de 6,5 a 12 mS/cm, se desalaron en columnas 10DG (Bio-Rad) equilibradas con acetato de sodio 7 mM, pH 4,5 y se liofilizaron.

La muestra liofilizada se diluyó hasta 100 μl de agua y se aplicó a una columna de filtración en gel Superdex 75 HF10/30 equilibrada con fosfato de sodio 20 mM de pH 4,5, que contenía NaCl 0,15 M. La actividad β-glucosidasa se hizo eluir a un volumen de retención de 13,64 ml. Las fracciones recogidas se combinaron, se liofilizaron y se disolvieron en agua. Se estimó que la proteína era pura mediante electroforesis en gel de poliacrilamida-SDS y se consideró que el peso molecular era de 76 kDa. La proteína se denominó βG 76 de Ct.

Ejemplo 8. Purificación y caracterización de una β-glucosidasa de *Thermoascus aurantiacus* ALKO4242

5

- Se cultivó *Thermoascus aurantiacus* ALKO4242 como se ha descrito en el Ejemplo 1. La β-glucosidasa pura se obtuvo mediante purificación secuencial con cromatografía de interacción hidrófoba, de intercambio aniónico y catiónico seguida de filtración en gel. La actividad β-glucosidasa de las fracciones recogidas durante la purificación se determinó utilizando 4-nitrofenil-β-D-glucopiranósido como sustrato (Bailey y Linko, 1990). El contenido de proteína se midió por BioRad Assay Kit (Bio-Rad Laboratories) utilizando albúmina de suero bovino como patrón.
- El sobrenadante de cultivo se aplicó a una columna de interacción hidrófoba HiPrep 16/10 Phenyl Sepharose FF equilibrada con fosfato de potasio 20 mM de pH 6,0, que contenía (NH₄)₂SO₄ 0,7 M. Las proteínas unidas se hicieron eluir con un gradiente lineal de (NH₄)₂SO₄ 0,2 M a fosfato de potasio 5 mM, pH 6,0. La actividad β-glucosidasa se hizo eluir durante el gradiente en la zona conductividad de 28,0 a 1,1 mS/cm. Las fracciones se combinaron y se concentraron mediante ultrafiltración.
- La muestra se desaló en columnas 10DG (Bio-Rad) y se aplicó a una columna de intercambio aniónico HiTrap DEAE FF equilibrada con Tris-HCl 20 mM de pH 7,0. La enzima se hizo eluir con un gradiente lineal de NaCl de 0 a 0,2 M en el tampón de equilibrado y con elución retardada mediante Tris-HCl 20 mM, que contenía NaCl 0,4 M. La muestra que eluyó en la zona de conductividad de aprox. 10-30 mS/cm se concentró mediante ultrafiltración y se desaló mediante una columna 10DG (Bio-Rad).
- 25 La muestra se aplicó a una columna de intercambio catiónico HiTrap SP XL equilibrada con acetato de sodio 9 mM de pH 4,5. La enzima se hizo eluir con un gradiente lineal de NaAc 10 mM a 400 mM y mediante elución retardada utilizando NaAc 400 mM de pH 4,5. Las proteínas con actividad β-glucosidasa se hicieron eluir ampliamente durante el gradiente lineal en la zona de conductividad de 5,0 a 11,3 mS/cm.
- El material activo de la cromatografía de intercambio catiónico se aplicó a una columna Sephacryl S-300 HR 26/60 equilibrada con fosfato de sodio 20 mM de pH 7,0, que contenía NaCl 0,15 M. La proteína con actividad β-glucosidasa se hizo eluir con un volumen de retención correspondiente a un peso molecular de 294 kDa. Las fracciones recogidas se combinaron, se liofilizaron y se disolvieron en agua. Se estimó que la proteína era pura mediante electroforesis en gel de poliacrilamida-SDS y se consideró que el peso molecular era de 81 kDa, que representaba muy probablemente la forma monomérica de la proteína. El enfoque isoeléctrico (IEF) se llevó a cabo utilizando un gel de pl 3-9. Después de la tinción con plata, se tiñó una amplia zona por encima de pl 5,85, además de una banda estrecha que correspondía a pl de 4,55. Se determinó que la actividad específica de la proteína purificada, denominada βG_81 de Ta, a 50°C era de 600 nkat/mg utilizando 4-nitrofenil-β-D-glucopiranósido como sustrato (Bailey y Linko, 1990).
- La estabilidad térmica de la β-glucosidasa purificada se determinó a diferentes temperaturas. La reacción se realizó en presencia de 0,1 mg/ml de BSA a pH 5,0 durante 60 min. utilizando 4-nitrofenil-β-D-glucopiranósido como sustrato. La βG_81 de *T. aurantiacus* fue estable hasta 75°C. El enzima de referencia de *Aspergillus* (Novozym 188) conservó 100% de la actividad hasta 60°C.
 - Ejemplo 9. Purificación de una xilanasa de Acremonium thermophilum ALKO4245
- Se cultivó *Acremonium thermophilum* ALKO4245 como se ha descrito en el Ejemplo 1. El sobrenadante del cultivo se incubó a 70°C durante 24 horas después de lo cual, se concentró mediante ultrafiltración. La xilanasa pura se obtuvo mediante purificación secuencial con cromatografía de interacción hidrófoba y de intercambio catiónico seguida de filtración en gel. La actividad xilanasa se determinó utilizando como sustrato xilano de abedul (Procedimiento de la IUPAC 1987). La proteína se analizó mediante BioRad Protein Assay Kit (Bio-Rad Laboratories) utilizando albúmina de suero bovino como patrón.
- El sobrenadante de cultivo concentrado se aplicó a una columna de interacción hidrófoba HiPrep 16/10 Butyl FF equilibrada con tampón de fosfato de potasio 20 mM de pH 6,0, que contenía (NH₄)₂SO₄ 1 M. Las proteínas unidas se hicieron eluir con el gradiente lineal desde el tampón anterior a fosfato de potasio 5 mM, pH 6,0. La fracción de proteína se hizo eluir en una amplia zona de conductividad de 120 a 15 mS/cm.
- La muestra de la columna de interacción hidrófoba se aplicó a una columna de intercambio catiónico HiTrap SP XL equilibrada con acetato de sodio 8 mM, pH 4,5. La proteína no se unió a esta columna, sino que eluyó en el flujo

directo durante la introducción de la muestra. Este eluato se concentró mediante ultrafiltración. La cromatografía hidrófoba se repitió como se ha descrito anteriormente. Las proteínas no unidas se recogieron y se liofilizaron.

La muestra disuelta se cargó en la columna de filtración en gel Superdex 75 HR10/30 equilibrada con tampón de fosfato de sodio 20 mM de pH 7,0, que contenía NaCl 0,15 M. Se estimó que la proteína eluida de la columna con el volumen de retención de 11,2 ml era pura mediante electroforesis en gel de poliacrilamida-SDS. Se consideró que la masa molecular de la proteína purificada sobre la base de los patrones de masa molecular (patrones SDS-PAGE teñidos previamente, Intervalo Amplio, Bio-Rad) era de 60 kDa. Se determino que la actividad específica de la proteína, denominada XYN_60 de At, a 50°C era de 1800 nkat/mg (Procedimiento de la IUPAC 1987, utilizando como sustrato xilano de abedul). La actividad relativa aumentó aproximadamente 1,2 veces a 60°C y 1,65 veces a 70°C (10 min, pH 5,0) en comparación con 50°C. Las actividades específicas contra MUG2 (4-metilumbeliferil-β-D-celobiósido), MUL (4-metilumbeliferil-beta-D-lactósido) y MUG3 (4-metilumbeliferil-β-D-celotriósido) fueron de 54, 33 y 78 nkat/mg (50°C, pH 5,0, 10 min), respectivamente. Esto está de acuerdo con el hecho de que las xilanasas de la familia 10 también muestran actividad contra los arilglucopiranósidos (Biely *et al.* 1997).

Ejemplo 10. Purificación de una xilanasa de Thermoascus aurantiacus ALKO4242

5

10

35

40

45

- Se cultivó *Thermoascus aurantiacus* ALKO4242 como se ha descrito en el Ejemplo 1. La xilanasa pura se obtuvo mediante purificación secuencial con cromatografía de interacción hidrófoba, de intercambio aniónico y catiónico seguida de filtración en gel. La actividad xilanasa se determinó utilizando como sustrato xilano de abedul (Procedimiento de la IUPAC 1987). La proteína se analizó mediante BioRad Protein Assay Kit (Bio-Rad Laboratories) utilizando albúmina de suero bovino como patrón.
- El sobrenadante de cultivo se aplicó a una columna de interacción hidrófoba HiPrep 16/10 Phenyl Sepharose FF equilibrada con tampón fosfato de potasio 20 mM de pH 6,0, que contenía (NH₄)₂SO₄ 0,7 M. Las proteínas unidas se hicieron eluir con un protocolo de elución de dos etapas. La elución se llevó a cabo dejando caer primero la concentración de sal a (NH₄)₂SO₄ 0,2 M y después de eso se aplicó un gradiente lineal de fosfato de potasio 20 mM de pH 6,0, que contenía (NH₄)₂SO₄ 0,2 M a fosfato de potasio 5 mM de pH 6,0. La proteína se hizo eluir con (NH₄)₂SO₄ 0,2 M (I = 39 mS/cm).

La muestra se desaló en columnas 10DG (Bio-Rad) y se aplicó a una columna de intercambio aniónico HiTrap DEAE FF equilibrada con Tris-HCl 15 mM, pH 7,0. La proteína no se unió a la columna de intercambio aniónico sino que eluyó en el flujo directo. La conductividad de la muestra se ajustó para que correspondiera a la de acetato de sodio 20 mM, pH 4,5 mediante adición de agua y el pH se ajustó a 4,5 durante la concentración mediante ultrafiltración.

La muestra se aplicó a una columna de intercambio catiónico HiTrap SP XL equilibrada con acetato de sodio 20 mM, pH 4,5. Las proteínas unidas se hicieron eluir con un gradiente lineal desde el tampón de equilibrado al mismo tampón que contenía NaCl 1 M. La enzima se hizo eluir en la zona de conductividad de 1-7 mS/cm. La muestra se liofilizó y después de eso se disolvió en agua.

La muestra liofilizada se disolvió en agua y se aplicó a una columna de filtración en gel Superdex 75 HR 10/30 equilibrada con fosfato de sodio 20 mM de pH 7,0, que contenía NaCl 0,15 M. La proteína se hizo eluir de la columna con un volumen de retención correspondiente a un peso molecular de 26 kDa. Se estimó que la proteína era pura mediante electroforesis en gel de poliacrilamida-SDS. La masa molecular de la proteína pura fue de 30 kDa según se evaluó sobre la base de patrones de masa molecular (patrones de SDS-PAGE teñidos previamente, Intervalo Amplio, Bio-Rad). Se determinó que el pl de la proteína purificada, denominada XYN_30 de Ta con PhastSystem (Pharmacia) era de aprox. 6,8. Se determinó que la actividad específica de XYN_30 de Ta a 50°C era de 4800 nkat/mg (Procedimiento de la IUPAC 1987, utilizando como sustrato xilano de abedul).

Ejemplo 11. Secuenciación de aminoácidos internos

Los péptidos internos se secuenciaron mediante ionización por electropulverización combinada con espectrometría de masas en tándem (ESI-MS/MS) utilizando un aparato Q-TOF1 (Micromass). La proteína se alquiló primero y se digirió en péptidos trípticos. Los péptidos generados se desalaron y se separaron parcialmente mediante nanocromatografía líquida (de fase inversa) antes de aplicarlos al aparato Q-TOF1. Las secuencias de los péptidos internos para las celobiohidrolasas de *Chaetomium thermophilum y Acremonium thermophilum* se muestran en la Tabla 2. Los péptidos de CBH de *Chaetomium* se obtuvieron después de haber clonado el correspondiente gen *CBH*. Los péptidos determinados de CBH de *Acremonium* no se utilizaron en la clonación del gen correspondiente.

Tabla 2. Secuencias de péptidos internos determinadas a partir de CBH (1_C - 4_C) de *Chaetomium thermophilum* ALKO4265 y de CBH (1 A - 4 A) de *Acremonium thermophilum* ALKO4245.

Péptido	Secuencia	
Péptido 1_C	TPSTNDANAGFGR	
Péptido 2_C	VAFSNTDDFNR	

Péptido	Secuencia
Péptido 3_C	FSNTDDFNRK
Péptido 4_C	P G N S L/I T Q E Y C D A Q/K K
Péptido 1_A	VTQFI/LTG
Péptido 2_A	MGDTSFYGPG
Péptido 3_A	CDPDGCDFN
Péptido 4_A	SGNSL/ITTDF

I/L = la leucina y la isoleucina tienen la misma masa molecular y no se pueden distinguir en el análisis ESI-MS/MS, Q/K = la masa molecular de la glutamina y la lisina difiere solo en 0,036 Da y no se pueden distinguir en el análisis ESI-MS/MS.

Las secuencias de péptidos internos de las endoglucanasas, β-glucosidasas y xilanasas purificadas de *Acremonium thermophilum* ALKO4245, *Chaetomium thermophilum* ALKO4261 y *Thermoascus aurantiacus* ALKO4242 se enumeran en la Tabla 3, la Tabla 4 y la Tabla 5.

5

15

Tabla 3. Secuencias de péptidos internos determinadas a partir de las endoglucanasas EG_40 de *Acremonium thermophilum* ALK04245, EG_54 de *Chaetomium thermophilum* ALK04261 y EG_28 de *Thermoascus aurantiacus* ALK04242.

Proteína	Péptido	Secuencia ^(a)
EG_40 de At	Péptido 1	QSCSSFPAPLKPGCQWR
	Péptido 2	YALTFNSGPVAGK
	Péptido 3	VQCPSELTSR
	Péptido 4	NQPVFSCSADWQR
	Péptido 5	YWDCCKPSCGWPGK
	Péptido 6	PTFT
EG_54 de Ct	Péptido 1	EPEPEVTYYV
	Péptido 2	YYLLDQTEQY
	Péptido 3	RYCACMDLWEANSR
	Péptido 4	P G N T P E V H P Q/K
	Péptido 5	S I/L A P H P C N Q/K
	Péptido 6	QQYEMFR
	Péptido 7	ALNDDFCR
	Péptido 8	WGNPPPR
EG_28 de Ta	Péptido 1	I/L T S A T Q W L R
	Péptido 2	G C A I/L S A T C V S S T I/L G Q E R
	Péptido 3	PFMMER
	Péptido 4	QYAVVDPHNYGR

10 (a I/L = la leucina y la isoleucina tienen la misma masa molecular y no se pueden distinguir en el análisis ESI-MS/MS, Q/K = la masa molecular de la glutamina y la lisina difiere solo en 0,036 Da y no se pueden distinguir en el análisis ESI-MS/MS.

Tabla 4. Secuencias de péptidos internos determinados a partir de las beta-glucosidasas βG_101 de *Acremonium thermophilum* ALK04245, βG_76 de *Chaetomium thermophilum* ALK04261 y βG_81 de *Thermoascus aurantiacus* ALK04242.

Proteína	Péptido	Secuencia ^{(a}
βG_101 de At	Péptido 1	SPFTWGPTR

Proteína	Péptido	Secuencia ^{(a}
	Péptido 2	VVVGDDAGNPC
	Péptido 3	AFVSQLTLLEK
	Péptido 4	GTDVL/IYTPNNK
	Péptido 5	Q P N P A G P N A C V L/I R
βG_76 de Ct	Péptido 1	EGLFIDYR
	Péptido 2	PGQSGTATFR
	Péptido 3	ETMSSNVDDR
	Péptido 4	IALVGSAAVV
	Péptido 5	MWLCENDR
	Péptido 6	YPQLCLQDGPLGIR
	Péptido 7	ELNGQNSGYPSI
βG_81 de Ta	Péptido 1	TPFTWGK
	Péptido 2	LCLQDSLPGVR
	Péptido 3	GVDVQLGPVAGVAPR
	Péptido 4	VNLTLE
	Péptido 5	FTGVFGEDVVG
	Péptido 6	NDLPLTGYEK

(a I/L = la leucina y la isoleucina tienen la misma masa molecular y no se pueden distinguir en el análisis ESI-MS/MS

Tabla 5. Secuencias de péptidos internos determinados a partir de las xilanasas XYN_60 de *Acremonium thermophilum* ALK04245 y XYN_30 de *Thermoascus aurantiacus* ALKO4242.

Proteína	Péptido	Secuencia
XYN_60 de At	Péptido 1	YNDYNLEYNQK
	Péptido 2	FGQVTPEN
	Péptido 3	VDGDATYMSYVNNK
	Péptido 4	KPAWTSVSSVLAAK
	Péptido 5	SQGDIVPRAK
XYN_30 de Ta	Péptido 1	VYFGVATDQNR
	Péptido 2	NAAIIQADFGQVTPENSMK
	Péptido 3	GHTLVWHSQLPSWVSSITDK
	Péptido 4	NHITTLMTR
	Péptido 5	AWDVVNEAFNEDGSLR
	Péptido 6	LYINDYNLDSASYPK
	Péptido 7	ASTTPLLFDGNFNPKPAYNAIVQDLQQ
	Péptido 8	QTVFLNVIGEDYIPIAFQTAR

5 Ejemplo 12. Construcción de bibliotecas genómicas para *Thermoascus aurantiacus*, *Chaetomium thermophilum* y *Acremonium thermophilum*

10

Se prepararon las bibliotecas genómicas de *Chaetomium thermophilum* ALKO4265 y *Acremonium thermophilum* ALKO4245 para el vector Lambda DASH[®]II (Stratagene, USA) de acuerdo con las instrucciones del proveedor. Los ADN cromosómicos, aislados por el método de Raeder y Broda (1985), se digirieron parcialmente con *Sau* 3A. Los ADN digeridos también se fraccionaron por tamaños y los fragmentos del tamaño seleccionado (≈ 5-23 kb) se desfosforilaron y se ligaron a los brazos del vector lambda digerido con *Bam*HI. Las mezclas de ligación se empaquetaron utilizando extractos de empaquetamiento Gigapack III Gold de acuerdo con las instrucciones del

fabricante (Stratagene, USA). Los títulos de las bibliotecas genómicas de *Chaetomium thermophilum* y *Acremonium thermophilum* fueron de 3.6×10^6 pfu/ml y 3.7×10^5 pfu/ml y los de las bibliotecas amplificadas fueron de 6.5×10^{10} pfu/ml y de 4.2×10^8 pfu/ml, respectivamente.

Se utilizó Lambda FIX[®] II/Xho I Partial Fill-In Vector Kit (Stratagene, USA) en la construcción de las bibliotecas genómicas para *Thermoascus aurantiacus* ALKO4242 y *Chaetomium thermophilum* ALKO4261 de acuerdo con las instrucciones del proveedor. Los ADN cromosómicos, aislados mediante el método de Raeder y Broda (1985), se digirieron parcialmente con Sau3A. Los ADN digeridos se fraccionaron por tamaños y los fragmentos del tamaño seleccionado (≈ 6-23 kb) se rellenaron y se ligaron a los brazos del vector Lambda FIX II digerido con *Xhol*. Las mezclas de ligación se empaquetaron utilizando extractos de empaquetamiento Gigapack III Gold de acuerdo con las instrucciones del fabricante (Stratagene, USA). Los títulos de las bibliotecas genómicas de *Thermoascus aurantiacus* ALKO4242 y *Chaetomium thermophilum* ALKO4261 fueron de 0,2 x 10⁶ y 0,3 x 10⁶ pfu/ml y los de las bibliotecas amplificadas fueron de 1,8 x 10⁹ y 3,8 x 10⁹ pfu/ml, respectivamente.

Ejemplo 13. Clonación de los genes de celobiohidrolasa (CBH/cel7) de Thermoascus aurantiacus, Chaetomium thermophilum y Acremonium thermophilum

Se utilizaron los métodos de biología molecular convencionales en el aislamiento y los tratamientos con enzima del ADN (plásmidos, fragmentos de ADN), en las transformaciones de *E. coli*, etc. Los métodos básicos utilizados se describen en los manuales de biología molecular convencionales, p. ej., Sambrook *et al.* (1989) y Sambrook y Russell (2001).

Las sondas para el escrutinio de las bibliotecas genómicas que se habían construido como se ha descrito en el Ejemplo 12 se amplificaron mediante PCR utilizando los ADN genómicos de *Thermoascus aurantiacus* ALKO4242, *Chaetomium thermophilum* ALKO4265 y *Acremonium thermophilum* ALKO4245 como moldes en las reacciones. Varios cebadores sometidos a ensayo en reacciones de PCR se diseñaron de acuerdo con la secuencia de nucleótidos publicada (documento WO 03/000941, Hong et al., 2003b). Las mezclas de reacción de PCR contenían Tris-HCl 50 mM, pH 9,0, (NH₄)₂SO₄ 15 mM, Triton X-100 al 0,1%, MgCl₂ 1,5 mM, dNTP 0,2 mM, cada cebador 5 mM y 1 unidad de ADN polimerasa Dynazyme EXT (Finnzymes, Finlandia) y ≈0,5-1 μg del ADN genómico. Las condiciones para las reacciones de PCR fueron las siguientes: 5 min de desnaturalización inicial a 95°C, seguido de 30 ciclos de 1 min a 95°C, o bien 1 min de recocido a 62°C (gradiente de ± 8°C) para los moldes de *Thermoascus* ALKO4242 y *Chaetomium* ALKO4265 o 1 min de recocido a 58°C (gradiente de ± 6°C) para el molde de *Acremonium* ALKO4245, 2 min de extensión a 72°C y una extensión final a 72°C durante 10 min.

Los productos de ADN de los tamaños esperados (calculados a partir de las secuencias de *CBH* publicadas) se obtuvieron de todos los moldes genómicos utilizados. Los fragmentos de ADN de los tamaños esperados se aislaron de las reacciones de PCR más específicas y se clonaron en el vector pCR® Blunt-TOPO® (Invitrogen, USA). Los insertos se caracterizaron mediante secuenciación y llevando a cabo hibridaciones de transferencia Southern para los ADN genómicos digeridos con varias enzimas de restricción. Los fragmentos de PCR, que se eligieron para ser utilizados como sondas para el escrutinio de las bibliotecas genómicas de *Thermoascus aurantiacus, Chaetomium thermophilum* y *Acremonium thermophilum* se presentan en la Tabla 6.

Tabla 6. Cebadores utilizados en las reacciones de PCR y sondas seleccionadas para el escrutinio de los genes *CBH/cel7* de las bibliotecas genómicas de *Thermoascus aurantiacus, Chaetomium thermophilum* y *Acremonium thermophilum*. Se muestran el ADN molde genómico y el nombre del plásmido que contiene el fragmento sonda.

Gen	Cebador directo	Cebador inverso	ADN molde	Fragmento (kb)	Plásmido
<i>cbh</i> de Ta	TCEL11 atgcgaactggcgttgggtcc	TCEL12 gaatttggagctagtgtcgacg	Thermoascus ALKO4242	0,8 kb	pALK1633
cbh de Ct	TCEL7 cgatgccaactggcgctggac	TCEL8 ttcttggtggtgtcgacggtc	Chaetomium ALKO4265	0,8 kb	pALK1632
cbh de At	TCEL13 agctcgaccaactgctacacg	TCEL4 accgtgaacttcttgctggtg	Acremonium ALKO4245	0,7 kb	pALK1634

Las secuencias de aminoácidos deducidas de todas estas sondas tenían homología con varias secuencias publicadas de CBH (programa BLAST, versión 2.2.9 del NCBI, National Center for Biotechnology Information; Altschul. *et al,* 1990), de la familia 7 de glicósido hidrolasas (Henrissat, 1991; Henrissat y Bairoch, 1993).

Los insertos de los plásmidos enumerados en la Tabla 6 se marcaron con digoxigenina de acuerdo con las instrucciones del proveedor (Roche, Alemania), y las bibliotecas genómicas amplificadas (2 x 10⁵ - 3 x 10⁵ placas) se escrutaron con los fragmentos sonda marcados. La temperatura de hibridación para los filtros fue de 68°C y los filtros se lavaron 2 x 5 min a RT utilizando 2 x SSC - SDS al 0,1% seguido de 2 x 15 min a 68°C utilizando 0,1 x SSC

40

45

5

10

- SDS al 0,1% con las sondas homólogas utilizadas. Se obtuvieron varias placas positivas a partir de cada una de las hibridaciones. En el escrutinio de las bibliotecas genómicas de *Acremonium* ALKO4245, algunas de las placas positivas hibridaron fuertemente con la sonda en cuestión, pero, además, hubo una cantidad de placas que hibridaron más débilmente con las sondas. Esto sugirió que otro u otros genes de celobiohidrolasa podrían estar presentes en el genoma, causando una reacción cruzada. Se purificaron de cuatro a cinco placas que hibridaron fuertemente a partir de los escrutinios de las bibliotecas genómicas de *Thermoascus* ALKO4242 y *Chaetomium* ALKO4265. En el caso de *Acremonium thermophilum* ALKO4245, cuatro de las seis placas purificadas hibridaron débilmente con la sonda utilizada. Los ADN de fagos se aislaron y se caracterizaron mediante hibridaciones de transferencia Southern. Los fragmentos de restricción seleccionados que hibridaron con la sonda se subclonaron con el vector pBluescript II KS+ y se secuenciaron las regiones relevantes de los clones.

En total, se clonaron cuatro genes *cbh/cel7*; uno de *Thermoascus aurantiacus* ALKO4242, uno de *Chaetomium thermophilum* ALKO4265 y dos de *Acremonium thermophilum* ALKO4245 (en la fase temprana del trabajo, estos tenían los códigos At_cbh_C At_cbh_A y, a continuación, se denominaron At *cel7* A y cel7B de At, respectivamente). La Tabla 7 resume la información sobre las sondas utilizadas para los escrutinios de los genes, los clones de fagos a partir de los cuales se aislaron los genes, los fragmentos de restricción seleccionados que contenían los genes completos con sus regiones promotoras y terminadoras, los nombres de los plásmidos, y los números de depósito DSM para las cepas de *E. coli* que portaban estos plásmidos.

Tabla 7. Sondas utilizadas para la clonación de los genes *cbhlcel*7, el clon de fago y los subclones seleccionados, el número de plásmido y el número de depósito de la correspondiente cepa de *E. coli*.

Gen	Sonda utilizada en el escrutinio	Clon de fago	Fragmento subclonado en pBluescript II	Número de plásmido	Núm. de depósito de E. coli
Cel7A de Ta	pALK1633	F12	Xbal de 3,2 kb	pALK1635	DSM 16723
Cel7A de Ct	pALK1632	F36	Pvul - HindIII de 2,3 kb	pALK1642	DSM 16727
cel7B de At	pALK1634	F6	EcoRI de 3,1 kb	pALK1646	DSM 16728
Cel7A de At	pALK1634	F2	Xhol de 3,4 kb	pALK1861	DSM 16729

La información relevante sobre los genes y las secuencias de proteínas deducidas (SEQ ID NO: 1-8) se resumen en la Tabla 8 y la Tabla 9, respectivamente.

Las secuencias de péptidos de las proteínas CBH purificadas de *Chaetomium thermophilum* ALKO4265 y *Acremonium thermophilum* ALKO4245 (Tabla 2) se encontraron partir de las secuencias de aminoácidos deducidas de los clones que contenían los genes Cel7A de Ct y Cel7A de At. Por lo tanto, se pudo concluir que los genes que codificaban las proteínas CBH/Cel7 purificadas de *Chaetomium thermophilum* y *Acremonium thermophilum* se habían clonado.

Tabla 8. Resumen de los genes *cbh/cel7* aislados de *Thermoascus aurantiacus* ALKO4242, *Chaetomium thermophilum* ALKO4265 y *Acremonium thermophilum* ALKO4245.

Gen Cbh	Longitud con intrones (pb) ^{(a}	Región codificante (pb) ^{(b}	Núm. de intrones	Longitudes de los intrones (pb)	SEQ ID NO:
Cel7A de Ta	1439	1371	1	65	1
Cel7A de Ct	1663	1596	1	64	7
cel7B de At	1722	1377	3	134, 122, 87	3
Cel7A de At	1853	1569	4	88, 53, 54, 86	5
(a Está inc	luido el codón de PARADA.				

30

(b No está incluido el codón de PARADA.

5

10

15

20

25

Tabla 9. Resumen de las secuencias de aminoácidos deducidas de las secuencias de los genes *cbhlcel7* de *Thermoascus aurantiacus* ALKO4242, *Chaetomium thermophilum* ALK4265 y *Acremonium thermophilum* ALK04245. ss, secuencia señal.

Proteína CBH	Núm. de aa	Longitud de ss NN/HMM ^{(a}	CBD C- terminal (b	PM pronosticado (Da, no incluida ss) ^{(c}	pl pronosticado (no incluida ss)	Supuestos sitios de N-glicosilación	SEQ ID NO:
Cel7A de Ta	457	17/17	NO	46873	4,44	2	2
Cel7A de Ct	532	18/18	SI, T497 a L532	54564	5,05	3	8
Cel7B de At	459	21/21	NO	47073	4,83	2	4
Cel7A de At	523	17/17	SI, Q488 a L523	53696	4,67	4	6

(a La predicción de la secuencia señal se realizó utilizando el programa SignalP V3.0 (Nielsen *et al.*, 1997; Bendtsen. *et al.*, 2004); el valor NN se obtuvo utilizando redes neuronales y el valor HMM utilizando modelos ocultos de Markov.

(b Se indican el dominio de unión a celulosa (CBD), los aminoácidos de la región CBD C-terminal (M1 (se incluye en la numeración la Met Núm. 1))

(c No se incluyó la secuencia señal pronosticada. La predicción fue hecha utilizando la herramienta Compute pl/MW del servidor ExPASy (Gasteiger et al., 2003).

10 (d Número de secuencias NXS/T.

5

15

20

25

35

Las secuencias de aminoácidos deducidas de Cel7A de *Thermoascus aurantiacus* y Cel7A de *Acremonium thermophilum* (núcleo, sin el CBD) eran muy homólogas entre sí (analizadas mediante el alineamiento global de Needleman-Wunsch, EMBOSS 3.0.0 Needle, con Matrix EBLOSUM62, Penalización por Hueco 10,0 y Penalización por extensión 0,5; Needleman y Wunsch, 1970). Además, la Cel7A de *Acremonium thermophilum* deducida tenía una identidad menor con la Cel7A de *Chaetomium thermophilum* deducida. La Cel7B de *Acremonium thermophilum* fue muy distinta de las secuencias de CBH/Cel7 de la invención.

La secuencia de Cel7A de Chaetomium deducida poseía las identidades más altas (analizadas mediante alineamiento global de Needleman-Wunsch, EMBOSS Needle, véase más arriba) con los polipéptidos de CBHI de Chaetomium thermophilum, Scytalidium thermophilum y Thielavia australiensis describos en el documento WO 03/000941. Del mismo modo, la secuencia de Cel7A de Thermoascus aurantiacus deducida era altamente idéntica a la de CBHI publicada de Thermoascus aurantiacus (documento WO 03/000941, Hong et al., 2003b). Cel7B de Acremonium thermophilum tenía identidades significativamente inferiores a las secuencias previamente publicadas, estando más estrechamente relacionada con el polipéptido de CBHI de Oryza sativa. Los mayores homologías de la secuencia de Cel7A de Acremonium thermophilum deducida fueron con los polinucleótidos de CBHI de Exidia gladulosa y Acremonium thermophilum (documento WO 03/000941). El alineamiento indica que las secuencias clonadas de Thermoascus aurantiacus ALKO4242, Chaetomium thermophilum ALKO4265 y Acremonium thermophilum ALKO4245 codifican las proteínas CBH que tienen alta homología con los polipéptidos de la familia 7 de glicósido hidrolasas, por lo tanto, éstas se denominaron Cel7A o Cel7B (Henrissat et al. 1998).

La comparación de las secuencias de aminoácidos deducidas de los genes *CBH/cel* 7 de *Thermoascus aurantiacus*30 ALKO4242, *Chaetomium thermophilum* ALKO4265 y *Acremonium thermophilum* ALKO4245 y *Thielavia* entre sí, y adicionalmente con las secuencias encontradas en las bases de datos, se muestran en la Tabla 10.

Tabla 10. Secuencias con una homología más alta con las secuencias de aminoácidos deducidas de los genes *CBH/cel* 7 de *Thermoascus aurantiacus* ALKO4242, *Chaetomium thermophilum* ALK04265 y *Acremonium thermophilum* ALK04245. El alineamiento se realizó utilizando el alineamiento global Needleman-Wunsch (EMBLOSUM62, Penalización por huevo 10,0, Penalización por extensión 0,5). * indica una secuencia de aminoácidos derivada de uno de los genes celobiohidrolasa clonados en este trabajo. 'Central' indica el alineamiento sin el CBD.

Organismo, enzima y número de acceso	Identidad, (%)
*Thermoascus aurantiacus Cel7A	100,0
Thermoascus aurantiacus, AY840982	99,6
Thermoascus aurantiacus, AX657575	99,1

ES 2 582 320 T3

Organismo, enzima y número de acceso	Identidad, (%)
Thermoascus aurantiacus, AF421954	97,8
Talaromyces emersonii, AY081766	79,5
Chaetomidium pingtungium, AX657623	76,4
Trichophaea saccata, AX657607	73,4
*Acremonium thermophilum Cel7A (núcleo)	70,6
Emericella nidulans, AF420020 (núcleo)	70,4
*Chaetomium thermophilum Cel7A (núcleo)	66,4
*Chaetomium thermophilum Cel7A	100,0
Chaetomium thermophilum, AY861347	91,9
Chaetomium thermophilum, AX657571	91,7
Scytalidium thermophilum, AX657627	74,7
Thielavia australiensis, AX657577	74,6
Acremonium thermophilum, AX657569	72,3
Exidia glandulosa, AX657613	68,0
*Acremonium thermophilum Cel7A	66,9
*Thermoascus aurantiacus Cel7A (núcleo)	66,4
Exidia glandulosa, AX657615	60,8
Chaetomium pingtungium, AX657623	60,7
*Acremonium thermophilum Cel7B (núcleo)	60,2
*Acremonium thermophilum Cel7B	100,0
Oryza sativa, AK108948	66,1
Exidia glandulosa, AX657615	65,0
Acremonium thermophilum, AX657569 (núcleo)	64,8
Thermoascus aurantiacus, AX657575	64,8
*Acremonium thermophilum Cel7A	64,6
*Thermoascus aurantiacus Cel7A	64,4
Trichophaea saccata, AX657607	63,6
*Chaetomium thermophilum Cel7A (núcleo)	60,2
*Acremonium thermophilum Cel7A	100,0
Exidia glandulosa, AX657613	77,9
Exidia glandulosa, AX657615	77,9
Acremonium thermophilum, AX657569	77,5
Thielavia australiensis, AX657577	71,0
*Thermoascus aurantiacus Cel7A (núcleo)	70,6
Scytalidium thermophilum, AX657627	67,5
Chaetomium thermophilum, AX657571	67,5
Chaetomium pingtungium, AX657623	67,3
*Chaetomium thermophilum Cel7A	66,9
*Acremonium thermophilum Cel7B (núcleo)	64,6

Ejemplo 14. Producción de proteínas CBH/Cel7 recombinantes en *Trichoderma reesei*

Se construyeron plásmidos de expresión para la producción de las proteínas CBH/Cel7 recombinantes de *Thermoascus aurantiacus* (Cel7A de Ta), *Chaetomium thermophilum* (Cel7A de Ct) y *Acremonium thermophilum* (Cel7A de At, Cel7B de At; en la fase inicial del trabajo estas proteínas tenían los códigos temporales CBH_C de At y CBH_A de At, respectivamente). Los plásmidos de expresión construidos se enumeran en la Tabla 11. Los genes *cbhlcel7* recombinantes, incluyendo sus propias secuencias señal, se fusionaron exactamente con el promotor de *cbh1 (cel7A)* de *T. reesei* mediante PCR. La terminación de la transcripción se garantizó por medio del terminador de *cel7A* de *T. reesei* y el gen marcador *amdS* de *A. nidulans* se utilizó para la selección de los transformantes como describen Paloheimo *et al.* (2003). Los casetes de expresión lineal (Fig. 2), se aislaron de las cadenas principales del vector después de la digestión con *Eco*RI y se transformaron en protoplastos A96 y A98 de *T. reesei* (ambas cepas tienen suprimidos los genes que codifican las cuatro celulasas principales CBHI/Cel7A, CBHII/Cel6A, EGI/Cel7B y EGII/Cel5A). Las transformaciones se realizaron como en Penttilä *et al.* (1987) con las modificaciones descritas en Karhunen *et al.* (1993), seleccionando con acetamida como única fuente de nitrógeno. Los transformantes se purificaron sobre placas de selección a través de conidios individuales antes de su esporulación sobre PD.

10

15

20

25

30

Tabla 11. Casetes de expresión construidos para producir las proteínas CBH/Cel7 de *Thermoascus aurantiacus* ALK04242 (Cel7A de Ta), *Chaetomium thermophilum* ALK04265 (Cel7A de Ct), y *Acremonium thermophilum* ALK04245 (Cel7A de At, Cel7B de At) en *Trichoderma reesei*. La estructura general de los casetes de expresión fue la descrita en la Fig. 2. Los genes *cbhlcel7* clonados se fusionaron exactamente con el promotor *cbh1/cel7A* de T. *reesei*.

CBH/Cel7	Plásmido de expresión	Tamaño del casete de expresión ^{(a}	terminador de cel7A ^{(b}
Cel7A de Ta	pALK1851	9,0 kb	245 pb (<i>Xba</i> l)
Cel7A de Ct	pALK1857	9,2 kb	240 pb (<i>Hind</i> III)
Cel7B de At	pALK1860	9,4 kb	361 pb (<i>Eco</i> RI)
Cel7A de At	pALK1865	9,5 kb	427 pb (EcoRV)

(a El casete de expresión para la transformación de T. *reesei* se aisló de la cadena principal del vector utilizando la digestión con EcoRI.

(b Número de nucleótidos de la región terminadora de *cbh1/cel7A* genómico después del codón de parada. El sitio de restricción en el extremo 3', utilizado en la escisión del fragmento de gen genómico, se incluye en el paréntesis.

La producción de CBH/Cel7 de los transformantes se analizó a partir de los sobrenadantes de cultivo de los cultivos en matraz oscilante (50 ml). Los transformantes se cultivaron durante 7 días a 28°C en un medio inductor de celulasa a base de complejo de lactosa (Joutsjoki et al. 1993) tamponado con KH₂PO₄ al 5%. La actividad celobiohidrolasa se analizó utilizando sustrato de 4-metilumbeliferil-β-D-lactósido (MUL) de acuerdo con van Tilbeurghet al., 1988. Los genotipos de los transformantes seleccionados se confirmaron utilizando transferencias Southern en las que se incluyeron varios productos digeridos genómicos y el casete de expresión respectivo se utilizó como sonda. Se analizó la expresión heteróloga de las proteínas Cel7A de Ta, Cel7A de Ct, Cel7A de At y Cel7B de At mediante SDS-PAGE con la posterior tinción de Coomassive. Las conclusiones de que no se pudiera detectar ninguna actividad celobiohidrolasa o la producción de proteína heteróloga en SDS-PAGE para los transformantes de Cel7B de At que contenía el casete de expresión integrado, sugieren que Cel7B de At es producida por debajo de los niveles de detección en *Trichoderma* utilizando el diseño experimental descrito.

Las preparaciones de enzima CBH/Cel7 recombinante se caracterizaron en términos de pH óptimo y de estabilidad térmica. El pH óptimo de las proteínas CBH/Cel7 recombinantes de *Thermoascus aurantiacus*, *Chaetomium thermophilum*, y *Acremonium thermophilum* se determinó en el tampón universal de McIlvaine dentro de un intervalo de pH de 3,0-8,0 utilizando 4-metilumbeliferil-β-D-lactósido (MUL) como sustrato (Fig. 3A). El pH óptimo para las enzimas Cel7A de Ct y Cel7A de At se encuentra en 5,5, por encima del cual la actividad comienza a disminuir gradualmente. El pH óptimo de Cel7A de Ta bruta recombinante se encuentra en 5,0 (Fig. 3A). La estabilidad térmica de las enzimas Cel7 recombinantes se determinó midiendo la actividad MUL en tampón universal de McIlvaine, al pH óptimo con un tiempo de reacción de 1 h. Como se muestra a partir de los resultados Cel7A de Ta y Cel7A de Ct conservaron más de 60% de sus actividades a 70°C, mientras que Cel7A de At demostró claramente ser menos estable a las temperaturas más altas (≥65°C) (Fig. 3B).

Los transformantes de CBH/Cel7 seleccionados se cultivaron biorreactores de laboratorio a 28°C en el medio indicado anteriormente durante 3-4 días con un pH de control de 4,4 ± 0,2 (NH₃/H₃PO₄) para obtener material para las pruebas de aplicación. Los sobrenadantes se recuperaron mediante centrifugación y se filtraron a través de filtros Seitz K-150 y EK (Pall SeitzSchenk Filtersystems GmbH, Bad Kreuznach, Alemania).

Ejemplo 15. Producción de las proteínas de fusión Cel7A + CBD de *Thermoascus aurantiacus* recombinante en *T. reesei*

Se fusionó Cel7A de *Thermoascus aurantiacus* (AF478686, Hong *et al.*, 2003b; SEQ ID NO: 1) con el conector y CBD de CBHI/Cel7A de *Trichoderma reesei* (AR088330, Srisodsuk *et al.* 1993) (= CBD de Tr), seguido de la

producción de la proteína de fusión (SEQ ID NO: 28 que corresponde al ácido nucleico de la SEQ ID NO: 27) en *T. reesei* como se describe en FI20055205/US 11/119526; presentado el 29 de Abril 2005. Además, Cel7A de *Thermoascus aurantiacus* se fusionó con el conector y el CBD de Cel7A de *Chaetomium thermophilum* (SEQ ID NO: 7) (CBD de Ct). Para ello, se sintetizaron la secuencia codificante del conector y el CBD de Cel7A de *Chaetomium thermophilum* mediante PCR utilizando los siguientes cebadores:

5'-TTAAACATATGTTATCTACTCCAACATCAAGGTCGGACCCATCGGCTC-GACCGTCCCTGGCCTTGAC-3' (secuencia directa)

У

5

25

30

35

40

45

50

55

5'-TATATGCGGCCGCAAGCTTTACCATCAAGTTACTCCAGCAAATCAGGG-AACTG-3' (secuencia inversa).

10 La mezcla de reacción de PCR contenía 1 x tampón de reacción de DyNAzyme™ EXT (Finnzymes, Finlandia), Mg²⁺ 15 mM, dNTP 0.2 mM, 2 µM de cada cebador, 0.6 unidades de ADN polimerasa DyNAzyme™ EXT (Finnzymes, Finlandia), y aproximadamente 75 ng/30 µl de ADN molde, que contenía el gen cel7A completo de Chaetomium thermophilum. Las condiciones para la reacción de PCR fueron las siguientes: 2 min. de desnaturalización inicial a 98°C, seguido de 30 ciclos de 30 seg. a 98°C, 30 seg. de recocido a 68°C (gradiente de ± 4°C), 30 segundos de extensión a 72°C y una extensión final a 72°C durante 10 min. El fragmento de ADN específico en la reacción de 15 PCR se obtuvo a un intervalo de temperatura de recocido entre 64°C a 68,5°C. El fragmento CBD sintetizado de Chaetomium thermophilum se ligó después del gen cel7A de Thermoascus aurantiacus dando como resultado un punto de unión de GPIGST entre los dominios. El fragmento amplificado por PCR del plásmido se confirmó mediante secuenciación (SEQ ID NO: 29). El gen fusión cel7A construido se fusionó exactamente al promotor de cbh1 (cel7A) de T. reesei. La terminación de la transcripción se aseguró por medio del terminador de cel7A de T. reesei y se 20 utilizó el gen marcador amdS de A. nidulans para la selección de los transformantes como se describe en Paloheimo et al. (2003).

El casete de expresión lineal se aisló de la cadena principal del vector después de la digestión con *Not*l y se transformó en protoplastos A96 de *T. reesei*. Las transformaciones se realizaron como en Penttilä *et al.* (1987) con las modificaciones descritas en Karhunen *et al.* (1993), con la selección de acetamida como única fuente de nitrógeno. Los transformantes se purificaron en placas de selección a través de conidios individuales antes de la su esporulación sobre PD.

Se analizó la producción Cel7A + CBD (SEQ ID NO. : 28 y 30) de *Thermoascus aurantiacus* de los transformantes a partir de los sobrenadantes de cultivo de los cultivos en matraz oscilante (50 ml). Los transformantes se cultivaron durante 7 días en un medio inductor de celulasa complejo (Joutsjoki *et al.* 1993) tamponado con 5% de KH₂PO₄ a pH 5,5. La actividad de celobiohidrolasa se analizó utilizando sustrato de 4-metilumbeliferil-β-D-lactósido (MUL) de acuerdo con van Tilbeurgh *et al.*, 1988. Los genotipos de los transformantes seleccionados se confirmaron utilizando transferencias Southern en las que se habían incluido diversos productos digeridos genómicos y el casete de expresión se utilizó como sonda. Los análisis de SDS-PAGE mostraron que las enzimas Cel7A + CBD de *Thermoascus aurantiacus* recombinante se habían producido en forma de proteínas de fusión estables en T. *reesei.*

El transformante seleccionado que producía la proteína de fusión Cel7A de Ta + CBD de Tr (SEQ ID NO: 28) también se cultivó en un biorreactor 2 litros a 28°C en el medio indicado anteriormente durante 3-4 días con control de pH a 4,4 ± 0,2 (NH₃/H₃PO₄) para obtener material para las pruebas de aplicación. Los sobrenadantes se recuperaron mediante centrifugación y se filtraron a través de filtros Seitz K-150 y EK (Pall SeitzSchenk Filtersystems GmbH, Bad Kreuznach, Alemania).

Ejemplo 16. Comparación de las constantes de Michaelis-Menten y de inhibición de celobiosa de celobiohidrolasas recombinantes purificadas

Las constantes de Michaelis-Menten y de inhibición de la celobiosa se determinaron a partir de las celobiohidrolasas producidas de manera heteróloga en *T. reesei* (Ejemplos 14 y 15). Las enzimas se purificaron como se describe en el Ejemplo 2. Las concentraciones de proteína de las enzimas purificadas se midieron mediante su absorción a 280 nm utilizando un coeficiente de extinción molar teórico, que se evaluó a partir de las secuencias de aminoácidos (Gill y von Hippel, 1989).

Las constantes cinéticas (valores Km y kcat) y la constante de inhibición de celobiosa (Ki) para CBHI/Cel7A de Tr, CBH/Cel7A de Ta, CBH/Cel7A de At y CBH/Cel7A de Ct, se midieron utilizando CNPLac (2-Cloro-4-nitrofenil-β-D-lactósido) como sustrato a la temperatura ambiente (22°C) en tampón de fosfato de sodio 50 mM, pH 5,7. Para la determinación de la constante de inhibición (Ki), se utilizaron ocho concentraciones de sustrato diferentes (31 a 4000 μM) en presencia de un intervalo de cinco concentraciones de inhibidor (0-100 μM o 0-400 μM), que agrupen el valor de Ki. Todos los experimentos se realizaron en placas de microtitulación y el volumen de reacción total fue de 200 μl. Las tasas iniciales se midieron en cada caso mediante control continuo de la liberación del anión de cloronitrofenolato (CNP, 2-cloro-4-nitrofenolato) a través de mediciones a 405 nm utilizando un lector de placas de microtitulación Varioscan (ThermoLabsystems). Los resultados se calcularon a partir de la curva patrón de CNP (de 0 a 100 μM). Las concentraciones de enzima utilizadas fueron: CBHI/Cel7A de Tr 2,46 μM, CBH/Cel7A de Ta 1,58 μM, CBH/Cel7A de Ct 0,79 μM y CBH/Cel7A de At 3 μM. Las constantes Km y kcat se calcularon a partir del ajuste

de la ecuación de Michaelis-Menten utilizando el programa de Origen. Se utilizaron diagramas de Lineweaver-Burk, regráficos "replots" (pendiente de LWB frente a [glc2; celobiosa]) y diagramas de Hanes para distinguir entre la inhibición de tipo competitivo y mixta y para determinar las constantes de inhibición (Ki).

Los resultados de las mediciones cinéticas se muestran en la Tabla 12 y la Tabla 13. Como se puede observar, CBH/Cel7A de Ct tiene claramente el número de recambio más alto (kcat) sobre CNPLac y también la constante de especificidad (kcat/Km) es mayor en comparación con CBHI/Cel7A de *T. reesei*. La celobiosa (glc2) es un inhibidor competitivo para todas las celulasas medidas, y la CBHI/Cel7A de Tr (utilizada como control) tiene la inhibición más fuerte (es decir, el valor de Ki más bajo) por celobiosa. La CBH/Cel7A de At tuvo una constante de inhibición 7 veces mayor en comparación con el de CBHI/Cel7A de Tr. Estos resultados indican que las tres nuevas celobiohidrolasas podrían funcionar mejor en la hidrólisis de celulosa debido a la disminución de la inhibición por celobiosa en comparación con la celobiohidrolasa I de Cel7A de *Trichoderma reesei*.

5

10

Tabla 12. Comparación de las constantes de inhibición de celobiosa de cuatro celobiohidrolasas de la familia 7 de GH, medidas sobre CNPLac en tampón de fosfato de sodio 50 mM de pH 5,7, a 22°C.

Enzima	Ki (μM)	Tipo de inhibición
Cel7A de Ct	39	competitiva
Cel7A de Ta	107	competitiva
Cel7A de At	141	competitiva
Cel7A de Tr	19	competitiva

Tabla 13. Comparación de las constantes cinéticas de Michaelis-Menten de celobiohidrolasa Cel7A de *Chaetomium thermophilum* con CBHI/Cel7A de *T. reesei*, medidas sobre CNPLac en tampón de fosfato de sodio 50 mM de pH 5,7, a 22°C.

Enzima	kcat (min ⁻¹)		kcat /Km (min ⁻¹ M ⁻¹)
Cel7A de Ct	18,8	1960	9,5 103
Cel7A de Tr	2,6	520	5,0 103

Ejemplo 17. Hidrólisis de celulosa cristalina (Avicel) por las celobiohidrolasas recombinantes

20 Las celobiohidrolasas recombinantes purificadas Cel7A de Ct, Cel7A de Ta, Cel7A de Ta+CBD de Tr, Cel7A de Ta+CBD de Ct, Cel7A de At así como la versión núcleo de Cel7A de Ct (véase más adelante) se sometieron a ensavo en cantidades equimolares en la hidrólisis de celulosa cristalina a dos temperaturas, 45°C y 70°C; la Cel7A de Tr de T. reesei purificada y su versión núcleo (véase más adelante) se utilizaron como comparación. Los análisis de hidrólisis de la celulosa cristalina (Ph 101, Avicel; Fluka, Bucsh, Suiza) se llevaron a cabo en acetato de sodio 50 25 mM en un tubo con escala de 1,5 ml, pH 5,0. Se aplicó movimiento oscilante a Avicel a 45°C o a 70°C, con la disolución de enzima (1,4 µM), y el volumen final de la mezcla de reacción fue de 325 µl. La hidrólisis siguió hasta 24 horas tomando muestras en seis momentos diferentes y deteniendo la reacción mediante la adición de 163 µl de reactivo de parada que contenía 9 vol de etanol del 94% y 1 vol de glicina 1 M (pH 11). La disolución se filtró a través de una unidad de filtración Millex GV13 de 0,22 µm (Millipore, Billerica, MA, USA). La formación de azúcares reductores solubles en el sobrenadante se determinó mediante el método de la hidrazida de ácido para-30 hidroxibenzoico (PAHBAH) (Lever, 1972) utilizando una curva patrón de celobiosa (celobiosa de 50 a 1600 μM). Se añadió una disolución de PAHBAH 0,1 M (Sigma-Aldrich, St. Louis, MO, USA) de nueva aportación en NaOH 0,5 M (100 µl) a 150 µl de la muestra filtrada y se hirvió durante 10 minutos después de lo cual la disolución se enfrió sobre hielo. Se midió la absorbancia de las muestras a 405 nm.

Las versiones núcleo de las celobiohidrolasas que albergan un CBD en su forma nativa se obtuvieron como sigue: Cel7A de Ct y Cel7A de Tr fueron expuestas a digestión proteolítica para eliminar el dominio de unión a celulosa. La digestión con papaína (Papaya Latex, 14 U/mg, Sigma) de las celobiohidrolasas nativas se realizó a 37°C durante 24 h en una mezcla de reacción compuesta de L-cisteína 10 mM y EDTA 2 mM en tampón de acetato de sodio 50 mM (pH 5,0) con la adición de papaína (se sometieron a ensayo dos concentraciones de papaína: una cantidad de una quinta parte o una décima parte de papaína con respecto a la cantidad total de la Cel7A en la mezcla de reacción). La proteína núcleo resultante se purificó con una columna de intercambio aniónico DEAE Sepharose FF (Pharmacia, Uppsala, Suecia) como se ha descrito anteriormente. El producto se analizó en SDS-PAGE.

Los resultados de hidrólisis a 45°C y 70°C se muestran en la Figura 4 y la Figura 5, respectivamente. Los resultados muestran claramente que todas las celobiohidrolasas muestran una hidrólisis más rápida y más completa a ambas

temperaturas en comparación con la celobiohidrolasa Cel7A de *T. reesei* del estado de la técnica. A 70°C, las celobiohidrolasas termoestable de *Thermoascus aurantiacus* ALKO4242 y *Chaetomium thermophilum* ALKO4265 son superiores en comparación con Cel7A de T. *reesei*, también en el caso en el que el núcleo de Cel7A de *Thermoascus* está conectado al CBD de Cel7A de T. *reesei* (Cel7A de Ta + CBD de Tr). Resultó sorprendente que las celobiohidrolasas aisladas y clonadas en este trabajo sean superiores, cuando albergan un CBD, en la velocidad y la formación del producto en la hidrólisis de celulosa cristalina también a la temperatura de hidrólisis convencional de 45°C cuando se comparó con la celobiohidrolasa del estado de la técnica de Cel7A (CBHI) de *T. reesei* a la misma concentración de la enzima. Los resultados también están de acuerdo con las preparaciones de enzima (Cel7A de At y Cel7A de Ct), que se purificaron a partir de los anfitriones originales y se sometieron a ensayo en la hidrólisis de Avicel (50°C, 24 h) (Ejemplo 2, Tabla 1).

Ejemplo 18. Clonación de genes de endoglucanasa de Acremonium thermophilum ALKO4245, Chaetomium thermophilum ALKO4261, y Thermoascus aurantiacus ALKO4242

Se utilizaron métodos convencionales de biología molecular como se ha descrito en el Ejemplo 13. La construcción de las bibliotecas genómicas de *Acremonium*, *Chaetomium*, y *Thermoascus* se ha descrito en el Ejemplo 12.

Los péptidos derivados de endoglucanasas purificadas de *Acremonium* y *Chaetomium* comparten homología con varias endoglucanasas de la familia 45 de glicosilhidrolasas tales como la endoglucanasa Cel45A de *Melanocarpus albomyces* (AJ515703) y la endoglucanasa de *Humicola insolens* (A35275), respectivamente. Los péptidos derivados de la endoglucanasa de *Thermoascus* comparten casi 100% de identidad con la secuencia de la endoglucanasa EG1 de *Thermoascus aurantiacus* (AF487830) publicada. Para amplificar una sonda para el escrutinio de las bibliotecas genómicas de *Acremonium* y *Chaetomium*, se diseñaron cebadores degenerados basándose en las secuencias de los péptidos. El orden de los péptidos en la secuencia de la proteína y la naturaleza efectora o antisentido correspondiente de los cebadores se dedujeron a partir de la comparación con las endoglucanasas publicadas homólogas. Las secuencias de los cebadores y los péptidos correspondientes se enumeran en la Tabla 14. Debido a una identidad de casi 100% de los péptidos de *Thermoascus* con la secuencia publicada, el gen de la endoglucanasa se amplificó mediante PCR directamente a partir del ADN genómico.

Tabla 14. Oligonucleótidos sintetizados y utilizados como cebadores de PCR para amplificar una sonda para el escrutinio de los genes *cel*45A (EG_40) de *Acremonium thermophilum* y *cel*7B (EG_54) de *Chaetomium thermophilum* a partir de las bibliotecas genómicas correspondientes.

Proteína	Péptido	Localización del cebador ^{(a}	Secuencia del cebador ^{(D}
EG_40 de At	Péptido 5	1—6	TAYTGGGAYTGYAARCC
	WFQNADN ^{(c}		RTTRTCNGCRTTYTGRAACCA
EG_54 de Ct	Péptido 7	3—7	GCAAGCTTCGRCARAARTCRTCRTT (d
	Péptido 2	5—9	GGAATTCGAYCARACNGARCARTA (e

(a aminoácidos del péptido utilizado para el diseño de la secuencia del cebador

30 (b N = A, C, G, o T; R = A o G, Y = C o T

10

(c El péptido no deriva de la proteína EG_40 purificada de *Acremonium*, pero se origina a partir de la secuencia Cel45A de *M. albomyces* (AJ515703) homóloga a EG 40.

(d Se añadió un sitio de restricción HindIII al extremo 5' del oligonucleótido

(e Se añadió un sitio de restricción EcoRI al extremo 5' del oligonucleótido

Se amplificó la sonda específica del gen *cel*45A de *Acremonium thermophilum* para escrutar la biblioteca genómica con los cebadores directo (TAYTGGGAYTGYTGYAARCC) e inverso (RTTRTCNGCRTTYTGRAACCA) utilizando ADN genómico como molde. Las mezclas de reacción de PCR contenían Tris-HCl 50 mM, pH 9,0, (NH₄)₂SO₄ 15 mM, Triton X-100 al 0,1%, MgCl₂ 1,5 mM, dNTP 0,1 mM, 0,5 µg de cada cebador, 1 unidad de ADN polimerasa Dynazyme EXT (Finnzymes, Finlandia) y aproximadamente 0,5 µg de ADN genómico de *Acremonium*. Las condiciones para las reacciones de PCR fueron las siguientes: 5 min de desnaturalización inicial a 95°C, seguido de 30 ciclos de 1 min a 95°C, 1 min de recocido a 50-60°C, 2 min de extensión a 72°C y una final extensión a 72°C durante 10 min. Para la amplificación de la sonda específica de gen *cel*7B de *Chaetomium thermophilum* (que codifica EG_54 de Ct), se utilizaron un cebador directo (GGAATTCGAYCARACNGARCARTA) y un cebador inverso (GCAAGCTTCGRCARAARTCRTCRTT). Las mezclas de reacción de PCR contenían Tris-HCl 10 mM, pH 8,8, KCl 50 mM, Triton X-100 al 0,1%, MgCl₂ 1,5 mM, dNTP 0,2 mM, 250 pmol de cada cebador, 2 unidades de ADN polimerasa Dynazyme II (Finnzymes, Finlandia) y aproximadamente 2 µg de ADN genómico de *Chaetomium*. Las

condiciones para la reacción de PCR fueron las descritas anteriormente, excepto que el recocido se realizó a 45-50°C.

Se obtuvieron dos productos de PCR a partir de la reacción de PCR de *Acremonium*. Se aislaron fragmentos de ADN de aproximadamente 0,6 kb y 0,8 kb de gel de agarosa y se clonaron en el vector pCR4-TOPO® TA (Invitrogen, USA), dando como resultado los plásmidos pALK1710 y pALK1711, respectivamente. Los productos de ADN se caracterizaron por secuenciación y realizando hibridaciones mediante transferencia Southern con el ADN genómico de *Acremonium* digerido con varias enzimas de restricción. Los patrones de hibridación obtenidos con los dos fragmentos en condiciones de lavado rigurosas sugieren que los dos supuestos genes de endoglucanasa podrían ser escrutados a partir de la biblioteca genómica de *Acremonium*. Las secuencias de aminoácidos deducidas de los dos productos de PCR tienen homología con varias secuencias publicadas de endoglucanasa de la familia 45 de glicosilhidrolasa (programa BLAST del Nacional Center for Biotechnology Information; Altschul *et al.*, 1990).

5

10

15

20

25

30

Se obtuvo un producto de PCR del tamaño esperado (estimado a partir de la secuencia de endoglucanasa homóloga de *Humicola insolens*, A35275) a partir de la reacción de PCR de *Chaetomium*. Este fragmento de ADN de aproximadamente 0,7 kb se clonó en el vector pCR4-TOPO® TA (Invitrogen, USA) dando como resultado el plásmido pALK2005 y se analizó como se ha descrito anteriormente. La secuencia de aminoácidos deducida del producto de la PCR tiene homología con varias secuencias de celulasa publicadas de la familia de 7 glicosilhidrolasa (programa BLAST, versión 2.2.9 en el NCBI, Nacional Center for Biotechnology Information; Altschul *et al.*, 1990).

El inserto de los plásmidos pALK1710, pALK1711, pALK2005 y se aisló mediante digestión con enzimas de restricción y se marcó con digoxigenina de acuerdo con las instrucciones del proveedor (Roche, Alemania). Se escrutaron aproximadamente 1-2 x 10⁵ placas de la biblioteca genómica amplificada de *Acremonium* o *Chaetomium*. La temperatura de hibridación fue de 68°C y los filtros se lavaron 2 x 5 min a RT utilizando 2 x SSC - SDS al 0,1% seguido de 2 x 15 min a 68°C utilizando 0,1 x SSC - SDS al 0,1%. Se obtuvieron varias placas positivas, de las cuales de cinco a seis placas que hibridación fuertemente se purificaron a partir de cada escrutinio. Los ADN de los fagos se aislaron y se analizaron mediante hibridación por transferencia Southern. Los fragmentos de restricción que hibridaban con la sonda se subclonaron en el vector pBluescript II KS + (Stratagene, USA) y se secuenciaron las porciones relevantes. En todos los casos el fragmento de fago subclonado contiene el gen completo de interés. La Tabla 15 resume la información de las sondas utilizadas para el escrutinio de los genes de endoglucanasa, los clones de fagos a partir de los cuales se aislaron los genes, los fragmentos de restricción seleccionados que contenían los genes completos con sus regiones promotora y terminadora, los nombres de los plásmidos que contenían el fragmento del fago subclonado, y los números de depósito de la colección de cultivos Deutsche Sammlung von und Mikroorganismen Zellkulturen GmbH (DSM) de cepas de *E. coli* que portaban estos plásmidos.

Tabla 15. Sondas utilizadas para la clonación del gen de la endoglucanasa, clon del fago y subclón seleccionados, nombre del plásmido y el número de depósito correspondiente de la cepa de *E. coli*.

Gen	Biblioteca genómica	Sonda utilizada en el escrutinio	Clon de fago	Fragmento subclonado	Plásmido	Núm. de depósito de <i>E. coli</i>
cel45A de	A. thermophilum	pALK1710	P24	Smal de 5,5 kb	pALK1908	DSM 17324
At	ALKO4245					
<i>cel</i> 45B de	A. thermophilum	pALK1711	P41	Xhol de 6,0 kb	pALK1904	DSM 17323
At	ALKO4245					
ce/7B de	C. thermophilum	pALK2005	P55	BamHI de 5,1 kb	pALK2010	DSM 17729
Ct	ALKO4261					

El gen ce/5A de Thermoascus aurantiacus (que codificaba EG 28) (SEQ ID NO: 9) se amplificó directamente a partir 35 genómico aislado mediante reacción PCR. los cebadores directo de (ATTAACCGCGĞACTGCGCATCATGAAGCTCGGCTCTCTCGTGCTC) inverso (AACTGAGGCATAGAAACTGACGTCATATT) que se utilizaron para la amplificación se diseñaron basándose en el gen eg1 de T. aurantiacus publicado (AF487830). Las mezclas de reacción PCR contenían 1 x tampón Phusion HF, 40 dNTP 0,3 mM, 0,5 M de cada cebador, 2 unidades de ADN polimerasa Phusion TM (Finnzymes, Finlandia) y aproximadamente 0,25 µg de ADN genómico de *Thermoascus*. Las condiciones para las reacciones de PCR fueron las siguientes: 5 min de desnaturalización inicial a 95°C, seguido de 25 ciclos de 30 s a 95°C, 30 s de recocido a 57-67°C, 2,5 minutos de extensión a 72°C y una extensión final a 72°C durante 5 min. El producto de 1,3 kb amplificado que contenía el gen exacto (del codón de INICIO al de PARADA) se clonó como un fragmento SacII-Pstl en el vector 45 pBluescript II KS +. Se secuenciaron dos clones independientes y un clon se seleccionó y se denominó pALK1926. El número de depósito de la cepa de E. coli que contenía pALK1926 en la colección de cultivos Deutsche Sammlung von und Mikroorganismen Zellkulturen GmbH es DSM 17326.

La información relevante de los genes y las secuencias de proteínas deducidas (SEQ ID NO: 9-16) se resumen en la Tabla 16 y la Tabla 17, respectivamente. Las secuencias peptídicas de las endoglucanasas EG_40 de *Acremonium* (gen *cel*45A de At), EG_54 de *Chaetomium* (gen *cel*7B de Ct), y EG_28 de *Thermoascus* (gen *cel*5A de Ta) se encontraron en las correspondientes secuencias de aminoácidos deducidas de los genes clonados confirmando que se clonaron los genes apropiados.

Tabla 16 Resumen de los genes de endoglucanasa aislados de *Acremonium thermophilum*, *Chaetomium thermophilum*, y *Thermoascus aurantiacus*.

Gen de Endoglucanasa	Longitud con intrones (pb) (a	Región codificante (pb) ^{(b}	Núm. de intrones	Longitudes de intrones (pb)	SEQ ID NO:
cel45A de At	1076	891	2	59, 123	11
cel45B de At	1013	753	2	155, 102	13
ce/7B de Ct	1278	1275	-	-	15
cel5A de Ta	1317	1005	5	55, 60, 59, 74, 61	9

(a El codón de PARADA está incluido.

5

(b El codón de PARADA no está incluido.

Tabla 17. Resumen de las secuencias deducidas de las endoglucanasas de *Acremonium thermophilum*, *Chaetomium thermophilum*, y *Thermoascus aurantiacus*. ss, secuencia señal.

Proteína endoglucanasa	Núm. de aa	Longitud de la ss de NN/HMM ^{(a}	CBD ^{(b}	PM pronosticado (Da, ss no incluida) ^{(c}	pl pronosticado (ss no incluida)	Supuestos sitios de N-glicosilación ^{(d}	SEQ ID NO:
EG_40 de At	297	21/21	Si, K265 a L297	28625	4,79	2	12
De tipo EG_40 de At	251	20/20	No	23972	6,11	2	14
EG_54 de Ct	425	17/17	No	45358	5,44	1	16
EG_28 de Ta	335	30(e	No	33712	4,30	1	10

(a La predicción de la secuencia señal se realizó utilizando el programa SignalP V3.0 (Nielsen *et al.*, 1997; Bendtsen. *et al.*, 2004); el valor NN se obtuvo utilizando redes neuronales y el valor HMM utilizando modelos ocultos de Markov.

(b Se indican la presencia de un dominio de unión a celulosa en la proteína, los aminoácidos del CBD C-terminal (numeración de acuerdo con el polipéptido completo)

(c La secuencia señal pronosticada no está incluida. La predicción se realizó utilizando la herramienta Compute pl/MW en el servidor ExPASy (Gasteiger et al., 2003).

(d Los supuestos sitios de N-glicosilación N-X-S/T se pronosticaron utilizando el programa NetNGlyc 1.0 (Gupta et al., 2004).

20 (e De acuerdo con Hong et al. 2003a.

25

Las secuencias de proteínas deducidas de las endoglucanasas EG_40 (Cel45A de At) y de tipo EG_40 (Cel45B de At) de *Acremonium*, EG_54 (Cel7B de Ct) de *Chaetomium*, y EG_28 (Cel5A de Ta) de *Thermoascus* comparten homología con celulasas de la familia 45 (*Acremonium*), la familia 7 (*Chaetomium*), y la familia 5 (*Thermoascus*) de glicosilhidrolasa, identificando de este modo los genes aislados como miembros de estas familias de genes. Las homologías más cercanas de las endoglucanasas EG_40/Cel45A y de tipo EG_40/Cel45B de *Acremonium* son endoglucanasas de *Thielavia terrestris* (CQ827970, identidad del 77,3%) y *Myceliophthora thermophila* (AR094305, identidad de 66,9%), respectivamente (Tabla 18). Las dos endoglucanasas aisladas de la familia 45 de *Acremonium* comparten una identidad de solo 53,7% entre sí. De estas enzimas sólo EG_40/Cel45A contiene un dominio de unión a celulosa (CBD).

30 La homología más próxima para la secuencia de proteína pronosticada de la endoglucanasa EG_54/Cel7B de *Chaetomium* se encuentra en la secuencia de celulasa Cel7A *Melanocarpus albomyces* (AJ515704). La identidad entre estas dos secuencias de proteínas es 70,6%.

La secuencia de la proteína de la endoglucanasa aislada *Thermoascus aurantiacus* es completamente idéntica a la de la EGI publicada de *T. aurantiacus* (AF487830, Tabla 18). La homología más próxima se encontró en una secuencia de β-glucanasa de *Talaromyces emersonii* (AX254752, identidad de 71,1%).

Tabla 18. Comparación de las endoglucanasas EG_40, de tipo EG_40/Cel45B de *Acremonium thermophilum*, 5 EG_54/Cel7B de *Chaetomium thermophilum* y EG_28/Cel5A de *Thermoascus aurantiacus* con sus contrapartes homólogas. Este alineamiento se realizó utilizando el programa de Needle del paquete de programas EMBOSS. *Indica una endoglucanasa codificada por un gen clonado en este trabajo.

Organismo, enzima, y número de acceso	Identidad (%)
Acremonium thermophilum EG_40	100,0
Thielavia terrestris EG45, CQ827970	77,3
Melanocarpus albomyces Cel45A, AJ515703	75,3
Neurospora crassa, hipotético XM_324477	68,9
Humicola grisea var thermoidea, EGL3, AB003107	67,5
Humicola insolens EG5, A23635	67,3
Myceliophthora thermophila fam 45, AR094305	57,9
*Acremonium thermophilum de tipo EG_40	53,7
Acremonium thermophilum de tipo EG_40	100,0
Myceliophthora thermophila fam 45, AR094305	66,9
Magnaporthe grisea 70-15 hipotético, XM_363402	61,9
Thielavia terrestris EG45, CQ827970	
*Acremonium thermophilum EG_40	56,8
Melanocarpus albomyces Cel45A, AJ515703	53,7
	52,8
Chaetomium thermophilum EG_54	100,0
Melanocarpus albomyces Cel7A, AJ515704	70,6
Humicola grisea var thermoidea EGI, D63516	68,8
Humicola insolens EGI, AR012244	67,7
Myceliophthora thermophila EGI, AR071934	61,7
Fusarium oxysporum var lycopercisi EGI, AF29210	53,5
Fusarium oxysporum EGI, AR012243	52,6
Thermoascus aurantiacus EG_28	100,0
Thermoascus aurantiacus EG, AX812161	100,0
Thermoascus aurantiacus EGI, AY055121	99,4
Talaromyces emersonii β-glucanasa, AX254752	71,1
Talaromyces emersonii EG, AF440003	70,4
Aspergillus niger EG, A69663	70,1
Aspergillus niger EG, A62441	69,9
Aspergillus niger EG, AF331518	69,6
Aspergillus aculeatus EGV, AF054512	68,5

Ejemplo 19. Producción de endoglucanasas recombinantes en Trichoderma reesei

10 Se construyeron plásmidos de expresión para la producción de las proteínas recombinantes EG_40/Cel45A, de tipo EG_40/Cel45B de Acremonium, y EG_28/Cel5A de Thermoascus como se ha descrito en el Ejemplo 14. Los casetes de expresión lineales (Tabla 19) se aislaron de la cadena principal del vector mediante digestión con enzimas de

restricción, se transformaron en T. *reesei* A96 y los transformantes se purificaron como se ha descrito en el Ejemplo 14.

Tabla 19 Casetes de expresión construidos para la producción de las endoglucanasas EG_40/Cel45A, de tipo EG_40/Cel45B de *Acremonium thermophilum* y EG_28/Cel5A de *Thermoascus aurantiacus* en *Trichoderma reesei*. La estructura esquemática de los casetes de expresión se describe en la Figura 2.

5

10

15

20

25

30

40

Endoglucanasa	Plásmido de expresión	Tamaño del casete de expresión ^{(a}	Terminador heterólogo ^{(b}
EG_40 de At	pALK1920	Notl 10,9 kb	156 pb (<i>Hind</i> III)
De tipo EG_40 de At	pALK1921	EcoRI 8,6 kb	282 pb (Sspl)
EG_28 de Ta	pALK1930	Notl 8,6 kb	ninguno

(a El casete de expresión para la transformación en *T. reesei* se aisló a partir de la cadena principal del vector mediante digestión con *Eco*Rl o *Not*l.

(b Se indica el número de nucleótidos después del codón de PARADA del gen clonado que se incluyen en el casete de expresión. El sitio de restricción en la región 3' del gen que se utilizó en la construcción del casete de expresión se indica entre paréntesis.

La producción de endoglucanasa de los transformantes se analizó a partir de los sobrenadantes de cultivo de cultivos en matraz oscilante (50 ml). Los transformantes se cultivaron como en el Ejemplo 14 y la actividad enzimática de la proteína recombinante se midió a partir del sobrenadante de cultivo como la liberación de azúcares reductores a partir de carboximetilcelulosa (2% (p/v) de CMC) a 50°C en tampón de citrato 50 mM de pH 4,8 esencialmente como describen Bailey y Nevalainen 1981; Haakana et al. 2004. La producción de las proteínas recombinantes también se detectó a partir de sobrenadantes de cultivo mediante electroforesis en gel de poliacrilamida-SDS. Los anticuerpos policlonales específicos de EG_40 de Acremonium se produjeron en conejos (Universidad de Helsinki, Finlandia). La expresión de EG_40 se verificó mediante análisis de transferencia Western con anticuerpos anti-EG_40 utilizando el sistema AP para transferencia Western ProtoBlot (Promega). Los genotipos de los transformantes seleccionados se analizaron mediante transferencia Southern utilizando el casete de expresión como sonda.

El pH óptimo de las endoglucanasas producidas de manera heteróloga se determinó en tampón universal de McIlvaine dentro de un intervalo de pH de 4,0-8,0 utilizando carboximetilcelulosa como sustrato. Como se muestra en la Figura 6A el intervalo de pH más amplio (4,5-6,0) es el de la proteína EG_40/Cel45A de *Acremonium*, siendo el óptimo a pH 5,5. El pH óptimo para las otras endoglucanasas producidas de manera heteróloga son pH 5,0-5,5 y 6,0 para el tipo EG_40/Cel45B de *Acremonium* y EG_28/Cel5A de *Thermoascus*, respectivamente. La temperatura óptima para la actividad enzimática de estas endoglucanasas se determinó en el intervalo de temperatura de 50-85°C como se ha descrito anteriormente. Se determinó que la mayor actividad de la enzima era a 75°C, 60°C y 75°C para EG_40/Cel45A, de tipo EG_40/Cel45B de *Acremonium* y EG_28/Cel5A de *Thermoascus*, respectivamente (Figura 6B).

Los transformantes seleccionados se cultivaron, como se ha descrito en el Ejemplo 14, en un biorreactor de 2 litros durante cuatro días (28°C, pH 4,2) para obtener material para las pruebas de aplicación.

Ejemplo 20. Clonación de los genes de beta-glucosidasa de *Acremonium thermophilum* ALKO4245, *Chaetomium thermophilum* ALKO4261, y *Thermoascus aurantiacus* ALKO4242.

35 Se utilizaron métodos convencionales de biología molecular como se ha descrito en el Ejemplo 13. La construcción de las bibliotecas genómicas de *Acremonium*, *Chaetomium*, y *Thermoascus* se ha descrito en el Ejemplo 12.

Los péptidos derivados de las β -glucosidasas purificadas de *Acremonium*, *Chaetomium*, y *Thermoascus* comparten homología con varias β -glucosidasas de la familia 3 de glicosil hidrolasa tales como las β -glucosidasas de *Acremonium cellulolyticus* (BD168028), *Trichoderma viride* (AY368687), y *Talaromyces emersonii* (AY072918), respectivamente. Para amplificar una sonda para el escrutinio de las bibliotecas genómicas de *Acremonium*, *Chaetomium*, o *Thermoascus*, se diseñaron cebadores degenerados basándose en las secuencias de los péptidos. El orden de los péptidos en la secuencia de la proteína y la naturaleza efectora o anti-sentido correspondiente de los cebadores se dedujo de la comparación con las β -glucosidasas homólogas publicadas. Las secuencias de los cebadores y los péptidos correspondientes se enumeran en la Tabla 20.

Tabla 20. Oligonucleótidos sintetizados y utilizados como cebadores de PCR para amplificar una sonda para el escrutinio de los genes *cel*3A (βG_101) de *Acremonium thermophilum*, *cel*3A (βG_76) de *Chaetomium thermophilum*, y *cel*3A (βG 81) de *Thermoascus aurantiacus* de las bibliotecas genómicas correspondientes.

Proteína	Péptido	Localización del cebador ^{(a}	Secuencia del cebador ^{(b}
----------	---------	--	-------------------------------------

Proteína	Péptido	Localización del cebador ^{(a}	Secuencia del cebador ^{(b}	
At	EKVNLT ^{(c}		GARAARGTNAAYCTNAC	
βG_101				
	Péptido 4	6—11	YTTRCCRTTRTTSGGRGTRTA	
Ct	Péptido 6	4—9	TNTGYCTNCARGAYGG	
βG_76				
	Péptido 1	3—8	TCRAARTGSCGRTARTCRATRAASAG	
Та	Péptido 3	1—5	AARGGYGTSGAYGTSCAR	
βG_81				
	Péptido 1	2—7	YTTRCCCCASGTRAASGG	

(a Aminoácidos del péptido utilizado para el diseño de la secuencia del cebador

5

10

15

20

25

30

35

(b Para reducir la degeneración, algunos codones se seleccionaron de acuerdo con la preferencia fúngica N = A, C, G, o T;. R = A o G, S = C o G; Y = C o T

(c El péptido no deriva de la proteína βG_101 de *Acremonium* purificada, sino que se origina a partir de la secuencia de β-glucosidasa (BD168028) de *A. cellulolyticus* homóloga a βG_101.

Las sondas para el escrutinio de las bibliotecas genómicas construidas se amplificaron con las combinaciones de cebadores enumeradas (Tabla 20) utilizando ADN genómico de *Acremonium, Chaetomium,* o *Thermoascus* como molde. Las mezclas de reacción de PCR contenían Tris-HCl 50 mM, pH 9,0, (NH₄)₂SO₄ 15 mM, Triton X-100 al 0,1%, MgCl₂ 1,5 mM, dNTP 0,1-0,2 mM, 0,25 µg de cada cebador, 1 unidad de ADN polimerasa Dynazyme EXT (Finnzymes, Finlandia) y aproximadamente 0,5 µg de ADN genómico. Las condiciones para las reacciones de PCR fueron las siguientes: 5 min de desnaturalización inicial a 95°C, seguido de 30 ciclos de 1 min a 95°C, 1 min de hibridación a 40°C (ADN de *Acremonium* como molde), a 50°C (ADN de *Chaetomium* como molde), o a 63°C (ADN de *Thermoascus* como molde), 2-3 min de extensión a 72°C y una extensión final a 72°C durante 5-10 min.

Se aislaron productos de PCR específicos del tamaño esperado (estimado a partir de las secuencias de β-glucosidasa homólogas BD168028, AY072918, y AY368687) del gel de agarosa. Los fragmentos de ADN de aproximadamente 1,8 kb (*Acremonium*), 1,5 kb (*Chaetomium*), y 1,52 kb (*Thermoascus*) se clonaron en el vector pCR4-TOPO® TA (Invitrogen, USA) dando como resultado los plásmidos pALK1924, pALK1935, y pALK1713, respectivamente. Los productos de ADN se caracterizaron mediante secuenciación y realizando hibridaciones de transferencia Southern del ADN genómico digerido con varias enzimas de restricción. Los patrones de hibridación en condiciones de lavado rigurosas sugieren que se podría aislar un supuesto gen de β-glucosidasa de la biblioteca genómica de *Acremonium*, *Chaetomium*, y *Thermoascus*. Las secuencias de aminoácidos deducidas de los tres productos de PCR tienen homología con varias secuencias de β-glucosidasa publicadas de la familia 3 de glicosil hidrolasa (programa BLAST, National Center for Biotechnology Information; Altschul *et al.*, 1990).

El inserto de los plásmidos pALK1713, pALK1924, y pALK1935 se aisló mediante digestión con enzimas de restricción y se marcó con digoxigenina de acuerdo con las instrucciones del proveedor (Roche, Alemania). Se escrutaron aproximadamente 1-2 x 10⁵ placas de la biblioteca genómica de *Acremonium, Chaetomium,* o *Thermoascus* amplificadas como se ha descrito en el Ejemplo 18. Se obtuvieron varias placas positivas, de las cuales de cinco a seis placas que hibridaron fuertemente se purificaron a partir de cada escrutinio. Los ADN de los fagos aislaron y se analizaron mediante hibridación de transferencia Southern. Los fragmentos de restricción que hibridaban con la sonda se subclonaron en el vector pBluescript II KS+ (Stratagene, USA) y las porciones relevantes se secuenciaron. En todos los casos el fragmento de fago subclonado contiene el gen completo de interés. La Tabla 21 resume la información de las sondas utilizadas para el escrutinio de los genes de β-glucosidasa, los clones de fagos de los que se aislaron los genes, los fragmentos de restricción seleccionados que contienen los genes completos con sus regiones promotora y terminadora, los nombres de los plásmidos que contienen el fragmento de fago subclonado, y los números de depósito en la colección de cultivos Deutsche Sammlung von und Mikroorganismen Zellkulturen GmbH (DSM) de cepas de *E. coli* que portan estos plásmidos.

Tabla 21. Sondas utilizadas para la clonación del gen de la β-glucosidasa, clon del fago y subclón seleccionados, nombre de plásmido y número de depósito correspondiente de la cepa de *E. coli*.

Gen	Biblioteca genómica	Sonda utilizada en el escrutinio	Clon del fago	Fragmento subclonado	Plásmido	Núm. de depósito de <i>E.</i> coli
cel3A de	A. thermophilum	pALK1924	P44	6,0 kb	pALK1925	DSM

Gen	Biblioteca genómica	Sonda utilizada en el escrutinio	Clon del fago	Fragmento subclonado	Plásmido	Núm. de depósito de <i>E.</i> coli
At	ALKO4245			HindIII		17325
	C. thermophilum	pALK1935	P51	7,0 kb	pALK2001	DSM
Ct	ALKO4261			Xbal		17667
<i>cel</i> 3A de	T. aurantiacus	pALK1713	P21	5,3 kb	pALK1723	DSM
Та	ALKO4242			<i>Bam</i> HI		16725

La información relevante de los genes y las secuencias de proteína deducidas (SEQ ID NO: 21-26) se resumen en la Tabla 22 y la Tabla 23, respectivamente. Las secuencias de péptidos de las proteínas β G_101 (At Cel3A) *Acremonium*, β G_76 (Ct Cel3A) de *Chaetomium*, y β G_81 (Ta Cel3A) de *Thermoascus* purificadas se encontraron en las correspondientes secuencias de aminoácidos deducidas de los genes clonados confirmando que se habían clonado los genes apropiados.

Tabla 22. Resumen de los genes de β-glucosidasa aislados de *Acremonium thermophilum*, *Chaetomium thermophilum*, y *Thermoascus aurantiacus*.

Gen de β- glucosidasa	Longitud con intrones (pb) ^{(a}	Región codificante pb) ^{(b}	Núm. de intrones	Longitud de los intrones (pb)	SEQ ID NO:
cel3A de At	2821	2583	3	92, 74, 69	23
cel3A de Ct	2257	2202	1	52	25
cel3A de Ta	3084	2529	7	134, 67, 56, 64, 59, 110, 62	21

(a Está incluido el codón de PARADA.

(b No está incluido el codón de PARADA.

10

Tabla 23. Resumen de las secuencias de β-glucosidasa deducidas de *Acremonium thermophilum*, *Chaetomium thermophilum*, y *Thermoascus aurantiacus*. ss, secuencia señal.

Proteína β- glucosidasa		Longitud de la ss NN/HMM ^{(a}		PM pronosticado (Da, no incluida ss) ^{(c}	pl pronosticado no incluida ss)	Supuestos sitios de N-glicosilación ^{(d}	SEQ ID NO:
βG_101 de At	861	19/18	No	91434	5,46	8	24
βG_76 de Ct	734	20/20	No	76457	6,3	2	26
βG_81 de Ta	843	19/19	No	89924	4,95	8	22

(a La predicción de la secuencia señal se realizó utilizando el programa SignalP V3.0 (Nielsen *et al*,. 1997; Bendtsen *et al*, 2004); el valor NN se obtuvo utilizando redes neuronales y valor HMM utilizando modelos ocultos de Markov.

15 (b Presencia de un dominio de unión a celulosa en la proteína.

(c La secuencia señal pronosticada no está incluida. La predicción se realizó utilizando la herramienta el Compute pl/MW en el servidor ExPASy (Gasteiger et al., 2003).

(d Los supuestos sitios de N-glicosilación NXS/T se pronosticaron utilizando el programa NetNGlyc 1,0 (Gupta et al., 2004).

Las secuencias de proteínas deducidas de las β-glucosidasas βG_101/Cel3A de *Acremonium*, βG_76/Cel3A de *Chaetomium*, y βG_81/Cel3A de *Thermoascus* comparten homología con las enzimas de la familia 3 de glicosil hidrolasa, identificando de este modo que los genes aislados pertenecen a esta familia de genes. Las contrapartes más cercanas de las β-glucosidasas de *Acremonium*, *Chaetomium*, y *Thermoascus* son las de *Magnaporthe grisea* (β-glucosidasa, AY849670), *Neurospora crassa* (hipotética, XM_324308), y *Talaromyces* emersonii (β-glucosidasa, AY072918), respectivamente (Tabla 24). Se encontró que la identidad de secuencia más alta (73,2%) era la de βG_76/Cel3A de C. *thermophilum* para la proteína hipotética de *N. crassa* indicando que se habían clonado genes de nuevas enzimas.

Tabla 24 Comparación de las β-glucosidasas $\beta G_101/Cel3A$ de *Acremonium thermophilum*, $\beta G_76/Cel3A$ de *Chaetomium thermophilum* y $\beta G_81/Cel3A$ de *Thermoascus aurantiacus* deducidas con sus contrapartes homólogas. La alineación se ha realizado mediante el programa Needle del paquete de programas EMBOSS. * Indica una β-glucosidasa codificada por un gen clonado en este trabajo.

Organismo, enzima, y número de acceso	Identidad (%)
*Acremonium thermophilum βG_101	100,0
Magnaporthe grisea β-glucosidasa, AY849670	73,1
Neurospora crassa hipotética, XM_330871	71,1
Trichoderma reesei Cel3B, AY281374	65,2
*Thermoascus aurantiacus βG_81	62,2
Aspergillus aculeatus β-glucosidasa, D64088	59,5
Talaromyces emersonii β-glucosidasa, AY072918	58,9
Aspergillus oryzae, AX616738	58,2
Acremonium cellulolyticus β-glucosidasa, BD168028	57,2
*Chaetomium thermophilum βG_76	40,9
Chaetomium thermophilum βG_76	100,0
Neurospora crassa, hipotética XM_324308	76,9
Magnaporthe grisea, hipotética XM_364573	70,2
Trichoderma viridae BGI, AY368687	65,8
Acremonium cellulolyticus β-glucosidasa, BD168028	41,2
*Acremonium thermophilum βG_101	40,9
Trichoderma reesei Cel3B, AY281374	40,0
*Thermoascus aurantiacus βG_81	39,9
*Thermoascus aurantiacus βG_81	100,0
Talaromyces emersonii β-glucosidasa, AY072918	73,2
Aspergillus oryzae, AX616738	69,5
Aspergillus aculeatus β-glucosidasa, D64088	68,0
Acremonium cellulolyticus β-glucosidasa, BD168028	65,7
*Acremonium thermophilum βG_101	62,2
Trichoderma reesei Cel3B, AY281374	57,9
*Chaetomium thermophilum βG_76	39,9

Ejemplo 21. Producción de beta-glucosidasas recombinantes en Trichoderma reesei

Se construyeron plásmidos de expresión para la producción de las proteínas recombinantes $\beta G_101/Cel3A$ de *Acremonium*, de $\beta G_76/Cel3A$ de *Chaetomium*, y $\beta G_81/Cel3A$ de *Thermoascus* como se describe en el Ejemplo 14. Se aislaron casetes de expresión lineales (Tabla 25) de la cadena principal del vector mediante digestión con enzimas de restricción, se transformaron en *T. reesei* A96 o A33 (ambas cepas tienen suprimidos los genes que codifican las cuatro celulasas principales CBHI/Cel7A, CBHII/Cel6A, EGI/Cel7B y EGII/Cel5A) y los transformantes se purificaron como se ha descrito en el Ejemplo 14.

Tabla 25. Casetes de expresión construidos para la producción de β-glucosidasas $βG_101/Cel3A$ de *Acremonium thermophilum*, $βG_76/Cel3A$ de *Chaetomium thermophilum*, γ $βG_81/Cel3A$ de *Thermoascus aurantiacus* en *Trichoderma reesei*. La estructura esquemática de los casetes de expresión se describe en la Figura 2.

β-glucosidasa	Plásmido de expresión	Tamaño del casete de expresión ^{(a}	Terminador heterólogo ^(b)
βG_101 de At	pALK1933	Notl de 10,5 kb	300 pb (<i>Hind</i> III)

5

10

15

β-glucosidasa	Plásmido de expresión	Tamaño del casete de expresión ^{(a}	Terminador heterólogo ^{(b}
βG_76 de Ct	pALK2004	EcoRI de 10,1 kb	528 pb (<i>Xba</i> l)
βG_81 de Ta	pALK1914	EcoRI de 10,9 kB	452 pb (<i>Apo</i> l)

(a El casete de expresión para la transformación en *T. reesei* se aisló de la cadena principal del vector mediante digestión con *Eco* RI o *Not*I.

(b Se indica el número de nucleótidos después del codón de PARADA del gen clonado que está incluido el casete de expresión. El sitio de restricción en la región 3' del gen que se utilizó en la construcción del casete de expresión se indica entre paréntesis.

5

10

30

35

40

45

50

Se analizó La producción de beta-glucosidasa de los transformantes a partir de los sobrenadantes de cultivo de cultivos en matraz oscilante (50 ml). Los transformantes se cultivaron como en el Ejemplo 14 y se midió la actividad enzimática de la proteína recombinante a partir del sobrenadante de cultivo utilizando sustrato de 4-nitrofenil- β -D-glucopiranósido como describen Bailey y Nevalainen 1981. También se detectó la producción de proteínas recombinantes a partir de los sobrenadantes de cultivo mediante electroforesis en gel de poliacrilamida-SDS. Además, se verificó la expresión de β G_81 de *Thermoascus* mediante análisis de transferencia de Western con anticuerpos anti- β G_81 como se ha descrito en el Ejemplo 19. Los genotipos de los transformantes seleccionados se analizaron mediante transferencia Southern utilizando el casete de expresión como sonda.

El pH óptimo de las β-glucosidasas producidas de manera heteróloga se determinó en tampón universal la McIlvaine en un intervalo de pH de 3,0-8,0 utilizando 4-nitrofenil-β-D-glucopiranósido como sustrato. Los pH óptimos para βG_101 de *Acremonium*, βG_76 de *Chaetomium*, y βG_81 de *Thermoascus* son pH 4,5, 5,5, y 4,5, respectivamente (Figura 7A). La temperatura óptima para la actividad enzimática de estas β-glucosidasas se determinó en el intervalo de temperatura de 50-85°C como se ha descrito anteriormente. Se determinó que la mayor actividad de las enzimas era a 70°C, 65°C y 75°C para βG_101/Cel3A *Acremonium*, βG_76/Cel3A de *Chaetomium* y βG_81/Cel3A de *Thermoascus*, respectivamente (Figura 7B).

Los transformantes seleccionados se cultivaron, como se ha descrito en el Ejemplo 14, en un biorreactor de 2 litros durante cuatro días (28°C, pH 4,2) para obtener material para las pruebas de aplicación.

Ejemplo 22. Clonación de los genes de xilanasa de *Acremonium thermophilum* ALKO4245 y *Thermoascus aurantiacus* ALKO4242

25 Se utilizaron métodos convencionales de la biología molecular como se ha descrito en el Ejemplo 13. La construcción de la biblioteca genómica de *Acremonium* se ha descrito en el Ejemplo 12.

Los péptidos derivados de la xilanasa *Acremonium* purificada comparten homología con las xilanasas de la familia 10 de glicosil hidrolasa tales como *Humicola grisea* XYNI (AB001030). Todos los péptidos derivados de xilanasa de *Thermoascus* fueron completamente idénticos a la secuencia XynA publicada de *Thermoascus aurantiacus* (AJ132635) identificando de este modo la proteína purificada como la misma enzima. Debido a esto el gen de xilanasa de *Thermoascus* se amplificó mediante PCR a partir del ADN genómico.

Para amplificar una sonda para el escrutinio del gen de xilanasa de *Acremonium* a partir de la biblioteca genómica, se diseñaron cebadores degenerados basándose en las secuencias de péptidos (Ejemplo 11, Tabla 5). El orden de los péptidos en la secuencia de la proteína y la naturaleza efectora o antisentido correspondiente de los cebadores se dedujeron a partir de la comparación con secuencia XYNI de *Humicola insolens* homóloga (AB001030). La secuencia del cebador efector (GAYGGYGAYGCSACYTAYATG) se basa en el Péptido 3 (aminoácidos 2-8) y el cebador anti-sentido (YTTYTGRTCRTAYTCSAGRTTRTA) en el Péptido 1 (aminoácidos 4-11).

Se obtuvo un producto de PCR del tamaño esperado (estimado a partir del secuencia XYNI de *Humicola insolens* homóloga AB001030) de la reacción. Este fragmento de ADN de aproximadamente 0,7 kb se clonó en el vector pCR4-TOPO® TA (Invitrogen, USA) dando como resultado el plásmido pALK1714, y se caracterizó mediante secuenciación. La secuencia de aminoácidos deducida del producto de la PCR tiene homología con varias secuencias de xilanasa publicadas de la familia 10 de glicosil hidrolasa (programa BLAST del National Center for Biotechnology Information; Altschul *et al.*, 1990).

El inserto del plásmido pALK1714 se aisló mediante digestión con enzimas de restricción y se marcó con digoxigenina de acuerdo con las instrucciones del proveedor (Roche, Alemania). Se escrutaron aproximadamente 1-2 x 10⁵ placas de la biblioteca genómica de *Acremonium* amplificada como se ha descrito en el Ejemplo 18. Se obtuvieron varias placas positivas, de las cuales se purificaron cinco placas que hibridaban fuertemente. Los ADN de fagos se aislaron y se analizaron mediante hibridación de transferencia Southern. Un fragmento de restricción *Xbal* de 3,0 kb que hibridaba con la sonda se subclonó en el vector pBluescript II KS+ (Stratagene, USA) dando como resultado el plásmido pALK1725. Las porciones relevantes de pALK1725 se secuenciaron y se encontró que contenían el gen *xyn*10A de *Acremonium thermophilum* completo (SEQ ID NO: 19). El número de depósito de la cepa de *E. coli* que contiene pALK1725 en la colección de cultivos Deutsche Sammlung von und Mikroorganismen Zellkulturen GmbH es DSM 16726.

El gen xyn10A de Thermoascus aurantiacus (SEQ ID NO: 17) se amplificó directamente a partir del ADN genómico aislado mediante reacción PCR. Los cebadores directo (TTATACCGCGGGAAGCCATGGTTCGACCAACGATCCTAC) inverso (TTATAGGATCCACCGGTCTATACTCACTGCTGCAGGTCCTG) que se utilizaron en la amplificación del gen se diseñaron basándose en el gen XynA de T. aurantiacus publicado (AJ132635). Las mezclas de reacción de PCR contenían Tris-HCl 50 mM, pH 9,0, (NH₄)₂SO₄ 15 mM, Triton X-100 al 0,1%, MgCl2 1,5 mM, dNTP 0,3 mM, cada cebador 1 µM, 1 unidad de ADN polimerasa Dynazyme EXT (Finnzymes, Finlandia) y aproximadamente 0,5 µg de ADN genómico de Thermoascus. Las condiciones para las reacciones de PCR fueron las siguientes: 5 min de desnaturalización inicial a 95°C, seguido de 30 ciclos de 1 min a 95°C, 1 min de recocido a 60-66°C, 3 min de extensión a 72°C y una extensión final a 72°C durante 10 min. El producto de 1,9 kb amplificado que contenía el gen exacto (desde el codón inicio al de parada) se clonó como un fragmento SacII-BamHI en el vector pBluescript II KS+. Se secuenciaron tres clones independientes y se seleccionó un clon y se denominó pALK1715. El número de depósito de la cepa de E. coli que contenía pALK1715 en la colección de cultivos Deutsche Sammlung von und Mikroorganismen Zellkulturen GmbH es DSM 16724.

La información relevante de los genes y las secuencias de proteínas deducidas (SEQ ID NO: 17-20) se resumen en la Tabla 26 y la Tabla 27, respectivamente. Las secuencias peptídicas de las proteínas purificados XYN_60 de *Acremonium* y XYN_30 de *Thermoascus* se encontraron en las correspondientes secuencias de aminoácidos deducidas de los genes clonados (At *xyn*10A y Ta *xyn*10A, respectivamente) confirmando que los se habían clonado los genes apropiados.

Tabla 26. Resumen de los genes de xilanasa aislados de Acremonium thermophilum y Thermoascus aurantiacus.

Gen de xilanasa	Longitud con intrones (pb) ^{(a}	Región codificante (pb) ^{(b}	Núm. de intrones	Longitud de los intrones (pb)	SEQ ID NO:				
At xyn10A	1471	1248	2	135, 85	19				
Ta xyn10A	xyn10A 1913 96		10	73, 74, 68, 103, 69, 65, 93, 66, 100, 212	17				
(a Está incluido el codón de PARADA. (b No está incluido el codón de PARADA.									

Tabla 27. Resumen de las secuencias de xilanasa deducidas DE *Acremonium thermophilum* y *Thermoascus aurantiacus*. ss, secuencia señal.

Proteína xilanasa	Núm. de aa	Longitud de la ss NN/HMM ^{(a}	CBD ^{(b}	PM pronosticado (Da, ss no incluida) ^{(c}	pl pronosticado (ss no incluida)	Supuestos sitios de N-glicosilación ^{(d}	SEQ ID NO:
XYN_60 de At	416	19/19	Si, W385 a L416	42533	6,32	1-2	20
XYN_30 de Ta	329	26 ^{(e}	No	32901	5,81	0	18

(a La predicción de la secuencia señal se realizó utilizando el programa SignalP V3.0 (Nielsen *et al.*, 1997; Bendtsen *et al.*, 2004); el valor NN se obtuvo utilizando redes neuronales y el valor HMM utilizando modelos ocultos de Markov.

(b Se indican la presencia de un dominio de unión a carbohidratos CBD, los aminoácidos del CBD C-terminal (numeración de acuerdo con el polipéptido completo)

(c No está incluida la secuencia pronosticada. La predicción se realizó utilizando la herramienta Compute pl/MW en el servidor ExPASy (Gasteiger et al., 2003).

30 (d Los supuestos sitios de N-glicosilación NXS/T se pronosticaron utilizando el programa NetNGlyc 1.0 (Gupta et al., 2004).

(e De acuerdo con Lo Leggio et al., 1999

5

10

25

35

Las secuencias de proteínas deducidas de las xilanasas *Acremonium* y *Thermoascus* comparten homología con varias enzimas de la familia 10 de glicosil hidrolasa, identificando los correspondientes genes como miembros de la familia 10 de xilanasas. La contraparte más próxima para XYN_60/Xyn10A de *Acremonium* encontrada es la XYLI de *Humicola grisea* (AB001030) que muestra una identidad de 67,1% con XYN_60 (Tabla 28). La secuencia de proteína pronosticada de la xilanasa XYN_30/Xyn10A de *Thermoascus aurantiacus* aislada es completamente idéntica a la de XYNA de T. *aurantiacus* publicada (P23360, Tabla 28). La homología más próxima se encuentra en una secuencia de xilanasa de *Aspergillus niger* (A62445, identidad de 69,7%).

Tabla 28. Comparación de las xilanasas XYN_60/Xyn10A de *Acremonium thermophilum* y XYN_30/Xyn10A de *Thermoascus aurantiacus* deducidas con sus contrapartes homólogas. El alineamiento se realizó utilizando el programa de Needle del paquete de programas EMBOSS. * Indica una xilanasa codificada por un gen clonado en este trabajo.

Organismo, enzima, y número de acceso	Identidad (%)
* Thermoascus aurantiacus XYN_30	100,0
Thermoascus aurantiacus XynA, P23360	100,0
Thermoascus aurantiacus XynA, AF127529	99,4
Aspergillus niger xilanasa, A62445	69,7
Aspergillus aculeatus xilanasa, AR137844	69,9
Aspergillus terreus fam 10 xyn, DQ087436	65,0
Aspergillus sojae, XynXl AB040414	63,8
Penicillium chrysogenum xilanasa, AY583585	62,5
*Acremonium thermophilum XYN_60	100,0
Humicola grisea XYL I, AB001030	67,1
Magnaporthe grisea 70-15, hipotética XM_364947	63,8
Aspergillus aculeatus xilanasa, AR149839	53,7
Talaromyces emersonii xilanasa, AX403831	51,8
Gibberella zeae xilanasa, AY575962	51,4
Magnaporthe grisea XYL5, AY144348	48,5
Talaromyces emersonii, AX172287	46,9

Ejemplo 23. Producción de xilanasas recombinantes en Trichoderma reesei

Se construyeron plásmidos de expresión para la producción de las proteínas recombinantes XYN_60/Xyn10A de *Acremonium* y XYN_30 /Xyn10A de *Thermoascus* como se ha descrito en el Ejemplo 14. Los casetes de expresión lineales (Tabla 29) se aislaron de la cadena principal del vector mediante digestión con enzimas de restricción, se transformaron en *T. reesei* A96, y los transformantes se purificaron como se ha descrito en el Ejemplo 14.

Tabla 29. Casetes de expresión construidos para la producción de las xilanasas XYN_60/Xyn10A de *Acremonium thermophilum* y XYN_30/ Xyn10A de *Thermoascus aurantiacus* en *Trichoderma reesei.* Las estructuras esquemáticas de los casetes de expresión se describen en la Figura 2.

Xilanasa	Plásmido de expresión	Tamaño del casete de expresión ^{(a}	Terminador heterólogo ^{(b}
XYN_60 de At	pALK1912	9,0 kb	150 pb (<i>Bam</i> HI)
XYN_30 de Ta	pALK1913	9,3 kb	ninguno

(a El casete de expresión para la transformación en *T. reesei* se aisló de cadena principal del vector mediante digestión con *Eco*RI.

(b Se indica el número de nucleótidos después del codón de PARADA del gen clonado que está incluido en el casete de expresión. El sitio de restricción en la región 3' del gen que se utilizó en la construcción del casete de expresión se indica entre paréntesis.

Se analizó la producción de xilanasa de los transformantes a partir de los sobrenadantes de cultivo de cultivos en matraz oscilante (50 ml). Los transformantes se cultivaron como en el Ejemplo 14 y la actividad enzimática de la proteína recombinante se midió a partir del sobrenadante de cultivo como la liberación de azúcares reductores de xilano de abedul (1% p/v) a 50°C en tampón citrato 50 mM de pH 5,3 como describen Bailey y Poutanen 1989. También se analizó la producción de la proteína recombinante del sobrenadante de cultivo mediante electroforesis en gel de poliacrilamida-SDS. Además, la expresión de ambas xilanasas se determinó mediante análisis de transferencia Western con anticuerpos anti-XYN_30 o anti-XYN_60 como se ha descrito en el Ejemplo 19. Los genotipos de los transformantes seleccionados se analizaron mediante transferencia Southern utilizando el casete de expresión como sonda.

5

10

15

20

Se produjo XYN_30/Xyn10A de *Thermoascus* en *T. reesei* y se determinó el pH óptimo de la proteína producida de manera heteróloga en tampón de universal McIlvaine en un intervalo de pH de 3,0-8,0 utilizando como sustrato xilano de abedul (Figura 8A). Se determinó que el pH óptimo era de 4,5. Se determinó que la temperatura óptima para la actividad enzimática de XYN_30 era de 75°C (Figura 8B).

5 Los transformantes seleccionados se cultivaron, como se ha descrito en el Ejemplo 14, en un biorreactor de 2 litros durante cuatro días (28°C, pH 4,2) para obtener material para las pruebas de aplicación.

Ejemplo 24. Rendimiento de las celobiohidrolasas recombinantes en la hidrólisis

El rendimiento de las celobiohidrolasas recombinantes purificadas se evaluó en los estudios de hidrólisis con las enzimas de *T. reesei* purificadas. La hidrólisis se llevó a cabo con mezclas controladas de enzimas purificadas sobre varios sustratos pretratados. Se obtuvieron productos filtrados de cultivo de T. *reesei*, que contenían diferentes enzimas CBH/Cel7 clonadas como se ha descrito en los Ejemplos 14 y 15, y las enzimas CBH se purificaron mediante cromatografía de afinidad como se ha descrito en el Ejemplo 2. Además, se utilizaron celulasas de *T. reesei* puras (purificadas como describen Suurnäkki *et al.*, 2000) en las mezclas de enzimas. Las celobiohidrolasas utilizadas en el experimento fueron:

15 CBH de *Thermoascus aurantiacus* ALKO4242 (Cel7A de Ta)

CBH de *Thermoascus aurantiacus* ALKO4242 (Cel7A de Ta) con CBD anclado genéticamente de *Trichoderma reesei* (Cel7A de Ta + CBD de Tr)

CBH de *Thermoascus aurantiacus* ALKO4242 (Cel7A de Ta) con el CBD anclado genéticamente de *Chaetomium thermophilum* (Cel7A de Ta + CBD de Ct)

20 CBH de Acremonium thermophilum ALKO4245 (Cel7A de At)

CBH de Chaetomium thermophilum ALKO4265 (Cel7A de Ct).

Cada CBH/Cel7 que se iba a someter a ensayo (dosificación 14,5 mg/g de materia seca de sustrato) se utilizó o bien con EGII/Cel5A de *T. reesei* (3,6 mg/g) o bien con una mezcla que contenía EGI/Cel7B (1,8 mg/g), EGII/Cel5A (1,8 mg/g) de T. *reesei*, xilanasa pl 9 (Tenkanen *et al.* 1992) (5000 nkat/g) y acetil xilano esterasa (AXE) (Sundberg y Poutanen, 1991) (250 nkat/g). A todas las mezclas se les añadió un suplemento de β-glucosidasa adicional de una preparación enzimática comercial Novozym 188 (176 nkat/g de peso seco). Se incubaron tubos por triplicado que contenían la mezcla de enzima y 10 mg (materia seca)/ml del sustrato suspendido en acetato de sodio 0,05 M en la mezcla mediante agitación magnética a 45°C durante 48 h. También se prepararon las muestras de referencia con las enzimas inactivadas y loa sustratos correspondientes. Se midió la liberación de los productos de hidrólisis como azúcares reductores con el método DNS utilizando glucosa como patrón (Tabla 30).

Se utilizaron los siguientes sustratos en el experimento:

Celulosa cristalina (Avicel)

10

25

30

40

Fibra de pícea pretratada con vapor de agua lavada (impregnación con SO_2 al 3% p/p durante 20 minutos, seguido de pretratamiento con vapor de agua a 215 $^{\circ}$ C durante 5 min), materia seca de 25,9% (PICEA).

35 Fibra de rastrojo de maíz oxidada en mojado lavada ("WOCS en sus siglas en inglés") .

Fibra de sauce pretratada con vapor de agua lavada (pretratamiento durante 14 min a 210°C), materia seca 23,0% (SAUCE).

Tabla 30. Productos de hidrólisis con enzimas CBH (45°C, pH 5,0). Productos de reacción después de 48 h de hidrólisis como azúcares reductores (mg/ml), glucosa medida como patrón. Abreviaturas: CBH = celobiohidrolasa; EGI = endoglucanasa I (Cel7B) de *T. reesei*, EGII = endoglucanasa II (Cel5A) de T. *reesei*; bG = β-glucosidasa (de Novozym 188); XYL = xilanasa pl 9 (XYN II) de *T. reesei* , AXE = acetil xilano esterasa de *T. reesei*; nd = no realizado.

Enzimas		Sustratos				
СВН	Enzimas adicionales	Avicel	PICEA	wocs	SAUCE	
Cel7A de Ta	EGII, bG	2,0	2,0	2,8	2,0	
Cel7A de Ta +CBD de Tr	EGII, bG	5,8	4,0	4,4	4,0	
Cel7A de Ta +CBD de Ct	EGII, bG	4,9	3,7	4,6	3,7	
Cel7A de At	EGII, bG	5,3	3,3	4,5	3,3	
Cel7A de Ct	EGII, bG	6,0	2,6	3,4	2,6	

Enzimas		Sustratos				
СВН	Enzimas adicionales	Avicel	PICEA	wocs	SAUCE	
Cel7A de <i>T. reesei</i>	EGII, bG	4,7	2,9	2,9	2,9	
Cel7A de Ta	EGII, EGI, XYL, AXE, bG	nd	nd	4,3	2,8	
Cel7A de Ta +CBD de Tr	EGII, EGI, XYL, AXE, bG	nd	nd	7,2	5,9	
Cel7A de Ta +CBD de Ct	EGII, EGI, XYL, AXE, bG	nd	nd	7,2	5,6	
Cel7A de At	EGII, EGI, XYL, AXE, bG	nd	nd	6,4	5,4	
Cel7A de Ct	EGII, EGI, XYL, AXE, bG	nd	nd	5,6	4,0	
Cel7A de <i>T. reesei</i>	EGII, EGI, XYL, AXE, bG	nd	nd	6,0	4,1	

En la Tabla 30 se han comparado las diferentes celobiohidrolasas basándose en la misma dosificación de proteína en la hidrólisis. Los resultados demuestran que sobre los sustratos celulósicos (Avicel y fibra de pícea) Cel7A de *Thermoascus aurantiacus* con el CBD unido genéticamente mostraba una hidrólisis claramente superior hidrólisis que CBHI/Cel7A de *T. reesei*. Sin CBD, Cel7A de *T. aurantiacus* fue menos eficaz sobre estos sustratos. El rendimiento de las celobiohidrolasas de *Acremonium thermophilum* y *Chaetomium thermophilum* también fue mejor que el de CBHI/Cel7A de *T. reesei* sobre varios sustratos; en particular, Cel7A de *C. thermophilum* mostró una alta eficacia sobre la celulosa pura (Avicel).

En el caso de los sustratos que contenían cantidades notables de hemicelulosa (sauce y el rastrojo de maíz), las enzimas CBH/Cel7 necesitaron claramente, tanto hemicelulasas como endoglucanasas adicionales para funcionar eficazmente. Si no se encontraban presentes hemicelulasas adicionales, Cel7A de *T. aurantiacus* con CBD anclado genéticamente mostró de nuevo una hidrólisis claramente máxima. Con las enzimas degradantes de hemicelulosa más importantes (xilanasa, acetil xilano esterasa y EGI), Cel7A de T. aurantiacus con CBD anclado genéticamente funcionaba de nuevo con la más alta eficacia. Cel7A de *A. thermophilum* fue más eficaz que la enzima de *T. reesei* y Cel7A de *C. thermophilum* produjo productos de hidrólisis al mismo nivel que CBHI/Cel7A de *T. reesei*. El dominio de unión a celulosa de *T. reesei* parecía proporcionar una eficacia ligeramente mejor que el CBD de C. thermophilum en el rendimiento hidrolítico de Cel7A de *T. aurantiacus*, incluso aunque la diferencia fuera bastante pequeña.

Se puede concluir que cuando se remplaza CBHI/Cel7A en la mezcla de enzimas de *Trichoderma* por las celobiohidrolasas producidas en la presente memoria, la eficacia de la hidrólisis a juzgar por estas trasposiciones experimentales resultó claramente mejorada en el caso de Cel7A de *T. aurantiacus* con el CBD anclado genéticamente, y también mejoró en el caso de Cel7A de *A. thermophilum* y Cel7A de *C. thermophilum*. Considerando también la mejor estabilidad de temperatura de las celobiohidrolasas producidas en la presente memoria, los resultados indican que el rendimiento de las mezclas de enzimas celulasas a temperaturas más altas de 45°C se puede mejorar claramente utilizando las celobiohidrolasas producida en la presente memoria.

25 Ejemplo 25. Rendimiento de las endoglucanasas recombinantes en la hidrólisis

Se compararon las preparaciones que contenían las endoglucanasas en estudios de hidrólisis mezcladas con las enzimas purificadas CBH/Cel7 y CBH/Cel6 sobre varios sustratos pretratados. Los productos filtrados de cultivo de *T. reesei*, que contenían diferentes enzimas endoglucanasa clonadas se obtuvieron como se ha descrito en el Ejemplo 19. Las enzimas se enriquecieron retirando las proteínas termolábiles de las mezclas mediante un tratamiento térmico (60°C, 2 h, pH 5) y el sobrenadante se utilizó para los estudios de hidrólisis. Además, se utilizaron celulasas de *T. reesei* puras (purificadas como describen Suurnäkki *et al.*, 2000) en las mezclas de enzimas. Las endoglucanasas utilizadas en el experimento fueron:

Endoglucanasa EG 40 de At/Cel45A de Acremonium thermophilum ALKO4245 (EG 40 de ALKO4245)

Endoglucanasa de tipo EG_40 de At/Cel45B de *Acremonium thermophilum* ALKO4245 (de tipo EG_40 de 35 ALKO4245)

Endoglucanasa EG 28 de Ta/Cel5A de Thermoascus aurantiacus ALKO4242 (EG 28 de ALKO4242).

Se utilizaron los siguientes sustratos en el experimento:

20

30

Fibra de pícea pretratada con vapor de agua lavada (impregnación con SO₂ al 3% durante 20 minutos, seguido de pretratamiento con vapor de agua a 215°C durante 5 min), materia seca de 25,9% (PICEA).

Fibra de rastrojo de maíz sometida a explosión de vapor de agua (pretratamiento con vapor de agua a 210°C durante 5 min), materia seca 31,0% ("SECS en sus siglas en inglés").

Las endoglucanasas que se iban a estudiar (dosificación de 840 nkat/g de materia seca, basándose en la actividad endoglucanasa contra HEC de acuerdo con la IUPAC, 1987) se utilizaron o bien con celobiohidrolasas de *T. reesei* (CBHI/Cel7A, 8,1 mg/g de materia seca y CBHII/Cel6A, 2,0 mg/g de materia seca) o bien con Cel7A de *Thermoascus aurantiacus* con el CBD de *T. reesei* anclado genéticamente (10,1 mg/g de materia seca). también se incluyeron EGI (Cel7B) y EGII (Cel5A) de *T. reesei* purificadas (Suurnäkki *et al.*, 2000) en los experimentos para la comparación. A todas las mezclas se les añadió un suplemento de β-glucosidasa adicional de Novozym 188 (para hacer la dosificación total de β-glucosidasa de 560 nkat/g de peso seco, se utilizó la dosificación relativamente alta para compensar las diferencias en las actividades de fondo de las diferentes preparaciones de EG). Se incubaron tubos por triplicado en la mezcla a 45°C durante 48 h y se prepararon muestra de referencia con enzimas inactivadas y los sustratos correspondientes. Se midió la liberación de los productos de la hidrólisis como azúcares reductores con el método DNS utilizando glucosa como patrón (Tabla 31).

10

15

20

25

30

35

40

Tabla 31. Productos de hidrólisis con diferentes preparaciones de endoglucanasa cuando se utilizan junto con celobiohidrolasas de *T. reesei* o con Cel7A de *T. aurantiacus* que alberga CBD de *T. reesei*. Productos de reacción después de 48 h de hidrólisis (45°C, pH 5,0) como azúcares reductores (mg/ml), glucosa medida como patrón. Abreviaturas: CBHI = celobiohidrolasa I (Cel7A) de *T. reesei*; CBHII = celobiohidrolasa II (Cel6A) de *T. reesei*; EGI = endoglucanasa I (Cel7B) de *T. reesei*; EGI = endoglucanasa II (Cel5A) de *T. reesei*; bG = β-glucosidasa (de Novozym 188); nd. = No realizado.

Enzimas		Sustrato	
Endoglucanasa	CBH/Cel7	PICEA	SECS
EG no añadida	CBHI y CBHII de T. reesei	2,4	3,2
EGI	CBHI y CBHII de T. reesei	3,5	4,6
EGII	CBHI y CBHII de T. reesei	3,8	3,5
EG_40 de At	CBHI y CBHII de T. reesei	4,9	4,3
At de tipo EG_40	CBHI y CBHII de T. reesei	4,5	4,8
EG_28 de Ta	CBHI y CBHII de T. reesei	3,0	3,9
sin EG añadida	Cel7A de T. aurantiacus + CBD de Tr	1,8	2,1
EG I	Cel7A de T. aurantiacus + CBD de Tr	nd.	4,2
EG II	Cel7A de T. aurantiacus + CBD de Tr	3,2	nd.
EG_40 de At	Cel7A de T. aurantiacus + CBD de Tr	4,8	4.0
EG_28 de Ta	Cel7A de T. aurantiacus + CBD de Tr	1,5	nd.

En la Tabla 31 se han comparado las diferentes endoglucanasas basándose en la misma dosificación de actividad en la hidrólisis. Esto puede favorecer las enzimas con baja actividad específica contra el sustrato (hidroxietilcelulosa) utilizadas en el análisis y subestimar la eficacia de las enzimas con alta actividad específica contra hidroxietilcelulosa. En cualquier caso, los resultados demuestran que las endoglucanasas de *Acremonium thermophilum* funcionan muy bien en la hidrólisis cuando influyen juntas en ambas celobiohidrolasas utilizadas en la mezcla. Las endoglucanasas de *A. thermophilum* tienen un rendimiento similar a EGI/CeI7B de *T. reesei* que es una enzima muy eficaz sobre el sustrato rastrojo de maíz que contiene hemicelulosa debido a su fuerte actividad xilanasa secundaria. La endoglucanasa CeI5A de *T. aurantiacus* (EG_28 de ALKO4242) mostró una hidrólisis inferior que las enzimas de *T. reesei*.

Se puede concluir que las endoglucanasas de *A. thermophilum* funcionan con una eficacia comparable o mayor en comparación con las correspondientes enzimas de *Trichoderma* en la hidrólisis a juzgar por esta disposición experimental. Considerando también la estabilidad de temperatura de las endoglucanasas descritas en la presente memoria, los resultados indican que el rendimiento de las mezclas de enzimas celulasas a temperaturas más altas que 45°C se puede mejorar mediante el uso de las endoglucanasas descritas en la presente memoria.

Ejemplo 26. La hidrólisis de pícea pre-tratada con vapor de agua a altas temperaturas

Se suspendió fibra de pícea sometida a explosión de vapor de agua lavada (impregnación con SO₂ al 3% p/p durante 20 min, seguido de pretratamiento con vapor de agua a 215°C durante 5 min), con 25,9% de materia seca en 5 ml de tampón de acetato de sodio 0,05 M con una consistencia de 10 mg/ml. Este sustrato se hidrolizó utilizando diferentes mezclas de enzimas en tubos de ensayo con agitación magnética en el baño de agua ajustado a diferentes temperaturas durante 72 h. Para cada punto de muestreo, se retiraron de la hidrólisis tubos de ensayo por triplicado, se hirvieron durante 10 min con el fin de terminar la hidrólisis enzimática, se centrifugaron, y el sobrenadante se analizó para determinar los productos de la reacción de hidrólisis. Los blancos que contenían

sustrato solo (solamente tampón añadido en lugar de enzimas) también se incubaron en las condiciones correspondientes.

Se preparó una mezcla de celulasas termófilas utilizando los siguientes componentes:

10

15

25

50

Preparación de CBH/Cel7 termófila que contiene Cel7A de *Thermoascus aurantiacus* ALKO4242 con CBD de CBH/Cel7A de *T. reesei* anclado genéticamente. La preparación de proteína se produjo como se ha descrito en el Ejemplo 15 y se purificó de acuerdo con el Ejemplo 2, dando como resultado la preparación Cel7A de Ta + CBD de Tr purificada con contenido de proteína de 5,6 mg/ml.

Preparación de endoglucanasa termófila que contiene endoglucanasa At EG_40/Cel45A de *Acremonium thermophilum* ALKO4245. La proteína se produjo en *T. reesei* como se ha descrito en el Ejemplo 19. Con el fin de enriquecer los componentes termófilos, el medio de cultivo gastado se trató con calor (60°C durante 2 horas). La preparación obtenida contenía 4,9 mg/ml de proteína y 422 nkat/ml de actividad endoglucanasa (de acuerdo con la IUPAC, 1987).

Preparación de β-glucosidasa termófila preparada como se ha descrito en el Ejemplo 21 que contenía β-glucosidasa βG_81 de Ta/Cel3A de *Thermoascus aurantiacus* ALKO4242. Con el fin de enriquecer los componentes termófilos, el caldo del fermentador se trató con calor (65°C durante 2 horas). La preparación obtenida contenía 4,3 mg/ml de proteína y actividad β-glucosidasa de 6270 nkat/ml (de acuerdo con Bailey y Linko, 1990).

Estas preparaciones de enzimas se combinaron como sigue (por 10 ml de mezcla): preparación de CBH/Cel7 4,51 ml, preparación endoglucanasa 5,19 ml y preparación de β-glucosidasa 0,29 ml. Esta mezcla se utilizó como "MEZCLA 1" de las enzimas termófilas.

Como comparación y referencia, se construyó una mezcla del estado de la técnica de enzimas de *Trichoderma reesei* comerciales combinando (por 10 ml): 8,05 ml de Celluclast 1,5 L FG (de Novozymes A/S) y 1,95 ml Novozym 188 (de Novozymes A/S). Ésta se denominó "ENZIMAS de *T. REESEI*".

Las enzimas se dosificaron sobre la base de la actividad UFP de las mezclas: "MEZCLA 1" utilizando la dosis de 5,5 FPU por 1 gramo de materia seca en el sustrato de pícea, y "ENZIMAS de *T. REESEI*" utilizando 5,8 FPU por 1 gramo de materia seca en el sustrato de pícea.

Se tomaron muestras de la hidrólisis después de 24, 48 y 72 h y se trataron como se ha descrito anteriormente. Los productos de la hidrólisis se cuantificaron utilizando el análisis para azúcares reductores (Bernfeld, 1955), utilizando glucosa como patrón. La cantidad de productos de hidrólisis como azúcares reductores se presenta en la Figura 9.

Los resultados muestran claramente un mejor rendimiento de las enzimas descritas en la presente memoria en comparación con las enzimas de *Trichoderma* del estado de la técnica a 55°C y 60°C sobre el sustrato de abeto. Basándose en el análisis de HPLC el máximo rendimiento de los azúcares del sustrato sería 5,67 mg por 10 mg de sustrato seco de pícea. Debido a la dosificación relativamente baja de enzima, los rendimientos finales de azúcar eran claramente inferiores. Para las enzimas termoestables el rendimiento de azúcar basado en el análisis de azúcares reductores fue de 66% y 57% del teórico a 55°C y 60°C, respectivamente. Para las enzimas de *Trichoderma* del estado de la técnica éste fue solo de 31% y 11% a 55°C y 60°C, respectivamente.

Ejemplo 27. Hidrólisis de rastrojo de maíz pre-tratado con vapor de agua a altas temperaturas

Se suspendió fibra de rastrojo de maíz sometida a explosión de vapor de agua (tratamiento a 195°C durante 5 min), con 45,3% de materia seca en 5 ml de tampón de acetato de sodio 0,05 M a una consistencia de 10 mg/ml. Los tratamientos y las mediciones se realizaron como se ha descrito en el Ejemplo 26.

40 Se construyó una mezcla de las celulasas termófilas descritas en la presente memoria utilizando los siguientes componentes:

Preparación de CBH termófila que contenía Cel7A de *Thermoascus aurantiacus* ALKO4242 con CBD de CBHI/Cel7A de *T. reesei* anclado genéticamente (Cel7A de Ta + CBD de Tr, Ejemplo 15). El contenido de proteína de la preparación fue 31 mg/ml.

La preparación de endoglucanasa termófila que contenía endoglucanasa At EG_40/Cel45A de *Acremonium thermophilum* ALKO4245 se obtuvo como se ha descrito en el Ejemplo 19. La preparación de enzima concentrada contenía actividad endoglucanasa (de acuerdo con la IUPAC, 1987) de 2057 nkat/ml.

La preparación de β -glucosidasa termófila que contenía β -glucosidasa βG_81 de Ta/Cel3A de *Thermoascus aurantiacus* ALKO 4242 se obtuvo como se ha descrito en el Ejemplo 21 que contenía una actividad β -glucosidasa (de acuerdo con Bailey y Linko, 1990), de 11500 nkat/ml.

Producto xilanasa termófila que contenía una xilanasa AM24 procedente de *Nonomuraea flexuosa* DSM43186. El producto se preparó mediante el uso de una cepa recombinante de *Trichoderma reesei* que había sido transformada con el casete de expresión de pALK1502, como se describe en el documento WO2005/100557. El producto sólido se

disolvió en agua para preparar una disolución al 10% y se obtuvo una preparación de enzima con actividad xilanasa (analizada de acuerdo con Bailey *et al.*, 1992) de 208000 nkat/ml.

Estas preparaciones de enzimas se combinaron como sigue (por 10 ml de mezcla): preparación de CBH/Cel7 7,79 ml, preparación de endoglucanasa 0,96 ml, preparación de β-glucosidasa 1,14 ml y preparación de xilanasa 0,31 ml. Esta mezcla se utilizó como "MEZCLA 2" de las enzimas termófilas.

5

15

20

30

35

40

45

50

55

Como comparación y referencia, se construyó una mezcla del estado de la técnica de enzimas de *Trichoderma reesei* comerciales combinando (por 10 ml) 8,05 ml de Celluclast 1,5 L FG (de Novozymes A/S) y 1,95 ml de Novozym 188 (de Novozymes A/S). Ésta se denominó "ENZIMAS de T. REESEI".

Se tomaron muestras de la hidrólisis después de 24, 48 y 72 h y se trataron como se ha descrito anteriormente. Los productos de la hidrólisis se cuantificaron utilizando el análisis para azúcares reductores (Bernfeld, 1955), utilizando glucosa como patrón. Los resultados de los blancos de sustrato se restaron de las muestras con enzimas, y la concentración de los productos de hidrólisis como azúcares reductores se presentan en la Figura 10.

Los resultados muestran claramente un mejor rendimiento de las enzimas descritas aquí la presente memoria en comparación con las enzimas de *Trichoderma* del estado de la técnica. A 45°C, la mezcla de enzimas termófilas mostró una hidrólisis más eficaz en comparación con las enzimas de *T. reesei*: La hidrólisis fue más rápida y también se obtuvieron rendimientos más altos de azúcar. Basándose en el análisis de HPLC el máximo rendimiento de azúcares (incluyendo azúcares solubles libres en el sustrato no lavado que se había utilizado) del sustrato sería de 5,73 mg por 10 mg de sustrato seco. De este modo, la hidrólisis por las enzimas de la mezcla 2 fue casi completa en el plazo de 48 horas. A 55°C y 57,5°C las enzimas termófilas descritas la presente memoria también mostraron un rendimiento claramente mejor en la hidrólisis, en comparación con las enzimas de *Trichoderma* del estado de la técnica

Ejemplo 28. Hidrólisis de rastrojo de maíz pretratado a altas temperaturas utilizando una mezcla con una xilanasa termoestable

Se repitió el procedimiento explicado en el Ejemplo 27 excepto que el producto de xilanasa XT 02026A3 se remplazó por preparación de xilanasa termófila que contenía xilanasa XYN_30 de Ta/Xyn10A de *Thermoascus aurantiacus* ALKO4242 producida en *T. reesei.* El caldo del fermentador, producido como se describe en el Ejemplo 23 contenía una actividad xilanasa de 132000 nkat/ml (analizada de acuerdo con Bailev *et al..* 1992).

Estas preparaciones de enzimas se combinaron como sigue (por 10 ml de mezcla): preparación de CBH/Cel7 7,64 ml, preparación de endoglucanasa 0,96 ml, preparación de β-glucosidasa 1,15 ml y preparación de xilanasa 0,25 ml. Esta mezcla se utilizó como "MEZCLA 3" de las enzimas termófilas.

Como comparación y referencia, se construyó una mezcla del estado de la técnica de enzimas de *Trichoderma reesei* comerciales combinando (por 10 ml) 8,05 ml de Celluclast 1,5 L FG (de Novozymes A/S) y 1,95 ml de Novozym 188 (de Novozymes A/S). Ésta se denominó "ENZIMAS de T. REESEI".

Se tomaron muestras de la hidrólisis después de 24, 48 y 72 h y se trataron como se ha descrito anteriormente. Los productos de la hidrólisis se cuantificaron utilizando el análisis para azúcares reductores (Bernfeld, 1955), utilizando glucosa como patrón. Los resultados de los blancos de sustrato se restaron de las muestras con enzimas, y la concentración de los productos de hidrólisis como azúcares reductores se presenta en la Figura 11.

Los resultados muestran claramente un mejor rendimiento de la mezcla de las enzimas descritas en la presente memoria en comparación con las enzimas de *Trichoderma* del estado de la técnica. A 45°C, la mezcla de enzimas termófilas mostró una hidrólisis más eficaz en comparación con las enzimas de *T. reesei*. A 55°C y 60°C las enzimas termófilas descritas en la presente memoria mostraron un rendimiento claramente mejor en la hidrólisis, en comparación con las enzimas de *Trichoderma* del estado de la técnica. El rendimiento de la nueva mezcla de enzimas a 60°C estuvo al mismo nivel que el rendimiento de las enzimas del estado de la técnica a 45°C.

Ejemplo 29. Hidrólisis de pícea pre-tratada a altas temperaturas utilizando una mezcla con una xilanasa termoestable

Se repitió el procedimiento descrito en el Ejemplo 28 con fibra de pícea sometida a explosión de vapor de agua lavada (impregnación con SO₂ al 3% p/p durante 20 min, seguido de pretratamiento con vapor de agua a 215°C durante 5 min, con 25,9% de materia seca) como sustrato utilizando temperaturas de hidrólisis 45°C, 55°C y 60°C. Se tomaron muestras de la hidrólisis después de 24, 48 y 72 h y se trataron como se ha descrito anteriormente. Los productos de la hidrólisis se cuantificaron utilizando el análisis para azúcares reductores (Bernfeld, 1955), utilizando glucosa como patrón. Los resultados de los blancos de sustrato se restaron de las muestras con enzimas, y la concentración de los productos de hidrólisis como azúcares reductores se presenta en la Figura 12.

Los resultados muestran claramente un mejor rendimiento de la mezcla de las enzimas descritas en la presente memoria, en comparación con las enzimas de *Trichoderma* del estado de la técnica a todas las temperaturas estudiadas. A 45°C la mezcla de enzimas termófilas mostró una hidrólisis más eficaz en comparación con las

enzimas de *T. reesei*, evidentemente debido a la mejor estabilidad en la hidrólisis a largo plazo. A 55°C la eficacia de la mezcla de las enzimas descritas en la presente memoria todavía estuvo al mismo nivel que a 45°C, mientras que la mezcla de estado de la técnica fue ineficaz con el sustrato utilizado a esta temperatura. A 60°C las enzimas termófilas descritas en la presente memoria mostraron una disminución de la hidrólisis aunque la hidrólisis estuvo casi al mismo nivel que el rendimiento de las enzimas del estado de la técnica a 45°C.

Ejemplo 30 Evaluación de la inhibición por glucosa de las β-glucosidasas de *Acremonium thermophilium* ALKO4245, *Chaetomium thermophilium* ALKO4261 y *Thermoascus aurantiacus* ALKO4242

Los productos filtrados de cultivo producidos por las cepas *Acremonium thermophilium* ALKO4245, *Chaetomium thermophilium* ALKO4261 y *Thermoascus aurantiacus* ALKO4242 se describen en el Ejemplo 1. Las actividades β-glucosidasa (medidas de acuerdo con Bailey y Linko, 1990) de estas preparaciones fueron 21,4 nkat/ml, 5,6 nkat/ml y 18,6 nkat/ml, respectivamente. Como comparación, también se incluyeron en el experimento las enzimas comerciales Celluclast 1,5 L (β-glucosidasa de 534 nkat/ml) y Novozym 188 (β-glucosidasa de 5840 nkat/ml).

Con el fin de evaluar la sensibilidad de las diferentes β-glucosidasas a la inhibición por glucosa, se realizó un procedimiento de análisis de la actividad patrón en presencia de diferentes concentraciones de glucosa. A las disoluciones de sustrato (p-nitrofenil-β-D-glucopiranósido) para el análisis de la actividad β-glucosidasa se les añadió un suplemento de la glucosa de manera que la concentración de glucosa en la mezcla de análisis se ajustó a valores entre 0 y 0,5 M. Excepto esta adición de glucosa el análisis se realizó utilizando el procedimiento convencional (Bailey y Linko, 1990). Las actividades en presencia de concentraciones variables de glucosa como porcentaje de la actividad sin glucosa se presentan en la Figura 13.

Los resultados demuestran que las β-glucosidasas de *C. thermophilum* y *T. aurantiacus* se vieron menos afectadas por la inhibición por glucosa que las β-glucosidasas presentes en las enzimas comerciales: β-glucosidasa derivada de *Aspergillus* en Novozym 188 o β-glucosidasa derivada de *Trichoderma* en Celluclast 1,5 L. La enzima de *A. thermophilum* mostró un comportamiento comparable a la enzima de T. *reesei* de Celluclast. Especialmente la enzima de *C. thermophilum* fue claramente menos afectada por la alta concentración de glucosa. Por lo tanto, estos resultados indican que teniendo en cuenta la inhibición por glucosa el uso de las nuevas β-glucosidasas, especialmente a partir de cepas *Acremonium thermophilium* ALKO4242 y *Chaetomium thermophilium* ALKO4261, proporcionaría claras ventajas en la hidrólisis en condiciones industriales con alta concentración de glucosa.

Ejemplo 31. Actividad en papel de filtro de mezclas de enzimas a altas temperaturas

5

10

La actividad en papel de filtro de las preparaciones de enzimas se midió de acuerdo con el método de la IUPAC (1987) como se ha descrito en el procedimiento, excepto la reacción enzimática se realizó a temperaturas de 50°C a 70°C. La actividad FPU calculada se basa en la cantidad de enzima requerida para hidrolizar 4% de sustrato de papel de filtro en 1 h en condiciones experimentales. Se considera que la actividad FPU representa la actividad celulasa global total de una preparación de enzima.

Las mezclas de enzimas fueron MEZCLA 2 preparada como se ha descrito en el Ejemplo 27, MEZCLA 3 preparada como se ha descrito en el Ejemplo 28, y MEZCLA 4. La MEZCLA 4 se preparó combinando las preparaciones de enzimas descritas en el Ejemplo 27 como sigue (por 10 ml de mezcla): preparación de CBH/Cel7 7,84 ml, preparación de endoglucanasa 0,99 ml y preparación de β-glucosidasa 1,17 ml.

Las mezclas de enzimas utilizadas como referencia, que representaban las mezclas del estado de la técnica, fueron:

"ENZIMAS A de T. REESEI" preparada como se describe la preparación de "ENZIMAS de T. REESEI" descrita en el 40 Ejemplo 26.

"ENZIMAS B de T. REESEI" se construyó combinando (por 10 ml) 8,05 ml de Econase CE (una preparación de celulasa de *T. reesei* comercial de AB Enzymes Oy, Rajamäki, Finlandia) y 1,95 ml de Novozym 188 (de Novozymes A/S).

Las actividades FPU medidas para las preparaciones de enzimas a diferentes temperaturas se presentan en la Figura 14 como porcentajes de la actividad en condiciones convencionales (IUPAC, 1987) (a 50°C).

Los resultados demuestran claramente que las mezclas de la invención muestran una actividad celulasa global superior a temperaturas elevadas (60-70°) en comparación con las mezclas del estado de la técnica basadas en enzimas de *Trichoderma* y *Aspergillus*.

Ejemplo 32. Uso de las nuevas beta-glucosidasas en la preparación de soforosa

50 Una mezcla de producto hidrolizado de almidón de alta concentración (Nutriosa 74/968, Roquette) se trató con preparación enzimática enriquecida pG_81/Cel3A de *Thermoascus aurantiacus* producida como se ha descrito en el Ejemplo 21 para producir una mezcla de azúcar que contenía cantidades apreciables de inductor de celulasa (soforosa) para superar la represión por glucosa.

La preparación enzimática enriquecida en βG_81/Cel3A de Ta se añadió a la disolución de Nutriosa al 70% (p/p) a una concentración final de 1 g de proteína total/litro. El recipiente de la mezcla se incubó en un baño de agua a 65°C durante 3 días con agitación constante y se utilizó como una fuente de carbono en un medio en matraces oscilantes para dos cepas de *Trichoderma* diferentes (A47 y Rut-C30). El efecto del tratamiento de la enzima se midió como la actividad endoglucanasa formada durante un cultivo en matraz oscilante durante 7 días. Como referencia se realizaron cultivos en las mismas condiciones con Nutriosa no tratada como fuente de carbono. Se obtuvo un incremento de más del doble en las actividades en los cultivos en matraz oscilante realizados en medio de Nutriosa pretratado con βG_81/Cel3A de Ta con las cepas sometidas a ensayo. Los resultados se muestran en la Figura 15.

Lista de depósito de organismos

5

Сера	Plásmido	Autoridad de	Fecha de	Número de
	contenido	depósito	Depósito	Depósito
Acremonium thermophilumALKO4245	-	CBS ⁽¹⁾	20 Sep 2004	CBS 116240
Thermoascus aurantiacusALKO4242	-	CBS ⁽¹⁾	20 Sep 2004	CBS 116239
Chaetomium thermophilumALKO4265	-	CBS ⁽²⁾	8 Nov 1995	CBS 730.95 ⁽⁴⁾
Escherichia coli	pALK1635	DSMZ ⁽³⁾	16 Sep 2004	DSM 16723
Escherichia coli	pALK1642	DSMZ	16 Sep 2004	DSM 16727
Escherichia coli	pALK1646	DSMZ	16 Sep 2004	DSM 16728
Escherichia coli	pALK1861	DSMZ	16 Sep 2004	DSM 16729
Escherichia coli	pALK1715	DSMZ	16 Sep 2004	DSM 16724
Escherichia coli	pALK1723	DSMZ	16 Sep 2004	DSM 16725
Escherichia coli	pALK1725	DSMZ	16 Sep 2004	DSM 16726
Escherichia coli	pALK1904	DSMZ	13 May 2005	DSM 17323
Escherichia coli	pALK1908	DSMZ	13 May 2005	DSM 17324
Escherichia coli	pALK1925	DSMZ	13 May 2005	DSM 17325
Escherichia coli	pALK1926	DSMZ	13 May 2005	DSM 17326
Escherichia coli	pALK2001	DSMZ	18 Oct 2005	DSM 17667
Escherichia coli	pALK2010	DSMZ	18 Nov 2005	DSM 17729

⁽¹⁾ Centralbureau Voor Schimmelcultures en Uppsalalaan 8, 3584 CT, Utrecht, Países Bajos

Referencias

10

25

Altschul S., Gish W., Miller W., Myers E. W. y Lipman D. J. (1990) Basic local alignment search tool. J. Mol. Biol. 215: 403-410.

Badger, P.C. (2002) Ethanol from cellulose: a general review. In Trends in new crops and new uses. J. Janick y A. Whipkey (eds.). ASHS Press, Alexandria, VA, USA, pp. 17-21.

Bailey M. J. y K. M. H. Nevalainen (1981) Induction, isolation and testing of stable Trichoderma reesei mutants with improved production of solubilizing cellulase. Enz Microbiol Technol. 3: 153-157.

Bailey, M.J., Biely, P. y Poutanen, K. (1992) Interlaboratory testing for assay of xylanase activity. J Biotechnol. 23:257-270.

Bailey, M. J. y Linko, M. (1990) Production of β-galactosidase by Aspergillus oryzae in submerged bioreactor cultivation. J. Biotechnol. 16:57-66.

⁽²⁾ Centralbureau Voor Schimmelcultures en Oosterstraat 1, 3742 SK BAARN, Países Bajos

⁽³⁾Deutsche Sammlung von und Mikroorganismen Zellkulturen GmbH (DSMZ), Mascheroder Weg 1 b, D-38124 Braunschweig, Alemania

^{(4) [}Después de la terminación del período de depósito actual, las muestras se almacenarán bajo los acuerdos para dejar la cepa disponible más allá del tiempo aplicable de la patente].

- Bailey M. J. y Poutanen K. (1989) Production of xylanases by strains of Aspergillus. Appl. Microbiol. Biotechnol. 30:5-10.
- Bailey M., Siika-aho M., Valkeajärvi A. y Penttilä M. (1993) Hydrolytic properties of two cellulases of Trichoderma reesei expressed in yeast. Biotehnol. Appl. Biochem 17: 65-76.
 - Bendtsen J.D., Nielsen H., von Heijne G. y Brunak S. (2004) Improved prediction of signal peptides: SignalP 3.0. J. Mol. Biol. 340: 783-795.
- Bernfeld, B. (1955) Amylases, α and β. In: Methods in Enzymology, vol. 1, Eds. Colowick, S.P. y Kaplan, N.O. Academic Press, New York, págs. 149-158.
 - Biely P., Vrsanska M., Tenkanen M., Kluepfel D. (1997) Endo-beta-1,4-xylanase families: differences in catalytic properties. Journal of Biotechnology 57: 151-166.
- Coen, D.M. (2001) The polymerase chain reaction. In: Ausubel, F.M., Brent, R., Kingston, R.E., More, D.D., Seidman, J.G., Smith, K. y Struhl, K. (eds.) Current protocols in molecular biology. John Wiley & Sons. Inc., Hoboken, USA.
- De Palma-Fernandez, E.R., Gomes, E. y Da Silva, R. (2002) Purification of two beta-glucosidases from the thermophilic fungus Thermoascus aurantiacus. Folia Microbiol. 47:685-690.
 - Gasteiger, E., Gattiker A., Hoogland C., Ivanyi I., Appel R. D. y Bairoch A. (2003) ExPASy: the proteiomics server for in-depth protein knowledge and analysis. Nucleic Acids Res. 31: 3784-3788.
- Gellissen, G. (ed.) (2005) Production of recombinant proteins. Novel microbial and eukaryotic expression systems. Wiley-VCH Verlag Gmbh&Co. Weinheim, Germany.
 - Gill, S.C, y von Hippel, P.H. (1989) Calculation of protein extinction coefficients from amino acid sequence data. Anal. Biochem. 182: 319-326.
- 30 Gupta, R., E. Jung y S. Brunak. (2004) Prediction of N-glycosylation sites in human proteins, In preparation. www.cbs.dtu.dk/services/NetNGlyc/
- Haakana H., Miettinen-Oinonen A., Joutsjoki V., Mäntylä A., Suominen P, y Vehmaanperä J. (2004) Cloning of cellulase genes from Melanocarpus albomyces and their efficient expression in Trichoderma reesei. Enz. Microbiol. Technol. 34: 159-167.
 - Henrissat B. (1991) A classification of glycosyl hydrolases based on amino acid sequence similarities. Biochem. J. 280: 309-316.
- 40
 Henrissat B. y Bairoch A. (1993) New families in the classification of glycosyl hydrolases based on amino acid sequence similarities. Biochem. J. 293: 781-788.
- Henrissat B. y Bairoch A. (1996).Updating the sequence-based classification of glycosyl hydrolases. Biochem. J. 316: 695-696
 - Henrissat B., Teeri T. T. y Warren R. A. J. (1998) A scheme for designating enzymes that hydrolyse the polysaccharides in the cell wall of plants. FEBS Letters 425: 352-354.
- Hong J., H. Tamaki, K. Yamamoto, y Kumagai H. (2003a) Cloning of a gene encoding a thermo-stabile endo-β-1,4-glucanase from Thermoascus aurantiacus and its expression in yeast. Biotech. Letters 25: 657-661.
 - Hong J., Tamaki H., Yamamoto K. y Kumagai H. (2003b) Cloning of a gene encoding thermostable cellobiohydrolase from Thermoascus aurantiacus and its expression in yeast. Appl. Microbiol. Biotechnol. 63: 42-50.
- 55 IUPAC (International Union of Pure and Applied Chemistry) (1987). Measurement of cellulase activities. Pure and Appl. Chem. 59: 257-268.
- Joutsjoki, V. V., Torkkeli T.K. y Nevalainen K. M. H. (1993) Transformation of Trichoderma reesei with the Hormoconis resinae glucoamylase P (gamP) gene: production of a heterologous glucoamylase by Trichoderma reesei. Curr. Genet. 24: 223-228.
 - Karhunen T., Mäntylä A., Nevalainen K. M. H. y Suominen P. L. (1993) High frequency one-step gene replacement in Trichoderma reesei. I. Endoglucanase I overproduction. Mol. Gen. Genet. 241: 515-522.

- Kurabi A., Berlin A, Gilkes N., Kilburn D., Markov A., Skomarovsky A., Gusakov A., Okunev O., Sinitsyn A., Gregg D. Xie D. y Saddler J. (2005) Enzymatic hydrolysis of steam-exploded and ethanol organosolv-pretreated Douglas-Fir by novel and commercial fungal cellulases. Appl. Biochem and Biotechn. Vol 121-124: 219-229.
- 5 Lever, M. (1972) A new reaction for colorimetric determination of carbohydrates. Anal. Biochem., 47: 276-279.
 - Lo Leggio, L., Kalogiannis S., Bhat M.K., y Pickersgill R.W. (1999) High resolution structure and sequence of the T. aurantiacus xylanase I: implications for evolution of thermostability in family 10 xylanases and enzymes with (beta) alpha-barrel architecture. Proteins 36(3): 295-306.
- Lowry, O., Rosenbrough, N., Farr, A. y Randall, R. (1951) Protein measuremen with the Folin phenol reagent. J. Biol. Chem. 193: 265-275.
- Murray, P., Aro, N., Collins, C., Grassick, A., Pentillä, M., Saloheimo, M. y Tuohy, M. (2004) Expression in Trichoderma reesei and characterisation of a thermostable family 3 beta-glucosidase from the moderately thermophilic Talaromyces emersonii. Prot. Express. Purif. 38:248-257.
 - Needleman S. y Wunsch C. (1970) A general method applicable to the search for similarities in the amino acid sequence of two proteins. Journal of Molecular Biology 48, 443-453.
- Nielsen H., Engelbrecht J., Brunak S. y von Heijne G. (1997) Identification of prokaryotic and eykaryotic signal peptides and prediction of their cleavage sites. Protein Engineering 10: 1-6.
- Paloheimo M., Mäntylä A., Kallio J., y Suominen P. (2003) High-yield production of a bacterial xylanase in the filamentous fungus Trichoderma reesei requires a carrier polypeptide with an intact domain structure. Appl. Env. Microbiol. 69: 7073-7082.
- Parry N., Beever D., Owen E., Nerinckx W. Claeyssens M, Van Beeumen J. y Bhat M. (2002) Biochemical characterization and mode of action of a thermostable endoglucanase purified from Thermoascus aurantiacus, Arch. of Biochem. and Biophys. 404: 243-253.
 - Penttilä M., Nevalainen H., Rättö M., Salminen E. y Knowles J. (1987) A versatile transformation system for the cellulolytic filamentous fungus Trichoderma reesei. Gene 61:155-164.
- Raeder U. y Broda P. (1985) Rapid preparation of DNA from filamentous fungi. Lett. Appl. Microbiol. 1: 17-20.
 - Rice P, Longden I y Bleasby A. (2000). EMBOSS: The European Molecular Biology Open Software Suite. Trends in Genetics 16:276-277.
- 40 Sambrook J., Fritsch E. F. y Maniatis T. (1989) Molecular cloning, a laboratory manual. Cold Spring Harbor Laboratory, New York, US.

- Sambrook J. y Russell D. W. (2001) Molecular cloning, a laboratory manual. Cold Spring Harbor Laboratory, New York, US.
- Srisodsuk M, Reinikainen T, Penttilä M y Teeri T. (1993) Role of the interdomain linker peptide of Trichoderma reesei cellobiohydrolase I in its interaction with crystalline cellulose. J. Biol. Chem. Oct 5;268(28): 20756-61.
- Sundberg, M., y Poutanen, K. (1991) Purification and properties of two acetylxylan esterases of Trichoderma reesei.

 50 Biotechnol. Appl. Biochem. 13: 1-11.
 - Suurnäkki, A., Tenkanen M., Siika-aho, M., Niku-Paavola, M.-L, Viikari, L. y Buchert, J. (2000) Trichoderma reesei cellulases and their core domains in the hydrolysis and modification of chemical pulp. Cellulose 7: 189-209.
- Tenkanen, M., Puls, J. y Poutanen, K (1992) Two major xylanases of Trichoderma reesei. Enzyme Microbiol. Technol. 14: 566-574.
 - Tomme, P. McRae, S., Wood, T. y Claeyssens, M. (1988) Chromatographic separation of cellulolytic enzymes. Methods in Enzymol. 160: 187-192.
- Tuohy M., Walsh J., Murray P., Claeyssens M., Cuffe M., Savage A. y Coughan M. (2002) Kinetic parameters and mode of action of cellobiohydrolases produced by Talaromyces emersonii. Biochem. Biophys. Acta 1596: 366-380 (abstract).
- Van Petegem et al (2002) Atomic resolution structure of major endoglucanase from Thermoascus aurantiacus, Biochem. and Biophys. Res. Comm. 296, págs. 161-166.

- Van Tilbeurgh, H., Loonties, F., de Bruyne, C. y Claeyssens, M. (1988) Fluorogenic and chromogenic glycosides as substrates and ligands of carbohydrases. Methods Enzymol. 160:45-59.
- Wyman, C.E. (2001) Twenty years of trials, tribulations, and research progress in bioethanol technology. Applied Biochemistry and Biotechnology 91-93: 5-21.

LISTA DE SECUENCIAS

	<110> Roal													
5	<120> Tratamiento d	le material celul	ósico y enzimas	útiles en el mismo										
	<130> 2051999	30> 2051999												
	<160> 30													
10	<170> PatentIn versi	ion 3.1												
15	<210> 1 <211> 3192 <212> ADN <213> Thermoascus	aurantiacus												
20	<220> <221> CDS <222> (1514)(2122 <223>)												
25	<220> <221> Intrón <222> (2123)(2187 <223>)												
30	<220> <221> CDS <222> (2188)(2949 <223>)												
	<400> 1					60								
	ctagaccttt atcct	_	_			60 120								
	acctacctac ctago				_	180								
	gcttagaagg aaatg					240								
	tgaaacttta agto					300								
	tetteteate acagt				_	360								
	agetgtegge eteat	-				420								
	caagaataat gacga					480								
	cagcagatag ttact	_		_		540								
	ttccggaatt attca					600								
	tctacctggg gaata					660								
	gggctgccgg ggtga					720								
	cacatgcatg cttgg	gcacga tttcto	egca agggagt	cac agagaaagac	atatttcgca	780								
	tactactgtg actct	gcaga gttaca	tatc actcagg	ata cattgcagat	cattgtccga	840								
	gcatcaaaca tggad	ectgca ggatea	acgg cccgaca	aaa cacaagtggc	taaagctggg	900								

ggatgcccga accegetgeg caatateatt gatggatgtt ecceeacatt tttaaaacat	960
cgacggatcg gcccgcatac taatcctttt atcaaccaaa agttccactc gactagagaa	1020
aaaaaggcca aggccactaa ttgcagtcgg atactggtct tttcgccgtc caacaccttc	1080
atccatgate ccettageca ccaatgeece acataataca tgttgacata ggtacgtage	1140
totgttatoc aatogcatoc gaacotottt aacggaccco tootacacac ottatoctaa	1200
cttcaggaga ctgttgccca ttggggattg aggaggtccg ggttgcagga tgcgttctag	1260
gctaaattct cggccggtag ccatctcgaa tctctcgtga agccttcatc tgaacggttg	1320
geggeeegte aageegatga eeatgggtte etgatagage ttgtgeetga eeggeettgg	1380
cggcatagac gagctgaaca catcaggtat gaacagatca gatataaagt cggattgagt	1440
cctagtacga agcaatccgc caccaccaaa tcaagcaacg agcgacagca ataacaatat	1500
caatcgaatc gca atg tat cag cgc gct ctt ctc ttc tct ttc ttc ctc Met Tyr Gln Arg Ala Leu Leu Phe Ser Phe Phe Leu 1 5 10	1549
gcc gcc gcc cgc gcg cag cag gcc ggt acc gta acc gca gag aat cac Ala Ala Ala Arg Ala Gln Gln Ala Gly Thr Val Thr Ala Glu Asn His 15 20 25	1597
cct tcc ctg acc tgg cag caa tgc tcc agc ggc ggt agt tgt acc acg Pro Ser Leu Thr Trp Gln Gln Cys Ser Ser Gly Gly Ser Cys Thr Thr 30 35 40	1645
cag aat gga aaa gtc gtt atc gat gcg aac tgg cgt tgg gtc cat acc Gln Asn Gly Lys Val Val Ile Asp Ala Asn Trp Arg Trp Val His Thr 45 50 55 60	1693
acc tct gga tac acc aac tgc tac acg ggc aat acg tgg gac acc agt Thr Ser Gly Tyr Thr Asn Cys Tyr Thr Gly Asn Thr Trp Asp Thr Ser 65 70 75	1741
atc tgt ccc gac gac gtg acc tgc gct cag aat tgt gcc ttg gat gga Ile Cys Pro Asp Asp Val Thr Cys Ala Gln Asn Cys Ala Leu Asp Gly 80 85 90	1789
gcg gat tac agt ggc acc tat ggt gtt acg acc agt ggc aac gcc ctg Ala Asp Tyr Ser Gly Thr Tyr Gly Val Thr Thr Ser Gly Asn Ala Leu 95 100 105	1837
aga ctg aac ttt gtc acc caa agc tca ggg aag aac att ggc tcg cgc Arg Leu Asn Phe Val Thr Gln Ser Ser Gly Lys Asn Ile Gly Ser Arg 110 115 120	1885
ctg tac ctg ctg cag gac gac acc act tat cag atc ttc aag ctg ctg Leu Tyr Leu Leu Gln Asp Asp Thr Thr Tyr Gln Ile Phe Lys Leu Leu 125 130 135 140	1933
ggt cag gag ttt acc ttc gat gtc gac gtc tcc aat ctc cct tgc ggg Gly Gln Glu Phe Thr Phe Asp Val Asp Val Ser Asn Leu Pro Cys Gly 145 150 155	1981
ctg aac ggc gcc ctc tac ttt gtg gcc atg gac gcc gac ggc gga ttg Leu Asn Gly Ala Leu Tyr Phe Val Ala Met Asp Ala Asp Gly Gly Leu 160 165 170	2029

tcc aaa tac cct ggc aac aag gca ggc gct aag tat ggc act ggt tac Ser Lys Tyr Pro Gly Asn Lys Ala Gly Ala Lys Tyr Gly Thr Gly Tyr 175 180 185	2077
tgc gac tct cag tgc cct cgg gat ctc aag ttc atc aac ggt cag Cys Asp Ser Gln Cys Pro Arg Asp Leu Lys Phe Ile Asn Gly Gln 190 195 200	2122
gtacgtcaga agtgataact agccagcaga gcccatgaat cattaactaa cgctgtcaaa	2182
tacag gcc aat gtt gaa ggc tgg cag ccg tct gcc aac gac cca aat gcc Ala Asn Val Glu Gly Trp Gln Pro Ser Ala Asn Asp Pro Asn Ala 205 210 215	2232
ggc gtt ggt aac cac ggt tee tge tge get gag atg gat gte tgg gaa Gly Val Gly Asn His Gly Ser Cys Cys Ala Glu Met Asp Val Trp Glu 220 225 230	2280
gcc aac agc atc tct act gcg gtg acg cct cac cca tgc gac acc ccc Ala Asn Ser Ile Ser Thr Ala Val Thr Pro His Pro Cys Asp Thr Pro 235 240 245 250	2328
ggc cag acc atg tgc cag gga gac gac tgt ggt gga acc tac tcc tcc Gly Gln Thr Met Cys Gln Gly Asp Asp Cys Gly Gly Thr Tyr Ser Ser 255 260 265	2376
act cga tat gct ggt acc tgc gac cct gat ggc tgc gac ttc aat cct Thr Arg Tyr Ala Gly Thr Cys Asp Pro Asp Gly Cys Asp Phe Asn Pro 270 275 280	2424
tac cgc cag ggc aac cac tcg ttc tac ggc ccc ggg cag atc gtc gac Tyr Arg Gln Gly Asn His Ser Phe Tyr Gly Pro Gly Gln Ile Val Asp 285 290 295	2472
acc age tee aaa tte acc gte gte acc eag tte ate acc gae gae ggg Thr Ser Ser Lys Phe Thr Val Val Thr Gln Phe Ile Thr Asp Asp Gly 300 305 310	2520
acc ccc tcc ggc acc ctg acg gag atc aaa cgc ttc tac gtc cag aac Thr Pro Ser Gly Thr Leu Thr Glu Ile Lys Arg Phe Tyr Val Gln Asn 315 320 325 330	2568
ggc aag gta atc ccc cag tcg gag tcg acg atc agc ggc gtc acc ggc Gly Lys Val Ile Pro Gln Ser Glu Ser Thr Ile Ser Gly Val Thr Gly 335 340 345	2616
aac tca atc acc acc gag tat tgc acg gcc cag aag gcc gcc ttc ggcAsn Ser Ile Thr Thr Glu Tyr Cys Thr Ala Gln Lys Ala Ala Phe Gly350355	2664
gac aac acc ggc ttc ttc acg cac ggc ggg ctt cag aag atc agt cag Asp Asn Thr Gly Phe Phe Thr His Gly Gly Leu Gln Lys Ile Ser Gln 365 370 375	2712
gct ctg gct cag ggc atg gtc ctc gtc atg agc ctg tgg gac gat cac Ala Leu Ala Gln Gly Met Val Leu Val Met Ser Leu Trp Asp Asp His 380 385 390	2760
gcc gcc aac atg ctc tgg ctg gac agc acc tac ccg act gat gcg gac Ala Ala Asn Met Leu Trp Leu Asp Ser Thr Tyr Pro Thr Asp Ala Asp 395 400 405 410	2808
cog gac acc cot ggc gtc gcg ege ggt acc tgc ccc acg acc tcc ggc Pro Asp Thr Pro Gly Val Ala Arg Gly Thr Cys Pro Thr Thr Ser Gly 415 420 425	2856

-	_	-	gac Asp 430	-		_	_						-			2904
			aag Lys	_					_				_			2949
taaq	gtaaq	gta a	actg	gcact	c ta	accad	eegaq	g ago	etteç	gtga	agat	aca	ggg (gtggt	tggga	3009
gati	gte	gtg 1	tacaç	gggg	ac at	gega	atget	caa	aaat	cta	cato	cagti	ttg (ccaat	tgaac	3069
cat	gaaaa	aaa a	aggg	ggaga	at ca	aaaga	agto	tgt	caaa	aaga	gggg	gggcl	tgt (ggcag	gcttaa	3129
gcct	tgtt	gt a	agato	egagt	c ga	acgco	ectat	. agt	gagt	cgt	atta	agago	etc (gegge	ccgcga	3189
gct																3192
<212	> 457 > PR	Т	ascus	aura	ntiacı	JS										
<400 Met 1	_	Gln	Arg	Ala 5	Leu	Leu	Phe	Ser	Phe 10	Phe	Leu	Ala	Ala	Ala 15	Arg	
Ala	Gln	Gln	Ala 20	Gly	Thr	Val	Thr	Ala 25	Glu	Asn	His	Pro	Ser 30	Leu	Thr	
Trp	Gln	Gln 35	Cys	Ser	Ser	Gly	Gly 40	Ser	Cys	Thr	Thr	Gln 45	Asn	Gly	Lys	
Val	Val 50	Ile	Asp	Ala	Asn	Trp 55	Arg	Trp	Val	His	Thr 60	Thr	Ser	Gly	Tyr	
Thr 65	Asn	Суз	Туг	Thr	Gly 70	Asn	Thr	Trp	Asp	Thr 75	Ser	Ile	Суз	Pro	Asp 80	
Asp	Val	Thr	Cys	A la 85	Gln	Asn	Cys	Ala	Le u 90	Asp	Gly	Ala	Asp	Tyr 95	Ser	
Gly	Thr	Tyr	Gly 100	Val	Thr	Thr	Ser	Gly 105	Asn	Ala	Leu	Arg	Leu 110	Asn	Phe	
Val	Thr	Gln 115	Ser	Ser	Gly	Lys	As n 120	Ile	Gly	Ser	Arg	Leu 125	Tyr	Leu	Leu	
Gln	Asp 130	Asp	Thr	Thr	Tyr	Gln 135	Ile	Phe	Lys	Leu	Leu 14 0	Gly	Gln	Glu	Phe	
Thr 145	Phe	Asp	Val	Asp	Val 150	Ser	Asn	Leu	Pro	Cys 155	G1y	Leu	Asn	Gly	Ala 160	

Leu	Tyr	Phe	Val	Ala 165	Met	Asp	Ala	Asp	Gly 170	Gly	Leu	Ser	Lys	Tyr 1 75	Pro
Gly	Asn	Lys	Ala 180	Gly	Ala	Lys	Tyr	Gly 185	Thr	Gly	Tyr	Cys	Asp 190	Ser	Gln
Суѕ	Pro	A rg 1 95	Asp	Leu	Lys	Phe	11e 200	Asn	Gly	Gln	Ala	As n 205	Val	Glu	Gly
Trp	Gln 210	Pro	Ser	Ala	Asn	Asp 215	Pro	Asn	Ala	Gly	Val 220	Gly	Asn	His	Gly
Ser 225	Суз	Суз	Ala	Glu	Met 230	Asp	Val	Trp	Glu	Ala 235	Asn	Ser	Ile	Ser	Thr 240
Ala	Val	Thr	Pro	His 245	Pro	Cys	Asp	Thr	Pro 250	Gly	Gln	Thr	Met	Cys 255	Gln
Gly	Asp	Asp	C ys 260	Gly	Gly	Thr	Туг	Ser 265	Ser	Thr	Arg	Tyr	Ala 270	Gly	Thr
Cys	Asp	Pro 275	Asp	Gly	Cys	Asp	Phe 280	Asn	Pro	Tyr	Arg	Gln 285	Gly	Asn	His
Ser	Phe 290	Tyr	Gly	Pro	Gly	Gln 295	Ile	Val	Asp	Thr	Ser 300	Ser	Lys	Phe	Thr
Val 305	Val	Thr	Gln	Phe	Ile 310	Thr	Asp	Asp	Gly	Thr 315	Pro	Ser	Gly	Thr	Leu 320
Thr	Glu	Ile	Lys	Arg 325	Phe	Tyr	Val	Gln	As n 3 30	Gly	Lys	Val	Ile	Pro 335	Gln
Ser	Glu	Ser	Thr 340	Ile	Ser	Gly	Val	Thr 345	Gly	Asn	Ser	Ile	Thr 350	Thr	Glu
Tyr	Cys	Thr 355	Ala	Gln	Lys	Ala	Ala 360	Phe	Gly	Asp	Asn	Thr 365	Gly	Phe	Phe
Thr	His 370	Gly	Gly	Leu	Gln	Lys 375	Ile	Ser	Gln	Ala	Leu 380	Ala	Gln	Gly	Met
Val 385	Leu	Val	Met	Ser	Leu 390	Trp	Asp	As p	His	Ala 395	Ala	Asn	Met	Leu	Trp 400
Leu	Asp	Ser	Thr	Tyr 405	Pro	Thr	Asp	Ala	Asp 41 0	Pro	Asp	Thr	Pro	Gly 41 5	Val

Ala Arg Gly Thr Cys Pro Thr Thr Ser Gly Val Pro Ala Asp Val Glu

Ser Gln Tyr Pro Asn Ser Tyr Val Ile Tyr Ser Asn Ile Lys Val Gly 435

Pro Ile Asn Ser Thr Phe Thr Ala Asn 450

```
<210> 3
      <211> 3055
      <212> ADN
     <213> Acremonium thermophilum
 5
     <220>
      <221> CDS
      <222> (972)..(1595)
     <223>
10
     <220>
      <221> Intrón
      <222> (1596)..(1729)
      <223>
15
     <220>
      <221> CDS
      <222> (1730)..(2290)
      <223>
20
      <220>
      <221> Intrón
     <222> (2291)..(2412)
     <223>
25
     <220>
     <221> CDS
      <222> (2413)..(2540)
      <223>
30
      <220>
      <221> Intrón
      <222> (2541)..(2627)
      <223>
35
     <220>
      <221> CDS
      <222> (2628)..(2691)
      <223>
40
      <400> 3
      gaattoggat cacacogaga gottogogat ggocagotgt otcagottgt accogtotac
                                                                                   60
                                                                                  120
      caacgttccg catcttcgtt accttgatag ctcgcgtttg ctggactgct ttgtgagggg
```

actgtgccac gcctgggaga cgggtgccgt accatcggtt actgcgcaga ctgagaaccg	180
tegttgeega aacageeagg caggaageet gteeacette atgtatette atatggacee	240
cagcgcgccc etetettet ceteattet tgeccaccae gatggacace atgecaatet	300
atttcttgat cccttgactc ctcagccccc cagcagtccg acaatgtaca gtgatgggca	360
tetetttetg tacatacgte ecetetegeg gtgtecaege geggeegggg atgeetggga	420
cggagtgcca cccgcaggga acgagacttg gctgatgggg tgcggtgcat ggtggcacaa	480
gagatccagg ceececgate tegttetege aegtateett eeeeegeegg egatgeecaa	540
gtgggaagte tteggagegg eacceaggee eatettgeeg atgeeeggea eggetetgge	600
ggttgccttc atctatcgtg gctgcacatc cgccgtgccc ccattgggaa agcaggettt	660
gttetteeeg tetgtegate gteteeeaec taccetecet eetegeaagg gettaeeetg	720
goccoteaet gotgotteae etcaetgetg ettcecegea atgoccocte gececeecee	780
cocccctctc ctttgcagta cagatetaca taatatcgag acgcccccca agctgtttct	840
etggcacage cetetegege gtggtgeaag agcaagtcag agtatcaatt cececatete	900
teateteage cettetgeeg tggteeacce gaeattetgg geeegtagee aagaeegate	960
cgcctctcac c atg cac aag cgg gcg gcc acc ctc tcc gcc ctc gtc gtc Met His Lys Arg Ala Ala Thr Leu Ser Ala Leu Val Val 1 5 10	1010
gcc gcc gcc ggc ttc gcc cgc ggc cag ggc gtg ggc acg cag cag acg Ala Ala Ala Gly Phe Ala Arg Gly Gln Gly Val Gly Thr Gln Gln Thr 15 20 25	1058
gag acg cac ccc aag ctc acc ttc cag aag tgc tcc gcc gcc ggc agc Glu Thr His Pro Lys Leu Thr Phe Gln Lys Cys Ser Ala Ala Gly Ser 30 35 40 45	1106
tgc acg acc cag aac ggc gag gtg gtc atc gac gcc aac tgg cgc tgg Cys Thr Thr Gln Asn Gly Glu Val Val Ile Asp Ala Asn Trp Arg Trp 50 55 60	1154
gtg cac gac aag aac ggc tac acc aac tgc tac acg ggc aac gag tgg Val His Asp Lys Asn Gly Tyr Thr Asn Cys Tyr Thr Gly Asn Glu Trp 65 70 75	1202
aac acc acc atc tgc gcc gac gcc tcg tgc gcc agc aac tgc gtc Asn Thr Thr Ile Cys Ala Asp Ala Ala Ser Cys Ala Ser Asn Cys Val 80 85 90	1250
gtc gac ggc gcc gac tac cag ggc acc tac ggc gcc tcc acc tcc ggc Val Asp Gly Ala Asp Tyr Gln Gly Thr Tyr Gly Ala Ser Thr Ser Gly 95 100 105	1298
aac gcc ctg acc ctc aag ttc gtc acc aag ggc agc tac gcc acc aac Asn Ala Leu Thr Leu Lys Phe Val Thr Lys Gly Ser Tyr Ala Thr Asn	1346
110 115 120 125	
atc ggc tcg cgc atg tac ctg atg gcc agc ccc acc aag tac gcc atg Ile Gly Ser Arg Met Tyr Leu Met Ala Ser Pro Thr Lys Tyr Ala Met 130 125	1394

Phe Thr Leu Leu Gly His Glu Phe Ala Phe Asp Val Asp Leu Ser Lys 145 150 155											
ctg ccc tgc ggc ctc aac ggc gcc gtc tac ttc gtc agc atg gac gag Leu Pro Cys Gly Leu Asn Gly Ala Val Tyr Phe Val Ser Met Asp Glu 165 170	1490										
gac ggc ggc acc agc aag tac ccc tcc aac aag gcc ggc gcc aag tac Asp Gly Gly Thr Ser Lys Tyr Pro Ser Asn Lys Ala Gly Ala Lys Tyr 175 180 185	1538										
ggc acg ggc tac tgc gac tcg cag tgt ccg cgc gac ctc aag ttt atc Gly Thr Gly Tyr Cys Asp Ser Gln Cys Pro Arg Asp Leu Lys Phe Ile 190 195 200 205	1586										
gac ggc aag gtgagaaccc gcactagcgt cccgccttcc gtgtccctcc Asp Gly Lys											
ttttgccttc ttcgaccgcc ctcttccctg cgggccaggg tcgctggggt gctgtcctcc	1695										
tttetggtgg geageggtge tgateeegeg eeag gee aac teg gee age tgg eag Ala Asn Ser Ala Ser Trp Gln 210	1750										
ccc tcg tcc aac gac cag aac gcc ggc gtg ggc ggc atg ggc tcg tgc Pro Ser Ser Asn Asp Gln Asn Ala Gly Val Gly Gly Met Gly Ser Cys 220 225 230	1798										
tgc gcc gag atg gac atc tgg gag gcc aac tcc gtc tcc gcc gcc tac Cys Ala Glu Met Asp Ile Trp Glu Ala Asn Ser Val Ser Ala Ala Tyr 235 240 245	1846										
acg ccg cac ccg tgc cag aac tac cag cag cac agc tgc agc gac Thr Pro His Pro Cys Gln Asn Tyr Gln Gln His Ser Cys Ser Gly Asp 250 255 260	1894										
gac tgc ggc ggc acc tac tcg gcc acc cgc ttc gcc ggc gac tgc gac Asp Cys Gly Gly Thr Tyr Ser Ala Thr Arg Phe Ala Gly Asp Cys Asp 265 270 275	1942										
ccg gac ggc tgc gac tgg aac gcc tac cgc atg ggc gtg cac gac ttc Pro Asp Gly Cys Asp Trp Asn Ala Tyr Arg Met Gly Val His Asp Phe 280 285 290 295	1990										
tac ggc aac ggc aag acc gtc gac acc ggc aag aag ttc tcc atc gtc Tyr Gly Asn Gly Lys Thr Val Asp Thr Gly Lys Lys Phe Ser Ile Val 300 305 310	2038										
acc cag ttc aag ggc tcc ggc tcc acc ctg acc gag atc aag cag ttc Thr Gln Phe Lys Gly Ser Gly Ser Thr Leu Thr Glu Ile Lys Gln Phe 315 320 325	2086										
tac gtc cag gac ggc agg aag atc gag aac ccc aac gcc acc tgg ccc Tyr Val Gln Asp Gly Arg Lys Ile Glu Asn Pro Asn Ala Thr Trp Pro 330 335 340	2134										
ggc ctc gag ccc ttc aac tcc atc acc ccg gac ttc tgc aag gcc cag Gly Leu Glu Pro Phe Asn Ser Ile Thr Pro Asp Phe Cys Lys Ala Gln 345 350 355	2182										
aag cag gtc ttc ggc gac ccc gac cgc ttc aac gac atg ggc ggc ttc Lys Gln Val Phe Gly Asp Pro Asp Arg Phe Asn Asp Met Gly Gly Phe 360 365 370 375	2230										

acc aac atg gcc aag gcc ctg gcc aac ccc atg gtc ctg gtg ctg tcg Thr Asn Met Ala Lys Ala Leu Ala Asn Pro Met Val Leu Val Leu Ser 380 385 390	2278
ctg tgg gac gac gtgagccatt ttcgcattct ctcctgactc tcctccgctg Leu Trp Asp Asp 395	2330
ccatcaccac ctcttccacc accgccacga gggtgtagct tgatctccgc tgactgacgt	2390
gtgcccacac ccccgtttct ag cac tac tcc aac atg ctg tgg ctc gac tct His Tyr Ser Asn Met Leu Trp Leu Asp Ser 400 405	2442
acc tac ccg acc gac gcc gat ccc agc gcg ccc ggc aag gga cgt ggc Thr Tyr Pro Thr Asp Ala Asp Pro Ser Ala Pro Gly Lys Gly Arg Gly 410 415 420	2490
acc tgc gac acc agc agc ggc gtg cca agc gac gtg gag tcg aag aat Thr Cys Asp Thr Ser Ser Gly Val Pro Ser Asp Val Glu Ser Lys Asn 425 430 435	2538
gg gtgagtcgga tettetgeat geggeeegtt tteegageat tgettggggt Gly	2590
ceteceteag getgacacae gegegeette gatacag e gat geg ace gte ate Asp Ala Thr Val Ile 440	2643
tac tcc aac atc aag ttt ggg ccg ctg gac tcc acc tac acg gct tcc Tyr Ser Asn Ile Lys Phe Gly Pro Leu Asp Ser Thr Tyr Thr Ala Ser 445 450 455	2691
tgagcagccg ctttgggttc ggtggggccg aagcacaaca agtgtgtgcg tagctgagat	2751
gatggeegat etetgteett tgteteetag tgtetetett ategaacaac ecceegacet	2811
geagegtegg egggeategt atagtetggt gtaactgtat atagetetgt gegtgtgaat	2871
cgaacgagca ccgacgaaat gtggtgtttc atgctatcgt acatgctctt gcgagatctg	2931
aagtegteaa ttagacattg ecaecateca aettggegae tgtecaeceg gtecatttgt	2991
atcactggct cttccgagac ccggtctctc tcacaccgta atcactgcaa gcagagttga	3051
attc	3055
<210> 4 <211> 459 <212> PRT <213> Acremonium thermophilum	
<400> 4	
Met His Lys Arg Ala Ala Thr Leu Ser Ala Leu Val Val Ala Ala 1 1 15	
Gly Phe Ala Arg Gly Gln Gly Val Gly Thr Gln Gln Thr Glu Thr His 20 25 30	

Pro Lys Leu Thr Phe Gln Lys Cys Ser Ala Ala Gly Ser Cys Thr Thr

5

		35					40					45			
Gln	As n 50	Gly	Glu	Val	Val	Ile 55	Asp	Ala	Asn	Trp	Arg 60	Trp	Val	His	Asp
Lys 65	Asn	Gly	Tyr	Thr	Asn 70	Cys	Tyr	Thr	Gly	Asn 75	Glu	Trp	Asn	Thr	Thr 80
Ile	Cys	Ala	Asp	Ala 85	Ala	Ser	Cys	Ala	Ser 90	Asn	Cys	Val	Val	Asp 95	Gly
Ala	Asp	Tyr	Gln 100	Gly	Thr	Tyr	Gly	Ala 105	Ser	Thr	Ser	Gly	Asn 110	Ala	Leu
Thr	Leu	Lys 115	Phe	Val	Thr	Lys	Gly 120	Ser	Tyr	Ala	Thr	Asn 125	Ile	Gly	Ser
Arg	Met 130	Туг	Leu	Met	Ala	Ser 135	Pro	Thr	Lys	Tyr	A1a 140	Met	Phe	Thr	Leu
Leu 145	Gly	His	Glu	Phe	A1a 150	Phe	Asp	Val	Asp	Leu 155	Ser	Lys	Leu	Pro	Cys 160
Gly	Leu	Asn	Gly	Ala 165	Val	Tyr	Phe	Val	Ser 170	Met	Asp	Glu	As p	Gly 175	Gly
Thr	Ser	Lys	Tyr 180	Pro	Ser	Asn	Lys	Ala 185	Gly	Ala	Lys	Tyr	Gly 190	Thr	Gly
Tyr	Суз	Asp 195	Ser	G ln	Cys	Pro	Arg 200	Asp	Leu	ГЛЯ	Phe	Ile 205	Asp	Gly	Lys
Ala	As n 210	Ser	Ala	Ser	Trp	Gln 215	Pro	Ser	Ser	Asn	Asp 220	Gln	Asn	Ala	Gly
Val 225	Gly	Gly	Met	Gly	Ser 230	Cys	Суѕ	Ala	Glu	Met 235	Asp	Ile	Trp	Glu	Ala 240
Asn	Ser	Val	Ser	Ala 2 4 5	Ala	Tyr	Thr	Pro	His 250	Pro	Сув	Gln	Asn	Tyr 255	Gln
Gln	His	Ser	Cys 260	Ser	Gly	Asp	Asp	Cys 265	Gly	Gly	Thr	Tyr	Ser 270	Ala	Thr
Arg	Phe	Ala 275	Gly	Asp	Cys	Asp	Pro 280	Asp	Gly	Cys	Asp	Trp 285	Asn	Ala	Tyr
Arg	Met 290	Gly	Val	His	Asp	Phe 295	Туг	Gly	Asn	Gly	Lys 300	Thr	Val	Asp	Thr

Gly Lys Lys Phe Ser Ile Val Thr Gln Phe Lys Gly Ser Gly Ser Thr

Leu Thr Glu Ile Lys Gln Phe Tyr Val Gln Asp Gly Arg Lys Ile Glu 330 Asn Pro Asn Ala Thr Trp Pro Gly Leu Glu Pro Phe Asn Ser Ile Thr 345 Pro Asp Phe Cys Lys Ala Gln Lys Gln Val Phe Gly Asp Pro Asp Arg 360 Phe Asn Asp Met Gly Gly Phe Thr Asn Met Ala Lys Ala Leu Ala Asn 375 Pro Met Val Leu Val Leu Ser Leu Trp Asp Asp His Tyr Ser Asn Met 390 395 Leu Trp Leu Asp Ser Thr Tyr Pro Thr Asp Ala Asp Pro Ser Ala Pro 405 410 Gly Lys Gly Arg Gly Thr Cys Asp Thr Ser Ser Gly Val Pro Ser Asp Val Glu Ser Lys Asn Gly Asp Ala Thr Val Ile Tyr Ser Asn Ile Lys 440 Phe Gly Pro Leu Asp Ser Thr Tyr Thr Ala Ser 450 455 <210> 5 <211> 3401 <212> ADN <213> Acremonium thermophilum <220> <221> CDS 10 <222> (891)..(1299) <223> <220> <221> Intrón 15 <222> (1300)..(1387) <223> <220> <221> CDS 20 <222> (1388)..(1442) <220> <221> Intrón 25 <222> (1443)..(1495) <223> <220> <221> CDS 30 <222> (1496)..(1643) <223>

```
<220>
     <221> Intrón
     <222> (1644)..(1697)
     <223>
 5
     <220>
     <221> CDS
     <222> (1698)..(1928)
     <223>
10
     <220>
     <221> Intrón
     <222> (1929)..(2014)
     <223>
15
     <220>
     <221> CDS
     <222> (2015)..(2740)
     <223>
20
     <400> 5
     ctcgagtttc cctggtcggc cactctctgc tcatctcgct ctgcgcccct ggatgtgccg
                                                                     60
     tgtqtccaqt cqtqtatctc ttqactqcac gacgtqttcc tcqcgactcg tctcgcqccg
                                                                    120
     gtggatgece gtecaeteat ttgteegtet aetgggteag eetetegtet egaacgaget
                                                                    180
     tecaeggeec acteeeegga caacetegge tetggatgge ceteeteeec eteegtgtet
                                                                    240
     cccctcctgc ggggtccgtc gtgccctggc tgcatgctcc acatcgcttg atcacgctgc
                                                                    300
     gagecacege agagececat etecaaageg acegtggeag caetacetet gtttetggga
                                                                    360
     tggggccac gtcgatggcc tggcatccct tgccaccctc ctccatcccc ctgacctcac
                                                                    420
     teccaacega taggagaagt ggteatggge acgaeecegt geacgtettg gaetegaega
                                                                    480
                                                                    540
     gcttgatcgg gccggaagcc gtcaacgacg ggggagccgt gtcttgccac gcgtggccgt
     600
     cgaggcccga cgctcctagt ccgagaacca cctacgtgtt tctcgcgaag acggggccag
                                                                    660
                                                                    720
     cttageggee aaatttgeee eeegggeeta gggtetageg atggggatga tgaactggtg
     tegacgatgt ctatataacg acggegatet cetgtetetg agateceate ettteatete
                                                                    780
```

agaageeteg teegtegtea eetattetea etteeeegge aacteeggee atg tat $$\operatorname{\mathtt{Met}}$$ Tyr 1	896
acc aag ttc gcc gcc ctc gcc gcc ctc gtg gcc acc gtc cgc ggc cag Thr Lys Phe Ala Ala Leu Ala Ala Leu Val Ala Thr Val Arg Gly Gln 5 10 15	944
gcc gcc tgc tcg ctc acc gcc gag acc cac ccg tcg ctg cag tgg cag Ala Ala Cys Ser Leu Thr Ala Glu Thr His Pro Ser Leu Gln Trp Gln 20 25 30	992
aag tgc acc gcg ccc ggc agc tgc acc acc gtc agc ggc cag gtc acc Lys Cys Thr Ala Pro Gly Ser Cys Thr Thr Val Ser Gly Gln Val Thr 35 40 45 50	1040
atc gac gcc aac tgg cgc tgg ctg cac cag acc aac agc agc acc aac Ile Asp Ala Asn Trp Arg Trp Leu His Gln Thr Asn Ser Ser Thr Asn 55 60 65	1088
tgc tac acc ggc aac gag tgg gac acc agc atc tgc agc tcc gac acc Cys Tyr Thr Gly Asn Glu Trp Asp Thr Ser Ile Cys Ser Ser Asp Thr 70 75 80	1136
gac tgc gcc acc aag tgc tgc ctc gac ggc gcc gac tac acc ggc acc Asp Cys Ala Thr Lys Cys Cys Leu Asp Gly Ala Asp Tyr Thr Gly Thr 85 90 95	1184
tac ggc gtc acc gcc agc ggc aac tcg ctc aac ctc aag ttc gtc acc Tyr Gly Val Thr Ala Ser Gly Asn Ser Leu Asn Leu Lys Phe Val Thr 100 105 110	1232
cag ggg ccc tac tcc aag aac atc ggc tcg cgc atg tac ctc atg gag Gln Gly Pro Tyr Ser Lys Asn Ile Gly Ser Arg Met Tyr Leu Met Glu 115 120 125 130	1280
tcg gag tcc aag tac cag g gtgagcatat agatcacatc tttcgtcact Ser Glu Ser Lys Tyr Gln 135	1329
tgcgtccgtt tcgcacggca agcggtccag acgctaacgg gacggttetc ttctctag	1387
gc ttc act ctc ctc ggt cag gag ttt acc ttt gac gtg gac gtc tcc Gly Phe Thr Leu Leu Gly Gln Glu Phe Thr Phe Asp Val Asp Val Ser 140 145 150	1434
aac ctc gg gtaggtgatg acttctcccg catgagaaga gctctgctaa Asn Leu Gly	1482
cogtgttgtc cag c tgc ggt ctg aac gga gcg ctc tac ttc gtg tcc atg Cys Gly Leu Asn Gly Ala Leu Tyr Phe Val Ser Met 160 165	1532
gac ete gac ggc ggc gtg tee aag tac ace ace aac aag gec ggc gcc Asp Leu Asp Gly Gly Val Ser Lys Tyr Thr Thr Asn Lys Ala Gly Ala 170 175 180	1580
aag tac ggc acc ggc tac tgc gac tcc cag tgc ccg cgg gat ctc aag Lys Tyr Gly Thr Gly Tyr Cys Asp Ser Gln Cys Pro Arg Asp Leu Lys 185 190 195	1628
ttc atc aac ggc cag gtgggtcgag agaccctctt cccctctcag tgaacgatgt Phe Ile Asn Gly Gln 200	1683

ctgaccctct ctag			ccg tcg tcc aac Pro Ser Ser Asn 215	
			tgc tcc gag atg Cys Ser Glu Met 230	_
		r Ala Ala Tyr	acg ccg cac ccc Thr Pro His Pro 245	_
			gac tgc ggc ggc Asp Cys Gly Gly 260	
			ccc gac ggt tgc Pro Asp Gly Cys	
ttt gtaggttett Phe	tetetegeeg etee	ctgacg acctata	atgt gtgaagggac	1978
gcacagaaaa gaca	aggtca aagctgac		tcg tac cgc atg Ser Tyr Arg Met 285	
		y Lys Thr Val	gac acc ggc tcc Asp Thr Gly Ser 300	_
	_		gac ggc aac ctc Asp Gly Asn Leu 315	_
			gtc atc ccc aac Val Ile Pro Asn	
			atc acc acc gac Ile Thr Thr Asp 350	
	Lys Thr Ala Pho		aac gtc ttc gag Asn Val Phe Glu 365	
		y Lys Ala Leu	gcc gag ccc atg Ala Glu Pro Met 380	_
			aac atg ctc tgg Asn Met Leu Trp 395	
			ggc gcc gcc cgc Gly Ala Ala Arg	
			gtc gag tcc cag Val Glu Ser Gln 430	

ccc aac tcc aac gtc atc tac tcc aac atc cgc ttc ggc ccc atc aac Pro Asn Ser Asn Val Ile Tyr Ser Asn Ile Arg Phe Gly Pro Ile Asn 435 440 445	2512
tcc acc tac acc ggc acc ccc agc ggc ggc aac ccc cc	2560
acc acc acc acc acc acc acc acc acc tcc aag ccc tcc ggc ccc acc Thr Thr Thr Thr Thr Thr Thr Thr Ser Lys Pro Ser Gly Pro Thr 465 470 475	2608
acc acc acc ccc tcg ggt ccg cag cag acg cac tgg ggt cag tgc Thr Thr Thr Asn Pro Ser Gly Pro Gln Gln Thr His Trp Gly Gln Cys 480 485 490 495	2656
ggc ggc cag gga tgg acc ggc ccc acg gtc tgc cag agc ccc tac acc Gly Gly Gln Gly Trp Thr Gly Pro Thr Val Cys Gln Ser Pro Tyr Thr 500 505 510	2704
tgc aag tac tcc aac gac tgg tac tcg cag tgc ctg taagccataa Cys Lys Tyr Ser Asn Asp Trp Tyr Ser Gln Cys Leu 515 520	2750
gccccctgta cgttcggaag acggtggcaa cagacaaacc cctcccccga gcacaccccc	2810
cagggatcta agggggttgt ggttaagaca taagaatgcg ccgtggcttg gcctacgcca	2870
cggtcatgaa agtgcagtga aaatgggggc aagagtcgga aaaagtgagt ttgcttgcaa	2930
gggagagagg atgtcgagag gtgatgactt cgtttgtaca tagttggctc ttcgtgattg	2990
ggaacgggag gagtgtcggg gggagccctc cagactcctt ggcctctccg ctcgttccat	3050
ctttctcagt acatatacat ctgcattttc atccacgtct ctggcgtctc tggatgtgaa	3110
cgaatccgac aactggtggg ctgagatgaa tcgcaaggag agtatcttgc gaggatatca	3170
cagtcagaaa gtagcatttg agccactact aaaaggtcaa ccagtatgcg aagcttagca	3230
attatataca gcagctcaac ttcagaacga agtattgcat gtggcagaga atcttgggaa	3290
atgagecatg aagacetegt egagagagta eeteteaceg ecaaataace agetageggg	3350
ttgggagagg agcaatagga cgagcgcgat ggacagatat acgaactcga g	3401
<210> 6 <211> 523 <212> PRT <213> Acremonium thermophilum	
<400>6	

Met Tyr Thr Lys Phe Ala Ala Leu Ala Ala Leu Val Ala Thr Val Arg 1 5 10 10 15

Gly Gln Ala Ala Cys Ser Leu Thr Ala Glu Thr His Pro Ser Leu Gln 20 25 30

Trp Gln Lys Cys Thr Ala Pro Gly Ser Cys Thr Thr Val Ser Gly Gln 35

10

Val	Thr 50	Ile	Asp	Ala	Asn	Trp 55	Arg	Trp	Leu	His	Gln 60	Thr	Asn	Ser	Ser
Thr 65	Asn	Cys	Tyr	Thr	Gly 70	Asn	Glu	Trp	Asp	Thr 75	Ser	Ile	Cys	Ser	Ser 80
Asp	Thr	Asp	Сув	Ala 85	Thr	Lys	Сув	Cys	Leu 90	Asp	G1y	Ala	Asp	Tyr 95	Thr
Gly	Thr	Tyr	Gly 100	Va1	Thr	Ala	Ser	Gly 105	Asn	Ser	Leu	Asn	Leu 110	Lys	Phe
Va1	Thr	G1n 115	G1y	Pro	Tyr	Ser	Lys 120	Asn	Ile	G1y	Ser	Arg 125	Met	Tyr	Leu

- Met Glu Ser Glu Ser Lys Tyr Gln Gly Phe Thr Leu Leu Gly Gln Glu 130 135 140
- Phe Thr Phe Asp Val Asp Val Ser Asn Leu Gly Cys Gly Leu Asn Gly 145 150 160
- Ala Leu Tyr Phe Val Ser Met Asp Leu Asp Gly Gly Val Ser Lys Tyr 165 170 175
- Thr Thr Asn Lys Ala Gly Ala Lys Tyr Gly Thr Gly Tyr Cys Asp Ser 180 185 190
- Gln Cys Pro Arg Asp Leu Lys Phe Ile Asn Gly Gln Ala Asn Ile Asp 195 200 205
- Gly Trp Gln Pro Ser Ser Asn Asp Ala Asn Ala Gly Leu Gly Asn His 210 215 220
- Gly Ser Cys Cys Ser Glu Met Asp Ile Trp Glu Ala Asn Lys Val Ser 225 230 235 240
- Ala Ala Tyr Thr Pro His Pro Cys Thr Thr Ile Gly Gln Thr Met Cys 245 250 255
- Thr Gly Asp Asp Cys Gly Gly Thr Tyr Ser Ser Asp Arg Tyr Ala Gly 260 265 270
- Ile Cys Asp Pro Asp Gly Cys Asp Phe Asn Ser Tyr Arg Met Gly Asp 275 280 285
- Thr Ser Phe Tyr Gly Pro Gly Lys Thr Val Asp Thr Gly Ser Lys Phe 290 295 300

Thr Val Val Thr Gln Phe Leu Thr Gly Ser Asp Gly Asn Leu Ser Glu

Ile Lys Arg Phe Tyr Val Gln Asn Gly Lys Val Ile Pro Asn Ser Glu 330 Ser Lys Ile Ala Gly Val Ser Gly Asn Ser Ile Thr Thr Asp Phe Cys Thr Ala Gln Lys Thr Ala Phe Gly Asp Thr Asn Val Phe Glu Glu Arg 360 Gly Gly Leu Ala Gln Met Gly Lys Ala Leu Ala Glu Pro Met Val Leu Val Leu Ser Val Trp Asp Asp His Ala Val Asn Met Leu Trp Leu Asp 390 395 Ser Thr Tyr Pro Thr Asp Ser Thr Lys Pro Gly Ala Ala Arg Gly Asp 405 410 Cys Pro Ile Thr Ser Gly Val Pro Ala Asp Val Glu Ser Gln Ala Pro 425 Asn Ser Asn Val Ile Tyr Ser Asn Ile Arg Phe Gly Pro Ile Asn Ser Thr Tyr Thr Gly Thr Pro Ser Gly Gly Asn Pro Pro Gly Gly Gly Thr 450 455 Thr Thr Thr Thr Thr Thr Thr Ser Lys Pro Ser Gly Pro Thr Thr 470 Thr Thr Asn Pro Ser Gly Pro Gln Gln Thr His Trp Gly Gln Cys Gly 490 Gly Gln Gly Trp Thr Gly Pro Thr Val Cys Gln Ser Pro Tyr Thr Cys 505 Lys Tyr Ser Asn Asp Trp Tyr Ser Gln Cys Leu 515 520 <210> 7 <211> 3649 <212> ADN <213> Chaetomium thermophilum <220> <221> CDS 10 <222> (1290)..(2879) <223> <220> <221> Intrón <222> (2880)..(2943) 15 <223> <220>

<221> CDS <222> (2944)..(2949) <223>

5

<400> 7 tetagagetg tegaegegge egegtaatae gaeteaetat agggegaaga atteggateg 60 qactaqaqct cqtcacqqqc tcqcqccqac qaqqcqatqa qqacqaaqqq ccqacataat 120 ccgtacttta cgctacatga cgactctcga aaattgtaaa gggccggcat ttcggagcga 180 gtgctgcgag ggcgcattcg cggcgtacct ggaattcctg gaatggtaag caatggccag 240 caatgggcca ggtatggacc agcttgaatc ctggttgcgg cgtcaccagg cccagcatgg 300 tgcccagaat ggcccaccgt ggcccatcgt cctaagaaac aagctgcgtc ccgcgatcca 360 aaaacgtcgt cttcggcgca cgtcctccgt ggtccccccg gctggacacc ctggctggcc 420 ctccaatgag cggcatttgc ccctgtcgag cgtgtcggca accttaatcg actccatctc 480 540 teggetecae geogtecate etgteetega eetegteate tgtgeteece ttgeeetece 600 ttgcccttcc ttgcctccgc cacgacgtgc cacaatgtga ccctgctgcc cggagcgccc agegecatge accepttigge cttgtegeeg tgtegecagt ctccategag egattegace 660 gtgtgcctct ctccaccage gttccccgcg ctctccatag tccatgctac ttcgagccgt 720 780 tgectcaeaa getgecageg geatggetet gteggteteg eeteteettt teeegtgaag cgctgccata caattctccg tctgccccag tccttgaggc gccgctattc ccaatcggcc 840 900 atggcactgg ccagcccgat ccatgttcga tcgagcttcg acggcccgtg agccgtctgc acggaggage ttgcgagect gcgaacctgg cggacctgga gaagcctgge ccatctccct 960 1020 ggatggagat actgggtgcg ctagcaccac ggcgtgccac ggccaagctc cggccgaccc 1080 ggaggcggga agagggttgc gttgctgtct tcggcggctg tcagggcaaa gggtaatcgt caatgtggga aaaggggctc atctccatga gattcatgac tcggacatcg tctatataag 1140 tegagtecce catectecaa cageegatte tgeteeteat eccateacca ecctegteca 1200 caaccacgca gttgtgtaca tcaaaacaag ttcgctcctt ttacatcttc accacaacaa 1260 1313 cagcacatcc teteettteg gettteaag atg atg tat aag aag tte gee get Met Met Tyr Lys Lys Phe Ala Ala ctc gcc gcc ctc gtg gct ggc gcc tcc gcc cag cag gct tgc tcc ctc 1361 Leu Ala Ala Leu Val Ala Gly Ala Ser Ala Gln Gln Ala Cys Ser Leu 10 15 20

acc Thr 2 25	-					_				_	-	_				1409
ggc Gly																1457
cgc					_			_			_					1505
cag Gln		_				_		_		_	_	_	_	_		1553
tgc ' Cys '	_	_	_		_	_			_							1601
agc Ser 105																1649
acc Thr																1697
cag Gln 1	_											_	_	_	_	1745
tcc Ser		_		_					_				_		_	1793
gat Asp	_	_			_	_						_	_		_	1841
aag Lys 185																1889
ttc Phe																1937
gat (Gly		Tyr	Gly							1985
gat (2033
tgc Cys																2081
acc Thr 265		_		-	_		-		_	-	_		-		-	2129
gac	ttc	aac	gcc	tac	cgc	caa	ggc	gac	aag	acc	ttc	tac	ggc	aag	ggc	2177

Asp Phe Asn Ala	Tyr Arg Gln 285	Gly Asp Lys 290	Thr Phe Tyr Gly Lys Gly 295	,
	_		gtc gtc acc cag ttc cac Val Val Thr Gln Phe His 310	
			aag cgc ttc tac gtc cac Lys Arg Phe Tyr Val Gli 325	
	_		aag atc ccc ggc aac ccc Lys Ile Pro Gly Asn Pro 340	
			gcc cag aag gtc gcc ttc Ala Gln Lys Val Ala Pho 355 366	
			ggt atg gct cag atg agg Gly Met Ala Gln Met Se 375	
	Gly Pro Met		atg tcc gtc tgg gat gac Met Ser Val Trp Asp Asp 390	
_			acc tac ccc atc gac cag Thr Tyr Pro Ile Asp Gla 405	
			tgc ccg acc acc tcc ggd Cys Pro Thr Thr Ser Gl 420	
			aac agc aac gtc atc ttc Asn Ser Asn Val Ile Pho 435 446	•
-			acc gtc cct ggc ctt gac Thr Val Pro Gly Leu Asp 455	
			gtc gtt cct ccc gct tct Val Val Pro Pro Ala Ser 470	
			age tet eee gtt teg ace Ser Ser Pro Val Ser The 485	
		-	cag aag tgg ggc cag tg Gln Lys Trp Gly Gln Cys 500	
			tgc gtt gct ggc acc acc Cys Val Ala Gly Thr Thr 515 526	.
tgc act cag ctc Cys Thr Gln Leu			gtatgtttct cttccccctt	2899
ctagactcgc ttgg	atttga cagtt	gctaa catctg	ctca acag tgc ctg Cys L eu	2949

taaacaactc	gcttcgtccg	cacgacggag	gagggccatg	agaaagaatg	ggcaacatag	3009
attctttgcg	cggttgtgga	ctacttgggt	attttctgga	tgtacatagt	tttatcacgt	3069
catgaggctg	tcatgtgggg	atgtgtatct	ttttcgcttc	ttcgtacata	aatttacgca	3129
ttgagctttt	cacccccaa	aaacagttcc	ctgatttgct	ggagtaactt	gatggtaaag	3189
cttggtcata	agctcttcaa	tggaaaaaac	gatacagtca	tgccttgaca	catcctccca	3249
aagtcttcgt	ccatgacatc	acggtcgatc	cttaagcaca	agttcaataa	ccccatgtgg	3309
cgttgccttg	tcctgaaaca	cagatgagat	cttcagccca	gccgcatcgg	ccacttcctt	3369
gaactgagcc	aacgagcgtt	ccttcccgcc	gattgagagc	atcgcatagt	ccttgaaggc	3429
tgcatagaga	ggaatagggg	gcttgtttcc	ggtagttggg	ctgccggaac	tcggatctgt	3489
tggcgcaagg	gggtcagggt	tgatctgctc	ggcgatgagg	acgcgtccat	cggggtttgt	3549
tagtgcacga	gcgacattgc	gcaggatggt	gactgccaca	gggtcggagt	aatcgcggag	3609
gatgtggcgg	aggtagtaga	ccagtgcacc	tggaatcgat			3649

<210>8

<211> 532

<212> PRT

<213> Chaetomium thermophilum

<400> 8

Met Met Tyr Lys Lys Phe Ala Ala Leu Ala Ala Leu Val Ala Gly Ala 1 5 10 15

Ser Ala Gln Gln Ala Cys Ser Leu Thr Ala Glu Asn His Pro Ser Leu 20 25 30

Thr Trp Lys Arg Cys Thr Ser Gly Gly Ser Cys Ser Thr Val Asn Gly 35 40 45

Ala Val Thr Ile Asp Ala Asn Trp Arg Trp Thr His Thr Val Ser Gly 50 55

Ser Thr Asn Cys Tyr Thr Gly Asn Gln Trp Asp Thr Ser Leu Cys Thr 65 70 75 80

Asp Gly Lys Ser Cys Ala Gln Thr Cys Cys Val Asp Gly Ala Asp Tyr 85 90 95

Ser Ser Thr Tyr Gly Ile Thr Thr Ser Gly Asp Ser Leu Asn Leu Lys 100 105 110

Phe Val Thr Lys His Gln Tyr Gly Thr Asn Val Gly Ser Arg Val Tyr 115 120 125

Leu	Met 130	Glu	Asn	Asp	Thr	Lys 135	Tyr	Gln	Met	Phe	Glu 140	Leu	Leu	Gly	Asn
Glu 145	Phe	Thr	Phe	Asp	Val 150	Asp	Val	Ser	Asn	Leu 155	Gly	Cys	Gly	Leu	Asn 160
Gly	Ala	Leu	Tyr	Phe 165	Val	Ser	Met	Asp	Ala 170	Asp	G1y	Gly	Met	Ser 175	Lys
Tyr	Ser	Gly	Asn 180	Lys	Ala	Gly	Ala	Lys 185	Tyr	Gly	Thr	Gly	Tyr 190	Суз	Asp
Ala	Gln	C ys 195	Pro	Arg	Asp	Leu	Lys 200	Phe	Ile	Asn	G1y	G1u 205	Ala	Asn	Val
Gly	Asn 210	Trp	Thr	Pro	Ser	Thr 215	Asn	Asp	Ala	Asn	Ala 220	Gly	Phe	Gly	Arg
Ту г 225	Gly	Ser	Cys	Cys	Ser 230	Glu	Met	Asp	Val	Trp 235	Glu	Ala	Asn	Asn	Met 240
Ala	Thr	Ala	Phe	Thr 2 4 5	Pro	His	Pro	Cys	Thr 250	Thr	Val	Gly	Gln	Ser 255	Arg
Суз	Glu	Ala	Asp 260	Thr	Cys	Gly	Gly	Thr 265	Туг	Ser	Ser	Asp	Arg 270	Туг	Ala
Gly	Val	Cys 275	Asp	Pro	Asp	G1y	Cys 280	Asp	Phe	Asn	Ala	Tyr 285	Arg	G1n	Gly
Asp	Lys 290	Thr	Phe	Tyr	Gly	Lys 295	Gly	Met	Thr	Val	Asp 300	Thr	Asn	Lys	Lys
Met 305	Thr	Val	Val	Thr	Gln 310	Phe	His	Lys	Asn	Ser 315	Ala	Gly	Val	Leu	Ser 320
Glu	Ile	Lys	Arg	Phe 325	Tyr	Val	Gln	Asp	G1y 330	Lys	Ile	Ile	Ala	As n 335	Ala
Glu	Ser	Lys	Ile 340	Pro	G1y	Asn	Pro	Gly 345	Asn	Ser	Ile	Thr	G1n 350	G1u	Tyr
Суз	Asp	Al a 355	G1n	Lys	Val	Ala	Phe 360	Ser	Asn	Thr	Asp	Asp 365	Phe	Asn	Arg
Lys	Gly 370	Gly	Met	Ala	G1n	Met 375	Ser	Lys	Ala	Leu	Ala 380	Gly	Pro	Met	Val

Leu Val Met Ser Val Trp Asp Asp His Tyr Ala Asn Met Leu Trp Leu

390 Asp Ser Thr Tyr Pro Ile Asp Gln Ala Gly Ala Pro Gly Ala Glu Arg 405 410 Gly Ala Cys Pro Thr Thr Ser Gly Val Pro Ala Glu Ile Glu Ala Gln 425 Val Pro Asn Ser Asn Val Ile Phe Ser Asn Ile Arg Phe Gly Pro Ile 435 440 Gly Ser Thr Val Pro Gly Leu Asp Gly Ser Asn Pro Gly Asn Pro Thr Thr Thr Val Val Pro Pro Ala Ser Thr Ser Thr Ser Arg Pro Thr Ser 470 475 Ser Thr Ser Ser Pro Val Ser Thr Pro Thr Gly Gln Pro Gly Gly Cys 485 490 495 Thr Thr Gln Lys Trp Gly Gln Cys Gly Gly Ile Gly Tyr Thr Gly Cys Thr Asn Cys Val Ala Gly Thr Thr Cys Thr Gln Leu Asn Pro Trp Tyr 520 Ser Gln Cys Leu 530 <210> 9 <211> 1339 <212> ADN <213> Thermoascus aurantiacus <220> <221> CDS 10 <222> (17)..(122) <223> <220> <221> Intrón 15 <222> (123)..(177) <223> <220> <221> CDS 20 <222> (178)..(236) <220> <221> Intrón 25 <222> (237)..(296) <223> <220> <221> CDS 30 <222> (297)..(449) <223>

```
<220>
     <221> Intrón
     <222> (450)..(508)
     <223>
     <220>
     <221> CDS
     <222> (509)..(573)
     <223>
10
     <220>
     <221> Intrón
     <222> (574)..(647)
     <223>
15
     <220>
     <221> CDS
     <222> (648)..(745)
     <223>
20
     <220>
     <221> Intrón
     <222> (746)..(806)
     <223>
25
     <220>
     <221> CDS
     <222> (807)..(1330)
     <223>
30
     <400> 9
      ccgcggactg cgcatc atg aag ctc ggc tct ctc gtg ctc gct ctc agc gca
                        Met Lys Leu Gly Ser Leu Val Leu Ala Leu Ser Ala
                                         5
                                                                               100
      get agg ett aca etg teg gee eet ete gea gae agg aag eag gag ace
      Ala Arg Leu Thr Leu Ser Ala Pro Leu Ala Asp Arg Lys Gln Glu Thr
                                   20
      aag cgt gcg aaa gta ttc caa t gttcgtaaca tccacgtctg gcttgctggc
                                                                               152
      Lys Arg Ala Lys Val Phe Gln
      ttactggcaa ctgacaatgg cgaag gg ttc ggt tca aac gag tcc ggt gct
                                                                               203
                                   Trp Phe Gly Ser Asn Glu Ser Gly Ala
                                                                               256
      gaa ttc gga agc cag aac ctt cca gga gtc gag gtcagcatgc ctgtactctc
      Glu Phe Gly Ser Gln Asn Leu Pro Gly Val Glu
```

45	50	55	
tgcattatat taatatct	ca agaggettae tettte	gcag gga aag gat tat Gly Lys Asp Tyr	
		atc agc aag ggg atg Ile Ser Lys Gly Met 75	
		ttg gtt ccc aac tca Leu Val Pro Asn Ser 90	
	ccg aac tac ctg gca Pro Asn Tyr Leu Ala 100		449
gtacatttca attccacc	at gtttggaget gtette	gttg tgctgacatt taat	ggtag 508
		tac gcc gtc gtc gat Tyr Ala Val Val Asp 120	
cat aac tac ggc aga His Asn Tyr Gly Arg 125	ta gtgaggteee eggt Tyr	tetggt attgetgetg	603
tatatctaag tagatatg	tg tttctaacat ttccac	gatt tcag c tac aat Tyr Asn 130	
		ttc tgg aaa acg gtc Phe Trp Lys Thr Val 145	
	aat cca ctg gtc atc Asn Pro Leu Val Ile 155	ttc gac act a gtaag Phe Asp Thr 160	ctgaa 755
cacccgaaat taactgag	tc tgagcatgtc tgacaa	gacg atccatgaaa g at As	aac 811 n Asn
		ctc aat ctc aac cag Leu Asn Leu Asn Gln 175	-
Ala Ile Asp Gly Ile	Arg Ser Ala Gly Ala	act tcc cag tac atc Thr Ser Gln Tyr Ile 190	
		acc tgg acg aac gtg Thr Trp Thr Asn Val 205	
		gac aag atc ata tac Asp Lys Ile Ile Tyr 225	
		ggg aca tca gcg acc Gly Thr Ser Ala Thr 240	
gta tct tcg acc atc	ggt caa gag cga atc	acc agc gca acg caa	tgg 1099

Val	Ser	Ser 245	Thr	Ile	Gly	Gln	Glu 250	Arg	Ile	Thr	Ser	Ala 255	Thr	Gln	Trp	
	agg Arg 260	_			_	_										1147
_	aac Asn	_	_	_		_	_		_		_	_	_		_	1195
	cag Gln															1243
	tgg Trp															1291
	tat Tyr	_	_					_		-			tgad	etge	ıg	1339
<212	> 10 > 335 > PR > The	Т	iscus	aura	ntiacı	ıs										
<400 Met 1	> 10 Lys	Leu	Gly	Ser 5	Leu	Val	Leu	Ala	Leu 10	Ser	Ala	Ala	Arg	Leu 15	Thr	
Leu	Ser	Ala	Pro 20	Leu	Ala	Asp	Arg	Lys 25	Gln	Glu	Thr	Lys	Arg 30	Ala	Lys	
Val	Phe	Gln 35	Trp	Phe	Gly	Ser	Asn 40	Glu	Ser	Gly	Ala	Glu 4 5	Phe	Gly	Ser	
Gln	Asn 50	Leu	Pro	Gly	Val	Glu 55	Gly	Lys	Asp	Туг	Ile 60	Trp	Pro	Asp	Pro	
Asn 65	Thr	Ile	Asp		Leu 70		Ser	Lys	Gly	M et 75	Asn	Ile	Phe	_	Val 80	
Pro	Phe	Met	Met	G1u 85	Arg	Leu	Val	Pro	Asn 90	Ser	Met	Thr	Gly	Ser 95	Pro	
Asp	Pro	Asn	Tyr 100	Leu	Ala	Asp	Leu	Ile 105	Ala	Thr	Val	Asn	Ala 110	Ile	Thr	
Gln	Lys	Gly 115	Ala	Tyr	Ala	Val	Val 120	Asp	Pro	His	Asn	Tyr 125	Gly	Arg	туг	
Tyr	Asn 130	Ser	Ile	Ile	Ser	Ser 135	Pro	Ser	Asp	Phe	Gln 140	Thr	Phe	Trp	Lys	

Thr Val Ala Ser Gln Phe Ala Ser Asn Pro Leu Val Ile Phe Asp Thr

Asn Asn Glu Tyr His Asp Met Asp Gln Thr Leu Val Leu Asn Leu Asn 165 170 Gln Ala Ala Ile Asp Gly Ile Arg Ser Ala Gly Ala Thr Ser Gln Tyr Ile Phe Val Glu Gly Asn Ser Trp Thr Gly Ala Trp Thr Trp Thr Asn 200 Val Asn Asp Asn Met Lys Ser Leu Thr Asp Pro Ser Asp Lys Ile Ile Tyr Glu Met His Gln Tyr Leu Asp Ser Asp Gly Ser Gly Thr Ser Ala 230 235 Thr Cys Val Ser Ser Thr Ile Gly Gln Glu Arg Ile Thr Ser Ala Thr Gln Trp Leu Arg Ala Asn Gly Lys Lys Gly Ile Ile Gly Glu Phe Ala Gly Gly Ala Asn Asp Val Cys Glu Thr Ala Ile Thr Gly Met Leu Asp Tyr Met Ala Gln Asn Thr Asp Val Trp Thr Gly Ala Ile Trp Trp Ala 295 Ala Gly Pro Trp Trp Gly Asp Tyr Ile Phe Ser Met Glu Pro Asp Asn 305 Gly Ile Ala Tyr Gln Gln Ile Leu Pro Ile Leu Thr Pro Tyr Leu 330 <210> 11 <211> 2334 <212> ADN <213> Acremonium thermophilum <221> característica miscelánea <222> (13)..(13) 10 <223> N = no identificado <220> <221> CDS 15 <222> (715)..(797) <223> <220> <221> Intrón 20 <222> (798)..(856) <223> <220> <221> CDS 25 <222> (857)..(1105)

	<223>	
5	<220> <221> Intrón <222> (1106)(1228) <223>	
10	<220> <221> CDS <222> (1229)(1787) <223>	
	<400> 11 tetgtetett gtnteagaac agateteetg geggeetget ttgeeggtee gaattgegat	60
	cgatgcaacg tcgattgcat acgagctaag cccgtctcgt gataaccgca aggggtcttc	120
	egagtttetg tetgegacce aggeatttte egatttgtgt geggggacce aactgtette	180
	tggggagtac ctggtgacaa aagcacagat aaacagatgg atgacggtat tgctgtgata	240
	tegeegtgge getgaateet ttetettege taccaagata tttatteece gttgtgaaat	300
	cttctattca gcccatccca tccggcaaca cgcatctgct tttcgttccg gcattccgat	360
	acctggttcc tggagtgcct accgagcctc gcttcctggg atcgggcgtt gcaccccgcc	420
	aaaccctatg ccccaaacgg tacggacaag gatgccggac cccggttttg tccagaaagg	480
	ttgcattect acceaecteg etggageeae aacatgeaga teacegeeeg agggaggaea	540
	tgtgtggtgc agggacgttg gcaactctgc tgtgtctgaa gtatatgagg ccgatggttc	606
	teettgeaca aageagagaa tggagtagee ageteeteet caccagagte geetttgeag	660
	cgtctcggca ttgcaggctc cccatcgtca gcatttcact tctcagcaac gaac atg Met 1	717
	cgc tcc tca ccc ttt ctc cgc gca gct ctg gct gcc gct ctg cct ctg Arg Ser Ser Pro Phe Leu Arg Ala Ala Leu Ala Ala Leu Pro Leu 5 10 15	765
	age gee cat gee ete gae gga aag teg aeg ag gtatgeeaat eetegtaeet Ser Ala His Ala Leu Asp Gly Lys Ser Thr Arg 20 25	817
	ctgccctctg tagaaacaag tgaccgactg caaagacag a tac tgg gac tgc tgc Tyr Trp Asp Cys Cys 30	872

aag eeg tee tge gge tgg eeg gga aag gee teg gtg aac eag eee gte Lys Pro Ser Cys Gly Trp Pro Gly Lys Ala Ser Val Asn Gln Pro Val 35 40 45	920
Phe Ser Cys Ser Ala Asp Trp Gln Arg Ile Ser Asp Phe Asn Ala Lys 50 55 60 65	968
teg gge tge gae gga gge tee gee tae teg tge gee gae eag aeg eee Ser Gly Cys Asp Gly Gly Ser Ala Tyr Ser Cys Ala Asp Gln Thr Pro 70 75 80	1016
tgg gcg gtc aac gac aac ttc tcg tac ggc ttc gca gcc acg gcc atc Trp Ala Val Asn Asp Asn Phe Ser Tyr Gly Phe Ala Ala Thr Ala Ile 85 90 95	1064
gcc ggc ggc tcc gag tcc agc tgg tgc tgc tgc tgc tat gc Ala Gly Gly Ser Glu Ser Ser Trp Cys Cys Ala Cys Tyr Ala 100 105 110	1105
gtgagttete tgeaageege tteeceacee egetttetgt geaggeeget teececetae	1165
ccacccactt ccccccccc gcctctgtga tcgggcatcc gagctaagtt gcgtgtcgtc	1225
cag a ctc acc ttc aac tcg ggc ccc gtc gcg ggc aag acc atg gtg gtg Leu Thr Phe Asn Ser Gly Pro Val Ala Gly Lys Thr Met Val Val 115 120 125	1274
cag tcg acc agc acc ggc ggc gac ctg ggc agc acc cag ttc gac ctc Gln Ser Thr Ser Thr Gly Gly Asp Leu Gly Ser Asn Gln Phe Asp Leu 130 135 140	1322
gcc atc ccc ggc ggc ggc gtg ggc atc ttc aac ggc tgc gcc tcc cag Ala Ile Pro Gly Gly Val Gly Ile Phe Asn Gly Cys Ala Ser Gln 145 150 155	1370
ttc ggc ggc ctc ccc ggc gcc cag tac ggc ggc atc agc gac cgc agc Phe Gly Gly Leu Pro Gly Ala Gln Tyr Gly Gly Ile Ser Asp Arg Ser 160 165 170	1418
cag tgc tcg tcc ttc ccc gcg ccg ctc cag ccg ggc tgc cag tgg cgc Gln Cys Ser Ser Phe Pro Ala Pro Leu Gln Pro Gly Cys Gln Trp Arg 175 180 185 190	1466
ttc gac tgg ttc cag aac gcc gac aac ccc acc ttc acc ttc cag cgc Phe Asp Trp Phe Gln Asn Ala Asp Asn Pro Thr Phe Thr Phe Gln Arg 195 200 205	1514
gtg cag tgc ccg tcc gag ctc acg tcc cgc acg ggc tgt aag cgc gac Val Gln Cys Pro Ser Glu Leu Thr Ser Arg Thr Gly Cys Lys Arg Asp 210 215 220	1562
gac gac gcc agc tat ccc gtc ttc aac ccg cct agc ggt ggc tcc ccc Asp Asp Ala Ser Tyr Pro Val Phe Asn Pro Pro Ser Gly Gly Ser Pro 225 230 235	1610
age ace ace age ace ace age tee end tee ggt eee acg gge aac Ser Thr Thr Ser Thr Thr Thr Ser Ser Pro Ser Gly Pro Thr Gly Asn 240 245 250	1658
cct cct gga ggc ggt ggc tgc act gcc cag aag tgg gcc cag tgc ggc Pro Pro Gly Gly Gly Gly Cys Thr Ala Gln Lys Trp Ala Gln Cys Gly 255 260 270	1706
ggc act ggc ttc acg ggc tgc acc acc tgc gtc tcg ggc acc acc tgc	1754

	Phe Thr 275	Gly Cys Th	r Thr Cys Val	l Ser Gly Thr Thr Cys 285	
			c cag tgt cto r Gln Cys Let 295	g tgagegggag ggttgttggg 1	1807
gtccgtttcc	ctagggctg	a ggctgacg	tg aactgggtc	c tottgtccgc cccatcacgg	1867
gttcgtattc	gcgcgctta	g ggagagga	.gg atgcagtttq	g agggggccac attttgaggg	1927
ggacgcagtc	tggggtcga	a gcttgtcg	gt tagggetge	gtgacgtggt agagcagatg	1987
ggaccaagtg	cggagctag	g caggtggg	tg gttgtggtg	g tggettaeet tetgtaaege	2047
aatggcatct	catctcact	c gcctgctc	cc tgattggtg	g ctctgttcgg cctggcgctt	2107
tttgggaccg	ctggctgga	a tggattgc	tc cggaacgcc	a ggttgagetg ggetggegeg	2167
agtagattgg	ccgctccga	g ctgcaacc	at aataaaatti	teggaceetg taageegeae	2227
ccgaccaggt	ctccattgg	c ggacatgc	ac gacgtcctt	gcaggcacgg cctgcccgcc	2287
tetgateace	cgcagtttt	c gtaccgtc	ag accagataca	a agccccg	2334
<210> 12 <211> 297 <212> PRT <213> Acremo	nium thermo	ophilum			
<220>					
<221> caracter <222> (13)(13 <223> N = no i	3)	elánea			
<221> caracter <222> (13)(13 <223> N = no i	3) dentificado		g Ala Ala Le 10	u Ala Ala Ala Leu Pro 15	
<221> caracter <222> (13)(13 <223> N = no i <400> 12 Met Arg Ser 1	3) dentificado Ser Pro 5	Phe Leu Ar	10		
<221> caracter <222> (13)(13 <223> N = no i <400> 12 Met Arg Ser 1 Leu Ser Ala	3) dentificado Ser Pro 5 His Ala 20	Phe Leu Ar Leu Asp Gl	10 Lys Ser Th 25 CO Gly Lys Al	15 r Arg Tyr Trp Asp Cys	
<221> caracter <222> (13)(13 <223> N = no i <400> 12 Met Arg Ser 1 Leu Ser Ala Cys Lys Pro 35	Ser Pro 5 His Ala 20 Ser Cys	Phe Leu Ar Leu Asp Gl Gly Trp Pr 40	10 Lys Ser Th 25 To Gly Lys Al	15 r Arg Tyr Trp Asp Cys 30 a Ser Val Asn Gln Pro	
<pre><221> caracter <222> (13)(13 <223> N = no i <400> 12 Met Arg Ser 1 Leu Ser Ala Cys Lys Pro</pre>	Ser Pro 5 His Ala 20 Ser Cys Cys Ser	Phe Leu Ar Leu Asp Gl Gly Trp Pr 40 Ala Asp Tr 55	10 Ly Lys Ser Th 25 CO Gly Lys Al TP Gln Arg Il	r Arg Tyr Trp Asp Cys 30 a Ser Val Asn Gln Pro 45 e Ser Asp Phe Asn Ala 60 r Cys Ala Asp Gln Thr	
<pre><221> caracter <222> (13)(13 <223> N = no i <400> 12 Met Arg Ser 1 Leu Ser Ala Cys Lys Pro</pre>	Ser Pro 5 His Ala 20 Ser Cys Cys Ser Cys Asp	Phe Leu Ar Leu Asp Gl Gly Trp Pr 40 Ala Asp Tr 55 Gly Gly Se 70	10 Lys Ser Th 25 Lo Gly Lys Al Tp Gln Arg Il er Ala Tyr Se 75	r Arg Tyr Trp Asp Cys 30 a Ser Val Asn Gln Pro 45 e Ser Asp Phe Asn Ala 60 r Cys Ala Asp Gln Thr	

Thr Phe Asn Ser Gly Pro Val Ala Gly Lys Thr Met Val Val Gln Ser

Thr Ser Thr Gly Gly Asp Leu Gly Ser Asn Gln Phe Asp Leu Ala Ile 135 140 Pro Gly Gly Gly Val Gly Ile Phe Asn Gly Cys Ala Ser Gln Phe Gly Gly Leu Pro Gly Ala Gln Tyr Gly Gly Ile Ser Asp Arg Ser Gln Cys Ser Ser Phe Pro Ala Pro Leu Gln Pro Gly Cys Gln Trp Arg Phe Asp Trp Phe Gln Asn Ala Asp Asn Pro Thr Phe Thr Phe Gln Arg Val Gln 195 200 205 Cys Pro Ser Glu Leu Thr Ser Arg Thr Gly Cys Lys Arg Asp Asp Asp 215 Ala Ser Tyr Pro Val Phe Asn Pro Pro Ser Gly Gly Ser Pro Ser Thr Thr Ser Thr Thr Thr Ser Ser Pro Ser Gly Pro Thr Gly Asn Pro Pro Gly Gly Gly Cys Thr Ala Gln Lys Trp Ala Gln Cys Gly Gly Thr Gly Phe Thr Gly Cys Thr Thr Cys Val Ser Gly Thr Thr Cys Gln Val Gln Asn Gln Trp Tyr Ser Gln Cys Leu 295 <210> 13 <211> 2033 <212> ADN <213> Acremonium thermophilum <220> <221> CDS 10 <222> (259)..(702) <223> <220> <221> Intrón 15 <222> (703)..(857) <223> <220> <221> CDS 20 <222> (858)..(888) <223> <220> <221> Intrón 25 <222> (889)..(990)

<223>			
<220> <221> CDS <222> (991)(1268) <223>			
<400> 13 ctcgaggaga ggaaccgag	t ttgaaagatg cta	atatatog atagactaco ggogtogoot	60
cgccctgtcc gctctcttg	c attececetg tto	gatgagac gagacaaaat teetggttag	120
aaaagateeg tegeegaga	t ttcaccagtg gta	aagtcccg agaattggtc attcgacgtt	180
caatatgagt gtcaaagct	a tgggtcctaa caa	aagaagga agcaagagct ttaaagagac	240
		cta ccg act ctg ctc gcc ctc Leu Pro Thr Leu Leu Ala Leu 5 10	291
_		cag ggg gca tcc gga acc ggc Gln Gly Ala Ser Gly Thr Gly 25	339
_		aag ccg agc tgc gcg tgg cct Lys Pro Ser Cys Ala Trp Pro 40	387
		cag act tgc gac aag aat gac Gln Thr Cys Asp Lys Asn Asp 55	435
Arg Pro Leu Asn Asp		aag too ggo tgo gac aac ggt Lys Ser Gly Cys Asp Asn Gly 70 75	483
		agt ccc tgg gcc gtc aat gag Ser Pro Trp Ala Val Asn Glu 85 90	531
		cgt atc gcc ggc agt acc gag Arg Ile Ala Gly Ser Thr Glu 105	579
		ctc acc ttc acc agt ggg ccc Leu Thr Phe Thr Ser Gly Pro 120	627
		gec acg aac act ggt gga gac Ala Thr Asn Thr Gly Gly Asp 135	675
ctt ggg agc aac cac	ttt gac ctt gcg	gtatgtgggg tttttctttc	722

Leu Gly Ser Asn His Phe Asp Leu Ala 140 145	
ttcatcatcg ctctcaccat ggattcctcg gcgcaaggac caagattgag aagcgtcaat	782
gccgggttgg acacgggagc cgggatagga acacagaggc cgtttaagac cgtcagctga	842
cagcagagca attag att ccc gga ggt ggt gtt ggt cag tcc aat g Ile Pro Gly Gly Gly Val Gly Gln Ser Asn 150 155	888
gtaggttcct tccctgaagt accggcaaca gcctgtgcgt tgctgtatac cccttttaat	948
catagcatet teetgetgga tacaageeaa eecattttet ag et tge aeg aac Ala Cys Thr Asn 160	1001
cag tat ggt gcg ccc ccg aac ggc tgg ggc gac agg tat ggt ggc gtg Gln Tyr Gly Ala Pro Pro Asn Gly Trp Gly Asp Arg Tyr Gly Gly Val 165 170 175	1049
cac teg egg age gac tge gac age tte ece geg geg ete aag gee gge His Ser Arg Ser Asp Cys Asp Ser Phe Pro Ala Ala Leu Lys Ala Gly 180 185 190	1097
tgc tac tgg cga ttc gac tgg ttc cag ggc gcc gac aac ccg tcc gtg Cys Tyr Trp Arg Phe Asp Trp Phe Gln Gly Ala Asp Asn Pro Ser Val 195 200 205 210	1145
age tte aaa cag gta gee tge eeg gea gee ate aca get aag age gge Ser Phe Lys Gln Val Ala Cys Pro Ala Ala Ile Thr Ala Lys Ser Gly 215 220 225	1193
tgt act cgc cag aac gat gcc atc aac gag act ccg act ggg ccc agc Cys Thr Arg Gln Asn Asp Ala Ile Asn Glu Thr Pro Thr Gly Pro Ser 230 235 240	1241
act gtg cct acc tac acc gcg tca ggc tgaaagtcgg ctggggcacc Thr Val Pro Thr Tyr Thr Ala Ser Gly 245 250	1288
attgcccagg tgatggttgg gcatgtgtta gtctcactca ccagggacat ttgtcgcgac	1348
ctgatcatag gcgccagggg agttgaaagg ggttgccgta cgagaagaca ttttgtcgcc	1408
gtettaetee eagecaette tgtacatatt caatgacatt acatageeeg eaaatatgtt	1468
catatatcgt ggccgcccaa accgccccgg tttgcttagg ctggagctga agtggctcgc	1528
cgatggctgt caaaggcagt cggaatattc ctcgttgctt cggcaacacg gtagctgctt	1588
gaaccgtacc cagcattaga acaccccccg ccgagggett gctacgtcaa tggcggggtc	1648
tccaacccct gcgcggcaca aaaccaacca cgccctcgtc ttttatgatg tcctcgctca	1708
aacgtcccgt gacgacactc cgctcatggt ctggtcctct gatgtagaag gggtaggtca	1768
geogatggte gteacegteg teaatgette ceteaagett ettgeggeet ttateeteea	1828
actettecca catgagaact ccatetttee geetttteae aaageeactg eceteettgt	1888
caagggccaa aaaccaacgc egctgatgaa tgcttcegat cgtgtttgac gcgcccgggg	1948
tatgcatttg gttcggcgca cttttttcgt cctccagctc ccttaactcc cgttccatct	2008
gagagggtga ctcgtctact cgact	2033
<210> 14 <211> 251 <212> PRT <213> Acremonium thermophilum	

5

10

<400> 14

Met 1	Arg	Leu	Pro	Leu 5	Pro	Thr	Leu	Leu	A la 10	Leu	Leu	Pro	Tyr	Туг 15	Leu
Gl u	Val	Ser	A la 20	Gln	Gly	Ala	Ser	Gly 25	Thr	Gly	Thr	Thr	Thr 30	Arg	Туг
Trp	Asp	Суs 35	Cys	Lys	Pro	Ser	Cys 40	Ala	Trp	Pro	Leu	Lys 45	Gly	Asn	Ser
Pro	Ser 50	Pro	Val	Gln	Thr	Cys 55	Asp	Lys	Asn	Asp	Arg 60	Pro	Leu	Asn	Asp
Gly 65	Gly	Asn	Thr	Lys	Ser 70	Gly	Cys	Asp	Asn	Gly 75	Gly	Gly	Ala	Phe	Met 80
Cys	Ser	Ser	Gln	Ser 85	Pro	Trp	Ala	Val	Asn 90	Glu	Thr	Thr	Ser	Tyr 95	Gly
Trp	Ala	Ala	V al 100	Arg	Ile	Ala	Gly	Ser 105	Thr	Glu	Ser	Ala	Trp 110	Cys	Cys
Ala	Cys	Tyr 115	G1u	Leu	Thr	Phe	Thr 120	Ser	G1y	Pro	Val	Ser 125	G1y	Lys	Lys
Leu	Ile 130	Val	Gln	Ala	Thr	Asn 135	Thr	Gly	Gly	Asp	Leu 140	Gly	Ser	Asn	His
Phe 145	Asp	Leu	Ala	Ile	Pro 150	Gly	Gly	Gly	Val	Gly 155	Gln	Ser	Asn	Ala	Cys 160
Thr	Asn	Gln	Tyr	Gly 165	Ala	Pro	Pro	Asn	Gly 170	Trp	Gly	Asp	Arg	Tyr 175	Gly
Gly	Val	His	Ser 180	Arg	Ser	Asp	Cys	Asp 185	Ser	Phe	Pro	Ala	Ala 190	Leu	Lys
Ala	Gly	Cys 195	Tyr	Trp	Arg	Phe	Asp 200	Trp	Phe	Gln	Gly	Ala 205	Asp	Asn	Pro
Ser	Val 210	Ser	Phe	Lys	Gln	Val 215	Ala	Cys	Pro	Ala	Ala 220	Ile	Thr	Ala	Lys
Ser 225	G1y	Суз	Thr	Arg	G1n 230	Asn	Asp	Ala	Ile	Asn 235	G lu	Thr	Pro	Thr	G1 <u>y</u> 240
Pro	Ser	Thr	V al	Pro 245	Thr	Tyr	Thr	Ala	Ser 250	Gly					

```
10 <220>
<221> característica miscelánea
<222> (2786) .. (2786)
<223> N = no identificado
```

<213> Chaetomium thermophilum

<210> 15 <211> 2800

<212> ADN

<220> <221> CDS <222> (768)..(2042) <223>

<400> 15 ggatccaaga ccgatcccga ggattctcgg attatgtttg catctcaccc tccgaaaccg 60 catgaaaaat tgaaatgggc aactgtcgct gtgtttaatg ctttgcacat catgggatca 120 tgttcacccg ctctaatctc tcatcctcca gatcctatct atcctccgca tctagccggc 180 ttettgettg tgatecaaag eeetgateee aegeggette tagaegettt agaaattaca 240 cegaatetee ceatgeeett ettgeaatat etteeegace aggaaetteg ggtgeteaae 300 atecgegage ttgaegaega ecettettgg ceggettgge atgegaetet gttegggaet 360 caatgcaact ctgggccctt caatgccgcg catgaccgtt actgaggctt agccgcccca 420 ategettgge aeggtaeett geagaeggaa teeegggeee gttgteegat etgetttggt 480 teeggtagag aageetegga ggaagagaca caeggacaca aegattgegg geeccaatge 540 gctgctccta attgaggctc cgaggtcgtg tgccgtgtgg agaggccgcg actgggtctg 600 gggtgcggag gattgcggag atgaagataa tctgggtgca accgtggata cataaaaggg 660 agtagttete ecetetgtga aacettette eecaggatte teetegeete taagagteea 720 aagtcattca agacatccta cagcggggtc agtgagattc cataatc atg act cgc 776 Met Thr Arg 824 aag tte gea ete gtt eee ete ett etg ggt ett gee teg gee eag aaa Lys Phe Ala Leu Val Pro Leu Leu Gly Leu Ala Ser Ala Gln Lys 872 ccc qqc aac act cca qaa qtc cac ccc aaq atc acc act tac cqc tqc Pro Gly Asn Thr Pro Glu Val His Pro Lys Ile Thr Thr Tyr Arg Cys 20 25 30 35 920 age cac ege cag gga tge ege eeg gag aeg aac tac ate gte ete gae Ser His Arg Gln Gly Cys Arg Pro Glu Thr Asn Tyr Ile Val Leu Asp

				40					45					50		
					gtg Val											968
_				_	ccc Pro	_	_	_	_	_		_	_			1016
					atc Ile											1064
					ggc Gly 105				_		_	_			_	1112
	_	_			cct Pro	_	_				_	_	_		_	1160
_			_	_	cgt Arg									_	_	1208
					ccc Pro											1256
	_	_	-		ggc G1y	_	_		_						-	1304
					tac Tyr 185											1352
					aac As n											1400
_	_				gcc Ala		_	_	_				_	_		1448
					ggt Gly											1496
					gac Asp											1544
					tac Tyr 265											1592
_		_			acc Thr	-			_			_	-	_		1640
	_	_	_	_	atc Ile		_	_				_		_	_	1688

atc gag gcg cat acc gtc aac ctg ccg ggt tat cct caa gtg aac gcg Ile Glu Ala His Thr Val Asn Leu Pro Gly Tyr Pro Gln Val Asn Ala 310 315 320	1736
ctg aac gat gac ttc tgc cgt gcc acg gga gcc gcg acg aag tat ctt Leu Asn Asp Asp Phe Cys Arg Ala Thr Gly Ala Ala Thr Lys Tyr Leu 325 330 335	1784
gaa ctg ggt gcc act gcg ggt atg ggc gag gct ctg agg cgt ggt atg Glu Leu Gly Ala Thr Ala Gly Met Gly Glu Ala Leu Arg Arg Gly Met 340 345 350 355	1832
gtg ctg gct atg agc atc tgg tgg gat gag agc ggc ttc atg aac tgg Val Leu Ala Met Ser Ile Trp Trp Asp Glu Ser Gly Phe Met Asn Trp 360 365 370	1880
ctt gat agc ggc gag tct ggg ccg tgc aac ccg aac gag ggt aac cca Leu Asp Ser Gly Glu Ser Gly Pro Cys Asn Pro Asn Glu Gly Asn Pro 375 380 385	1928
cag aac att cgc cag att gag ccc gag ccg gag gtt acc tat agc aac Gln Asn Ile Arg Gln Ile Glu Pro Glu Pro Glu Val Thr Tyr Ser Asn 390 395 400	1976
ctg cgc tgg ggt gag att ggg tcg act tat aag cac aat ctg aag ggc Leu Arg Trp Gly Glu Ile Gly Ser Thr Tyr Lys His Asn Leu Lys Gly 405 410 415	2024
ggg tgg act ggc agg aac taagtgttgg ggattagagc ctgtgattgg Gly Trp Thr Gly Arg Asn 420 425	2072
atacctgtgg gttaaacggg gctcggtttg agagggttgt tgaaatttat ttctcgtaca	2132
tagttggcgt cttggcgaat atatgccccc aggactttga tccagtcttc gtccatttct	2192
ctgtgactta gttggtgcaa gtatcattgt tatgtcctgg gtgagacaaa gcaatctctt	2252
cagtggtcat gggtaaataa totacaggot gtgaatggog ttgogtcago otcattaact	2312
taaacgattg gactcccctt ttcctaatca tcgccgttgc cgtgtaactc tcctagatct	2372
cttgttgtat atggcttcaa ctcgaagtga agaaaaatgg atacggcgac ctctttgtgc	2432
caattttett getgttette eggtattgae eeteggeaag acaactatgg eeaatattet	2492
gttatagtcg gcagttagtg ttgtgtcgta caagtcgtgc gggagcaata ctcaacagcc	2552
gecettaata tggttattta egecaegaeg eactteatta eaeggetttg gggggtatat	2612
atteegttea aetetateee teatteggtg tgattgaacg tetecaacag tgaaagtata	2672
agtetgaeaa aaatgeecaa eegeeatgee actgatgate etgttgagat getegtggte	2732
tataacatcc tgtctaagtg ttacctccct aatgttagcc ccagttctgc tctncttgtc	2792
tcgacage	2800
<210> 16	

<220>

5

10

<221> característica miscelánea <222> (2786) .. (2786) <223> N = no identificado

<213> Chaetomium thermophilum

<400> 16

Met 1	Thr	Arg	Lys	Phe 5	Ala	Leu	Val	Pro	Leu 10	Leu	Leu	Gly	Leu	Ala 15	Ser
Ala	Gln	Lys	Pro 20	Gly	Asn	Thr	Pro	G1u 25	Val	His	Pro	Lys	Ile 30	Thr	Thr
Tyr	Arg	Cys 35	Ser	His	Arg	Gln	Gly 40	Cys	Arg	Pro	Glu	Thr 45	Asn	Tyr	Ile
Val	Leu 50	Asp	Ser	Leu	Thr	His 55	Pro	Val	His	Gln	Leu 60	Asn	Ser	Asn	Ala
Asn 65	Cys	Gly	Asp	Trp	Gly 70	Asn	Pro	Pro	Pro	Arg 75	Ser	Val	Cys	Pro	Asp 80
Val	Glu	Thr	Cys	Ala 85	Gln	Asn	Cys	Ile	Met 90	Glu	Gly	Ile	Gln	Asp 95	Tyr
Ser	Thr	Tyr	Gly 100	Val	Thr	Thr	Ser	Gly 105	Ser	Ser	Leu	Arg	Leu 110	Lys	Gln
Ile	His	Gln 115	Gly	Arg	Val	Thr	Ser 120	Pro	Arg	Val	Tyr	Leu 125	Leu	Asp	Lys
Thr	Glu 130	Gln	G1n	Tyr	Glu	Met 135	Met	Arg	Leu	Thr	Gly 140	Phe	Glu	Phe	Thr
Phe 145	Asp	Val	Asp	Thr	Thr 150	Lys	Leu	Pro	Cys	Gly 155	Met	Asn	Ala	Ala	Leu 160
Tyr	Leu	Ser	Glu	Met 165	Asp	Ala	Thr	Gly	Ala 170	Arg	Ser	Arg	Leu	Asn 175	Pro
Gly	Gly	Ala	Tyr 180	Tyr	Gly	Thr	Gly	Tyr 185	Cys	Asp	Ala	Gln	Cys 190	Phe	Val
Thr	Pro	Phe 195	Ile	Asn	Gly	Ile	Gly 200	Asn	Ile	Glu	Gly	Lys 205	Gly	Ser	Суѕ
Cys	Asn 210	Glu	Met	Asp	Ile	Trp 215	Glu	Ala	Asn	Ser	Arg 220	Ser	Gln	Ser	Ile
Ala 225	Pro	His	Pro	Cys	Asn 230	Lys	Gln	Gly	Leu	Tyr 235	Met	Cys	Ser	Gly	Gln 240

Glu Cys Glu Phe Asp Gly Val Cys Asp Glu Trp Gly Cys Thr Trp Asn Pro Tyr Lys Val Asn Val Thr Asp Tyr Tyr Gly Arg Gly Pro Gln Phe 260 265 Lys Val Asp Thr Thr Arg Pro Phe Thr Val Ile Thr Gln Phe Pro Ala Asp Gln Asn Gly Lys Leu Thr Ser Ile His Arg Met Tyr Val Gln Asp 295 Gly Lys Leu Ile Glu Ala His Thr Val Asn Leu Pro Gly Tyr Pro Gln Val Asn Ala Leu Asn Asp Asp Phe Cys Arg Ala Thr Gly Ala Ala Thr 325 330 Lys Tyr Leu Glu Leu Gly Ala Thr Ala Gly Met Gly Glu Ala Leu Arg Arg Gly Met Val Leu Ala Met Ser Ile Trp Trp Asp Glu Ser Gly Phe Met Asn Trp Leu Asp Ser Gly Glu Ser Gly Pro Cys Asn Pro Asn Glu Gly Asn Pro Gln Asn Ile Arg Gln Ile Glu Pro Glu Pro Glu Val Thr 390 Tyr Ser Asn Leu Arg Trp Gly Glu Ile Gly Ser Thr Tyr Lys His Asn 410 Leu Lys Gly Gly Trp Thr Gly Arg Asn 420 <210> 17 <211> 1943 <212> ADN <213> Thermoascus aurantiacus <220> <221> CDS 10 <222> (13) .. (256) <223> <220> <221> Intrón 15 <222> (257)..(329) <223> <220> <221> CDS 20 <222> (330)..(370) <223> <220> <221> Intrón 25 <222> (371)..(444)

```
<223>
      <220>
      <221> CDS
 5
      <222> (445)..(493)
      <223>
      <220>
      <221> Intrón
10
      <222> (494)..(561)
      <220>
      <221> CDS
15
      <222> (562)..(683)
      <223>
      <220>
      <221> Intrón
20
      <222> (684)..(786)
      <223>
      <220>
      <221> CDS
25
      <222> (787)..(932)
      <223>
      <220>
      <221> Intrón
30
      <222> (933)..(1001)
      <223>
      <220>
      <221> CDS
35
      <222> (1002)..(1090)
      <223>
      <220>
      <221> Intrón
40
      <222> (1091)..(1155)
      <223>
      <220>
      <221> CDS
45
      <222> (1156)..(1174)
      <223>
      <220>
      <221> Intrón
50
      <222> (1175)..(1267)
      <223>
      <220>
      <221> CDS
      <222> (1268)..(1295)
55
      <223>
      <220>
      <221> Intrón
60
      <222> (1296)..(1361)
      <223>
      <220>
      <221> CDS
      <222> (1362)..(1451)
65
      <223>
```

	<220> <221> Intrón	
5	<222> (1452)(1551) <223>	
10	<220> <221> CDS <222> (1552)(1617) <223>	
15	<220> <221> Intrón <222> (1618)(1829) <223>	
	<220> <221> CDS <222> (1830)(1922)	
20	<pre><223> <400> 17 ccgcgggaag cc atg gtt cga cca acg atc cta ctt act tca ctc ctg cta</pre>	51
	gct ccc ttc gca gct gcg agc cct atc ctc gag gaa cgc caa gct gca Ala Pro Phe Ala Ala Ala Ser Pro Ile Leu Glu Glu Arg Gln Ala Ala 15 20 25	99
	cag agt gtc gac caa ctg atc aag gct cgc ggc aag gtg tac ttt ggc Gln Ser Val Asp Gln Leu Ile Lys Ala Arg Gly Lys Val Tyr Phe Gly 30 35 40 45	147
	qtc qcc acq qac caa aac cqq ctq acq acc qqc aaq aat qcq qct atc	195

Val Ala Thr Asp Gln Asn Arg Leu Thr Thr Gly Lys Asn Ala Ala Ile 50 55 60	
atc cag gct gat ttc ggc cag gtc acg ccg gag aat agt atg aaa tgg Ile Gln Ala Asp Phe Gly Gln Val Thr Pro Glu Asn Ser Met Lys Trp 65 70 75	243
gac gct act gaa c gtgcgtgaga aagataattt gatttttttc ttctatgacc Asp Ala Thr Glu 80	296
gctcggaccg ttctgactag gtttataata tag ct tct caa gga aac ttc aac Pro Ser Gln Gly Asn Phe Asn 85	349
ttt gcc ggt gct gat tac ctt gtacgtacat acgaccactt gacgtttctt Phe Ala Gly Ala Asp Tyr Leu 90 95	400
gcacgcaact gcgattgagg agaagatact aatcttettg aaag gte aat tgg gee Val Asn Trp Ala	456
cag caa aat gga aag etg ate egt gge cat act ett g gttagtagaa Gln Gln Asn Gly Lys Leu Ile Arg Gly His Thr Leu 100 105 110	503
cgccaacctg cttccctaac ttactgaaga aggaaaaccg aattgaccgt cccccaag	561
ta tgg cac tcg cag ctg ccc tcg tgg gtg agc tcc atc acc gac aag Val Trp His Ser Gln Leu Pro Ser Trp Val Ser Ser Ile Thr Asp Lys 115 120 125	608
aat acg ctg acc aac gtg atg aaa aat cac atc acc acc ttg atg acc Asn Thr Leu Thr Asn Val Met Lys Asn His Ile Thr Thr Leu Met Thr 130 135 140	656
cgg tac aag ggc aag atc cgt gca tgg gtcagtcatc ctaccctaag Arg Tyr Lys Gly Lys Ile Arg Ala Trp 145 150	703
ctgcgtttca atgaagagac aaataagaac acacgtattt gcccgggcgt ttcagaatca	763
gaactgacag aatcactgaa tag gac gtg gtg aac gag gca ttc aac gag gat Asp Val Val Asn Glu Ala Phe Asn Glu Asp 155 160	816
ggc tcc ctc cgc cag act gtc ttc ctc aac gtc atc ggg gag gat tac Gly Ser Leu Arg Gln Thr Val Phe Leu Asn Val Ile Gly Glu Asp Tyr 165 170 175	864
ate eeg att get tte eag ace gee ege gee get gae eeg aat gee aag Ile Pro Ile Ala Phe Gln Thr Ala Arg Ala Ala Asp Pro Asn Ala Lys 180 185 190	912
ctg tac atc aac gat tac aa gtaagattta aggctcagtg atattccatt Leu Tyr Ile Asn Asp Tyr Asn 195 200	962
tagtgtgaga agcattgctt atgagcatct gtattacag c ctc gac agt gcc tcg Leu Asp Ser Ala Ser 205	1017
tac coc aag acg cag goc att gtc aac cgc gtc aag caa tgg cgt gca Tyr Pro Lys Thr Gln Ala Ile Val Asn Arg Val Lys Gln Trp Arg Ala	1065

	210	215	220
	ccg att gac ggc ata Pro Ile Asp Gly Ile 230	g gtatgtetet etttet	gttt 1110
gtgatgtgac (egatttgaaa eeagtetaad		a tcg caa acg 1166 ly Ser Gln Thr
cac ctc ag His Leu Ser 235	gtaaataatc gggaatgco	et cggagaataa aagaga	aaaa 1214
aaatgattgt (cttatcagat cgtatcgact	gactcatggc ttgtcca	aaa tag c gct 1271 Ala
	gcc ggt gtt cta caa Ala Gly Val Leu Gln 245	taagtgeeee eeteeeet	at tttttactat 1325
tattgcgaga g	geggaatagg etgaeaaeed		ctc ctt gct 1379 Leu Leu Ala 250
	act ccc gag gtc gct Thr Pro Glu Val Ala 260		
	acg gat tac gtc aat Thr Asp Tyr Val Asn 275	gtatgtacct cgttgtcc	ct atcccccttg 1481
gatactttgt a	ataattatta tetteeegga	geetgttgat eagatet	gac gatcatttct 1541
	gtc gtg aac gct tgc o Val Val Asn Ala Cys I 280		
	tgg ggc gtg gca gat Trp Gly Val Ala Asp 295		tccgta 1637
ctccgtaccc a	aactagagtt cgggctgtca	a cgtcatgtct tagtcgt	ctt cagtcaggcc 1697
aaggccaaga (cacaggacct gaaacgggca	a ggcagcagct gctagca	gcc caagaagcag 1757
ccacatgatg (satgattatt attattatat	ctccgagttc tgggcta	acg attggtgata 1817
ataaataaat a	ag gac tca tgg cgt go Asp Ser Trp Arg Al 300	et agc acg acg cct c La Ser Thr Thr Pro L 305	
	aac ccg aag ccg gcg Asn Pro Lys Pro Ala 315		
cag cag tgag Gln Gln	gtataga ccggtggatc c		1943
<210> 18 <211> 329 <212> PRT <213> Thermoa	ascus aurantiacus		

5

<400> 18

Met 1	Val	Arg	Pro	Thr 5	Ile	Leu	Leu	Thr	Ser 10	Leu	Leu	Leu	Ala	Pro 15	Phe
Ala	Ala	Ala	Ser 20	Pro	Ile	Leu	Glu	Glu 25	Arg	Gln	Ala	Ala	Gln 30	Ser	Val
Asp	Gln	Leu 35	Ile	Lys	Ala	Arg	Gly 40	Lys	Val	Tyr	Phe	Gly 45	Val	Ala	Thr
Asp	Gln 50	Asn	Arg	Leu	Thr	Thr 55	Gly	Lys	Asn	Ala	Ala 60	Ile	Ile	Gln	Ala
Asp 65	Phe	Gly	Gln	Val	Thr 70	Pro	Glu	Asn	Ser	Met 75	Lys	Trp	Asp	Ala	Thr 80
Glu	Pro	Ser	Gln	Gly 85	Asn	Phe	Asn	Phe	Ala 90	Gly	Ala	Asp	Tyr	Le u 95	Val
Asn	Trp	Ala	Gln 100	Gln	Asn	Gly	Lys	Leu 105	Ile	Arg	Gly	His	Thr 110	Leu	Val
Trp	His	Ser 115	Gln	Leu	Pro	Ser	Trp 120	Val	Ser	Ser	Ile	Thr 125	Asp	Lys	Asn
Thr	Leu 130	Thr	Asn	Val	Met	Lys 135	Asn	His	Ile	Thr	Thr 140	Leu	Met	Thr	Arg
Tyr 145	Lys	Gly	Lys	Ile	Arg 150	Ala	Trp	Asp	Val	Val 1 55	Asn	Glu	Ala	Phe	Asn 160
G1u	Asp	Gly	Ser	Leu 165	Arg	Gln	Thr	Val	Phe 170	Leu	Asn	Val	Ile	Gly 175	Glu
Asp	Tyr	Ile	Pro 180	Ile	Ala	Phe	Gln	Thr 185	Ala	Arg	Ala	Ala	Asp 190	Pro	Asn
Ala	Lys	Leu 195	Tyr	Ile	Asn	Asp	Tyr 200	Asn	Leu	Asp	Ser	A1a 205	Ser	Tyr	Pro
Lys	Thr 210	Gln	A1a	Ile	Val	Asn 215	Arg	Val	Lys	Gln	Trp 220	Arg	Ala	Ala	Gly
Val 225	Pro	Ile	Asp	G1y	11e 230	Gly	Ser	G1n	Thr	His 235	Leu	Ser	Ala	G1y	Gln 240

	Gly	Ala	Gly	Val	Leu 245	Gln	Ala	Leu	Pro	Leu 250	Leu	Ala	Ser	Ala	Gly 255	Thr		
	Pro	Glu	Val	Ala 260	Ile	Thr	Glu	Leu	Asp 265	Val	Ala	Gly	Ala	Ser 270	Pro	Thr		
	Asp	Tyr	Val 275	Asn	Val	Val	Asn	Ala 280	Cys	Leu	Asn	Val	Gln 285	Ser	Cys	Val		
	Gly	Ile 290	Thr	Val	Trp	Gly	Val 295	Ala	Asp	Pro	Asp	Ser 300	Trp	Arg	Ala	Ser		
	Thr 305	Thr	Pro	Leu	Leu	Phe 310	Asp	Gly	Asn	Phe	As n 315	Pro	Lys	Pro	Ala	Tyr 320		
	Asn	Ala	Ile	Val	Gln 325	Asp	Leu	Gln	Gln									
5	<210 <211 <212 <213	> 295 > AD	N	nium 1	therm	ophil	um											
10	<220 <221 <222 <223	> CD > (13		(1671)													
15	<220 <221 <222 <223	> Intr > (16		(1806)													
20	<220 <221 <222 <223	> CD > (18		(2032)													
25	<220 <221 <222 <223	> Intr > (20		(2117)													
30	<220 <221 <222 <223	> CD > (21		(2802)													
	<400 tcta		etg t	cgad	egegg	lc cč	jcgta	atac	gac	ctcac	tat:	aggg	jcgaa	ıga a	itteg	gate	a .	60
	cgtt	tgct	tc a	agcaa	ıgtcç	jt to	geta	ıcgac	acc	acgt	.cca	tgat	ggaç	ige d	ctga	ittcaa	a	120
35	tcat	acca	ag g	gacgo	gggca	ıt ga	tggo	tgat	. ggc	tgga	ictc	gaaç	jtgaç	jtg <u>c</u>	leced	tggct	t.	180

gaatttteet teeegttete taeagteett eesteagega easateegea gttttgas	ag 240
eggaaategt caggatgete egeettetet egeaacetga gtgcccagge gtetegge	ca 300
ccgtctctta tatatggccg ctgggtccgc ctttcgatcg gttttcgatt tggtctct	ac 360
tagttocete agetgaceeg ggatateget tgtggeteeg aaaceteace ateceaga	acg 420
agcaagttet eegeagteea eeteagetea teeggeeett ggtageateg eagegaee	ecc 480
agacgaaggc accaaagaag catactatat attaggctaa atcgagcccc acgtggaa	ita 540
tttgccatcg aggaggggtg gttgggcttc ttgtcctcgc aggtgctgcg cctgtacc	ta 600
cctggtgctc cagctggtgc tcccgctggt gctgttccag tcgccgtctg gccccaat	gc 660
tetgtatete ggttegteec geaeteettt egecaagege taccaatget ttgacgaa	acc 720
cggtaaattt gcagtggacc tgcagctggg caaacccgca gtgggaacca cagacctg	jgt 780
tegttegaca caetecaate geaacecege eegegeaaac ettgeaceac atgtegee	ecc 840
tttcccagtt gggtccctga agacacggag ccacttccgt gatcgtcggc tccccaac	gcc 900
gacagtegga egetgeaata ggatgeeage accegtggat ecaagggeea gtgacee	aa 960
ctctttcgcg gtattctggc cctcccaaag gtatgccagg acttccctgt ctttgcta	acc 1020
accagototo otocaeggeg gaacggatac geogtotoge eggetettge tegacaac	at 1080
gcgagggggc gcgaaggcta ggttgtgacg atgcgacggt gcgatgtcac catttgg	ag 1140
tgatgtttte egttgteece ttetecaece tgegeegttt ceteaaagae geeceaac	ca 1200
taaatacgat gcgacgccaa ccttcatgtg ttcgtggcat cttgcctgac cagtctca	ıgc 1260
aagaaacctg tggcggcgcg attgtcttga ccttctgatt gaaaacggat ctgcgtc	etc 1320
ctcgatagcc gacc atg cgc gcc aag caa ctc ctg gcg gcc ggc ctg ctg Met Arg Ala Lys Gln Leu Leu Ala Ala Gly Leu Leu 1 5 10	-
gcc ccc gcg tcc gtc tcg gcc cag ctc aac agc ctc gcc gtg gcg gct Ala Pro Ala Ser Val Ser Ala Gln Leu Asn Ser Leu Ala Val Ala Ala 15 20 25	
Ala Pro Ala Ser Val Ser Ala Gln Leu Asn Ser Leu Ala Val Ala Ala	1466
Ala Pro Ala Ser Val Ser Ala Gln Leu Asn Ser Leu Ala Val Ala Ala 15 20 25 gge etc aag tae tte gge acg gee gtg egg gag gee aae gte aae gge Gly Leu Lys Tyr Phe Gly Thr Ala Val Arg Glu Ala Asn Val Asn Gly	1466 7 1514
Ala Pro Ala Ser Val Ser Ala Gln Leu Asn Ser Leu Ala Val Ala Ala 20 25 gge etc aag tac tte gge acg gee gtg egg gag gee aac gte aac gge Gly Leu Lys Tyr Phe Gly Thr Ala Val Arg Glu Ala Asn Val Asn Gly 30 35 40 gac gee acc tac atg teg tac gte aac aac aag tee gag tte gge cac Asp Ala Thr Tyr Met Ser Tyr Val Asn Asn Lys Ser Glu Phe Gly Glr	1466 7 1514 1
Ala Pro Ala Ser Val Ser Ala Gln Leu Asn Ser Leu Ala Val Ala Ala 15 gge etc aag tac tte gge acg gee gtg egg gag gee aae gte aac gge Gly Leu Lys Tyr Phe Gly Thr Ala Val Arg Glu Ala Asn Val Asn Gly 30 gac gee acc tac atg teg tac gte aac aac aag tee gag tte gge cag Asp Ala Thr Tyr Met Ser Tyr Val Asn Asn Lys Ser Glu Phe Gly Glr 45 gtg acg ecc gag aac gge cag aag tgg gat tee acc gag cee age val Thr Pro Glu Asn Gly Gln Lys Trp Asp Ser Thr Glu Pro Ser Glr	1466 7 1514 1562

95	100		105	
ctc ccc agc tgg Leu Pro Ser Trp 110	g gtcagtgact ct	ctctttct ctc	tgtettt etetttgtet	1711
ttctctcttt ctctc	ctetet etetetete	t ctctctctct	ctctctccca tccagcatc	g 1771
actgctgatc ttgct	gacca gaagctegt:		tca tcc gga agt tgg Ser Ser Gly Ser Trp 115	1823
			cac atc tcg aac gtg His Ile Ser Asn Val 130	1871
			gac gtg gtc aac gag Asp Val Val Asn Glu 150	1919
			gte tte tac aac acc Val Phe Tyr Asn Thr 165	1967
			gcc gcg aag aag gcc Ala Ala Lys Lys Ala 180	2015
gat geg gge geg Asp Ala Gly Ala 185	aag ct gtaggtg Lys Leu	teg geetttae	gt tgeegeageg	2062
cacctccgcg acatg	gagece cagagegeg	t ggctaatagt	tecteaegea egeag g	2118
			gcc aag acc aac acg Ala Lys Thr Asn Thr 200	2166
			ggc gcg ccc atc gac Gly Ala Pro Ile Asp 220	221 4
			tca acg ccg tcg cgc Ser Thr Pro Ser Arg 235	2262
			gcg ctt ggc ctg gag Ala Leu Gly Leu Glu 250	2310
		Arg His Ser	agc ctg ccg ccg tcg Ser Leu Pro Pro Ser 265	2358
		-	gcc agc gtg gtg ggc Ala Ser Val Val Gly 280	2406
			acc atc tgg ggg ttc Thr Ile Trp Gly Phe 300	2454
			ccc ggc tcg ggc gcg Pro Gly Ser Gly Ala 315	2502

Ala											ccg Pro					2550
											ccg Pro					2598
											acg Thr 360					2646
											agc Ser					2694
											ggc Gly					2742
											cag Gln					2790
	_	tgc Cys 41 5	_	tgad	ccaco	cac ç	ggat	gacca	ig ct	gcca	attco	gad	ccacç	3333		2842
cccç	gact	ac a	aaaa	agago	gg ga	ıcggt	gtaa	a ata	aaga	ıgcc	gaad	gggt	ct a	acgta	acactg	2902
++++	gaco	ett 1	+++										_			2055
				oge	ig ac	gtat	catta	ı tça	latta	itag	ttgg	jattt	ct a	aga		2955
<210 <211 <212	- > 20 > 416 > PR	S T	nium 1	_	_	_	Jacta	1 tCa	iatta	itag	ttgg	jatt t	ct a	aga		2955
<210 <211 <212	- > 20 > 416 > PR > Acr	S T		_	_	_	Jacta	i tCa	iatta	itag	ttgg	jatt t	et a	aga		2935
<210 <211 <212 <213 <400	- > 20 > 416 > PR > Acr > 20	S T remor	nium 1	therm	ophili	um					Leu				Ser	2955
<210 <211 <212 <213 <400 Met 1	> 20 > 416 > PR > Acr > 20 Arg	S T remor Ala	nium 1 Lys	therm Gln 5	ophili Leu	um Leu	Ala	Ala	Gly 10	Leu		Ala	Pro	Ala 15		2955
<210 <211 <212 <213 <400 Met 1	> 20 > 416 > PR > Acr > 20 Arg	S T Temor Ala Ala	Lys Gln 20	Gln 5	Leu Asn	um Leu Ser	Ala Leu	Ala Ala 25	Gly 10 Val	Leu Ala	Leu	Ala Gly	Pro Leu 30	Ala 15	Tyr	2955
<210 <211 <212 <213 <400 Met 1 Val	> 20 > 416 > PR > Acr > 20 Arg	Thremor	Lys Gln 20 Ala	Gln 5 Leu Val	Leu Asn Arg	Leu Ser Glu	Ala Leu Ala 40	Ala Ala 25 Asn	Gly 10 Val	Leu Ala Asn	Leu Ala	Ala Gly Asp 45	Pro Leu 30	Ala 15 Lys	Tyr Tyr	2955
<210 <211 <212 <213 <400 Met 1 Val	> 20 > 416 > PR > Acr > 20 Arg Ser Gly	Tremor Ala Ala Thr 35	Lys Gln 20 Ala Val	Gln 5 Leu Val	Leu Asn Arg	Leu Ser Glu Lys 55	Ala Leu Ala 40 Ser	Ala 25 Asn Glu	Gly 10 Val Val	Leu Ala Asn Gly	Leu Ala Gly	Ala Gly Asp 45 Val	Pro Leu 30 Ala	Ala 15 Lys Thr	Tyr Tyr Glu	2900

Val	Leu	Arg	Cys 100	His	Thr	Leu	Val	Trp 105	Tyr	Ser	Gln	Leu	Pro 110	Ser	Trp
Val	Ser	Ser 115	Gly	Ser	Trp	Thr	Arg 120	Ala	Thr	Leu	Gln	Ser 125	Val	Ile	Glu
Thr	His 130	Ile	Ser	Asn	Val	Met 135	Gly	His	Tyr	Lys	Gly 140	Gln	Суѕ	Tyr	Ala
Trp 145	Asp	Val	Val	Asn	Glu 150	Ala	Ile	Asn	Asp	Asp 155	Gly	Thr	Trp	Arg	Thr 160
Ser	Val	Phe	Tyr	Asn 165	Thr	Phe	Asn	Thr	As p 1 70	Tyr	Leu	Ala	Ile	Ala 175	Phe
Asn	Ala	Ala	Lys 180	Lys	Ala	Asp	Ala	Gly 185	Ala	Lys	Leu	Tyr	Tyr 190	Asn	Asp
Tyr	Asn	Leu 195	G1 u	Tyr	Asn	Gly	Ala 200	Lys	Thr	Asn	Thr	Ala 205	Val	G1n	Leu
Val	Gln 210	Ile	Val	Gln	Gln	Ala 215	Gly	Ala	Pro	Ile	As p 220	Gly	Val	Gly	Phe
Gln 225	Gly	His	Leu	Ile	Val 230	Gly	Ser	Thr	Pro	Ser 235	Arg	Ser	Ser	Leu	Ala 240
Thr	Ala	Leu	Lys	Arg 245	Phe	Thr	Ala	Leu	Gly 250	Leu	Glu	Val	Ala	Tyr 255	Thr
Glu	Leu	Asp	Ile 260	Arg	His	Ser	Ser	Leu 265	Pro	Pro	Ser	Ser	Ala 270	Ala	Leu
Ala	Thr	Gln 275	Gly	Aşn	Asp	Phe	Ala 280	Ser	Val	Val	Gly	Ser 285	Cys	Leu	As p
Val	Ala 290	Gly	Cys	Val	Gly	Ile 295	Thr	Ile	Trp	Gly	Phe 300	Thr	Asp	Lys	Tyr
Ser 305	Trp	Val	Pro	Asp	Thr 310	Phe	Pro	Gly	Ser	Gly 315	Ala	Ala	Leu	Leu	Tyr 320
Asp	Ala	As n	Tyr	Ser 325	Lys	Lys	Pro	Ala	Trp 330	Thr	Ser	Val	Ser	Ser 33 5	Val
Leu	Ala	Ala	Lys 340	Ala	Thr	Asn	Pro	Pro 345	Gly	Gly	Gly	Asn	Pro 350	Pro	Pro

Val Thr Thr Thr Thr Thr Thr Thr Thr Ser Lys Pro Ser Gln Pro

365

```
Thr Thr Thr Thr Thr Thr Ser Pro Gln Gly Pro Gln Gln Thr His
      Trp Gly Gln Cys Gly Gly Ile Gly Trp Thr Gly Pro Gln Ser Cys Gln
      Ser Pro Trp Thr Cys Gln Lys Gln Asn Asp Trp Tyr Ser Gln Cys Leu
                       405
                                             410
                                                                   415
     <210> 21
     <211> 5092
     <212> ADN
 5
     <213> Thermoascus aurantiacus
     <220>
     <221> CDS
10
     <222> (669)..(728)
     <223>
     <220>
     <221> Intrón
15
     <222> (729)..(872)
     <223>
     <220>
     <221> CDS
20
     <222> (873)..(1015)
     <223>
     <220>
     <221> Intrón
25
     <222> (1016)..(1082)
     <223>
     <220>
     <221> CDS
30
     <222> (1083)..(1127)
     <223>
     <220>
     <221> Intrón
35
     <222> (1128)..(1183)
     <223>
     <220>
     <221> CDS
40
     <222> (1184)..(1236)
     <223>
     <220>
     <221> Intrón
45
     <222> (1237)..(1300)
     <220>
     <221> CDS
50
     <222> (1301)..(1717)
     <223>
     <220>
```

360

355

<221> Intrón <222> (1718)..(1776)

	<223>						
5	<220> <221> CDS <222> (1777). <223>	.(2489)					
10	<220> <221> Intrón <222> (2490). <223>	.(2599)					
15	<220> <221> CDS <222> (2600). <223>	.(3469)					
20	<220> <221> Intrón <222> (3470). <223>	.(3531)					
25	<220> <221> CDS <222> (3532). <223>	.(3759)					
	<400>21 ggatccgtcc	gcggacacag	gcagagagac	ggcacgggga	ctcgacctga	tcctcccagg	60
	geggggtgtt	gtttgtggcg	agggagcgat	gctgatgttc	ttccagctcc	gttgctacct	120
	teceaeggee	atttagccgg	cggacggcat	gtaacatgtc	aaacatgtgg	gctcggcagt	180
	gggggcgtga	gacgcagcac	ctgacccggc	ggegeggege	ttgcagggtc	cagggacagc	240
	cggccgtggt	cgtttgcggg	gaaggcgaca	cagacgactt	ggegeggeee	gccggaaggc	300
	gaggaatcat	gagtgcgacg	gagacatggc	aagaccacgg	ccttcctggc	gaagaagaag	360
	atgaataatc	gcaggggcag	tgtggcatgg	accgcacggc	cgccagggac	ctgccccgtg	420
	aggtttctcg	ggtgtttcca	ctggttccat	cgctgggggc	gatecegage	ccgtgtgccc	480
	gtgtaactat	tattgacgat	caacatgcca	tggccagcca	gcttctataa	taatcatata	540
	taacaccccc	cgttctcccg	ctgccttgct	ccgtggtctt	cctggtcctg	cttgaggttc	600

acgagtetee ttgcatggte aactegteet etgetteate egetgettga etcegtacet	660
cagcaacc atg agg ctt ggg tgg ctg gag ctg gcc gtc gcg gcg gcc gca Met Arg Leu Gly Trp Leu Glu Leu Ala Val Ala Ala Ala Ala 1 5 10	710
ace gte gee age gee aag gtgegteaga eeeteeeeg gategaeett Thr Val Ala Ser Ala Lys 15 20	758
taggtgette tteagcaagt gegegeegge egegacatee geegeegetg eecteaeega	818
egeageacee atatgeagea ggagagaagg catetetgae gaaageteee eeag gat Asp	875
gac ttg gcc tac tcg ccg cct ttc tac ccg tcg cca tgg atg aac gga Asp Leu Ala Tyr Ser Pro Pro Phe Tyr Pro Ser Pro Trp Met Asn Gly 25 30 35	923
aac gga gag tgg gcg gag gcc tac cgc agg gct gtc gac ttc gtc tcg Asn Gly Glu Trp Ala Glu Ala Tyr Arg Arg Ala Val Asp Phe Val Ser 40 45 50	971
cag ctg acc ctc gcg gag aag gtc aac ctg acg acc ggt gtc gg Gln Leu Thr Leu Ala Glu Lys Val Asn Leu Thr Thr Gly Val Gly 55 60 65	1015
gtgagtccat tgacctctac cgagcccccg ttccatgtcc attgagcaat tggctgacgt	1075
cttgaag c tgg atg cag gag aaa tgt gtc ggt gaa acg ggc agc att ccg Trp Met Gln Glu Lys Cys Val Gly Glu Thr Gly Ser Ile Pro 70 75 80	1125
ag gtaggeteae tteecaatge egetgeaaag gaggtgteta aactggaata aateag Arg	1183
a ctg ggg ttc cgt gga ctg tgc ctc caa gac tcg ccc ctt ggt gtc aga Leu Gly Phe Arg Gly Leu Cys Leu Gln Asp Ser Pro Leu Gly Val Arg	
85 90 95	1232
ttt g gtaggtcttt caacagagaa caagggtcgt cgcgggagag atgctgatcg Phe 100	1232 1286
ttt g gtaggtottt caacagagaa caagggtogt ogogggagag atgotgatog Phe	
ttt g gtaggtcttt caacagagaa caagggtcgt cgcgggagag atgctgatcg Phe 100 atacctactt ttag ct gac tac gtt tct gcc ttc ccc gcc ggt gtc aat Ala Asp Tyr Val Ser Ala Phe Pro Ala Gly Val Asn	1286
ttt g gtaggtcttt caacagagaa caagggtcgt cgcgggagag atgctgatcg Phe 100 atacctactt ttag ct gac tac gtt tct gcc ttc ccc gcc ggt gtc aat Ala Asp Tyr Val Ser Ala Phe Pro Ala Gly Val Asn 105 gtc gct gca acg tgg gat aag aac ctc gcc tac ctt cgt ggg aag gcg Val Ala Ala Thr Trp Asp Lys Asn Leu Ala Tyr Leu Arg Gly Lys Ala	1286 1335
ttt g gtaggtett caacagagaa caagggtegt egegggagag atgetgateg Phe 100 atacetaett ttag et gae tae gtt tet gee tte eee gee ggt gte aat Ala Asp Tyr Val Ser Ala Phe Pro Ala Gly Val Asn 105 110 gte get gea aeg tgg gat aag aac ete gee tae ett egt ggg aag geg Val Ala Ala Thr Trp Asp Lys Asn Leu Ala Tyr Leu Arg Gly Lys Ala 115 120 125 atg ggt gag gaa eae egt ggt aag gge gte gae gte eag etg gga eet Met Gly Glu Glu His Arg Gly Lys Gly Val Asp Val Gln Leu Gly Pro	1286 1335 1383

165		170	175
atc aag ggt atc cag g Ile Lys Gly Ile Gln A 180			
att ggt aac gag atg g Ile Gly Asn Glu Met G 195			u Ala Val Gly
tat ggt ttc gat att a Tyr Gly Phe Asp Ile T 210			
acg ctt cac gag ctg t Thr Leu His Glu Leu T 225			
gtaagcagtc cccccctcat	aggtgattgt ac	atgtgtat ttctga	ctcg ctttcaaag 1776
ct ggc gtt ggt tcg t Ala Gly Val Gly Ser F 2			-
tac age tge teg aac a Tyr Ser Cys Ser Asn S 260			
ctt gat ttt cag ggc t Leu Asp Phe Gln Gly F 275			
ggc gtt gga gct gcc c Gly Val Gly Ala Ala I 290			t Pro Gly Asp
acc gcc ttt ggt acc g Thr Ala Phe Gly Thr G 305	_		_
gec gtt etc aac ggt a Ala Val Leu Asn Gly 1 320			
gtt ege ate atg geg g Val Arg Ile Met Ala A 340			
gtg eeg gte aac tte g Val Pro Val Asn Phe A 355			
cac gca ctg gtt ggc c His Ala Leu Val Gly 6 370	-		p Lys Val Asp
gtt cgt gcc gac cat g Val Arg Ala Asp His A 385			
gtt gtc ctt ctt aag a Val Val Leu Leu Lys A 400 4		_	
aag ttc acc gga gtt t	tt gga gag gat	gcc gga tcg aa	c cgt tgg ggc 2351

	Val Phe Gly Gl 420	u Asp Ala Gly 425	Ser Asn Arg Trp Gly 430	
			ggc acg ttg gca atg Gly Thr Leu Ala Met 445	2399
		p Phe Pro Tyr	ctt gtc act ccc gag Leu Val Thr Pro Glu 460	2447
cag gca atc cag Gln Ala Ile Gln 465	-			2489
gtgagtgetg teace	gacaa tggtgccc	tt gaccagatgg	aacaggttgc gtctcaggcc	2549
aggtatteet teete	egtat cectagea	at cgaatctcca	ctgactttag gac agc Asp Ser	2605
			gaa ggc tac atc aac Glu Gly Tyr Ile Asn 495	2653
Val Asp Gly Asn			acc ctc tgg aaa gga Thr Leu Trp Lys Gly 510	2701
			tgc aac aac acc att Cys Asn Asn Thr Ile 525	2749
		o Val Leu Ile	gat gag tgg tat gac Asp Glu Trp Tyr Asp 540	2797
-			ctt cca ggc cag gag Leu Pro Gly Gln Glu 555	2845
			cgt gtc agc ccc gga Arg Val Ser Pro Gly 575	2893
Gly Lys Thr Pro		-	gag tcg tac ggc gct Glu Ser Tyr Gly Ala 590	2941
			gct ccc cag gac gac Ala Pro Gln Asp Asp 605	2989
		p Tyr Arg Arg	ttc gac aag tac aac Phe Asp Lys Tyr Asn 620	3037
			agt tat act act ttt Ser Tyr Thr Thr Phe 635	3085
-	_	_	gca cga cct tac acc Ala Arg Pro Tyr Thr 655	3133

cca gcc tcc ggc agc acc aag gcg gct cct acc ttt ggg aat atc agc Pro Ala Ser Gly Ser Thr Lys Ala Ala Pro Thr Phe Gly Asn Ile Ser 660 665 670	3181
acg gac tat gca gat tac ttg tac cct gag gat ata cac aag gtc cca Thr Asp Tyr Ala Asp Tyr Leu Tyr Pro Glu Asp Ile His Lys Val Pro 675 680 685	3229
tta tac atc tat cct tgg ctt aac acg acg gac ccc gaa gaa gtc ctc Leu Tyr Ile Tyr Pro Trp Leu Asn Thr Thr Asp Pro Glu Glu Val Leu 690 695 700	3277
cgg cga tcc cga ctt acg gaa atg aag gcc gag gac tac atc cca tct Arg Arg Ser Arg Leu Thr Glu Met Lys Ala Glu Asp Tyr Ile Pro Ser 705 710 715	3325
ggc gcg act gat gga tct cct cag ccc atc ctt ccg gca ggc ggt gct Gly Ala Thr Asp Gly Ser Pro Gln Pro Ile Leu Pro Ala Gly Gly Ala 720 735 736	3373
cct ggt ggc aac ccg ggt ctc tat gat gag atg tac agg gta tct gca Pro Gly Gly Asn Pro Gly Leu Tyr Asp Glu Met Tyr Arg Val Ser Ala 740 745 750	3421
atc atc acc acc ggt acc gtt gtt ggt gat gag gtt cct cag ctg Ile Ile Thr Asn Thr Gly Asn Val Val Gly Asp Glu Val Pro Gln Leu 755 760 765	3469
gtgagtttcg cagtctcatt gatatatgtc tttcgagttg gtcactgacc cgcgatctat	3529
ag tat gtc tct ctt ggt ggt cca gat gac ccc aag gtc gtg ctc cgc Tyr Val Ser Leu Gly Gly Pro Asp Asp Pro Lys Val Val Leu Arg 770 780	3576
aac ttt gac cgc atc acg ctc cac ccc ggc caa cag aca atg tgg acc Asn Phe Asp Arg Ile Thr Leu His Pro Gly Gln Gln Thr Met Trp Thr 785 790 795	3624
aac ttt gac cgc atc acg ctc cac ccc ggc caa cag aca atg tgg acc Asn Phe Asp Arg Ile Thr Leu His Pro Gly Gln Gln Thr Met Trp Thr	3624 3672
aac ttt gac cgc atc acg ctc cac ccc ggc caa cag aca atg tgg acc Asn Phe Asp Arg Ile Thr Leu His Pro Gly Gln Gln Thr Met Trp Thr 785 790 795 acg aca ttg acg cga cgc gat atc tcg aac tgg gac cct gcc tcc cag Thr Thr Leu Thr Arg Arg Asp Ile Ser Asn Trp Asp Pro Ala Ser Gln	
aac ttt gac cgc atc acg ctc cac ccc ggc caa cag aca atg tgg acc Asn Phe Asp Arg Ile Thr Leu His Pro Gly Gln Gln Thr Met Trp Thr 785 acg aca ttg acg cga cgc gat atc tcg aac tgg gac cct gcc tcc cag Thr Thr Leu Thr Arg Arg Asp Ile Ser Asn Trp Asp Pro Ala Ser Gln 800 805 805 aca tgg gtc tac atc ggc acc tct Asn Trp Val Val Thr Lys Tyr Pro Lys Thr Val Tyr Ile Gly Ser Ser	3672
aac ttt gac cgc atc acg ctc cac ccc ggc caa cag aca atg tgg acc Asn Phe Asp Arg Ile Thr Leu His Pro Gly Gln Gln Thr Met Trp Thr 795 acg aca ttg acg cga cgc gat atc tcg aac tgg gac cct gcc tcc cag Thr Thr Leu Thr Arg Arg Asp Ile Ser Asn Trp Asp Pro Ala Ser Gln 800 aat tgg gtt gtg acc aaa tat ccc aag aca gtc tac atc ggc agc tct Asn Trp Val Val Thr Lys Tyr Pro Lys Thr Val Tyr Ile Gly Ser Ser 815 ccg cgg aaa ctg cac ctg cag gca ccg ctt ccc cct tac tgaggttta Ser Arg Lys Leu His Leu Gln Ala Pro Leu Pro Pro Tyr	3672 3720
aac ttt gac cgc atc acg ctc cac ccc ggc caa cag aca atg tgg acc Asn Phe Asp Arg Ile Thr Leu His Pro Gly Gln Gln Thr Met Trp Thr 795 acg aca ttg acg cga cgc gat atc tcg aac tgg gac cct gcc tcc cag Thr Thr Leu Thr Arg Arg Asp Ile Ser Asn Trp Asp Pro Ala Ser Gln 800 aat tgg gtt gtg acc aaa tat ccc aag aca gtc tac atc ggc agc tct Asn Trp Val Val Thr Lys Tyr Pro Lys Thr Val Tyr Ile Gly Ser Ser 815 tcg cgg aaa ctg cac ctg cag gca ccg ctt ccc cct tac tgaggttta Ser Arg Lys Leu His Leu Gln Ala Pro Leu Pro Pro Tyr 840	3672 3720 3769
aac ttt gac cgc atc acg ctc cac ccc ggc caa cag aca atg tgg acc Asn Phe Asp Arg Ile Thr Leu His Pro Gly Gln Gln Thr Met Trp Thr 795 acg aca ttg acg cga cgc gat atc tcg aac tgg gac cct gcc tcc cag Thr Thr Leu Thr Arg Arg Asp Ile Ser Asn Trp Asp Pro Ala Ser Gln 800 aat tgg gtt gtg acc aaa tat ccc aag aca gtc tac atc ggc agc tct Asn Trp Val Val Thr Lys Tyr Pro Lys Thr Val Tyr Ile Gly Ser Ser 815 820 tcg cgg aaa ctg cac ctg cag gca ccg ctt ccc cct tac tgaggttta Ser Arg Lys Leu His Leu Gln Ala Pro Leu Pro Pro Tyr 835 tccggaagga ggaagtaaaa acacaatgtt ttagttgtac aggcgtcttt cgtttgtgat	3672 3720 3769 3829
aac ttt gac cgc atc acg ctc cac ccc ggc caa cag aca atg tgg acc Asn Phe Asp Arg Ile Thr Leu His Pro Gly Gln Gln Thr Met Trp Thr 795 acg aca ttg acg cga cgc gat atc tcg aac tgg gac cct gcc tcc cag Thr Thr Leu Thr Arg Arg Asp Ile Ser Asn Trp Asp Pro Ala Ser Gln 800 aat tgg gtt gtg acc aaa tat ccc aag aca gtc tac atc ggc agc tct Asn Trp Val Val Thr Lys Tyr Pro Lys Thr Val Tyr Ile Gly Ser Ser 815 820 tcg cgg aaa ctg cac ctg cag gca ccg ctt ccc cct tac tgaggttta Ser Arg Lys Leu His Leu Gln Ala Pro Leu Pro Pro Tyr 835 tccggaagga ggaagtaaaa acacaatgtt ttagttgtac aggcgtcttt cgtttgtgat tatccatagg catatcaaga ccactttggg ttatatatat atatatata ataageggcc	3672 3720 3769 3829 3889
aac ttt gac cgc atc acg ctc cac ccc ggc caa cag aca atg tgg acc Asn Phe Asp Arg Ile Thr Leu His Pro Gly Gln Gln Thr Met Trp Thr 785 acg aca ttg acg cga cgc gat atc tcg aac tgg gac cct gcc tcc cag Thr Thr Leu Thr Arg Arg Asp Ile Ser Asn Trp Asp Pro Ala Ser Gln 800 act tgg gtt gtg acc aaa tat ccc aag aca gtc tac atc ggc agc tct Asn Trp Val Val Thr Lys Tyr Pro Lys Thr Val Tyr Ile Gly Ser Ser 815 820 830 tcg cgg aaa ctg cac ctg cag gca ccg ctt ccc cct tac tgaggttta Ser Arg Lys Leu His Leu Gln Ala Pro Leu Pro Pro Tyr 835 tccggaagga ggaagtaaaa acacaatgtt ttagttgtac aggcgtcttt cgttgtgat tatccatagg catatcaaga ccactttggg ttatatatat atatatata ataaagcggcc gaggaaaaggc aatgggtagc atggttcaag gggaggaacc gtcttgaaac tactctcaat	3672 3720 3769 3829 3889 3949
aac ttt gac cgc atc acg ctc cac ccc ggc caa cag aca atg tgg acc Asn Phe Asp Arg Ile Thr Leu His Pro Gly Gln Gln Thr Met Trp Thr 785	3672 3720 3769 3829 3889 3949 4009
aac ttt gac cgc atc acg ctc cac ccc ggc caa cag aca atg tgg acc Asn Phe Asp Arg Ile Thr Leu His Pro Gly Gln Gln Thr Met Trp Thr 785 acg aca ttg acg cga cgc gat atc tcg aac tgg gac cct gcc tcc cag Thr Thr Leu Thr Arg Arg Asp Ile Ser Asn Trp Asp Pro Ala Ser Gln 800 aat tgg gtt gtg acc aaa tat ccc aag aca gtc tac atc ggc agc tct Asn Trp Val Val Thr Lys Tyr Pro Lys Thr Val Tyr Ile Gly Ser Ser 815 scr Arg Lys Leu His Leu Gln Ala Pro Leu Pro Pro Tyr 835 tccggaagga ggaagtaaaa acacaatgtt ttagttgtac aggcgtcttt cgtttgtgat tatccatagg catatcaaga ccactttggg ttatatatat atatatata ataagcggcc gaggaaaaggc aatgggtagc atggttcaag ggcaggaacc gtcttgaaac tactctcaat ttctttcagt agatagtgca ctccggttga gtcccaaata tagttttaat aatggtaaat ggttcagaaa aagaaaatgt agaggtttca aacacgctag ttgaccctga taggaattga	3672 3720 3769 3829 3849 4009 4069

agagatcgag	ctgtcgaagt	cggctggaac	acaggtaaag	agaagtaata	caattcattg	4309
atttttacat	cgtttaacat	gtagaaggta	tctaaaatag	taagtccaga	tatgggccat	4369
ggagategee	teggegatet	tcgggagtat	ctcgggagac	gcacatgacc	gegettaace	4429
ctgtcggttg	gacccgagtc	cgaccgacgt	catcagcgca	gegeaggtea	ggetgegege	4489
aacgtcaatg	ccagggggtg	ctgggacagt	tgcatatcaa	tcgatcagtc	aattaaagca	4549
tctgctttcc	acgttctttt	tttatcacct	ttcacttccc	ctgtcccact	tgccttggga	4609
ttgttgagcc	caaagaagaa	ggagaagaaa	atgggctcga	caccccggaa	cgggtggtcg	4669
acgagcacat	catcagcagc	gtcttattat	caacattccc	aaccaccggc	cctcgttctc	4729
ctcgtctacc	cgctcactct	cctcctcggc	tccctgtaca	gagccatttc	ccccaccgcg	4789
cgggtgaggc	acgatgctgc	agaccctgct	ctggccccga	ccatagcgtc	cgacatcaac	4849
ctgtcccagt	catcccggta	tteccattce	catagcaaca	gcaacagccc	ggtcaattac	4909
ttegeeegea	aggacaacat	ctttaacgtc	tacttcgtca	agatcggctg	gttctggacg	4969
accctcgcct	tecteaegtt	actcctcacc	cagectgeet	acacaaacgc	cggtcccctg	5029
cgcgcccgac	gcaccctcca	agccctgtcc	cgctacgcca	tcgtcaccct	actacctgga	5089
tec						5092

<210> 22

<211> 843

<212> PRT

<213> Thermoascus aurantiacus

<400> 22

Met Arg Leu Gly Trp Leu Glu Leu Ala Val Ala Ala Ala Ala Thr Val 1 5 10 15

Ala Ser Ala Lys Asp Asp Leu Ala Tyr Ser Pro Pro Phe Tyr Pro Ser 20 25 30

Pro Trp Met Asn Gly Asn Gly Glu Trp Ala Glu Ala Tyr Arg Arg Ala 35 40 45

Val Asp Phe Val Ser Gln Leu Thr Leu Ala Glu Lys Val Asn Leu Thr 50 60

Thr Gly Val Gly Trp Met Gln Glu Lys Cys Val Gly Glu Thr Gly Ser 65 70 75 80

Ile Pro Arg Leu Gly Phe Arg Gly Leu Cys Leu Gln Asp Ser Pro Leu 85 90 95

Gly Val Arg Phe Ala Asp Tyr Val Ser Ala Phe Pro Ala Gly Val Asn 100 105 110

Val	Ala	Ala 115	Thr	Trp	Asp	Lys	Asn 120	Leu	Ala	Tyr	Leu	Arg 125	Gly	Lys	Ala
Met	Gly 130	Glu	Glu	His	Arg	Gly 135	Lys	Gly	Val	Asp	Val 140	Gln	Leu	Gly	Pro
Val 145	Ala	Gly	Pro	Leu	Gly 150	Arg	His	Pro	Asp	Gly 155	Gly	Arg	Asn	Trp	Glu 160
Gly	Phe	Ser	Pro	Asp 165	Pro	Val	Leu	Thr	Gly 170	Val	Leu	Met	Ala	Glu 175	Thr
Ile	Lys	Gly	Ile 180	Gln	Asp	Ala	Gly	Val 185	Ile	Ala	Суз	Ala	Lys 190	His	Phe
Ile	Gly	Asn 195	Glu	Met	Glu	His	Phe 200	Arg	Gln	Ala	Gly	G1u 205	Ala	Val	Gly
Tyr	Gly 210	Phe	Asp	Ile	Thr	Glu 2 1 5	Ser	Val	Ser	Ser	As n 220	Ile	Asp	Asp	Lys
Thr 225	Leu	His	Glu	Leu	Tyr 230	Leu	Trp	Pro	Phe	Ala 235	Asp	Ala	Val	Arg	Ala 240
Gly	Val	Gly	Ser	Phe 245	Met	Cys	Ser	Tyr	Asn 250	Gln	Val	Asn	Asn	Ser 255	Tyr
	_		260		_			265	_		Leu		270		
_		275					280				Ala	285			_
	290					295		-			Met 300		-	-	
305					310					315	Asn				320
Val	Leu	Asn	Gly	Thr 325	Val	Pro	Glu	Trp	Arg 330	Val	Asp	Asp	Met	Ala 335	Val

Arg Ile Met Ala Ala Phe Tyr Lys Val Gly Arg Asp Arg Tyr Gln Val 340 345 350

Ala	Leu 370	Val	Gly	Gln	Asn	Tyr 375	Val	Lys	Val	Asn	Asp 380	Lys	Val	Asp	Val
Arg 385	Ala	Asp	His	Ala	Asp 390	Ile	Ile	Arg	Gln	Ile 395	Gly	Ser	Ala	Ser	Val 400
Val	Leu	Leu	Lys	Asn 405	Asp	Gly	Gly	Leu	Pro 410	Leu	Thr	Gly	Tyr	Glu 41 5	Lys
Phe	Thr	Gly	Val 420	Phe	Gly	Glu	Asp	Ala 425	Gly	Ser	Asn	Arg	Trp 430	Gly	Ala
Asp	Gly	Cys 435	Ser	Asp	Arg	Gly	Cys 440	Asp	Asn	Gly	Thr	Leu 445	Ala	Met	Gly
Trp	Gly 450	Ser	Gly	Thr	Ala	Asp 4 55	Phe	Pro	Tyr	Leu	Val 460	Thr	Pro	Glu	Gln
Ala 465	Ile	Gln	Asn	Glu	Ile 470	Leu	Ser	Lys	Gly	Lys 475	Gly	Leu	Asp	Ser	Val 480
Ser	Ile	Val	Phe	Val 485	Asn	Ala	Asp	Ser	Gly 490	Glu	Gly	Tyr	Ile	As n 4 95	Val
Asp	Gly	Asn	G1u 500	Gly	Asp	Arg	Lys	Asn 505	Leu	Thr	Leu	Trp	Lys 510	Gly	Gly
		515		_			520			_	Asn	525			
	530					535				_	Glu 540		_		
545					550					555	Pro				560
_				565				_	570		Val			575	
Lys	Thr	Pro	Phe 580	Thr	Trp	Gly	Lys	Thr 585	Arg	Glu	Ser	Tyr	Gly 590	Ala	Pro

Leu Leu Thr Lys Pro Asn Asn Gly Lys Gly Ala Pro Gln Asp Asp Phe 595 600 605

Thr Glu Gly Val Phe Ile Asp Tyr Arg Arg Phe Asp Lys Tyr Asn Glu 610 615 620

Thr Pro Ile Tyr Glu Phe Gly Phe Gly Leu Ser Tyr Thr Thr Phe Glu Tyr Ser Asn Ile Tyr Val Gln Pro Leu Asn Ala Arg Pro Tyr Thr Pro 645 650 Ala Ser Gly Ser Thr Lys Ala Ala Pro Thr Phe Gly Asn Ile Ser Thr Asp Tyr Ala Asp Tyr Leu Tyr Pro Glu Asp Ile His Lys Val Pro Leu 680 Tyr Ile Tyr Pro Trp Leu Asn Thr Thr Asp Pro Glu Glu Val Leu Arg 695 Arg Ser Arg Leu Thr Glu Met Lys Ala Glu Asp Tyr Ile Pro Ser Gly 710 715 Ala Thr Asp Gly Ser Pro Gln Pro Ile Leu Pro Ala Gly Gly Ala Pro Gly Gly Asn Pro Gly Leu Tyr Asp Glu Met Tyr Arg Val Ser Ala Ile 745 Ile Thr Asn Thr Gly Asn Val Val Gly Asp Glu Val Pro Gln Leu Tyr Val Ser Leu Gly Gly Pro Asp Asp Pro Lys Val Val Leu Arg Asn Phe 775 Asp Arg Ile Thr Leu His Pro Gly Gln Gln Thr Met Trp Thr Thr Thr Leu Thr Arg Arg Asp Ile Ser Asn Trp Asp Pro Ala Ser Gln Asn Trp 805 810 Val Val Thr Lys Tyr Pro Lys Thr Val Tyr Ile Gly Ser Ser Ser Arg 825 Lys Leu His Leu Gln Ala Pro Leu Pro Pro Tyr 835 840 <210> 23 <211> 3510 <212> ADN <213> Acremonium thermophilum <220> <221> CDS <222> (391)..(447) <223> <220> <221> Intrón <222> (448)..(539) <223>

10

15

<220>

	<221> CDS <222> (540)(685) <223>	
5	<220> <221> Intrón <222> (686)(759) <223>	
10	<220> <221> CDS <222> (760)(1148) <223>	
15	<220> <221> Intrón <222> (1149)(1217) <223>	
20	<220> <221> CDS <222> (1218)(3208) <223>	
25	<400> 23 gcaggtaget acgacatteg acggtecacg eccagtggeg tetgetegge egtetgggaa	60
	ccatgcacgc ccgcctctta ggtcgagcga ggtataacat actatctgca cggctaccta	120
	tatattacgt cgatgtcacc cgcaggatgc gagcaccatt acttcgtgtc tcacccgccc	180
	tteegeteeg catetegtga acetaaacee aegegggeae aetgettett gtgagageet	240
	ctacccgttc cacaagagcc atagctagag agagaagggc agccaaggga ccggtcaagc	300
	ggegetette ategeaceaa tetegacaae eeggeagaeg teaceaeegg etecegeege	360
	acgacgtcac acgggactga ctacgaagac atg agg cag gcc ctt gtt tcg ctg Met Arg Gln Ala Leu Val Ser Leu 1 5	414
	gcc ttg ctg gcc agc agc cct gtt tcg gcg gcg gtgaccgcca gggacgccca Ala Leu Leu Ala Ser Ser Pro Val Ser Ala Ala 10 15	467
	ggtatggtee caactgetet teeteeetgt tteeteetet accggtgetg acaacgacaa	527
	tagetgeace ag ega gaa ete gee aet tee gae eet tte tat eet teg eea Arg Glu Leu Ala Thr Ser Asp Pro Phe Tyr Pro Ser Pro	578

tgg atg aac cct gaa gcc aat ggc tgg gag gac gcc tac Trp Met Asn Pro Glu Ala Asn Gly Trp Glu Asp Ala Tyr 35 40 45	
aag gcg tte gtt tee eag etg acg ete ttg gaa aag gte Lys Ala Phe Val Ser Gln Leu Thr Leu Leu Glu Lys Val 50 55 60	
act ggc atc gg gtgagtettg tteteteetg tagaacegee ta Thr Gly Ile Gly 65	iccagaaga 725
cattcaggaa gtgctaatga tgggcggttg acag c tgg caa gga Trp Gln Gly 70	ngga caa tgc 778 7 Gly Gln Cys
gtg ggc aac gtc ggt tcc gtc ccg cgt ctc ggc ctt cgc Val Gly Asn Val Gly Ser Val Pro Arg Leu Gly Leu Arg 75 80 85	
atg cag gac tcc ccc gtg ggt atc cgc ttt ggg gac tac Met Gln Asp Ser Pro Val Gly Ile Arg Phe Gly Asp Tyr 95 100	
ttc ccc tct ggt cag acc acg gct gcc acc ttc gac aag Phe Pro Ser Gly Gln Thr Thr Ala Ala Thr Phe Asp Lys 110 115	
aac cgt cgc ggc aat gcc atg ggc cag gag cac aaa ggaAsn Arg Arg Gly Asn Ala Met Gly Gln Glu His Lys Gly125130	Lys Gly Val
aac gtc ctg ctc ggc ccg gtc gct ggc ccc att ggc cgt Asn Val Leu Leu Gly Pro Val Ala Gly Pro Ile Gly Arg 140 145 150	
ggg gga cga aac tgg gag ggc ttc tcc ccc gac ccc gtc Gly Gly Arg Asn Trp Glu Gly Phe Ser Pro Asp Pro Val 155 160 165	
att gee ttg gee gaa aeg ate aag gga ate eag gat get Ile Ala Leu Ala Glu Thr Ile Lys Gly Ile Gln Asp Ala 175 180	
gct tgc gcc aag cat ttc atc gcg aac gaa cag g gtgcg Ala Cys Ala Lys His Phe Ile Ala Asn Glu Gln 190 195	rtgatg 1158
gaacgcggga cgtgctctga tgcaaaccca cgagcactga ccacgct	ttc ctcgaacag 1217
aa cac ttc cgc cag tcc ggc gag gcc cag ggc tac ggc Glu His Phe Arg Gln Ser Gly Glu Ala Gln Gly Tyr Gly 200 205 210	Phe Asp Ile
tcc gag tcg ctg tcg tcc aac atc gac gac aag acc atg Ser Glu Ser Leu Ser Ser Asn Ile Asp Asp Lys Thr Met 215 220 225	
tat ctg tgg ccc ttc gcc gac ggc gtg cgt gcc ggc gtc Tyr Leu Trp Pro Phe Ala Asp Gly Val Arg Ala Gly Val 230 235 240	
atg tgc tcg tac aac cag atc aac aac tcg tac ggg tgc Met Cys Ser Tyr Asn Gln Ile Asn Asn Ser Tyr Gly Cys 250 255	

_		_			ctg Leu		_						_			1456
					cag Gln											1504
_		_	_	_	acc Thr	_			_		_					1552
	_				acg Thr 315					_	_	_				1600
					atc Ile											1648
		_			cag Gln		_	_	_	_					_	1696
_				_	acc Thr			_				_	_			1744
_		_	_		aac As n			-		-	_	-				1792
					atc Ile 395											1840
				-	ctc Leu		_		_			_		_		1888
_	_				aac Asn	_					_	_		_	_	1936
	_	_	_		acc Thr			_	_					_	_	1984
				_	atc Ile		_	_	_		_	_		_		2032
					cgc Arg 475											2080
					ctg Leu											2128
	_		_	_	tcg Ser							_	_			2176

	ggc Gly															2224
	aag Lys 535															2272
_	acc Thr			_				_			_					2320
	gcc Ala		_		_					_					-	2368
	acc Thr	_	_					_		_	_		_	_		2416
	acc Thr					_		-					_			2464
	ecc Pro 615				_			_	_	_	_					2512
-	ttc Phe		_		_			-	_					_		2560
	gag Glu						_		_	_		_		_		2608
	cag Gln															2656
_	acc Thr					_			_			_	-		_	2704
_	tac Tyr 695			_	-	_	_		_				_			2752
	ccg Pro			Asn		Thr		Pro		Lys						2800
	tac Tyr															2848
	aac Asn															2896
	aac Asn															2944
acc	aac	acg	ggc	agc	atc	gtg	ggt	gcg	gag	gtg	ecg	cag	ctg	tac	gtg	2992

Thr Asn Thr Gly Ser Ile Val Gly Ala Glu Val Pro Gln Leu Tyr Val 775 780 785	
tcg ctg ggc ggg ccc gac gac ccc aaa gtg gtc ctg cgc ggg ttc gac Ser Leu Gly Gly Pro Asp Asp Pro Lys Val Val Leu Arg Gly Phe Asp 790 795 800 805	3040
cgc atc cgc atc gac ccg ggc aag acg gcg cag ttc cgc gtc acc ctg Arg Ile Arg Ile Asp Pro Gly Lys Thr Ala Gln Phe Arg Val Thr Leu 810 815 820	3088
acc cgc cgg gat ctc agc aac tgg gac ccg gcg atc cag gac tgg gtc Thr Arg Arg Asp Leu Ser Asn Trp Asp Pro Ala Ile Gln Asp Trp Val 825 830 835	3136
ate age aag tac eee aag aag gtg tac ate gge egg age age agg aag Ile Ser Lys Tyr Pro Lys Lys Val Tyr Ile Gly Arg Ser Ser Arg Lys 840 845 850	3184
ctg gaa ctc tcc gcc gac ctc gcg tgatccggcg acggccaagt acgtatgtgg Leu Glu Leu Ser Ala Asp Leu Ala 855 860	3238
actgccatcc gaacacctat actttttggc taggtagggg gagcagcaag gcctgagca	t 3298
atactetete cattgeacat ttetaatgta aatatatata teattaattg ggagaecea	a 3358
actogaattt atgcatgogt acaaagtgtg ttgaacaagt ttoggtocag cagatagta	a 3418
ccgtcttagt tcgtccatcc ctctctcgaa tgcgctgtat acacatgcgt atatagacg	t 3478

tgtataggtg ccattgctag caatgcaagc tt	3510
<210> 24 <211> 861 <212> PRT <213> Acremonium thermophilum	3510
<210> 24 <211> 861 <212> PRT <213> Acremonium thermophilum <400> 24	3510
<210> 24 <211> 861 <212> PRT <213> Acremonium thermophilum	3510
<210> 24 <211> 861 <212> PRT <213> Acremonium thermophilum <400> 24 Met Arg Gln Ala Leu Val Ser Leu Ala Leu Leu Ala Ser Ser Pro Val	3510
<pre><210> 24 <211> 861 <212> PRT <213> Acremonium thermophilum <400> 24 Met Arg Gln Ala Leu Val Ser Leu Ala Leu Leu Ala Ser Ser Pro Val 1</pre>	3510
<pre><210> 24 <211> 861 <212> PRT <213> Acremonium thermophilum <400> 24 Met Arg Gln Ala Leu Val Ser Leu Ala Leu Leu Ala Ser Ser Pro Val 1</pre>	3510
<pre><210> 24 <211> 861 <212> PRT <213> Acremonium thermophilum </pre> <pre><400> 24 Met Arg Gln Ala Leu Val Ser Leu Ala Leu Leu Ala Ser Ser Pro Val 1</pre>	3510

Gly	Ile	Arg	Phe 100	Gly	Asp	Tyr	Val	Ser 105	Val	Phe	Pro	Ser	Gly 110	Gln	Thr
Thr	Ala	Ala 115	Thr	Phe	Asp	Lys	Gly 120	Leu	Met	Asn	Arg	Arg 125	Gly	Asn	Ala
Met	Gly 130	Gln	Glu	His	Lys	Gly 135	Lys	Gly	Val	Asn	Val 140	Leu	Leu	Gly	Pro
Val 145	Ala	Gly	Pro	Ile	Gly 150	Arg	Thr	Pro	Glu	Gly 155	Gly	Arg	Asn	Trp	Glu 160
Gly	Phe	Ser	Pro	Asp 165	Pro	Val	Leu	Thr	Gly 170	Ile	Ala	Leu	Ala	Glu 175	Thr
Ile	Lys	G1y	Ile 180	Gln	As p	Ala	Gly	Val 185	Ile	Ala	Cys	Ala	Lys 190	His	Phe
Ile	Ala	Asn 195	G1 u	G1n	G1 u	His	Phe 200	Arg	G1n	Ser	G1y	G1u 205	Ala	G1n	G1y
Tyr	Gly 210	Phe	Asp	Ile	Ser	Glu 215	Ser	Leu	Ser	Ser	Asn 220	Ile	Asp	Asp	Lys
Thr 225	Met	His	Glu	Leu	Tyr 230	Leu	Trp	Pro	Phe	Ala 235	Asp	Gly	Val	Arg	Ala 240
Gly	Val	Gly	Ala	Ile 245	Met	Сув	Ser	Tyr	Asn 250	Gln	Ile	Asn	Asn	Ser 255	Туг
Gly	Cys	Gln	As n 260	Ser	Lys	Thr	Leu	As n 265	Asn	Leu	Leu	Lys	Asn 270	Glu	Leu
Gly	Phe	Gln 275	Gly	Phe	Val	Met	Ser 280	Asp	Trp	Gln	Ala	Gln 285	His	Thr	Gly
Ala	Ala 290	Ser	Ala	Val	Ala	Gly 295	Leu	Asp	Met	Thr	Met 300	Pro	Gly	Asp	Thr
Ser 305	Phe	Asn	Thr	Gly	Leu 310	Ser	Tyr	Trp	Gly	Thr 315	Asn	Leu	Thr	Leu	Ala 320
Val	Leu	Asn	Gly	Thr 325	Val	Pro	Glu	Tyr	Arg 3 3 0	Ile	Asp	Asp	Met	Val 33 5	Met

Arg Ile Met Ala Ala Phe Phe Lys Thr Gly Gln Thr Leu Asp Leu Pro $340 \hspace{1cm} 345 \hspace{1cm} 350$

Pro Ile Asn Phe Asp Ser Trp Thr Thr Asp Thr Phe Gly Pro Leu His

		355					360					365			
Phe	A la 370	Val	Asn	Gl u	Asp	Arg 375	Gln	Gln	Ile	As n	Trp 380	His	Val	Asn	Val
Gln 385	Asp	Asn	His	Gly	Ser 390	Leu	Ile	Arg	Glu	Ile 395	Ala	Ala	Lys	Gly	Thr 400
Val	Leu	Leu	Lys	Asn 405	Thr	Gly	Ser	Leu	Pro 410	Leu	Asn	Lys	Pro	Lys 415	Phe
Leu	Val	Val	Val 420	G ly	Asp	Asp	Ala	Gly 425	Pro	Asn	Pro	Ala	G1y 430	Pro	As n
Ala	Cys	Pro 435	Asp	Arg	Gly	Cys	Asp 440	Val	Gly	Thr	Leu	Gly 445	Met	Ala	Trp
Gly	Ser 4 50	Gly	Ser	Ala	Asn	Phe 455	Pro	Туг	Leu	Ile	Thr 460	Pro	Asp	Ala	Ala
Leu 465	G1 n	Ala	Gln	Ala	11e 470	Lys	Asp	Gly	Thr	Arg 475	Туг	Glu	Ser	Val	Leu 480
Ser	Asn	Tyr	Gl n	Leu 485	Asp	Gln	Thr	Lys	Al a 4 90	Leu	Val	Thr	Gl n	Al a 495	Asn
Ala	Thr	Ala	Ile 500	Val	Phe	Val	Asn	Ala 505	Asp	Ser	Gly	Glu	Gly 510	Туг	Ile
Asn	Val	Asp 515	Gly	Asn	Glu	Gly	Asp 520	Arg	Lys	Asn	Leu	Thr 525	Leu	Trp	His
Asp	Gly 530	Asp	Ala	Leu	Ile	Lys 535	Ser	Val	Ala	Gly	Trp 540	Asn	Pro	Asn	Thr
11e 545	Val	Val	Ile	His	Ser 550	Thr	Gly	Pro	Val	Leu 555	Val	Thr	Asp	Trp	Туг 560
Asp	His	Pro	Asn	11e 565	Thr	Ala	Ile	Leu	Trp 570	Ala	Gly	Va1	Pro	Gly 575	Gln
Glu	Ser	Gly	Asn 580	Ala	Ile	Thr	Asp	Val 585	Leu	Tyr	Gly	Lys	Val 590	Asn	Pro
Ser	Gly	Arg 595	Ser	Pro	Phe	Thr	Trp 600	Gly	Pro	Thr	Arg	G1u 605	Ser	Tyr	Gly
Thr	As p 610	Val	Leu	Tyr	Thr	Pro 615	As n	Aşn	Gly	Lys	Gly 620	Ala	Pro	Gln	Gln

Ala Phe Ser Glu Gly Val Phe Ile Asp Tyr Arg His Phe Asp Arg Thr Asn Ala Ser Val Ile Tyr Glu Phe Gly His Gly Leu Ser Tyr Thr Thr 650 Phe Gln Tyr Ser Asn Ile Gln Val Val Lys Ser Asn Ala Gly Ala Tyr 660 665 670 Lys Pro Thr Thr Gly Thr Thr Ile Pro Ala Pro Thr Phe Gly Ser Phe 680 Ser Lys Asp Leu Lys Asp Tyr Leu Phe Pro Ser Asp Gln Phe Arg Tyr Ile Thr Gln Tyr Ile Tyr Pro Tyr Leu Asn Ser Thr Asp Pro Ala Lys 715 Ala Ser Leu Asp Pro His Tyr Gly Lys Thr Ala Ala Glu Phe Leu Pro 730 Pro His Ala Leu Asp Ser Asn Pro Gln Pro Leu Leu Arg Ser Ser Gly 745 Lys Asn Glu Pro Gly Gly Asn Arg Gln Leu Tyr Asp Ile Leu Tyr Thr Val Thr Ala Asp Ile Thr Asn Thr Gly Ser Ile Val Gly Ala Glu Val 775 Pro Gln Leu Tyr Val Ser Leu Gly Gly Pro Asp Asp Pro Lys Val Val 785 Leu Arg Gly Phe Asp Arg Ile Arg Ile Asp Pro Gly Lys Thr Ala Gln Phe Arg Val Thr Leu Thr Arg Arg Asp Leu Ser Asn Trp Asp Pro Ala 825 Ile Gln Asp Trp Val Ile Ser Lys Tyr Pro Lys Lys Val Tyr Ile Gly Arg Ser Ser Arg Lys Leu Glu Leu Ser Ala Asp Leu Ala 850 855 860 <210> 25 <211> 3392 <212> ADN <213> Chaetomium thermophilum <220> <221> CDS <222> (608)..(2405) <223> <220> <221> Intrón

<222> (<223>	2406)(24	.57)													
<220> <221> (<222> (<223>)(28	61)													
<400> 2		ttg (ctgc	gactt	ca at	ttaat	taact	c ggo	caaa	acgg	ccc	ggago	etc a	agcto	etgacc	60
tee	gccad	cat o	eeget	cggd	ca co	catgo	ccago	geç	gttg	caac	ggca	atgaa	ige (gctca	iggttt	120
tte	tee	gee 1	tgcto	cccc	ac to	geega	atggo	c cat	tetge	cacc	cca	gete	gte a	acati	tatet	180
cgc	gcaca	igc (gtett	ceca	ac ca	agtto	geett	get	cat	gacg	ctgt	taaa	ıga t	tggc	ectacc	240
tago	eeget	ga (gteed	cacaa	ac go	ccga	gatgt	cti	tgg	ccct	ttad	caag	gca (egeea	atggcc	300
gte	caag	gtc 1	tgtto	catga	ag to	gtgt1	ttgtg	g ggg	geega	aagg	aça	ecte	agt q	ggcca	acgaaa	360
tgc	egee	gag (eggge	ccago	ca ca	atgto	egaga	a ga	gaçat	tgga	cati	tate	ccc (egaga	atgetg	420
tati	agg	gaa (eeggt	cctt	t to	eteg	gaged	gt	gate	egag	agc	gtte	ggg a	agtc	gttgag	480
taaa	aagat	tgt (egagt	tgc	eg ti	tatai	tatco	geg	ggcct	tgta	gcta	atgto	gee (eteta	attete	540
acaç	ggtto	caa 1	tcato	cagto	ec to	egee	gtgag	gac	gtage	egeg	ctga	acta	age q	gete	gatate	600
tte	egtc						ttc Phe									649
_			_	_	_		cct Pro	_		_	_	_	_	_	_	697
							gcc Ala									745
							gac Asp									793
							gtc Val 70									841
				_		_	ctg Leu	_	_			_			_	889

tec (Ser) 95																937
acc Thr																98 5
gag Glu																1033
gct Ala		_	_		_		_		_			_	_			1081
tcc Ser	_			_	_			_	_		_			_		1129
att Ile 175																1177
gag Glu	_	_			_	_		_	_	_		_	_	_	_	1225
act Thr																1273
aac (Asn		_	_	-	_	_	-			_						1321
ctc Leu																1369
ggc : Gly : 255																1417
gtg (Val (_	_		_		_	_	_		_			_	_	1465
ttc Phe							Trp		Pro							1513
aac Asn																1561
att Ile :		_							_					_		1609
atc Ile 335		_	-	-		_		_			_				_	1657
gcc	gta	gcc	cgc	gat	ggc	atc	gtc	ctc	ctc	aag	aac	gac	ggc	att	ctg	1705

Ala Val	Ala Arg	Asp 355	G1y	Ile	Val	Leu	Le u 360	Lys	Aşn	Asp	Gly	Ile 365	Leu	
cct ctt (Pro Leu (1753
gtc aac (Val Asn I	_		_		_	_		_	_		_			1801
ggt gcc o Gly Ala 1 400		_						_	_					1849
ttt gtt o Phe Val 2 415			_	_	_	_			-	_	_	-		1897
acg cag a														19 4 5
gcc gtg (Ala Val (Ala	-								-	_		1993
ggc gaa (Gly Glu (_				-		-				2041
ctg gat (Leu Asp 1 480														2089
gca aat a Ala Asn 1 495	_	_			_			_	_		_	_		2137
ctg gag a Leu Glu !	_			_					_	_	_		_	2185
ggc ttg (Gly Leu I		Gln		_				_	_	_		_		2233
ggc ctt o Gly Leu '														2281
ccg age o Pro Ser i 560														2329
gag ggt 6 Glu Gly 1 575														2377
ccc cgt f							t gt	aagt	ctct	t tac	ccact	ccg		2 42 5
ttttgtaa	ca acco	gatto	ct aa	acato	cccc	ag:					ttc Phe	-		2477

605 tee aac etg gge ate tee teg tee gea ace gee gge eea gee acg gge 2525 Ser Asn Leu Gly Ile Ser Ser Ser Ala Thr Ala Gly Pro Ala Thr Gly ece ace gte ece gge gge eeg gee gae ete tgg aae tat gte geg ace 2573 Pro Thr Val Pro Gly Gly Pro Ala Asp Leu Trp Asn Tyr Val Ala Thr 630 gte acg geg ace gtt ace aac ace gge gge gtg gaa ggt gee gag gte 2621 Val Thr Ala Thr Val Thr Asn Thr Gly Gly Val Glu Gly Ala Glu Val 645 650 get cag etg tac ate tet ttg eca tet teg get eet gea teg eca eeg Ala Gln Leu Tyr Ile Ser Leu Pro Ser Ser Ala Pro Ala Ser Pro Pro 2669 660 aag cag ctt cgt ggc ttt gtc aag ctt aag ttg gcg cct ggt caa agc 2717 Lys Gln Leu Arg Gly Phe Val Lys Leu Lys Leu Ala Pro Gly Gln Ser 2765 ggg acg gca acg ttt aga cta agg aag agg gat ttg gct tat tgg gat Gly Thr Ala Thr Phe Arg Leu Arg Lys Arg Asp Leu Ala Tyr Trp Asp 695 gtg ggg agg cag aat tgg gtt gtt eet teg ggg agg ttt gge gtg ett 2813 Val Gly Arg Gln Asn Trp Val Val Pro Ser Gly Arg Phe Gly Val Leu 705 710 2861 gtg ggg gct agt tcg agg gat att agg ttg cag ggg gag att gtt gtt Val Gly Ala Ser Ser Arg Asp Ile Arg Leu Gln Gly Glu Ile Val Val 720 tagggggtta tgttcagcac ctagttgggg aattgatgtg taagttggag taggggtttt 2921 cgtgtacata cataccattt ggtcaatgtt acgacattta gtttatgaag tttcctggtg 2981 getacegetg atgagecete gtatgatace caeaatetat atgttttact ettetette 3041 cttttttctc ttccttttcc tttattactt cattccttgt gtactttctg tgaacctcca 3101 gtcgaccatc cgacccaatt cgaaagtett teetgacetg gttcaggttg gcatattete 3161 gaaaggatgt cgaccttcct gaccctactg ggctaccggg aaagccctag gatggctgat 3221 ggacagatet ggtgateaac tatgggaaca eteeggagat ggtgaetaat atgegatggt 3281 catttaaaga gcaccgcttc cagcgatctc cccagttgct cctcaacgat tgacacggcc 3341 aatttateca gatteeggga ttetetgagt gagetgteee ttttttetag a 3392 <210> 26

<211> 734 <212> PRT <213> Chaetomium thermophilum

<400> 26 Met Ala Leu His Ala Phe Leu Leu Ala Ser Ala Leu Leu Ala Arg 10

Gly Ala Leu Ser Gln Pro Asp Asn Val Arg Arg Ala Ala Pro Thr Gly

10

			20					25					30		
Thr	Ala	Al a 35	Тгр	Asp	Ala	Ala	His 40	Ser	Gln	Ala	Ala	Ala 45	Ala	Val	Ser
Arg	Leu 50	Ser	Gln	G ln	Asp	L ys 55	Ile	Asn	Ile	Val	Thr 60	Gly	Val	Gly	Trp
Gly 65	Lys	G1y	Pro	Cys	Val 70	Gly	Asn	Thr	Asn	Pro 75	Val	Туг	Ser	Ile	Asn 80
Tyr	Pro	Gln	Leu	Cys 85	Leu	Gln	Asp	Gly	Pro 90	Leu	Gly	Ile	Arg	Ser 95	Ala
Thr	Ser	Val	Thr 100	Ala	Phe	Thr	Pro	Gly 105	Ile	Gln	Ala	Ala	Ser 110	Thr	Trp
Asp	Val	Glu 115	Leu	Ile	Arg	Gln	Arg 120	Gly	Val	Туг	Leu	Gly 125	Gl n	Glu	Ala
Arg	Gly 130	Thr	Gly	Val	His	Val 135	Leu	Leu	Gly	Pro	Val 140	Ala	Gly	Ala	Leu
Gly 145	Lys	Ile	Pro	His	Gly 150	Gly	Arg	Asn	Trp	Glu 155	Ala	Phe	Gly	Ser	Asp 160
Pro	Tyr	Leu	Ala	Gly 165	Ile	Ala	Met	Ser	Glu 170	Thr	Ile	Glu	Gly	Ile 175	Gln
Ser	Glu	Gly	Val 180	Gln	Ala	Cys	Ala	Lys 185	His	Tyr	Ile	Ala	As n 190	Glu	Gln
Glu	Leu	Asn 195	Arg	Gl u	Thr	Met	Ser 200	Ser	Asn	Val	Asp	Asp 205	Arg	Thr	Met
His	G lu 210	Leu	Туг	Leu	Trp	Pro 215	Phe	Ala	Asp	Ala	Val 220	His	Ser	Asn	Val
Ala 225	Ser	Val	Met	Cys	Ser 230	Туг	Asn	Lys	Leu	Asn 235	Gly	Thr	Trp	Leu	Cys 240
Glu	Asn	Asp	Arg	Ala 245	Gln	Asn	Gln	Leu	Leu 250	ГĀв	Arg	Glu	Leu	Gly 255	Phe
Arg	Gly	Tyr	Ile 260	Val	Ser	Asp	Trp	As n 265	Ala	Gln	His	Thr	Thr 270	Val	Gly
Ser	Ala	Asn 275	Ser	Gly	Met	Asp	Me t 280	Thr	Met	Pro	Gly	Ser 285	Asp	Phe	Asn

- Gly Trp Asn Val Leu Trp Gly Pro Gln Leu Asn Asn Ala Val Asn Ser 290 295 300
- Gly Gln Val Ser Gln Ser Arg Leu Asn Asp Met Val Gln Arg Ile Leu 305 310 315 320
- Ala Ala Trp Tyr Leu Leu Gly Gln Asn Ser Gly Tyr Pro Ser Ile Asn 325 330 335
- Leu Arg Ala Asn Val Gln Ala Asn His Lys Glu Asn Val Arg Ala Val 340 345 350
- Ala Arg Asp Gly Ile Val Leu Leu Lys Asn Asp Gly Ile Leu Pro Leu 355 360 365
- Gln Arg Pro Asn Lys Ile Ala Leu Val Gly Ser Ala Ala Val Val Asn 370 375 380
- Pro Arg Gly Met Asn Ala Cys Val Asp Arg Gly Cys Asn Glu Gly Ala 385 390 395 400
- Leu Gly Met Gly Trp Gly Ser Gly Thr Val Glu Tyr Pro Tyr Phe Val
 405 410 415
- Ala Pro Tyr Asp Ala Leu Arg Glu Arg Ala Gln Arg Asp Gly Thr Gln 420 425 430
- Ile Ser Leu His Ala Ser Asp Asn Thr Asn Gly Val Asn Asn Ala Val
 435 440 445
- Gln Gly Ala Asp Ala Ala Phe Val Phe Ile Thr Ala Asp Ser Gly Glu 450 455 460
- Gly Tyr Ile Thr Val Glu Gly His Ala Gly Asp Arg Asn His Leu Asp 465 470 475 480
- Pro Trp His Asn Gly Asn Gln Leu Val Gln Ala Val Ala Gln Ala Asn 485 490 495
- Lys Asn Val Ile Val Val His Ser Val Gly Pro Val Ile Leu Glu 500 505 510
- Thr Ile Leu Asn Thr Pro Gly Val Arg Ala Val Val Trp Ala Gly Leu 515 520 525
- Pro Ser Gln Glu Ser Gly Asn Ala Leu Val Asp Val Leu Tyr Gly Leu 530 540

Val Ser Pro Ser Gly Lys Leu Val Tyr Thr Ile Ala Lys Ser Pro Ser Asp Tyr Pro Thr Ser Ile Val Arg Gly Asp Asp Asn Phe Arg Glu Gly 570 Leu Phe Ile Asp Tyr Arg His Phe Asp Asn Ala Arg Ile Glu Pro Arg Phe Glu Phe Gly Phe Gly Leu Ser Tyr Thr Asn Phe Ser Tyr Ser Asn 600 Leu Gly Ile Ser Ser Ser Ala Thr Ala Gly Pro Ala Thr Gly Pro Thr Val Pro Gly Gly Pro Ala Asp Leu Trp Asn Tyr Val Ala Thr Val Thr 630 635 Ala Thr Val Thr Asn Thr Gly Gly Val Glu Gly Ala Glu Val Ala Gln 645 650 Leu Tyr Ile Ser Leu Pro Ser Ser Ala Pro Ala Ser Pro Pro Lys Gln 665 Leu Arg Gly Phe Val Lys Leu Lys Leu Ala Pro Gly Gln Ser Gly Thr Ala Thr Phe Arg Leu Arg Lys Arg Asp Leu Ala Tyr Trp Asp Val Gly 690 695 Arg Gln Asn Trp Val Val Pro Ser Gly Arg Phe Gly Val Leu Val Gly Ala Ser Ser Arg Asp Ile Arg Leu Gln Gly Glu Ile Val Val 725 730 <210> 27 <211> 1631 <212> ADN <213> Thermoascus aurantiacus <221> Intrón 10 <222> (610)..(674) <223> <220> <221> CDS 15 <222> (675)..(1628) <223> <220> <221> CDS 20 <222> (1)..(609) <223> <400> 27

atg tat cag cgc gct ctt ctc ttc ttc ttc ctc gcc gc	48
gcg cag cag gcc ggt acc gta acc gca gag aat cac cct tcc ctg acc Ala Gln Gln Ala Gly Thr Val Thr Ala Glu Asn His Pro Ser Leu Thr 20 25 30	96
tgg cag caa tgc tcc agc ggc ggt agt tgt acc acg cag aat gga aaa Trp Gln Gln Cys Ser Ser Gly Gly Ser Cys Thr Thr Gln Asn Gly Lys 35 40 45	144
gtc gtt atc gat gcg aac tgg cgt tgg gtc cat acc acc tct gga tac Val Val Ile Asp Ala Asn Trp Arg Trp Val His Thr Thr Ser Gly Tyr 50 55 60	192
ace aac tge tac acg gge aat acg tgg gac acc agt atc tgt ccc gac Thr Asn Cys Tyr Thr Gly Asn Thr Trp Asp Thr Ser Ile Cys Pro Asp 65 70 75 80	240
gac gtg acc tgc gct cag aat tgt gcc ttg gat gga gcg gat tac agt Asp Val Thr Cys Ala Gln Asn Cys Ala Leu Asp Gly Ala Asp Tyr Ser 85 90 95	288
ggc acc tat ggt gtt acg acc agt ggc aac gcc ctg aga ctg aac ttt Gly Thr Tyr Gly Val Thr Thr Ser Gly Asn Ala Leu Arg Leu Asn Phe 100 105 110	336
gtc acc caa agc tca ggg aag aac att ggc tcg cgc ctg tac ctg ctg Val Thr Gln Ser Ser Gly Lys Asn Ile Gly Ser Arg Leu Tyr Leu Leu 115 120 125	384
cag gac gac acc act tat cag atc ttc aag ctg ctg ggt cag gag ttt Gln Asp Asp Thr Thr Tyr Gln Ile Phe Lys Leu Leu Gly Gln Glu Phe 130 135 140	432
ace tte gat gte gae gte tee aat ete eet tge ggg etg aac gge gee Thr Phe Asp Val Asp Val Ser Asn Leu Pro Cys Gly Leu Asn Gly Ala 145 150 155 160	480
ctc tac ttt gtg gcc atg gac gcc gac ggc gga ttg tcc aaa tac cct Leu Tyr Phe Val Ala Met Asp Ala Asp Gly Gly Leu Ser Lys Tyr Pro 165 170 175	528
gge aac aag gea gge get aag tat gge act ggt tac tge gac tet cag Gly Asn Lys Ala Gly Ala Lys Tyr Gly Thr Gly Tyr Cys Asp Ser Gln 180 185 190	576
tge eet egg gat ete aag tte ate aac ggt eag gtacgteaga agtgataact Cys Pro Arg Asp Leu Lys Phe Ile Asn Gly Gln 195 200	629
agccagcaga gcccatgaat cattaactaa cgctgtcaaa tacag gcc aat gtt gaa Ala Asn Val Glu 205	
ggc tgg cag ccg tct gcc aac gac cca aat gcc ggc gtt ggt aac cac	734

Gly	Trp	Gln 210	Pro	Ser	Ala	Asn	As p 215	Pro	Asn	Ala	Gly	Val 220	Gly	Asn	His	
		_	_	_	gag Glu	_	_	_		_	_		_			782
			_		cac His 245		-	_				_		_	_	830
_		_	_	_	ggt Gly							_		_		878
	_	_		-	ggc Gly	_	-					_	_			926
	_				ccc Pro		_		_	-		_				974
	_	_		_	ttc Phe			_	_							1022
_	_				egc Arg 325			-	_			_	-			1070
					atc Ile											1118
		_	_	_	cag G1n	_	_	_			_					1166
	_				ctt Leu	_	_		_	_	_	_	_	_		1214
_	_		_		agc Ser	_		_	_		_	_		_		1262
	_	_	-		tac Tyr 405	_		_		-	_	_				1310
					tgc Cys											1358
					aat Asn											1406
					acc Thr											1454
					acc Thr											1502

465	4	70	475	
			ac tac ggc cag is Tyr Gly Gln 490	
			cc agc ggc aca la Ser Gly Thr 05	
	cct tac tac t Pro Tyr Tyr S 515			163 1
<210> 28 <211> 521 <212> PRT <213> Thermoa	ascus aurantiacus			
<400> 28 Met Tyr Gln 1	Arg Ala Leu L 5	eu Phe Ser Ph 10	he Phe Leu Ala)	Ala Ala Arg 15
Ala Gln Gln	Ala Gly Thr V 20	al Thr Ala GJ 25	lu Asn His Pro	Ser Leu Thr 30
Trp Gln Gln 35	Cys Ser Ser G	ly Gly Ser Cy 40	ys Thr Thr Gln 45	Asn Gly Lys
Val Val Ile 50	Asp Ala Asn T		al His Thr Thr 60	Ser Gly Tyr
Thr Asn Cys 65	Tyr Thr Gly A	sn Thr Trp As	sp Thr Ser Ile 75	Cys Pro Asp 80
Asp Val Thr	Cys Ala Gln A 85	sn Cys Ala Le 90	eu Asp Gly Ala	Asp Tyr Ser 95
Gly Thr Tyr	Gly Val Thr T	_	sn Ala Leu Arg	Leu Asn Phe 110
Val Thr Gln 115	Ser Ser Gly L	ys Asn Ile Gl 120	ly Ser Arg Leu 125	Tyr Leu Leu
Gln Asp Asp 130	_	ln Ile Phe Ly 35	ys Leu Leu Gly 140	Gln Glu Phe
Thr Phe Asp 145	Val Asp Val S 150	er Asn Leu Pr	ro Cys Gly Leu 155	Asn Gly Ala 160
Leu Tyr Phe	Val Ala Met A 165	sp Ala Asp Gl	ly Gly Leu Ser 70	Lys Tyr Pro 175

Gly	Asn	Lys	Ala 180	Gly	Ala	Lys	Tyr	Gly 185	Thr	Gly	Tyr	Cys	As p 190	Ser	Gln
Cys	Pro	Arg 195	Asp	Leu	Lys	Phe	11e 200	Asn	Gly	Gln	Ala	As n 205	Val	Glu	Gly
Trp	Gln 210	Pro	Ser	Ala	Asn	Asp 215	Pro	Asn	Ala	Gly	Val 220	Gly	Asn	His	Gly
Ser 225	Cys	Cys	Ala	Glu	Met 230	Asp	Val	Trp	Glu	Ala 235	Asn	Ser	Ile	Ser	Thr 240
Ala	Val	Thr	Pro	His 245	Pro	Cys	Asp	Thr	Pro 250	Gly	Gln	Thr	Met	Cys 255	Gln
Gly	Asp	Asp	Cys 260	Gly	Gly	Thr	Tyr	Ser 265	Ser	Thr	Arg	Tyr	Ala 270	Gly	Thr
Cys	Asp	Pro 275	Asp	Gly	Cys	Asp	Phe 280	As n	Pro	Tyr	Arg	Gln 285	Gly	Asn	His
Ser	Phe 290	Tyr	Gly	Pro	Gly	G l n 295	Ile	Val	Asp	Thr	Ser 300	Ser	Lys	Phe	Thr
Val 305	Val	Thr	Gln	Phe	11e 310	Thr	Asp	Asp	Gly	Thr 315	Pro	Ser	Gly	Thr	Leu 320
Thr	Glu	Ile	Lys	Arg 32 5	Phe	Tyr	Val	Gln	Asn 330	Gly	Lys	Val	Ile	Pro 335	Gln
Ser	Glu	Ser	Thr 340	Ile	Ser	Gly	Val	Thr 345	Gly	Asn	Ser	Ile	Thr 350	Thr	Glu
Tyr	Cys	Thr 355	Ala	Gln	Lys	Ala	Ala 360	Phe	Gly	Asp	Asn	Thr 365	Gly	Phe	Phe
Thr	His 370	Gly	Gly	Leu	Gln	Lys 375	Ile	Ser	Gln	Ala	Leu 380	Ala	Gln	Gly	Met
Val 385	Leu	Val	Met	Ser	Leu 390	Trp	Asp	Asp	His	Ala 395	Ala	Asn	Met	Leu	Trp 400
Leu	Asp	Ser	Thr	Tyr 4 05	Pro	Thr	Asp	Ala	Asp 410	Pro	Asp	Thr	Pro	Gly 4 15	Val

Ala Arg Gly Thr Cys Pro Thr Thr Ser Gly Val Pro Ala Asp Val Glu 420 425 430

```
Pro Ile Gly Ser Thr Gly Asn Pro Ser Gly Gly Asn Pro Pro Gly Gly
                             455
     Asn Pro Pro Gly Thr Thr Thr Arg Arg Pro Ala Thr Thr Thr Gly
                      470
                                           475
     Ser Ser Pro Gly Pro Thr Gln Ser His Tyr Gly Gln Cys Gly Gly Ile
     Gly Tyr Ser Gly Pro Thr Val Cys Ala Ser Gly Thr Thr Cys Gln Val
                                    505
     Leu Asn Pro Tyr Tyr Ser Gln Cys Leu
     <210> 29
     <211> 1734
     <212> ADN
     <213> Thermoascus aurantiacus
     <220>
     <221> Intrón
10
     <222> (610)..(674)
     <223>
     <220>
     <221> CDS
15
     <222> (1726)..(1731)
     <223>
     <220>
     <221> CDS
20
     <222> (675)..(1661)
     <223>
     <220>
     <221> CDS
25
     <222> (1)..(609)
     <223>
     <220>
     <221> Intrón
30
     <222> (1662)..(1725)
     <223>
     48
     Met Tyr Gln Arg Ala Leu Leu Phe Ser Phe Phe Leu Ala Ala Ala Arg
                                        10
     geg cag cag gec ggt acc gta acc gca gag aat cac cet tee etg acc
                                                                         96
35
```

Ser Gln Tyr Pro Asn Ser Tyr Val Ile Tyr Ser Asn Ile Lys Val Gly

Ala Gln Gln Ala 20	Gly Thr Val	Thr Ala Glu . 25	Asn His Pro Ser I 30	Leu Thr
			acc acg cag aat o Thr Thr Gln Asn O 45	-
			cat acc acc tct o His Thr Thr Ser 0 60	-
		Thr Trp Asp	acc agt atc tgt o Thr Ser Ile Cys I 75	
Asp Val Thr Cys	-		gat gga gcg gat t Asp Gly Ala Asp 1	
	-		gcc ctg aga ctg a Ala Leu Arg Leu A 110	
_			tog ogo otg tac o Ser Arg Leu Tyr I 125	
2 2	_	_	ctg ctg ggt cag g Leu Leu Gly Gln 0 140	
		Asn Leu Pro	tge ggg etg aac g Cys Gly Leu Asn 6 155	
Leu Tyr Phe Val			gga ttg tcc aaa t Gly Leu Ser Lys 1 1	
			ggt tac tgc gac t Gly Tyr Cys Asp S 190	_
tgc cct cgg gat Cys Pro Arg Asp 195	_		cag gtacgtcaga ag Gln	gtgataact 629
agccagcaga gccca	tosat catta:			
	egaac cacca	actaa cgctgtc	aaa tacag gcc aat Ala Asr 205	n Val Glu
	tot god aac	gac cca aat	Ala Asr	n Val Glu
Gly Trp Gln Pro 210 ggt tee tge tge	tct gcc aac Ser Ala Asn gct gag atg	gac cca aat Asp Pro Asn 215 gat gtc tgg	Ala Asr 205 gcc ggc gtt ggt a Ala Gly Val Gly A	ac cac 734 Asn His
Gly Trp Gln Pro 210 ggt tcc tgc tgc Gly Ser Cys Cys 225 act gcg gtg acg	tet gee aac Ser Ala Asn get gag atg Ala Glu Met 230 cet cac cca	gac cca aat Asp Pro Asn 215 gat gtc tgg Asp Val Trp tgc gac acc Cys Asp Thr	Ala Asr 205 gcc ggc gtt ggt a Ala Gly Val Gly A 220 gaa gcc aac agc a Glu Ala Asn Ser 1	a Val Glu aac cac 734 asn His atc tct 782 atg tgc 830

				260					265					270			
	_	_		gat Asp		_	_					_	_			926	
				ggc Gly												974	
				cag Gln												1022	
_	_			aaa Lys	-			-	_			_	-			1070	
_	_		_	acg Thr 340		_		_								1118	
		_	_	gcc Ala	_	_	_	_			_					1166	
				ggg Gly												1214	
_	_		_	atg Met	_	_		_	_		_	_		_		1262	
				acc Thr												1310	
				acc Thr 420												1358	
	_	_		ccc Pro				_						_	_	1406	
				tcg Ser												1454	
	_			acc Thr	_										_	1502	
_		_	_	act Thr	_			_	_		_			_		1550	
		_		acc Thr 500	_	_			_	_						1598	
				aac Asn												1646	
			Se	c ca c G1		atgt	tt¢	t ct	teec	ccti	ct.	agac	tege	: tt	ggatttga	1	170 1
cagi	ttgc	taa	cato	etge	tca	acaç	-	c ct s Le	_	ıa							1734
<210	> 30																

5 <210> 30 <211> 534 <212> PRT

-212~	Thermoascus	aurantiacue
^ ∠ 1 \ / 2	memoascus	auranilacus

<4(ገበ	۱>	3(1
~ 41	Ju	_	J)	J

Met Tyr Gln Arg Ala Leu Leu Phe Ser Phe Phe Leu Ala Ala Ala Arg 1 5 10 15

Ala Gln Gln Ala Gly Thr Val Thr Ala Glu Asn His Pro Ser Leu Thr 20 25 30

Trp Gln Gln Cys Ser Ser Gly Gly Ser Cys Thr Thr Gln Asn Gly Lys 35 40 45

Val Val Ile Asp Ala Asn Trp Arg Trp Val His Thr Thr Ser Gly Tyr 50 60

Thr Asn Cys Tyr Thr Gly Asn Thr Trp Asp Thr Ser Ile Cys Pro Asp 65 70 75 80

Asp Val Thr Cys Ala Gln Asn Cys Ala Leu Asp Gly Ala Asp Tyr Ser 85 90 95

Gly Thr Tyr Gly Val Thr Thr Ser Gly Asn Ala Leu Arg Leu Asn Phe 100 105 110

Val Thr Gln Ser Ser Gly Lys Asn Ile Gly Ser Arg Leu Tyr Leu Leu 115 120 125

Gln Asp Asp Thr Thr Tyr Gln Ile Phe Lys Leu Leu Gly Gln Glu Phe 130 140

Thr Phe Asp Val Asp Val Ser Asn Leu Pro Cys Gly Leu Asn Gly Ala 145 150 155 160

Leu Tyr Phe Val Ala Met Asp Ala Asp Gly Gly Leu Ser Lys Tyr Pro 165 170 175

Gly Asn Lys Ala Gly Ala Lys Tyr Gly Thr Gly Tyr Cys Asp Ser Gln 180 185 190

Cys	Pro	A rg 195	Asp	Leu	Lys	Phe	11e 200	Asn	Gly	Gln	Ala	Asn 205	Val	Glu	G13
Trp	Gln 210	Pro	Ser	Ala	Asn	Asp 215	Pro	Asn	Ala	Gly	Val 220	Gly	Asn	His	G13
Ser 225	Cys	Cys	Ala	Glu	Met 230	Asp	Val	Trp	Glu	Ala 235	Asn	Ser	Ile	Ser	Thr 240
Ala	Val	Thr	Pro	His 245	Pro	Cys	Asp	Thr	Pro 250	Gly	Gln	Thr	Met	Cys 255	G1r
Gly	Asp	Asp	Cys 26 0	Gly	Gly	Thr	Tyr	Ser 265	Ser	Thr	Arg	Tyr	Ala 270	Gly	Thr
Cys	Asp	Pro 275	Asp	Gly	Cys	Asp	Phe 280	Asn	Pro	Tyr	Arg	Gln 285	Gly	As n	His
Ser	Phe 290	Tyr	Gly	Pro	Gly	Gln 29 5	Ile	Val	Asp	Thr	Ser 300	Ser	Lys	Phe	Thr
Val 305	Val	Thr	G1n	Phe	Ile 310	Thr	Asp	Asp	Gly	Thr 315	Pro	Ser	Gly	Thr	Le: 320
Thr	Glu	Ile	Lys	Arg 325	Phe	Tyr	Val	Gln	Asn 330	Gly	Lys	Val	Ile	Pro 335	Glr
Ser	Glu	Ser	Thr 340	Ile	Ser	Gly	Val	Thr 345	Gly	Asn	Ser	Ile	Thr 350	Thr	Glu
Туг	Cys	T hr 355	Ala	Gln	Lys	Ala	Ala 360	Phe	Gly	Asp	Asn	Thr 365	Gly	Phe	Phe
Thr	His 370	Gly	Gly	Leu	Gln	Lys 375	Ile	Ser	Gln	Ala	Leu 380	Ala	Gln	Gly	Met
Val 385	Leu	Val	Met	Ser	Leu 390	Trp	Asp	Asp	His	Ala 395	Ala	Asn	Met	Leu	Trp 400
Leu	Asp	Ser	Thr	Tyr 405	Pro	Thr	Asp	Ala	Asp 410	Pro	Asp	Thr	Pro	Gly 415	Va]
Ala	Arg	Gly	Thr 420	Cys	Pro	Thr	Thr	Ser 425	Gly	Val	Pro	Ala	Asp 430	Val	G1u

Ser Gln Tyr Pro Asn Ser Tyr Val Ile Tyr Ser Asn Ile Lys Val Gly 435 440 445

Pro Ile Gly Ser Thr Val Pro Gly Leu Asp Gly Ser Asn Pro Gly Asn

 450
 455
 460

 Pro A65
 Thr Thr Thr Thr Thr Val A70
 Pro A1a Ser A75
 Ser A75
 Ser Thr Ser A79
 A280

 Thr Ser Ser A85
 Thr A85
 Pro A20
 Val Ser A90
 Pro A1a A90
 Thr Pro A75
 Thr A95
 A1a A95
 Pro A1a A90
 Pro A1

REIVINDICACIONES

- 1. Un polipéptido que comprende un fragmento que tiene actividad celulolítica y que se selecciona del grupo que consiste en:
- a) un polipéptido que comprende una secuencia de aminoácidos que tiene una identidad de al menos 80% con la SEQ ID NO: 24; y
 - b) un fragmento de a) que tiene actividad celulolítica.
 - 2. Un polinucleótido aislado seleccionado del grupo que consiste en:
 - a) una secuencia de nucleótidos de la SEQ ID NO: 23, o una secuencia que codifica un polipéptido de la reivindicación 1;
 - b) una hebra complementaria de a) y

10

20

25

30

40

45

- c) una secuencia que es degenerada como resultado del código genético a una cualquiera de las secuencias definidas en a) o b).
- 3. Un vector que comprende como secuencia heteróloga, un polinucleótido de la reivindicación 2.
- 4. Una célula anfitriona que comprende el vector de la reivindicación 3.
- 15 5. Una cepa de Escherichia coli que tiene el número de acceso DSM 17325.
 - 6. Una preparación de enzima que comprende un polipéptido de la reivindicación 1.
 - 7. La preparación de enzima de la reivindicación 6, que está en forma de medio de cultivo gastado, o que contiene el polipéptido en forma parcialmente purificada.
 - 8. La preparación de enzima de la reivindicación 6 o 7, que comprende una mezcla de celobiohidrolasa, endoglucanasa y beta-glucosidasa, opcionalmente junto con actividad xilanasa y/u otras actividades enzimáticas.
 - 9. La enzima de la preparación de la reivindicación 6, que comprende adicionalmente una celobiohidrolasa que comprende una secuencia de aminoácidos que tiene una identidad de al menos 80% con los SEQ ID NO: 2, 4, 6 u 8, o con un fragmento enzimáticamente activo de los mismos, y una endoglucanasa que comprende una secuencia de aminoácidos que tiene una identidad de al menos 80% con los SEQ ID NO: 10, 12, 14 o 16, o con un fragmento enzimáticamente activo de los mismos, y opcionalmente una xilanasa que comprende una secuencia de aminoácidos que tiene una identidad de al menos 80% con los SEQ ID NO: 18 o 20, o con un fragmento enzimáticamente activo de los mismos.
 - 10. El uso de un polipéptido de acuerdo con la reivindicación 1, o una preparación de enzima de acuerdo con la reivindicación 6, en la industria de los combustibles, textiles, detergentes, pasta de celulosa y papel, alimentos, forrajes o bebidas, o en la preparación de soforosa.
 - 11. El uso de acuerdo con la reivindicación 10, en donde la enzima se utiliza en el tratamiento de pasta kraft, pasta mecánica, o papel reciclado.
 - 12. El uso de acuerdo con la reivindicación 10, en donde la preparación de enzima es medio de cultivo gastado.
- 13. Un método para preparar un polipéptido que comprende un fragmento que tiene actividad celulolítica y que se selecciona del grupo que consiste en:
 - a) un polipéptido que comprende una secuencia de aminoácidos que tiene una identidad de al menos 80% con la SEQ ID NO: 24;

У

- b) un fragmento de a) que tiene actividad celulolítica,
- comprendiendo dicho método transformar de una célula anfitriona con un vector que codifica dicho polipéptido, y cultivar dicha célula anfitriona en condiciones que permiten la expresión de dicho polipéptido, y opcionalmente recuperar y purificar el polipéptido producido.
 - 14. Un método para tratar material celulósico con un medio de cultivo gastado de al menos un microorganismo capaz de producir un polipéptido que comprende un fragmento que tiene actividad celulolítica y que se selecciona del grupo que consiste en:
 - a) un polipéptido que comprende una secuencia de aminoácidos que tiene una identidad de al menos 80%

con la SEQ ID NO: 24;

у

- b) un fragmento de a) que tiene actividad celulolítica,
- comprendiendo dicho método hacer reaccionar el material celulósico con el medio de cultivo gastado para obtener material celulósico hidrolizado.
 - 15. El uso del polipéptido de la reivindicación 1, en la hidrólisis de material celulósico para la producción de biocombustible que comprende etanol.

Fig. 1A.

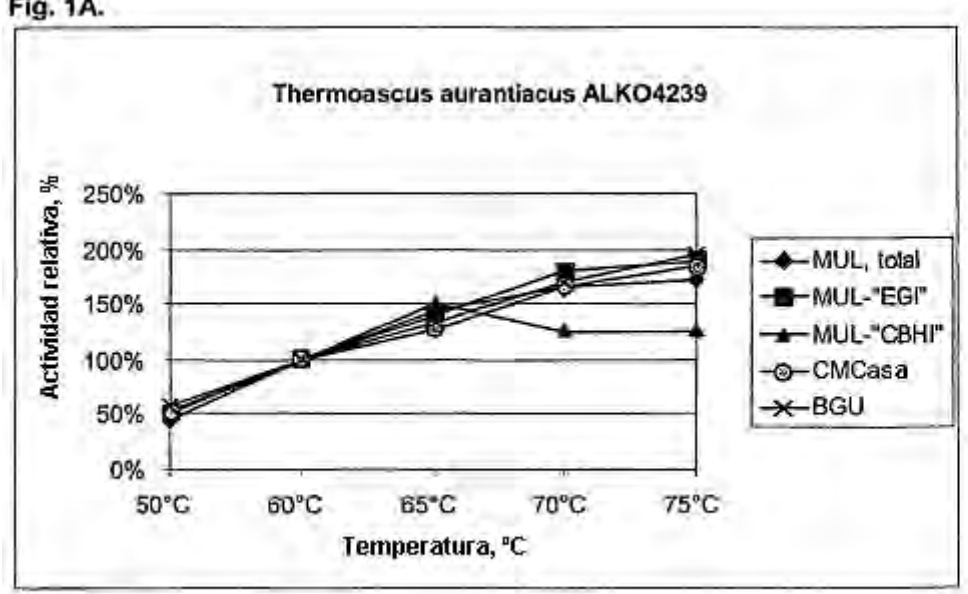


Fig. 1B.

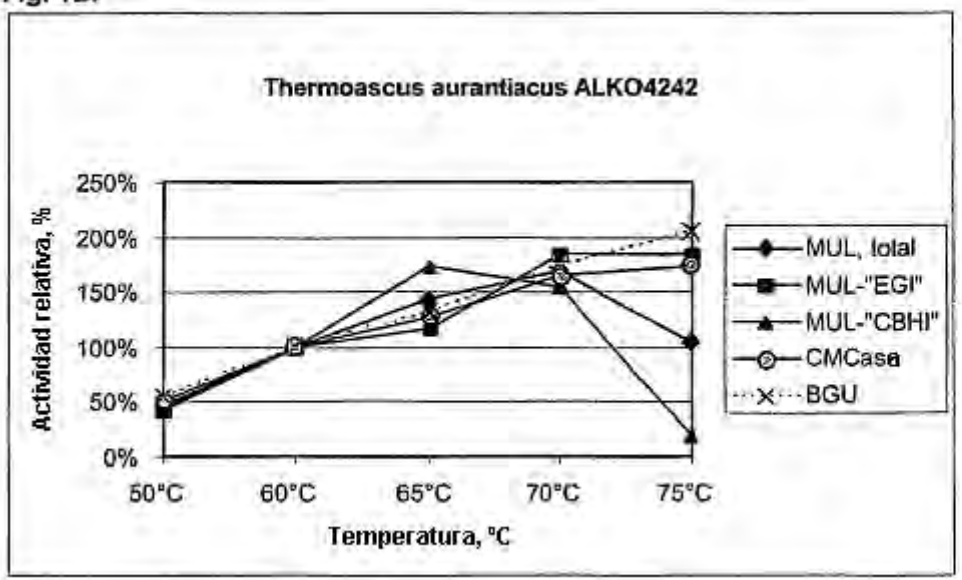


Fig. 1C.

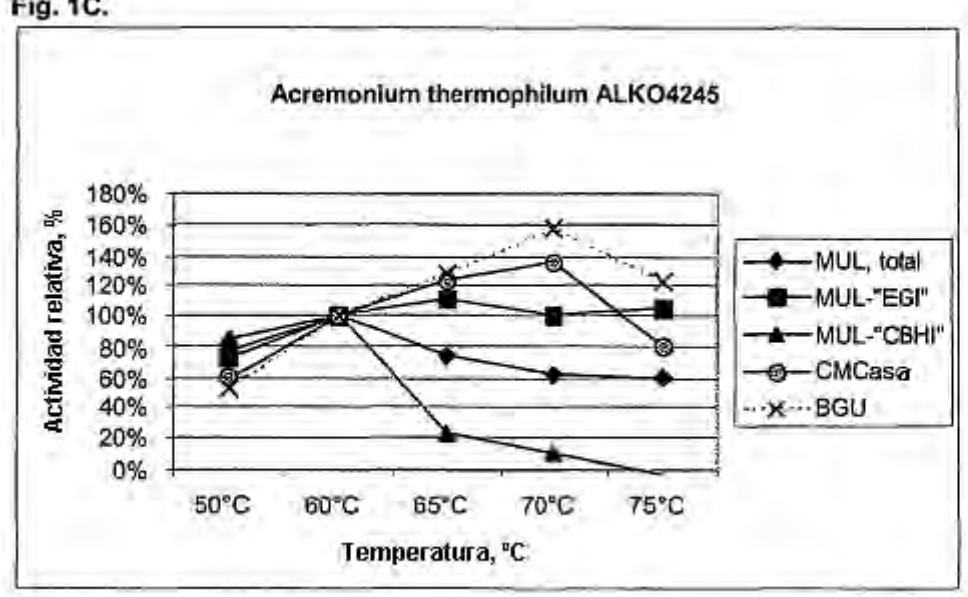
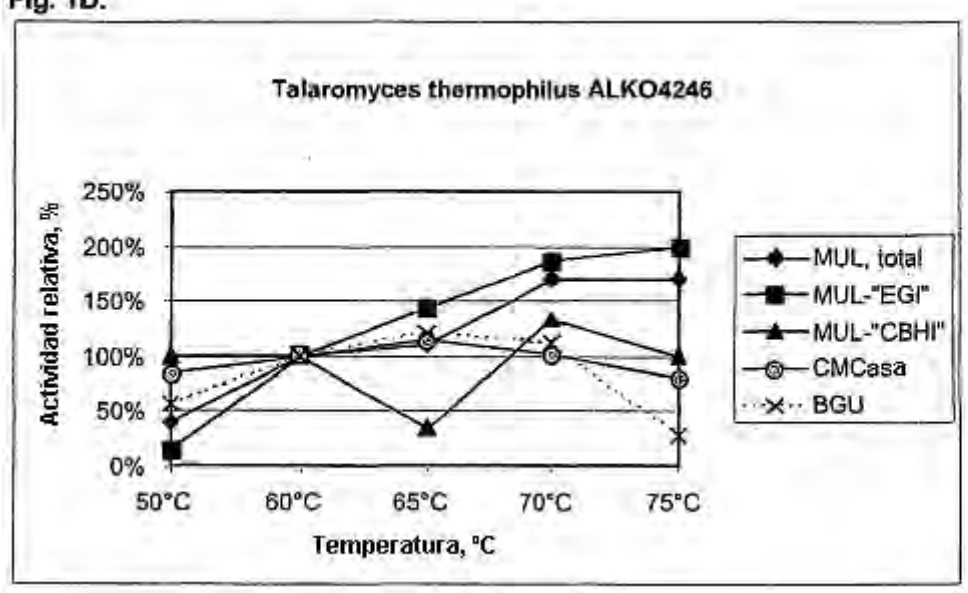
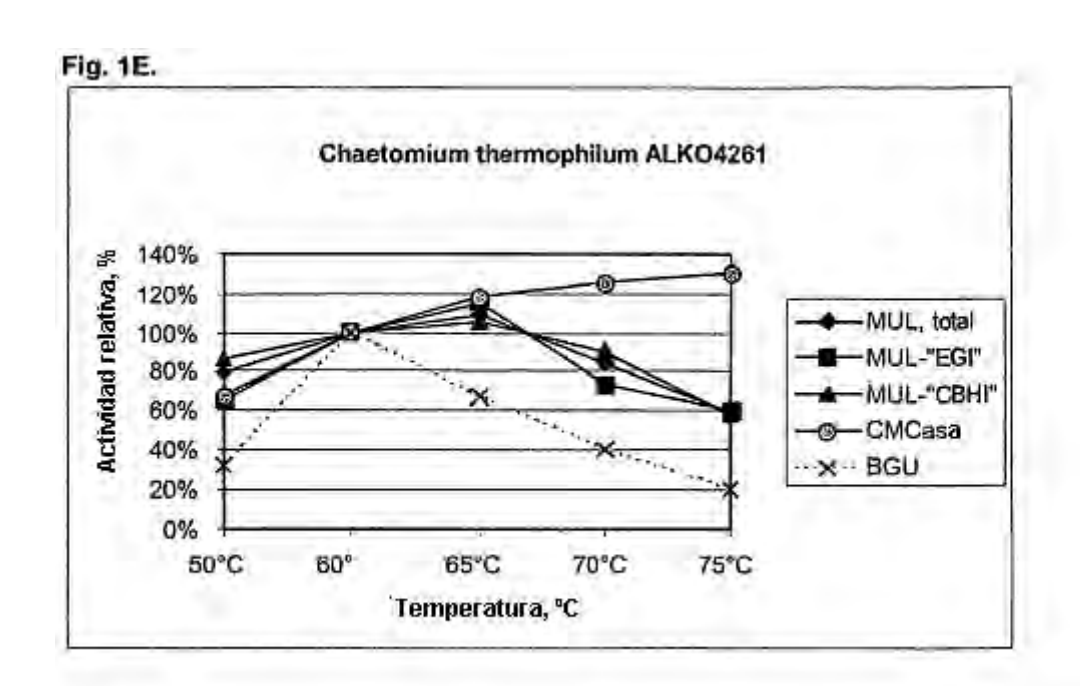
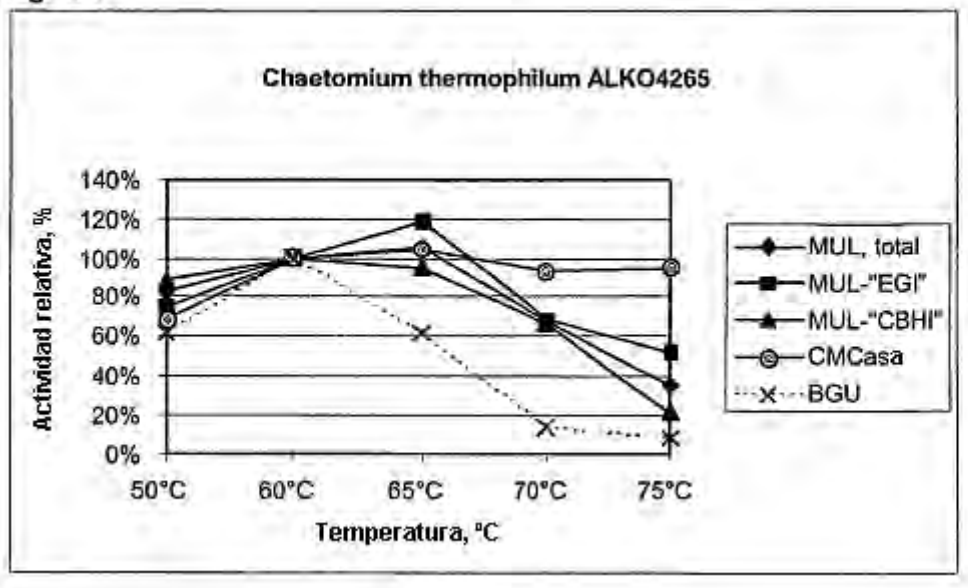


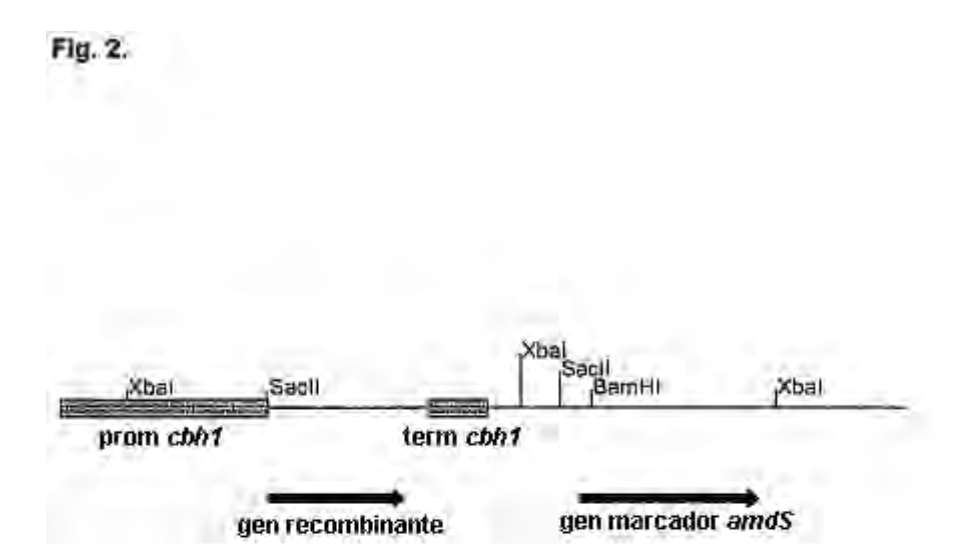
Fig. 1D.

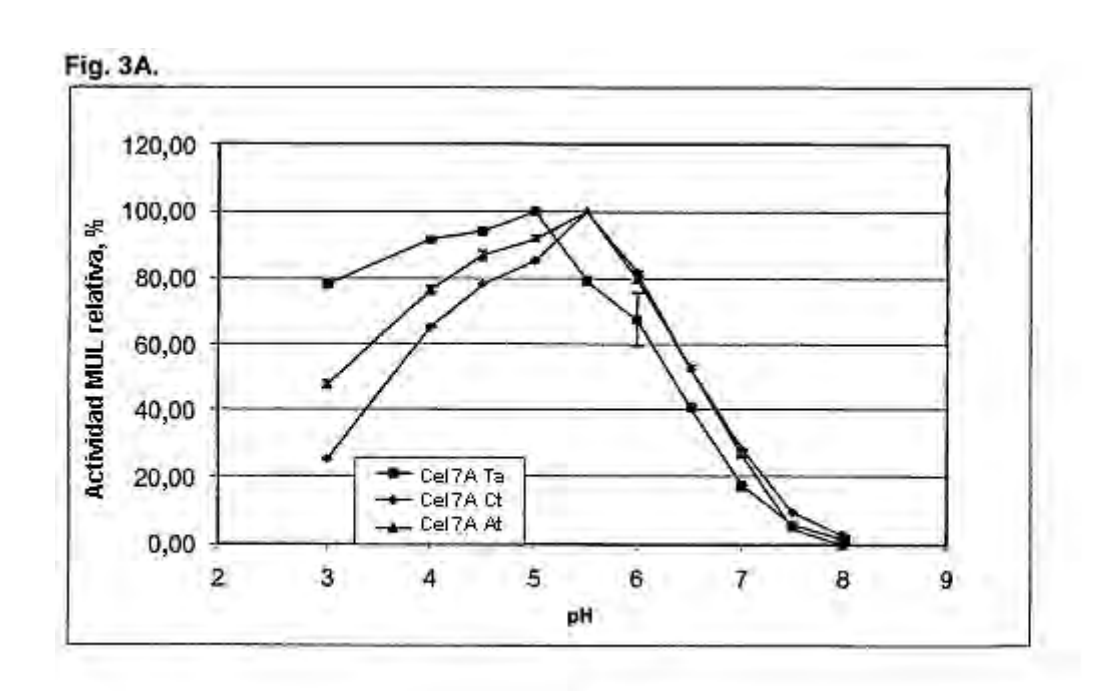


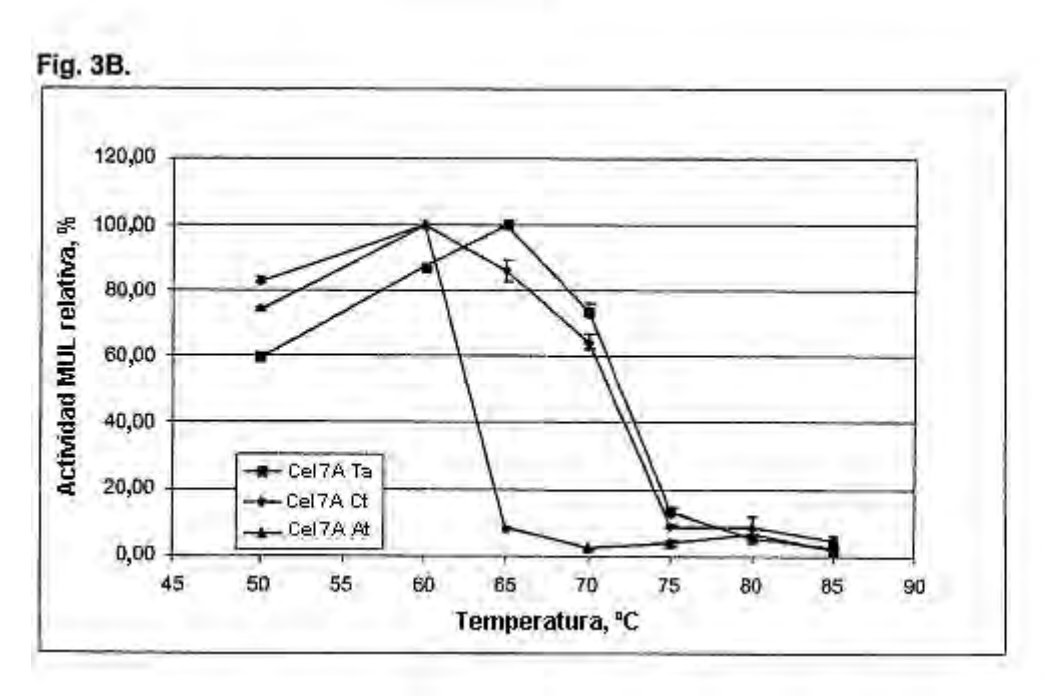


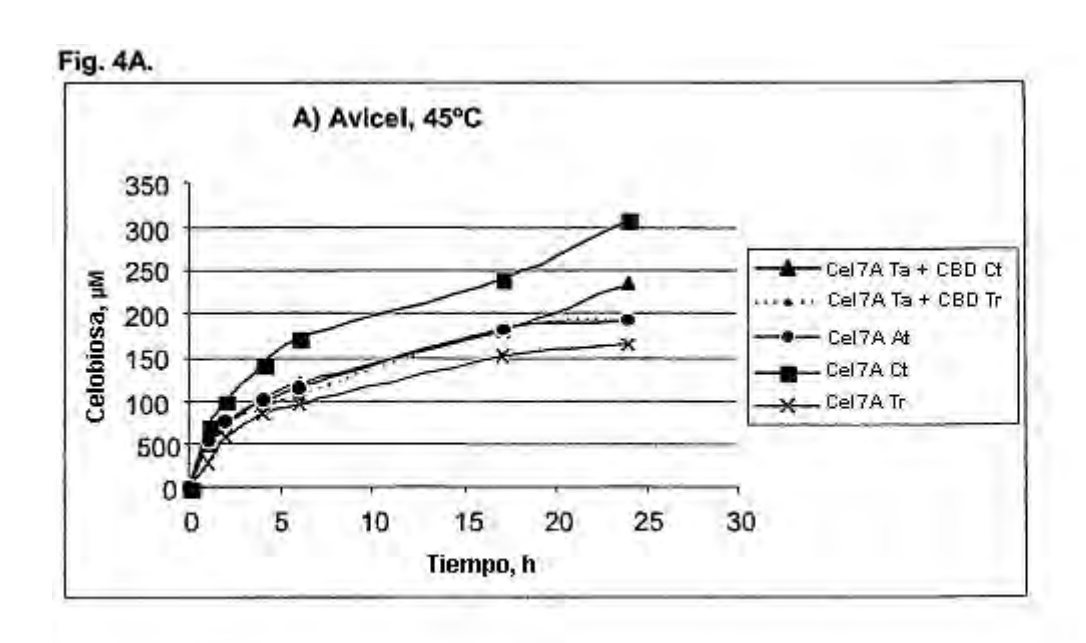


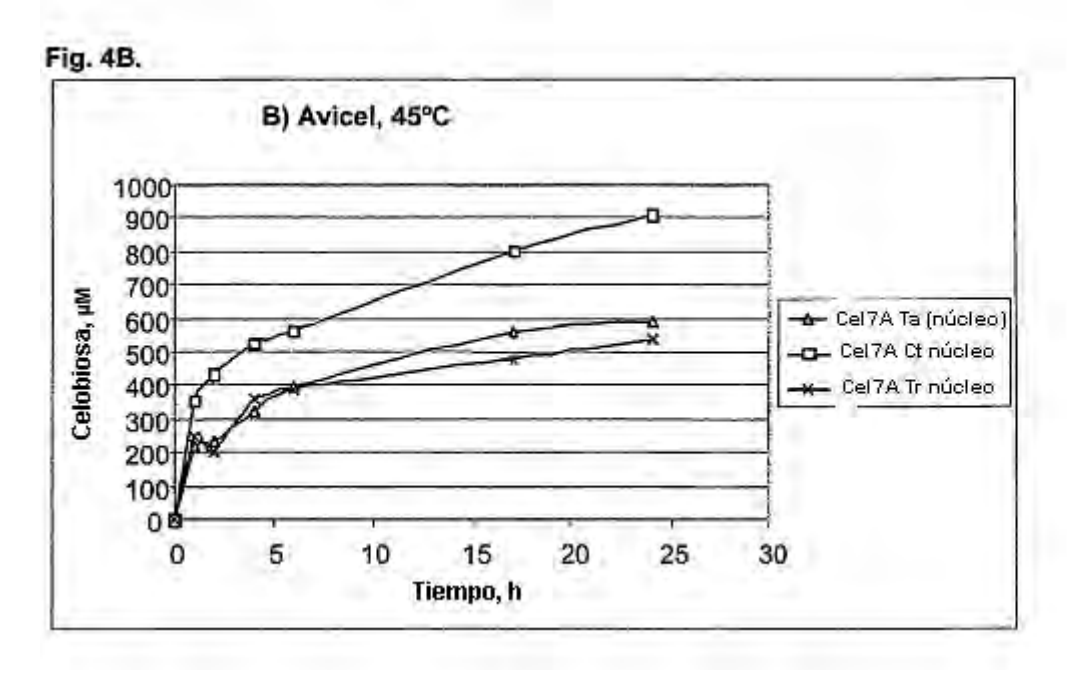


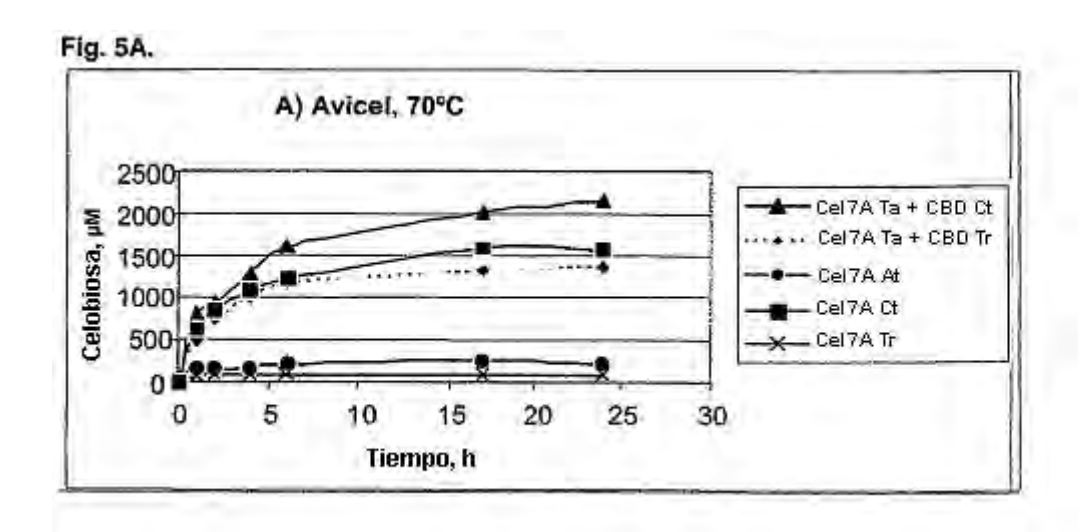


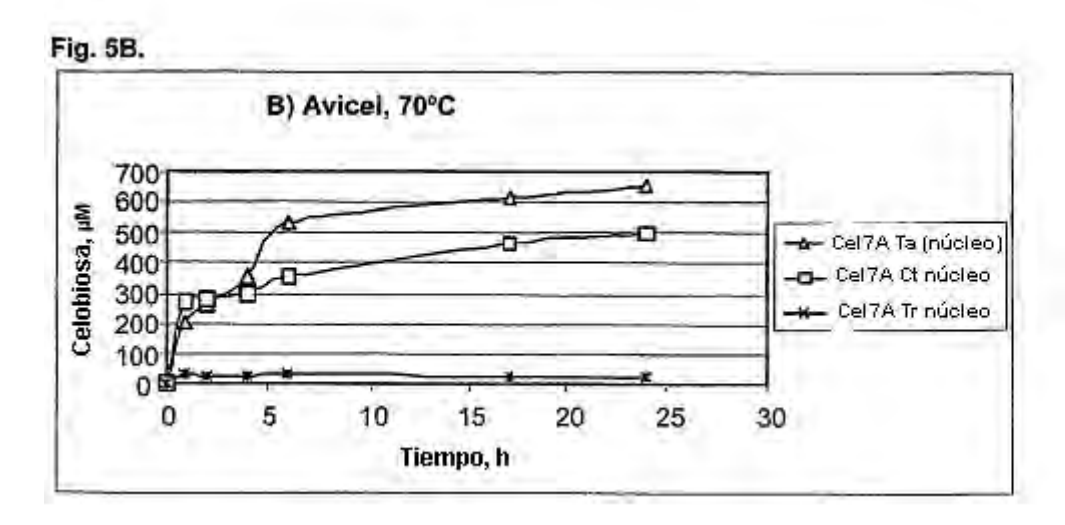


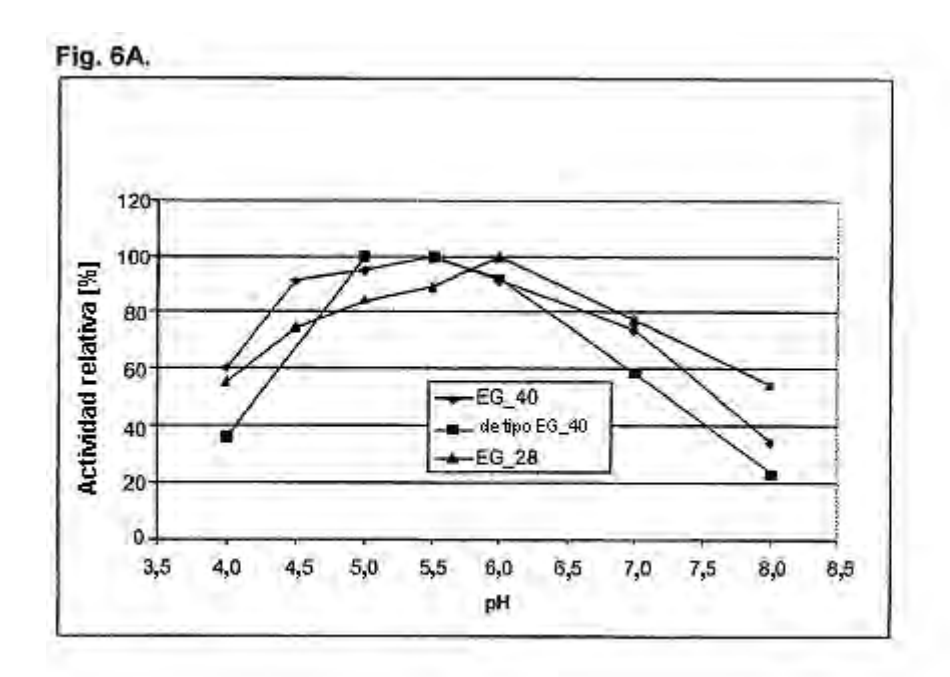


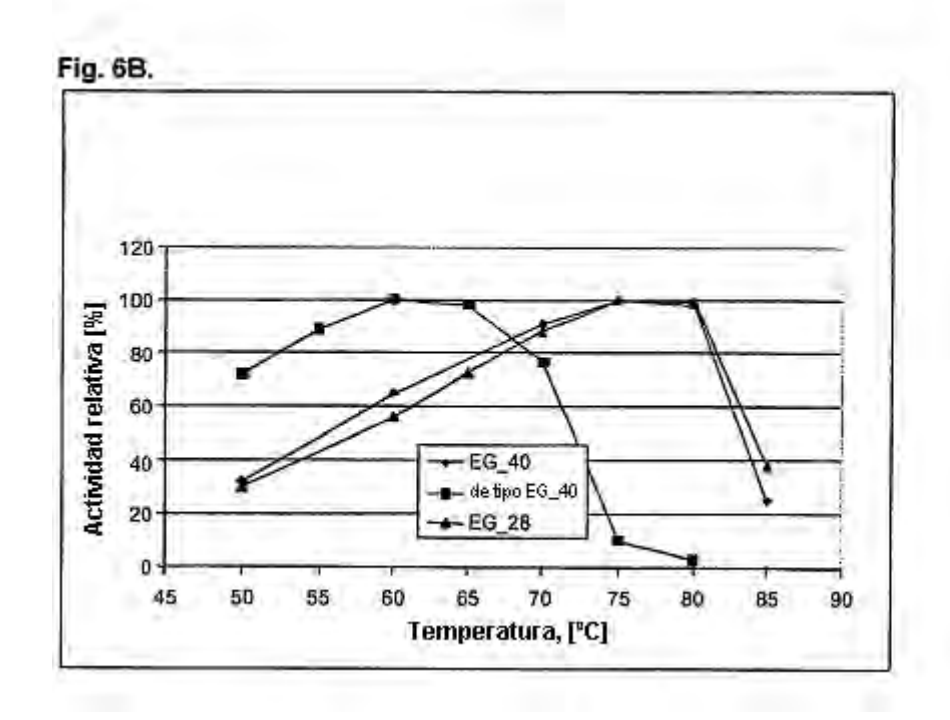


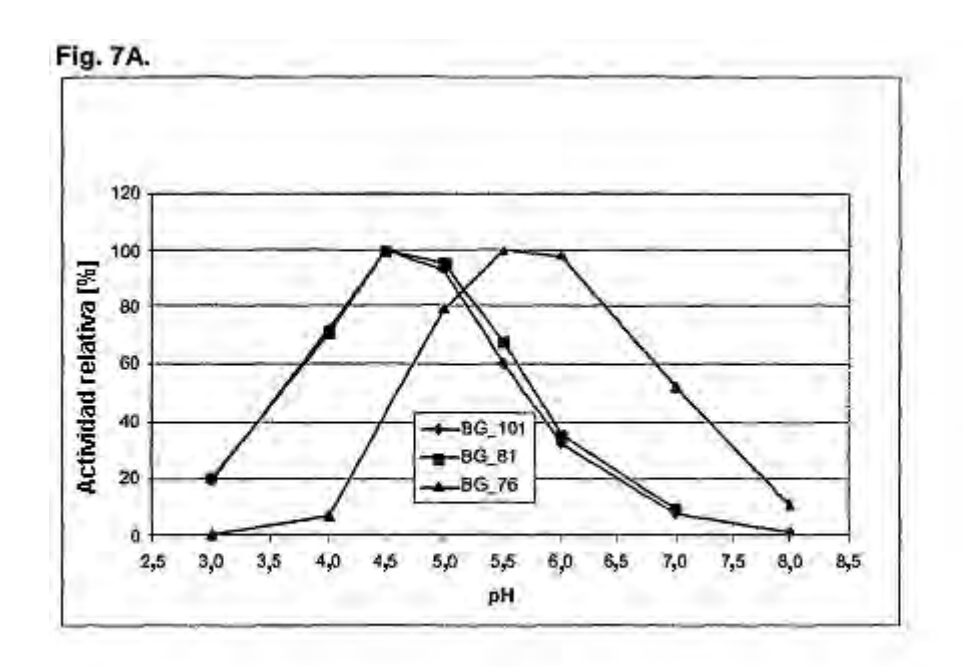


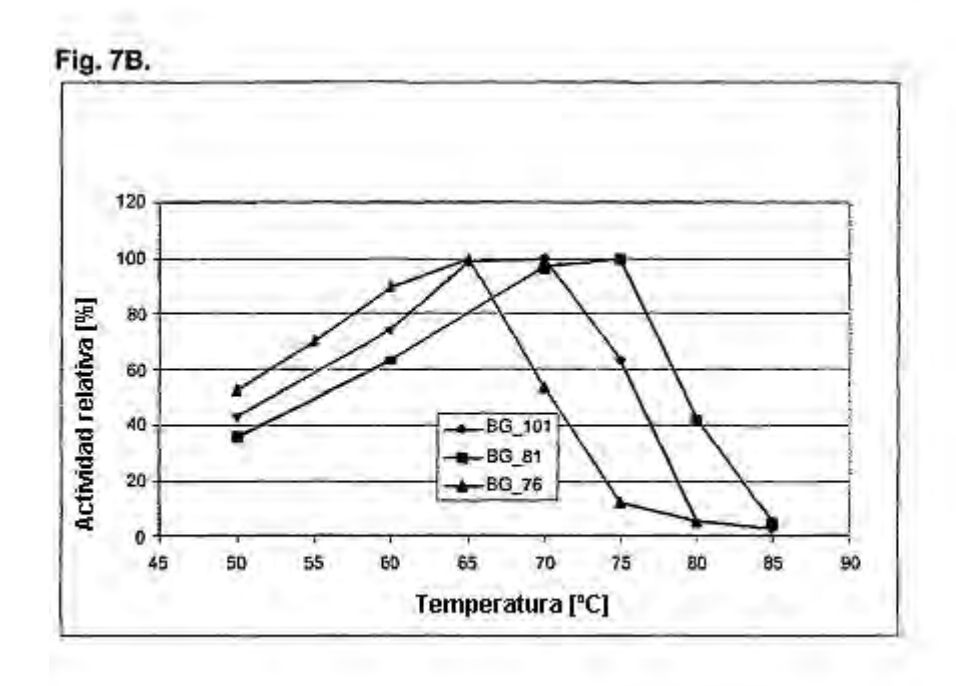


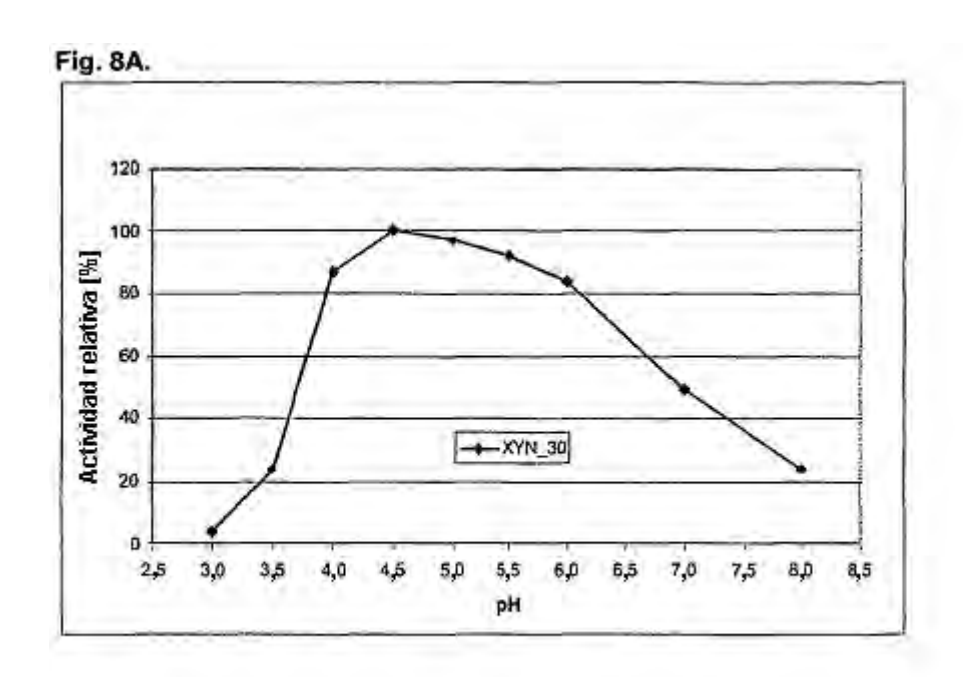


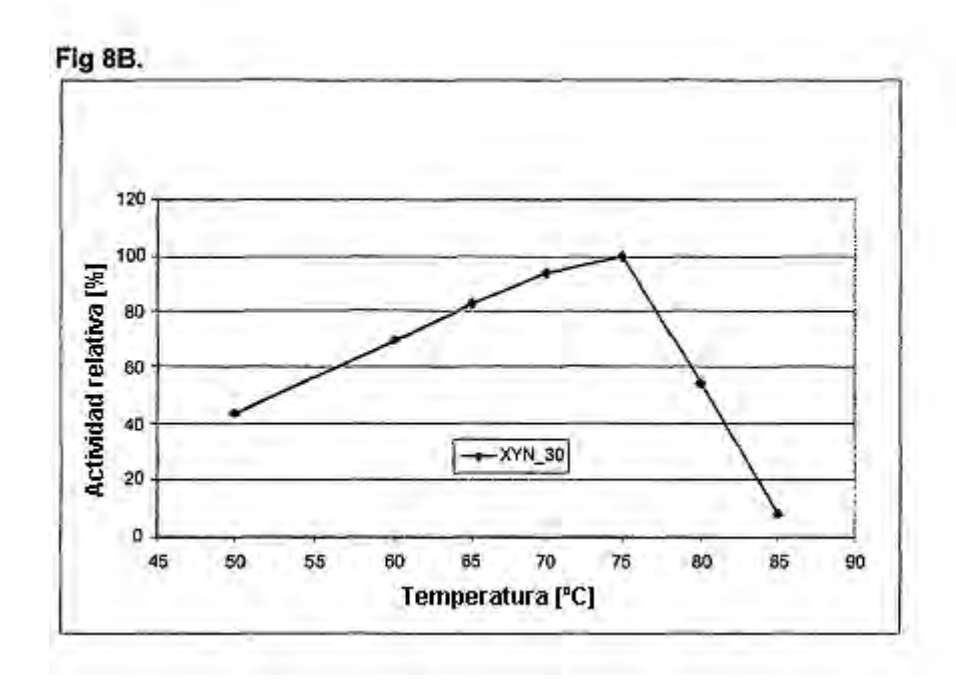


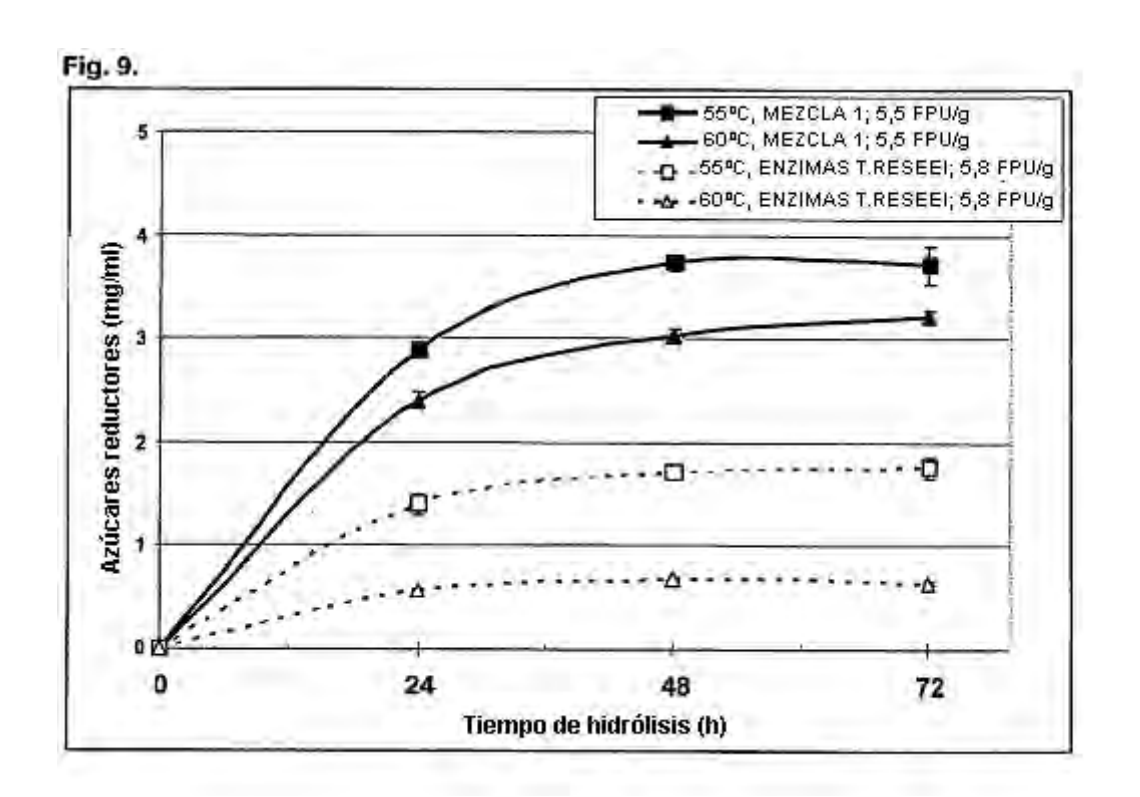












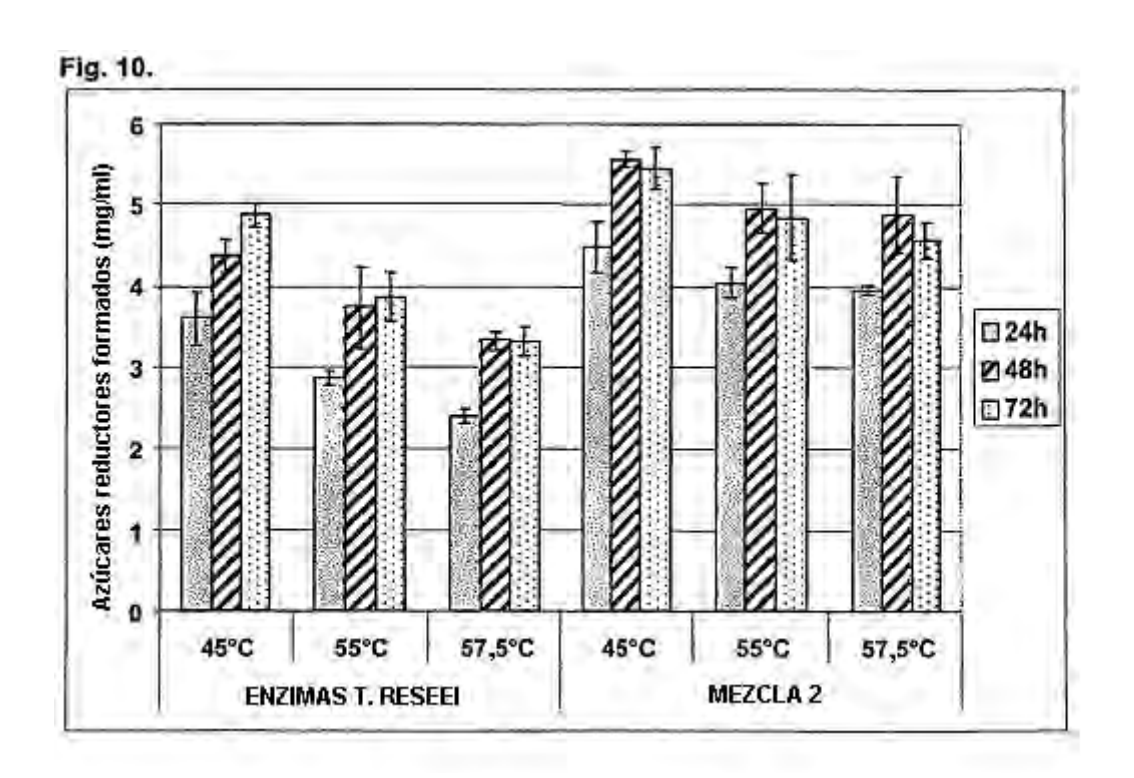


Fig. 11.

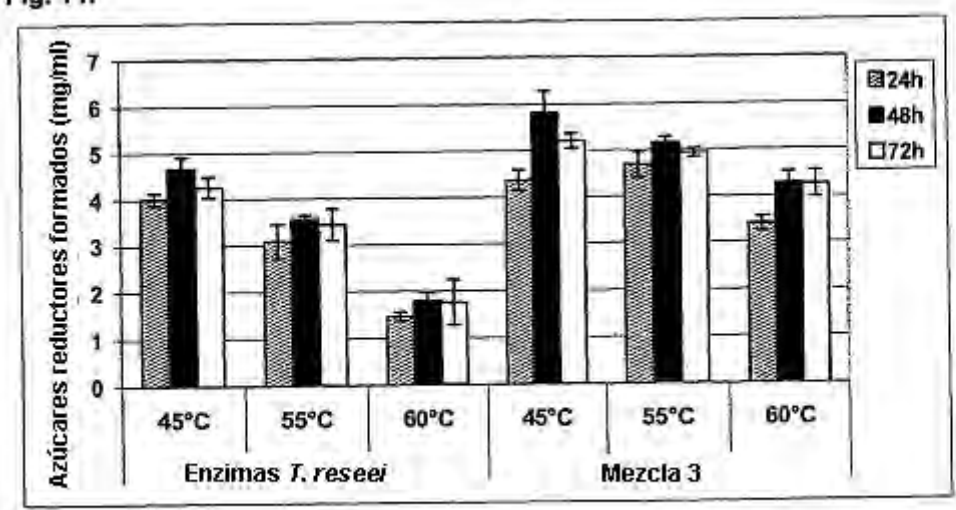
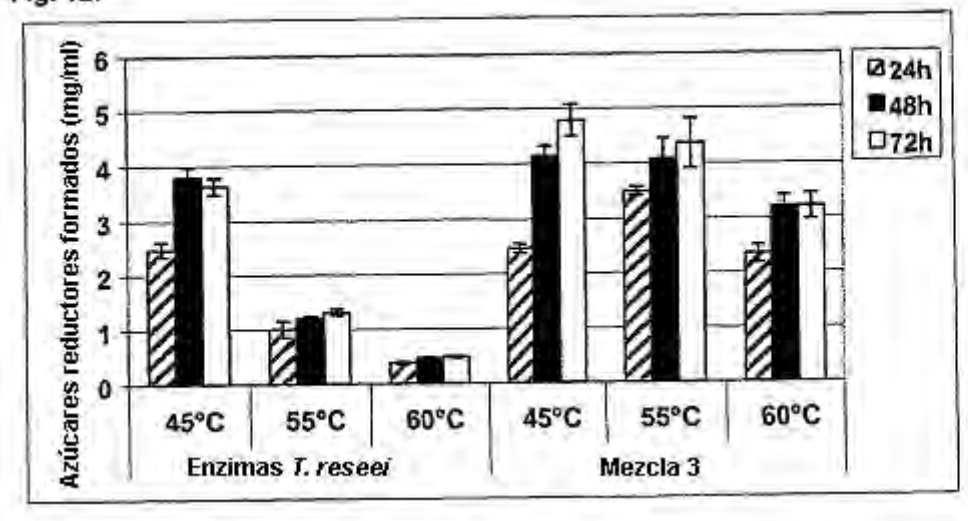


Fig. 12.





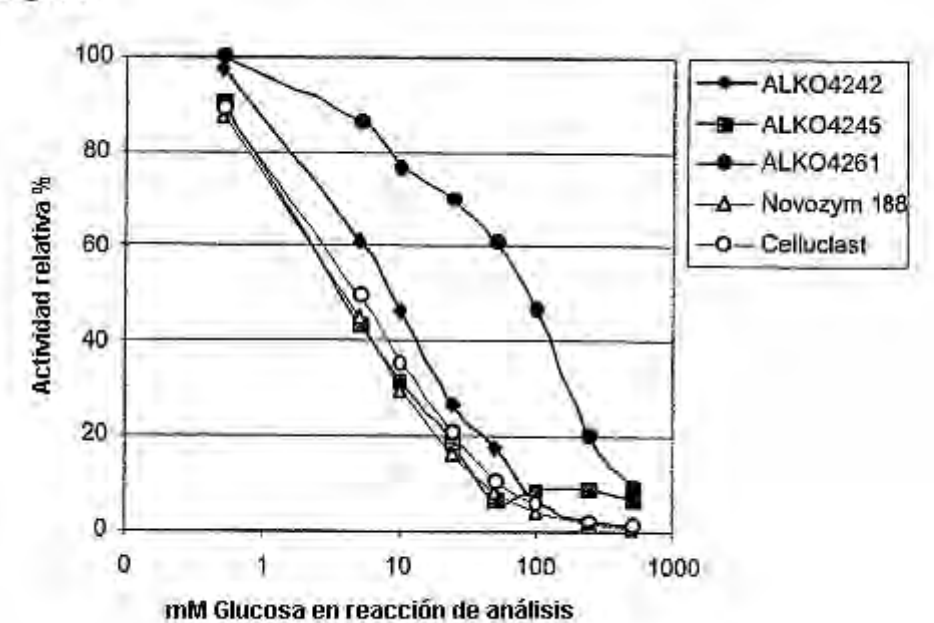


Fig. 14.

